



TUGAS AKHIR (RC14-1501)

# PERENCANAAN OPRIT, TIMBUNAN, DAN PONDASI JEMBATAN BARU DI SUNGAI WULAN, JEPARA

DEDY MANUDIANTO  
NRP 3111 100 001

MUHAMMAD REZA PAHLEVI GUNTUR  
NRP 3111 100 080

Dosen Pembimbing  
Ir. Suwarno, M.Eng  
Dr. Yudhi Lastasih, S.T., M.T.

JURUSAN TEKNIK SIPIL  
Fakultas Teknik Sipil dan Perencanaan  
Institut Teknologi Sepuluh Nopember  
Surabaya 2015



TUGAS AKHIR (RC14-1501)

# PERENCANAAN OPRIT, TIMBUNAN, DAN PONDASI JEMBATAN BARU DI SUNGAI WULAN, JEPARA

DEDY MANUDIANTO  
NRP 3111 100 001

MUHAMMAD REZA PAHLEVI GUNTUR  
NRP 3111 100 080

Dosen Pembimbing  
Ir. Suwarno, M.Eng  
Dr. Yudhi Lastiasih, S.T., M.T.

JURUSAN TEKNIK SIPIL  
Fakultas Teknik Sipil dan Perencanaan  
Institut Teknologi Sepuluh Nopember  
Surabaya 2015



FINAL PROJECT (RC14-1501)

## APPROACH, EMBANKMENT, AND NEW BRIDGE FOUNDATION DESIGN AT WULAN RIVER, JEPARA

DEDY MANUDIANTO  
NRP 3111 100 001

MUHAMMAD REZA PAHLEVI GUNTUR  
NRP 3111 100 080

Academic Supervisor  
Ir. Suwarno, M.Eng  
Dr. Yudhi Lastiasih, S.T., M.T.

DEPARTMENT OF CIVIL ENGINEERING  
Faculty of Civil Engineering and Planning  
Institut Teknologi Sepuluh Nopember  
Surabaya 2015

**PERENCANAAN OPRIT, TIMBUNAN, DAN  
PONDASI JEMBATAN BARU DI SUNGAI WULAN,  
JEPARA**

**TUGAS AKHIR**

Diajukan Untuk Memenuhi Salah Satu Syarat

Memperoleh Gelar Sarjana Teknik  
pada

Bidang Studi Geoteknik  
Program Studi S-1 Jurusan Teknik Sipil  
Fakultas Teknik Sipil dan Perencanaan  
Institut Teknologi Sepuluh Nopember

Oleh:

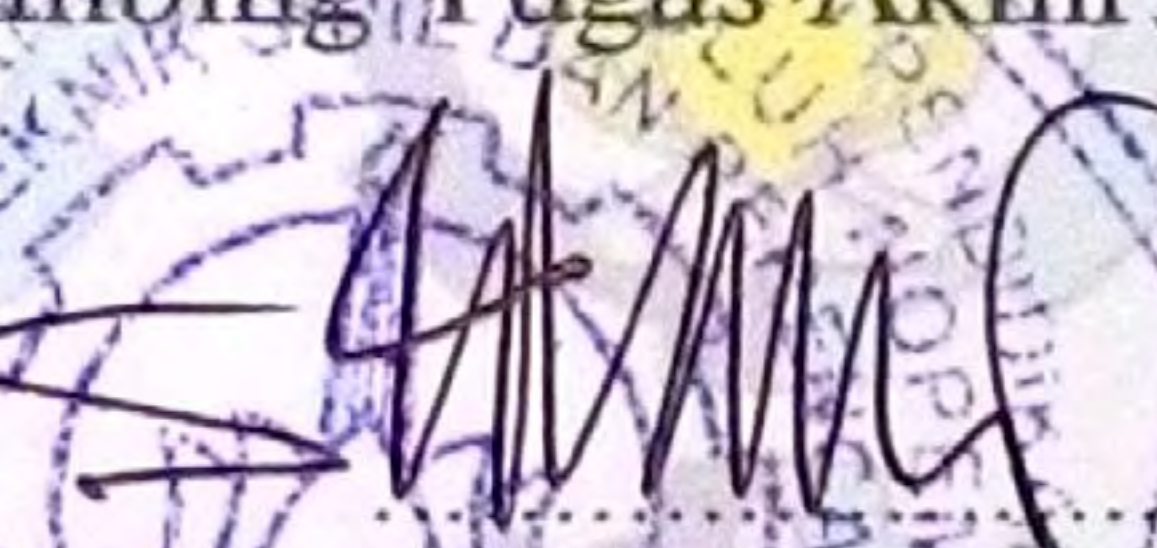
**DEDY MANUDIANTO**

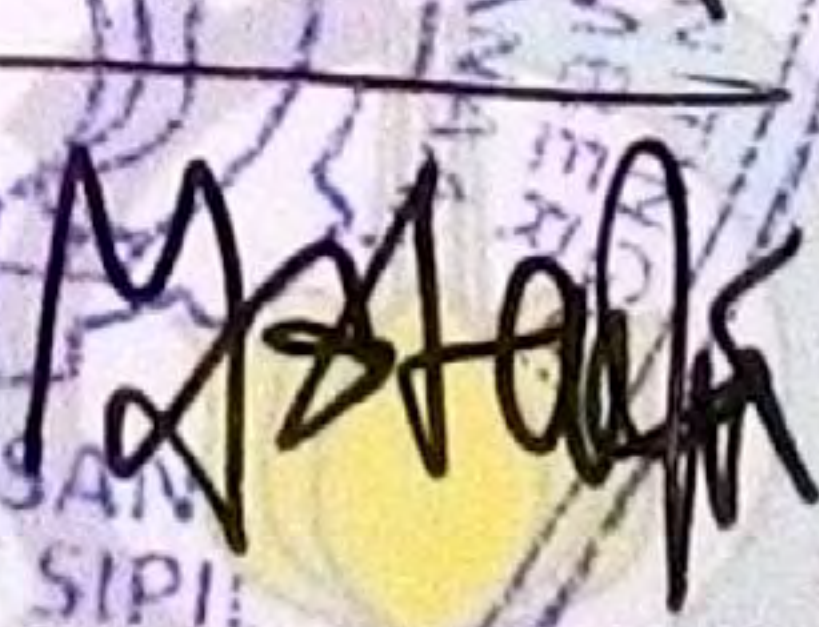
NRP. 3111 100 039

**MUHAMMAD REZA PAHLEVI GUNTUR**

NRP. 3111 100 080

Disetujui oleh Pembimbing Tugas Akhir:

1. Ir. Suwarno, M.Eng  (Pembimbing I)

2. Dr. Yudhi Lastiasih, S.T., M.T.  (Pembimbing II)

**SURABAYA  
MEI, 2015**

# **PERENCANAAN OPRIT, TIMBUNAN, DAN PONDASI JEMBATAN BARU DI SUNGAI WULAN, JEPARA**

**Nama Mahasiswa : Dedy Manudianto  
M. Reza Pahlevi Guntur**  
**NRP : 3111 100 001  
3111 100 080**  
**Jurusan : Teknik Sipil FTSP-ITS**  
**Dosen Pembimbing : Ir. Suwarno, M.Eng  
Dr. Yudhi Lastiasih, S.T., M.T.**

## **Abstrak**

*Meningkatnya “Level of Service” pada ruas jalan Trengguli-Wedelan, Jawa Tengah menjadikan perlunya dilakukan pembangunan jalan baru pesisir pantai, yang salah satunya melewati Kabupaten Jepara. Trase rencana tersebut berpotongan dengan Sungai Wulan yang memiliki lebar 100 meter. Maka dari itu dibutuhkan perencanaan timbunan jalan, oprit trapesium, oprit tegak, dan pondasi jembatan di kedua sisinya.*

*Dalam perencanaan ini tanah asli membutuhkan waktu ratusan tahun untuk selesai konsolidasi hingga 90%. Maka dari itu, dibutuhkan bantuan vertical drain berupa PVD untuk mempercepat waktu konsolidasi. Alternatif yang digunakan untuk timbunan jalan adalah geotextile dan micropile. Alternatif yang digunakan untuk oprit tegak adalah geotextile wall dan gravity wall. Dari masing-masing alternatif tersebut dihitung biaya material yang paling sedikit, dan kemudian disimpulkan menjadi alternatif perkuatan yang dipakai. Pondasi jembatan dan pilar harus direncanakan mampu berduri melawan gaya-gaya luar yang bekerja. Diameter tiang pancang yang dihitung antara lain diameter 40 cm, 50 cm, 60 cm, dan 80 cm. Dari masing-masing diameter tersebut dihitung biaya material yang paling sedikit,*

*dan kemudian disimpulkan menjadi alternatif perkuatan yang dipakai.*

*Dari hasil perhitungan disimpulkan bahwa pada timbunan jalan dan oprit trapesium, alternatif perkuatan yang digunakan adalah geotextile. Sedangkan pada timbunan tegak, alternatif perkuatan yang digunakan adalah geotextile wall. Sedangkan diameter tiang pancang yang digunakan untuk kedua sisi abutment dan pilar adalah bervariasi, dengan jumlah dan kedalaman tertentu.*

**Kata Kunci:** Sungai Wulan, timbunan jalan, oprit trapesium, oprit tegak, PVD, geotextile, micropile, geotextile wall, gravity wall, pondasi jembatan.

# **APPROACH, EMBANKMENT, AND NEW BRIDGE FOUNDATION DESIGN AT WULAN RIVER, JEPARA**

**Student Name** : Dedy Manudianto  
M. Reza Pahlevi Guntur  
**NRP** : 3111 100 001  
3111 100 080  
**Department** : Teknik Sipil FTSP-ITS  
**Academic Supervisor** : Ir. Suwarno, M.Eng  
Dr. Yudhi Lastiasih, S.T., M.T.

## **Abstract**

*The increase of the Level of Service on the access road Trengguli-Wedelan, Central Java, causing the need of new coastal road, which one is passes through the district of Jepara. The plan of the road intersects by River Wulan which has a 100 meters width. So the plan takes on road embankment, trapezoid approach, endlong approach, and the bridge foundations design on both sides.*

*In this calculation design, the native soil takes hundreds of years to complete the consolidation up to 90%. Therefore, it needs the help of vertical drain in the form of PVD to accelerate the consolidation matter. Alternatives that applied for road embankment are geotextile and micropile. Alternatives that applied oprit are geotextile wall and gravity wall. Each of these alternatives calculated due the lowest material costs, and then concluded to be the used alternative reinforcement. The bridge foundation and pillars must be planned capable to resist the outside forces. The diameter of piles that diameter calculated were of 40 cm, 50 cm, 60 cm, and 80 cm. Each of these diameter calculated due the lowest material costs, and then concluded to be the used alternative reinforcement.*

*From the calculation results it concluded that the road embankment and trapezoid approach, the reinforcement alternative that used is geotextile. While on the endlong approach, the alternative reinforcement that used was geotextile wall. While the diameter piles are used for both sides of the abutments and pillars are variety with a certain quantity and depth.*

***Keywords: Wulan River, road embankment, trapezoid approach, endlong approach, PVD, geotextile, micropile, geotextile wall, Gravity wall, bridge foundation.***

## KATA PENGANTAR

*Assalamu'alaikum.wr.wb*

Puji syukur kehadirat Allah SWT karena berkat rahmat, taufiq dan hidayah-Nya penulis dapat menyelesaikan Tugas akhir yang berjudul “Perencanaan Timbunan Jalan, Oprit, dan Pondasi Jembatan Baru Sungai Wulan, Jepara” ini tepat pada waktunya.

Tugas akhir ini diajukan sebagai persyaratan gelar kesarjanaan jurusan Teknik Sipil, Fakultas Teknik Sipil dan Perencanaan, Institut Teknologi Sepuluh Nopember Surabaya. Penulis berharap tugas akhir ini dapat berguna bagi semua pihak dalam pengaplikasian ilmu dan teknologi dalam masyarakat. Penulis menyadari bahwa tugas akhir ini masih terdapat kekurangan, untuk itu segala saran dan masukan tentang penulisan tugas akhir ini sangat diharapkan.

Adapun dalam proses penyusunan Tugas Akhir ini kedua penulis memperoleh bantuan dan bimbingan serta banyak dukungan dari berbagai pihak. Oleh karena itu, penulis mengucapkanterima kasih yang sebesar-besarnya kepada:

1. Allah SWT, atas segala limpahan rahmat dan karunia-Nya
2. Nabi Muhammad SAW yang menjadi sosok figur dan motivasi penulis.
3. Kedua orangtua Penulis I, Bapak Sugir Manuarto dan Ibu Ketut Mardiani atas motivasi dan pengingat setia untuk segera menyelesaikan Tugas Akhir ini.
4. Kedua orang tua Penulis II, Bapak Burhanuddin Guntur dan Ibu Marlina Muchlis, yang telah memberi kasih sayang, doa dan dukungan yang tiada henti.
5. Segenap keluarga besar penulis II yang telah memberikan doa dan dukungan yang begitu besar.
6. Bapak Ir. Suwarno, M.Eng selaku dosen pembimbing I atas bimbingan dan ilmu yang sangat banyak dalam penggerjaan dan penyelesaian tugas akhir, yang juga menjadi sosok *engineer* bagi Penulis I.
7. Ibu Yudhi Lastiasih, ST., MT selaku dosen pembimbing II atas bimbingan dan bantuan dalam penggerjaan dan

- penyelesaian tugas akhir, dan juga atas kesabarannya menghadapi kedua penulis dengan penuh kesabaran.
8. Segenap dosen jurusan teknik sipil ITS yang telah memberi ilmu pelajaran, kritik, dan masukan selama masa perkuliahan penulis.
  9. Teman-teman jurusan teknik sipil ITS angkatan 2011 yang telah memberi dukungan dan semangat selama masa perkuliahan penulis.
  10. Rekan Penulis I dari SMA, Ellsa, atas pinjaman odner yang sangat membantu keberlangsungan sidang Tugas Akhir. Dan juga atas *sharing* keagamaan, dan inspirasi-inspirasinya. Juga yang sudah mengambil konsumsi untuk sidang.
  11. Untuk Desak, yang sudah membantu mengambilkan konsumsi sidang dan semangat-semangatnya.
  12. Untuk Danang atas printernya yang luar biasa.
  13. Teman-teman sejawat Kerajaan Bumi 2011: Galih yang selalu bisa dititipkan tas saat ada panggilan adzan, Sefi dan Reta yang semangatnya selalu menginspirasi , Bobby yang membuat penulis ceria dalam mengerjakan Tugas Akhir ini, Dewa Angga dan Cicha atas ilmu dan file-file yang sangat membantu menyelesaikan Tugas Akhir ini, juga untuk Alfin, Wahyu, Dave Angga, Cicha, Adam, Radit.
  14. Teman-teman satu angkatan S-54 2011 yang sangat kompetitif dan membanggakan.
  15. Semua pihak yang telah membantu yang tidak dapat penulis sebutkan satu per satu.

Walaupun jauh dari sempurna harapan saya semoga tugas akhir ini dapat memberikan manfaat dan menambah wawasan bagi rekan-rekan sedisiplin ilmu. Penulis juga memohon maaf atas kekurangan yang ada pada buku tugas akhir ini.

*Wassalamualaikum wr wb*

Surabaya, Juli 2015

Penulis

## DAFTAR ISI

Halaman Judul .....	i
<i>Title Page</i> .....	ii
Lembar Pengesahan .....	iii
Abstrak .....	iv
<i>Abstract</i> .....	vi
Kata Pengantar .....	viii
Daftar Isi .....	x
Daftar Gambar .....	xv
Daftar Tabel .....	xviii
Daftar Lampiran .....	xxii
BAB I PENDAHULUAN .....	1
1.1 Latar Belakang .....	1
1.2 Rumusan Masalah .....	4
1.3 Tujuan .....	4
1.4 Batasan Masalah .....	5
1.5 Manfaat .....	5
BAB II TINJAUAN PUSTAKA .....	7
2.1 Permasalahan Pembangunan Konstruksi di Atas Tanah Lunak .....	7
2.2 Pemampatan (Settlement) .....	7
2.2.1 Pemampatan Konsolidasi ( <i>Consolidation Settlemenet</i> ) .....	7
2.2.2 Penambahan Tegangan ( $\Delta P$ ) pada Tanah .....	10
2.2.3 Asumsi Beban Lalu Lintas .....	11
2.2.4 Tinggi Timbunan Awal ( $H_{inisial}$ ) .....	11
2.2.5 Kecepatan Waktu Konsolidasi .....	12
2.2.6 Tinggi Timbunan yang Diizinkan .....	13
2.2.7 Perhitungan Stabilitas Timbunan .....	13
2.4 Metode Percepatan Pemampatan Tanah dengan <i>Vertical Drain</i> .....	13
2.5 Metode Perkuatan Tanah dengan Geotextile .....	20
2.5.1 Bahan Geosynthetic .....	20
2.5.2 Perencanaan Timbunan dengan Perkuatan	

	Geotextile.....	21
2.6	Metode Perkuatan Tanah dengan Cerucuk/Micropile ..	26
2.7	Metode Perkuatan Geotextile Wall .....	31
2.7.1	Prisip Geotextile untuk Dinding Penahan Tanah .....	31
2.7.2	Tekanan Tanah Lateral.....	34
2.7.1.1	Tekanan Lateral Aktif .....	35
2.7.1.2	Tekanan Lateral Pasif.....	36
2.8	Pembebanan Dinding Penahan Tanah .....	37
2.9	Kontrol Syarat Kestabilan Dinding Penahan Tanah ....	37
2.9.1	Kontrol Terhadap Geser.....	37
2.9.2	Kontrol Terhadap Daya Dukung Sebagai Pondasi .....	38
2.10	Daya Dukung Tiang Pancang.....	40
2.10.1	Perumusan Daya Dukung Pondasi Tiang Pancang.....	40
2.10.2	Perencanaan Daya Dukung Tiang Pancang Berdasarkan SPT Lapangan.....	40
2.10.3	Kapasitas Daya Dukung Kelompok Tiang Pancang.....	42
2.10.4	Ketahanan Pondasi Tiang Pancang terhadap Gaya Lateral.....	42
2.11	Alinyemen Horizontal.....	49
2.11.1	Gaya Sentrifugal .....	49
2.11.2	Kemiringan Melintang Normal .....	51
2.11.3	Lengkung Peralihan .....	52
2.11.4	Landai Relatif .....	52
2.11.5	Bentuk Lengkung / Tikungan Horizontal .....	54
2.12	Alinyemen Vertikal.....	59
2.12.1	Alinyemen Vertikal Cembung .....	60
2.12.2	Alinyemen Vertikal Cekung.....	61
BAB III	METODOLOGI .....	65
3.1	Bagan Alir.....	65

3.2	Studi Literatur .....	66
3.3	Pengumpulan dan Analisa Data.....	66
3.4	Perhitungan Beban .....	66
3.5	Menghitung Pemampatan Tanah yang Terjadi .....	67
3.6	Merencanakan Jenis Perbaikan Tanah Dasar.....	67
3.7	Merencanakan Pondasi Jembatan (Abutmen dan Pilar) beserta Timbunan dan Oprit Jembatan .....	67
3.8	Merencanakan Timbunan Jalan dan Oprit Trapesium Jembatan.....	67
3.9	Merencanakan Timbunan Oprit Tegak Jembatan .....	68
3.10	Kesimpulan dan Saran.....	68
<b>BAB IV DATA PERENCANAAN .....</b>		<b>69</b>
4.1	Data Tanah Asli .....	69
4.2	Data Timbunan Jalan.....	73
4.3	Data Timbunan Oprit Trapesium.....	73
4.4	Data Timbunan Oprit Tegak.....	74
4.5	Data Jembatan .....	74
4.6	Data Tiang Pancang .....	74
4.7	Data <i>Geotextile</i> .....	74
4.8	Data <i>Micropile</i> .....	75
4.9	Data <i>Vertical Drain</i> .....	75
<b>BAB V PERHITUNGAN PERENCANAAN TIMBUNAN JALAN DAN OPRIT .....</b>		<b>77</b>
5.1	Perencanaan Timbunan Jalan .....	77
5.1.1	Perhitungan Tinggi Awal ( $H_{inisial}$ ) Timbunan .....	78
5.1.2	Perhitungan Waktu Konsolidasi (t) .....	82
5.1.3	Perencanaan Prefabricated Vertical Drain (PVD).....	83
5.1.4	Perencanaan Perkuatan Timbunan .....	88
5.1.4.1	Perencanaan Perkuatan Geotextile .....	92
5.1.4.2	Perencanaan Perkuatan <i>Micropile</i> .....	95
5.2	Perencanaan Timbunan Oprit Trapesium.....	101
5.2.1	Perhitungan Tinggi Awal ( $H_{inisial}$ ) Timbunan ..	101
5.2.2	Perhitungan Waktu Konsolidasi (t) .....	101
5.2.3	Perencanaan Prefabricated Vertical Drain	

	(PVD).....	101
5.2.4	Perencanaan Perkuatan Timbunan .....	102
5.2.5	Perencanaan Perkuatan Timbunan Oprit Trapesium .....	105
	5.2.5.1 Perencanaan Perkuatan Geotextile .....	105
	5.1.5.2 Perencanaan Perkuatan Micropile .....	105
5.3	Perencanaan Timbunan Tegak .....	106
5.3.1	Perhitungan Tinggi Awal (Hinisial) Timbunan..	107
5.3.2	Perhitungan Waktu Konsolidasi (t) .....	108
5.3.3	Perencanaan <i>Prefabricated Vertical Drain</i> (PVD).....	109
5.3.4	Perencanaan Perkuatan Timbunan .....	109
	5.3.4.1 Perencanaan <i>Getotextile Wall</i> .....	109
	5.3.4.2 Perencanaan <i>Gravity Wall</i> .....	114
	5.3.5 Perhitungan Biaya Masing-Masing Perkuatan ...	118
BAB VI	PERENCANAAN ABUTMENT DAN PILAR .....	119
6.1	Perencanaan Abutment.....	119
	6.1.1 Data Perencanaan.....	119
	6.1.2 Pembebanan .....	119
	6.1.3 Kontrol Stabilitas Guling .....	130
	6.1.4 Perencanaan Tiang Pancang .....	131
	6.1.5 Penentuan Tiang Pancang yang Digunakan .....	135
	6.1.6 Perhitungan Penulangan Abutment .....	135
6.2	Perencanaan Abutment A-2 .....	138
	6.2.1 Data Perencanaan.....	138
	6.2.2 Pembebanan .....	139
	6.2.3 Kontrol Stabilitas Guling .....	139
	6.2.4 Perencanaan Tiang Pancang.....	140
	6.2.5 Penentuan Tiang Pancang yang Digunakan .....	141
	6.2.6 Perhitungan Penulangan Abutment .....	141
6.3	Perencanaan Pilar .....	141
	6.3.1 Data Perencanaan.....	142
	6.3.2 Analisa <i>Scouring</i> .....	142
	6.3.3 Pembebanan .....	143
	6.3.4 Kontrol Stabilitas Guling .....	150

6.3.5 Perencanaan Tiang Pancang.....	151
6.3.6 Penentuan Tiang Pancang yang Digunakan .....	156
6.3.7 Perhitungan Penulangan Pilar .....	156
BAB VII PERENCANAAN GEOMETRIK JALAN .....	159
7.1 Perencanaan Alinyemen Horizontal .....	159
7.2 Perencanaan Alinyemen Vertikal .....	162
BAB VIII PENUTUP .....	167
8.1 Kesimpulan .....	167
8.2 Saran .....	169
Daftar Pustaka .....	171
Lampiran .....	173
Biodata Penulis.....	198

## DAFTAR TABEL

Tabel 1.1	Rekapitulasi <i>Level of Service</i> Ruas Jalan Trengguli-Wedelan Tahun 2014, 2019, dan 2024...	1
Tabel 2.1	Tabel Faktor Waktu Terhadap Derajat Konsolidasi.....	12
Tabel 2.2	Angka Kemanaan untuk Menghitung $T_{allow}$ .....	25
Tabel 2.3	Hambatan antar Tanah dan pondasi .....	38
Tabel 2.4	Harga $N_y$ , $N_c$ , $N_q$ (Caquot dan Kerisel) .....	39
Tabel 2.5	Nilai kelandaian relatif maksimum (Bina Marga)...	53
Tabel 2.6	Standar Jari-Jari Minimum .....	54
Tabel 2.7	Kecepatan Rencana dan Jari-Jari Lengkung Minimum SCS.....	56
Tabel 2.8	Kecepatan Rencana dan Jari-Jari Lengkung Minimum SS.....	59
Tabel 2.9	Hubungan Kelandaian dan Panjang Kritis .....	60
Tabel 2.10	e dan $L_s$ Metode Bina Marga.....	63
Tabel 4.1	Parameter Tanah Dasar Sebelum Sungai .....	69
Tabel 4.2	Parameter Tanah Dasar Sesudah Sungai.....	70
Tabel 4.3	Hasil Perhitungan $C_u$ , $CC$ , $Ch$ , $\gamma_{sat}$ , dan $\gamma'$ Sebelum Sungai .....	71
Tabel 4.4	Hasil Perhitungan $C_u$ , $CC$ , $Ch$ , $\gamma_{sat}$ , dan $\gamma'$ Sesudah Sungai.....	72
Tabel 5.1	Kombinasi Zona <i>Initiation</i> dan <i>Termination</i> pada Analisis Program Bantu XSTABL .....	89
Tabel 5.2	Hasil Anilisis Kelongsoran Seluruh Kombinasi.....	90
Tabel 5.3	Tabel Hasil Perhitungan Jumlah Kebutuhan Total dan Total Biaya <i>Geotextile</i> Timbunan Jalan .....	95
Tabel 5.4	Tabel Hasil Perhitungan Jumlah Kebutuhan, Jarak Pemasangan, dan Total Biaya <i>Micropile</i> Timbunan Jalan .....	100
Tabel 5.5	Hasil Anilisis Kelongsoran Seluruh Kombinasi .....	102
Tabel 5.6	Tabel Hasil Perhitungan Jumlah Kebutuhan Total dan Total Biaya <i>Geotextile</i> Timbunan Jalan .....	105

Tabel 5.7	Tabel Hasil Perhitungan Jumlah Kebutuhan, Jarak Pemasangan, dan Total Biaya <i>Micropile</i> Timbunan Oprit Trapesium .....	106
Tabel 5.8	Hasil Perhitungan Kebutuhan Panjang Geotekstil untuk Sisi Sebelum Sungai .....	111
Tabel 5.9	Hasil Perhitungan Kebutuhan Panjang Geotekstil untuk Sisi Setelah Sungai .....	112
Tabel 5.10	Hasil Perhitungan Kontrol Terhadap Guling .....	113
Tabel 5.11	Hasil Perhitungan Kontrol Terhadap Guling .....	113
Tabel 5.12	Hasil Perhitungan Kontrol Terhadap Daya Dukung Pondasi .....	114
Tabel 5.13	Hasil Perhitungan Tegangan Tanah .....	114
Tabel 5.14	Hasil Perhitungan Momen Dorong .....	115
Tabel 5.15	Hasil Perhitungan Momen Penahan .....	115
Tabel 5.16	Rekap Beban <i>Gravity Wall</i> .....	116
Tabel 5.17	Hasil Kontrol Geser .....	116
Tabel 5.18	Hasil Perencanaan Tiang Pancang .....	116
Tabel 5.19	Hasil Perhitungan Momen Maksimum .....	117
Tabel 5.20	Biaya Perkuatan <i>Geotextile</i> .....	118
Tabel 5.21	Biaya Perkuatan Tiang Pancang pada <i>Gravity Wall</i> .....	118
Tabel 6.1	Beban Sendiri Struktur Atas .....	120
Tabel 6.2	Perhitungan Beban Sendiri Abutmen .....	121
Tabel 6.3	Perhitungan Tekanan Tanah .....	122
Tabel 6.4	Tabel 6.4 Perhitungan Beban Gempa Arah Memanjang .....	127
Tabel 6.5	Kombinasi Pembebaran Bangunan Bawah Jembatan .....	129
Tabel 6.6	Hasil Perhitungan Kombinasi Pembebaran Abutment A-1 .....	129
Tabel 6.7	Stabilitas Guling Arah X .....	130
Tabel 6.8	Stabilitas Guling Arah Y .....	130
Tabel 6.9	Hasil Perhitungan Kombinasi Tiang Pancang D40, D50, D60 pada Abutment A-1 .....	131
Tabel 6.10	Hasil perhitungan Pmax Tiang Pancang	

pada Abutment A-1 .....	132
Tabel 6.11 Hasil Perhitungan Kedalaman Tiang Pancang	
Rencana untuk Abutment A-1 .....	133
Tabel 6.12 Hasil Perhitungan Kontrol Tiang Pancang	
Rencana pada Abutment A-1 .....	135
Tabel 6.13 Harga Masing-Masing Tiang Pancang yang	
Dipakai .....	135
Tabel 6.14 Tabel 6.14 Hasil Perhitungan Kombinasi	
Pembebanan Abutment A-2 .....	139
Tabel 6.15 Stabilitas Guling Arah X untuk Abutment A-1 .....	140
Tabel 6.16 Stabilitas Guling Arah Y untuk Abutment A-2 .....	140
Tabel 6.17 Kedalaman Tiang Pancang untuk Abutment	
A-2 .....	140
Tabel 6.18 Hasil Kontrol Tiang Pancang untuk Abutment	
A-2 .....	141
Tabel 6.19 Kebutuhan Biaya Tiang Pancang untk Abutment	
A-2 .....	141
Tabel 6.20 Penlangan Abutment A-2 .....	141
Tabel 6.21 Beban Sendiri Struktur Atas (I-160) .....	143
Tabel 6.22 Beban Sendiri Struktur Atas (I-210) .....	143
Tabel 6.23 Perhitungan Beban Sendiri Abutmen .....	144
Tabel 6.24 Perhitungan Beban Gempa Arah Memanjang .....	149
Tabel 6.25 Hasil Perhitungan Kombinasi Pembebanan	
Abutment A-1 .....	150
Tabel 6.26 Stabilitas Guling Arah X .....	151
Tabel 6.27 Stabilitas Guling Arah Y .....	151
Tabel 6.28 Hasil Perhitungan Kombinasi Tiang Pancang	
D40, D50, D60 pada Pilar .....	152
Tabel 6.29 Hasil perhitungan Pmax Tiang Pancang pada	
Pilar .....	153
Tabel 6.30 Hasil Perhitungan Kedalaman Tiang Pancang	
Rencana untuk Pilar .....	154
Tabel 6.31 Hasil Perhitungan Kontrol Tiang Pancang	
Rencana pada Abutment A-1 .....	155
Tabel 6.32 Harga Masing-Masing Tiang Pancang yang	

Dipakai .....	156
Tabel 7.1 Hasil Persamaan Umum Lengkung Vertikal pada STA 28+513 .....	164

## **DAFTAR GAMBAR, GRAFIK, DAN DIAGRAM**

Gambar 1.1	Rencana Trase Jalan Baru Pesisir Pantai .....	2
Gambar 1.2	Detail Trase Jalan STA 28+513 s/d STA 29+020 .....	3
Gambar 2.1	Visualisasi dan Notasi $\Delta P$ .....	10
Gambar 2.2	Kondisi Tanah Lunak yang Mengalami Konsolidasi.....	15
Gambar 2.3	Dua Pola Susunan Pemasangan <i>Vertical Drain</i> .....	17
Gambar 2.4	Ekuivalen Diameter untuk PVD .....	18
Gambar 2.5	Konsep Dasar <i>Reinforced Soil System</i> .....	22
Gambar 2.6	Model Kelongsoran untuk <i>Overall Stability</i> ....	23
Gambar 2.7	Gaya-Gaya yang Bekerja untuk <i>Overall Stability</i> .....	24
Gambar 2.8	Asumsi Gaya yang Diterima Cerucuk .....	27
Gambar 2.9	Harga $f$ untuk Berbagai Jenis Tanah.....	28
Gambar 2.10	Grafik untuk Mencari Harga $F_M$ .....	30
Gambar 2.11	Proses Pelaksanaan Dinding Penahan Tanah dengan Penggunaan Geotekstil sebagai <i>Reinforcement</i> .....	31
Gambar 2.12	Prinsip Beban yang Bekerja pada <i>Geotextile Wall</i> .....	32
Gambar 2.13	External Stability pada Geotextile Walls .....	34
Gambar 2.14	Prosedur Desain untuk Masing-Masing Kondisi .....	45
Gambar 2.15	Koefisien-Koefisien untuk Tiang Pancang yang Menerima Beban Lateral pada Kondisi I .....	46
Gambar 2.16	Koefisien-Koefisien untuk Tiang Pancang	

yang Menerima Beban Lateral pada Kondisi II .....	47
Gambar 2.17 Koefisien-Koefisien untuk Tiang Pancang yang Menerima Beban Lateral pada Kondisi III .....	48
Gambar 2.18 Gaya – Gaya yang Bekerja pada Lengkung Horizontal.....	50
Gambar 2.19 Korelasi antara Derajat Lengkung D dan Radius Lengkung R .....	51
Gambar 2.20 Bentuk Tikungan <i>Circle</i> .....	54
Gambar 2.21 Bentuk Tikungan Spiral- <i>Circle</i> -Spiral .....	56
Gambar 2.22 Bentuk Tikungan Spiral.....	58
Gambar 2.23 Alinyemen Vertikal Cembung .....	60
Gambar 2.24 Alinyemen Vertikal Cekung .....	61
Gambar 3.1 Diagram Alir Tugas Akhir.....	65
Gambar 5.1 Pembagian Lapisan Tanah Dasar Setiap 1m....	77
Gambar 5.2 Grafik Hubungan $H_{final}$ dengan $H_{inisial}$ .....	81
Gambar 5.3 Grafik Hubungan $H_{final}$ dengan <i>Settlement</i> .....	82
Gambar 5.4 Grafik Hubungan U dengan Waktu Timbunan dengan PVD Pola Segiempat.....	85
Gambar 5.5 Grafik Hubungan U dengan Waktu Timbunan dengan PVD Pola Segitiga.....	87
Gambar 5.6 Pembagian Zona Simulasi Program XSTABL pada Timbunan Jalan .....	89
Gambar 5.7 Gambar Hasil Analisis Kelongsoran untuk Timbunan Jalan .....	92
Gambar 5.8 Gambar Kedalaman Kelongsoran dengan SF Sebesar SF Rencana .....	97
Gambar 5.9 Pembagian Zona Simulasi Program XSTABL pada Oprit Trapesium .....	102

Gambar 5.10	Gambar Hasil Analisis Kelongsoran untuk Timbunan Oprit Trapesium .....	104
Gambar 5.11	Potongan Melintang Oprit Tegak Sebelum Sungai.....	107
Gambar 5.12	Grafik hubungan $H_{final}$ dengan $H_{inisial}$ Timbunan Oprit Tegak .....	107
Gambar 5.13	Grafik hubungan $H_{final}$ dengan <i>Settlement</i> Timbunan Oprit Tegak .....	108
Gambar 5.14	Hasil Analisa Momen Maksimum untuk Tiang Pancang D40 Sisi Sebelum Sungai .....	117
Gambar 6.1	Desain Beban Sendiri Abutment.....	120
Gambar 6.2	Diagram Tegangan Akibat Tekanan Tanah di Belakang Abutment .....	122
Gambar 6.3	Desain Beban Sendiri Pilar .....	144
Gambar 7.1	Hasil Alinyemen Horizontal STA 28+513.....	162
Gambar 7.2	Hasil Alinyemen Vertikal STA 28+513 .....	165

# BAB I

## PENDAHULUAN

### 1.1 Latar Belakang

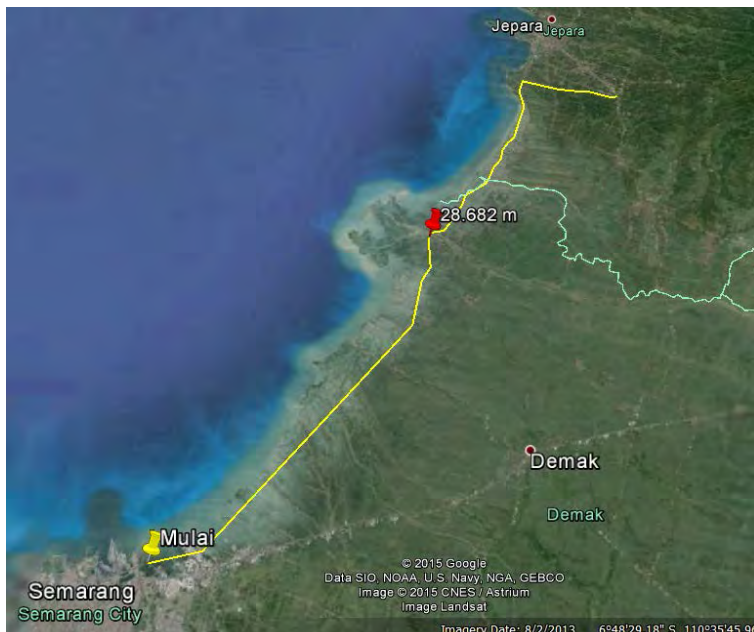
Kenaikan kebutuhan listrik khususnya di wilayah Jawa, membuat pemerintah dalam beberapa tahun ke depan mengeluarkan kebijakan penambahan pasokan energi listrik berupa Pembangkit Listrik 5 dan 6 di Pembangkit Listrik Tenaga Uap (PLTU) Tanjung Jati B, Jepara, Jaw

a Tengah. Dengan adanya pembangunan PLTU ini, pada tahun 2019 dan 2024 diperkirakan akan menyebabkan penambahan beban kinerja yang sangat tinggi baik kapasitas maupun kekuatan jalan pada ruas jalan Provinsi Jepara-Pati. Rekapitulasi *Level of Service* ruas jalan tersebut dapat dilihat pada **Tabel 1.1**.

Tabel 1.1 Rekapitulasi *Level of Service* Ruas Jalan Trengguli-Wedelan Tahun 2014, 2019, dan 2024  
(sumber: Survey Lembaga Penelitian dan Pengabdian Masyarakat ITS, 2012)

Kondisi Eksisting (Januari 2014)								2019	2024
No	Ruas	Kabupaten	DS	Level of Service	Kecepatan (km/jam)	Actual Capacity (PCU/H)	Lebar Perkerasan (m)	Level of Service	Level of Service
1	Perigaan Trengguli - Mijen Welahan	Demak	0,487	A	45,59	2848	7	E	F
2	Margoyoso - Gotri - Ngabul	Jepara	0,71	C	37,63	2576	7	F	F
3	Ngabul - Pertigaan Kecapi (Jalan Lingkar)	Jepara	0,275	A	50,95	2625	7	A	B
4	Pertigaan Wedelan - Tanjung Jati	Jepara	0,316	A	45,23	2418	6	A	C

Maka dari itu perlu dilakukan beberapa alternatif solusi pemecah kepadatan kinerja jalan provinsi Jepara-Pati, salah satunya dengan pembangunan jalan baru pesisir pantai di Kabupaten Jepara (**Gambar 1.1**).



Gambar 1.1 Rencana Trase Jalan Baru Pesisir Pantai  
(sumber: Lembaga Penelitian dan Pengabdian Masyarakat ITS, 2012)

Dalam Tugas Akhir ini, titik stasioner yang ditinjau dibatasi dari STA 28+513 sampai STA 28+952 (**Gambar 1.2**), berpotongan dengan Sungai Wulan yang memiliki lebar 100 meter. Maka dari itu dibutuhkan perencanaan timbunan, oprit, dan abutmen di kedua sisinya. Gambar layout dan potongan rencana ditampilkan pada **Lampiran 1**. Pada kedua sisi sungai terdapat dua jenis timbunan, yaitu timbunan trapesium dan timbunan tegak.



Gambar 1.2 Detail Trase Jalan STA 28+513 s/d STA 28+952  
 (sumber: [maps.google.com](http://maps.google.com), 2015)

Rencana jembatan Sungai Wulan ini direncanakan terbuat dari konstruksi girder beton dengan bentang 25m, 50m, dan 25m (**Lampiran 1**). Sementara timbunan jalan direncanakan setinggi 3 meter dan oprit setinggi 5 meter. Timbunan jalan yang direncanakan adalah 100 meter, dengan kemiringan longitudinal 0% (lurus). Oprit direncanakan memiliki kemiringan longitudinal sebesar 3,5%, sehingga memiliki panjang 68,8 meter (sebelum sungai) dan 68 meter (setelah sungai) (**Lampiran 1**).

Namun, berdasarkan hasil penyelidikan tanah yang dilakukan, kondisi tanah dasar di pesisir utara provinsi Jawa Tengah, berada dalam kondisi tanah lunak (**Lampiran 2**). Sebagai pemecahan permasalahan di atas, maka Tugas Akhir ini akan membahas bagaimana merencanakan timbunan oprit pada rencana pembuatan jalan baru pesisir pantai di Jepara baik timbunan jalan, oprit, dan pondasi jembatan. Perbaikan tanah

dasar dilakukan dengan *Prefabricated Vertical Drain* (PVD) apabila diperlukan. Perencanaan perkuatan timbunan trapesium menggunakan pilihan alternatif *geotextile* atau crucuk/*Micropile*. Sedangkan perencanaan perkuatan timbunan tegak menggunakan pilihan alternatif *geotextile wall* atau *gravity wall*. Diameter tiang pancang yang ditinjau adalah 40 cm, 50 cm, 60 cm, dan 80 cm. Analisa alternatif yang akan dipakai akan ditinjau dari nilai faktor keamanan yang layak digunakan, dengan memperhitungkan biaya material yang dipakai.

## 1.2 Rumusan Masalah

Dari uraian di atas, beberapa permasalahan yang akan dibahas dalam Tugas Akhir ini adalah sebagai berikut:

1. Berapa besar pemampatan yang terjadi akibat beban yang bekerja di atas tanah dasar (beban timbunan dan beban *traffic*)?
2. Berapa tinggi timbunan awal yang dibutuhkan untuk mencapai tinggi timbunan yang direncakan setelah terjadinya pemampatan?
3. Bagaimana perencanaan perkuatan *geotextile* pada timbunan jalan dan oprit trapesium jembatan?
4. Bagaimana perencanaan cerucuk/*micropile* pada timbunan jalan dan oprit trapesium jembatan?
5. Bagaimana perencanaan *geotextile wall* dan *gravity wall* pada timbunan oprit tegak jembatan?
6. Bagaimana perencanaan pondasi abutment dan pilar pada jembatan?
7. Apakah diperlukan perkuatan arah longitudinal dari tanah di belakang abutment jembatan ? Jika diperlukan, bagaimana bentuk perkuatannya?

## 1.3 Tujuan

Dari permasalahan di atas, tujuan yang ingin dicapai dalam penyusunan Tugas Akhir ini adalah:

1. Mengetahui besar pemampatan yang terjadi akibat beban yang bekerja di atas tanah dasar (beban timbunan dan beban *traffic*).
2. Mengetahui tinggi timbunan awal yang dibutuhkan untuk mencapai tinggi timbunan yang direncakan setelah terjadinya pemampatan.
3. Merencanakan perkuatan *Geotextile* pada timbunan jalan dan oprit trapesium jembatan.
4. Mampu merencanakan cerucuk/*micropile* pada timbunan jalan dan oprit trapesium jembatan.
5. Mampu merencanakan *geotextile wall* dan *gravity wall* pada timbunan oprit tegak jembatan.
6. Mampu merencanakan pondasi pada jembatan.
7. Melakukan perhitungan stabilitas tanah di belakang abutment (arah longitudinal), dan merencanakan perkuatannya apabila diperlukan.

#### **1.4 Batasan Masalah**

Beberapa batasan masalah yang didefinisikan dalam penyusunan Tugas Akhir ini antara lain:

1. Tidak merencanakan struktur atas jembatan.
2. Tidak menampilkan perhitungan geometri jalan.
3. Biaya yang dihitung hanya biaya material, tidak termasuk biaya pelaksanaan.
4. Data tanah dan gambar perencanaan menggunakan data sekunder
5. Tidak membahas drainase timbunan

#### **1.5 Manfaat**

Manfaat yang bisa didapat dari penyusunan Tugas Akhir ini yaitu agar dapat menjadi bahan acuan dalam perencanaan timbunan jalan, oprit trapesium dan tegak, beserta pondasi jembatan yang memiliki kemiripan spesifikasi perencanaan yang sama.

*“halaman ini sengaja dikosongkan”*

## **BAB II**

### **TINJAUAN PUSTAKA**

#### **2.1 Permasalahan Pembangunan Konstruksi di Atas Tanah Lunak**

Tanah lempung merupakan jenis tanah yang kurang menguntungkan untuk digunakan sebagai lapisan tanah dasar pondasi, karena daya dukung tanah ini sangat rendah dan memiliki kemampuan pemampatan tinggi. Beberapa permasalahan yang patut diwaspadai saat perencanaan dan pelaksanaan konstruksi adalah sebagai berikut:

1. Tanah lunak biasanya terletak di daerah dataran rendah yang sering banjir, sehingga syarat ketinggian timbunan maupun perkerasan jalan dipengaruhi oleh tinggi muka air banjir.
2. Tanah lunak atau sangat lunak memiliki daya dukung sangat rendah, yang menyebabkan tanah tidak mampu mendukung tinggi timbunan rencana beserta beban lalu lintasnya, sehingga memerlukan perbaikan tanah dasar yang cukup.

#### **2.2 Pemampatan (Settlement)**

##### **2.2.1 Pemampatan Konsolidasi (*Consolidation Settlement*)**

Adanya penambahan beban di atas suatu lapisan tanah jenuh menyebabkan tekanan air pori naik secara mendadak dan air berusaha mengalir keluar dari pori-pori tanah. Peristiwa pemampatan tanah yang disebabkan oleh kejadian tersebut disebut pemampatan konsolidasi primer (*primary consolidation settlement*). Pemampatan konsolidasi primer pada tanah lempung lunak pada umumnya jauh lebih besar dibandingkan jenis penurunan tanah lainnya.

Pemampatan konsolidasi sekunder (*secondary consolidation settlement*) terjadi setelah tekanan air pori hilang seluruhnya. Pemampatan yang terjadi disebabkan oleh penyesuaian butir-butir tanah yang bersifat plastis. Dalam perencanaan struktur di atas tanah lempung lunak, konsolidasi sekunder tidak ditinjau, karena:

1. Pemampatan konsolidasi sekunder terjadi setelah pemampatan konsolidasi primer selesai dalam waktu puluhan tahun.
2. Penurunan yang terjadi akibat pemampatan konsolidasi sekunder relatif kecil.
3. Penurunan yang terjadi akibat pemampatan konsolidasi sekunder tersebut merata, sehingga tidak menimbulkan bahaya kerusakan pada struktur di atasnya.

Besar pemampatan konsolidasi untuk jenis tanah lunak (lempung atau lanau) sangat tergantung pada sejarah geologis dari tanah yang bersangkutan. Tanah di lapangan pada kedalaman tertentu telah mengalami tegangan efektif prakonsolidasi, atau tegangan efektif yang pernah dialami di masa lampau. Tegangan efektif prakonsolidasi ini mungkin sama atau lebih kecil daripada tegangan efektif *overburden* (tegangan yang disebabkan oleh berat tanah di atasnya). Melihat keadaan ini maka dalam proses konsolidasi, ada dua definisi yang didasarkan pada sejarah tegangan:

1. Tanah terkonsolidasi secara normal, *Normally Consolidated Soil* (NC-Soil), di mana tegangan overburden efektif pada saat ini adalah merupakan tegangan maksimum yang pernah dialami tanah tersebut.
2. Tanah terkonsolidasi lebih, *Over Consolidated Soil* (OC-Soil), di mana tegangan overburden efektif saat ini adalah lebih kecil daripada tegangan yang pernah dialami oleh tanah yang bersangkutan sebelumnya.

Tanah disebut sebagai NC-Soil atau OC-soil tergantung dari harga *Over Consolidation Ratio* (OCR), yang didefinisikan dengan persamaan berikut ini:

$$OCR = \frac{\sigma_c'}{\sigma_o'}$$

di mana:

$\sigma_c'$  = effective past overburden pressure

$\sigma_o'$  = effective overburden pressure

NC-Soil mempunyai harga OCR = 1 dan OC soil mempunyai harga OCR >1.

Secara umum besar pemampatan konsolidasi pada lapisan tanah lempung setebal H dapat dihitung dengan persamaan (Das, 1985):

- Untuk tanah *Normally Consolidated* (NC-Soil):

$$Sc = C_c \cdot \frac{H_0}{1+e_0} \cdot \log \frac{\sigma'_{vo} + \Delta\sigma}{\sigma_{vo}}$$

- Untuk tanah *Over Consolidated* (OC-Soil):

- Bila  $(\sigma'_{vo} + \Delta\sigma) \leq \sigma'_c$ , maka:

$$Sc = \frac{Cs \cdot H_0}{1+e_0} \cdot \log \frac{\sigma'_{vo} + \Delta\sigma}{\sigma_{vo}} \quad [2.1]$$

- Bila  $(\sigma'_{vo} + \Delta\sigma) > \sigma'_c$ , maka:

$$Sc = \frac{Cs \cdot H_0}{1+e_0} \cdot \log \frac{\sigma'_c}{\sigma_{vo}} + \frac{Cc \cdot H_0}{1+e_0} \cdot \log \frac{\sigma'_{vo} + \Delta\sigma}{\sigma'_c} \quad [2.2]$$

di mana:

$Sc$  = besar pemampatan yang terjadi (m)

$C_c$  = indeks pemampatan (*compression index*)

$C_s$  = indeks pemuaian (*swelling index*)

$e_0$  = angka pori

$\sigma'_o$  = tegangan overburden efektif

$\Delta\sigma$  = penambahan beban vertikal (beban luar)

$\sigma'_c$  = tegangan prakonsolidasi

Semua persamaan pemampatan konsolidasi yang diberikan adalah untuk lapisan tanah yang *compressible*. Apabila lapisan tanah yang akan dihitung besar pemampatannya terdiri dari beberapa lapisan yang mempunyai sifat konsolidasi yang berbeda, maka pemampatan konsolidasi total merupakan penambahan dari pemampatan konsolidasi masing-masing lapisan. Sehingga besar pemampatan total adalah:

$$Sc = \sum_{i=1}^n Sc_i$$

di mana:

$n$  = jumlah lapisan tanah yang akan dihitung besar pemampatan konsolidasi.

$Sc_i$  = besar pemampatan konsolidasi untuk lapisan ke-i

Indeks Kompresi ( $C_c$ ) dan Indeks Mengembang ( $C_s$ ) untuk menghitung besar pemampatan yang terjadi di lapangan sebagai akibat dari konsolidasi ditentukan dari hasil tes di laboratorium atau menggunakan rumus empiris yang dikembangkan oleh Kosasih dan Mochtar (1986) sebagai berikut:

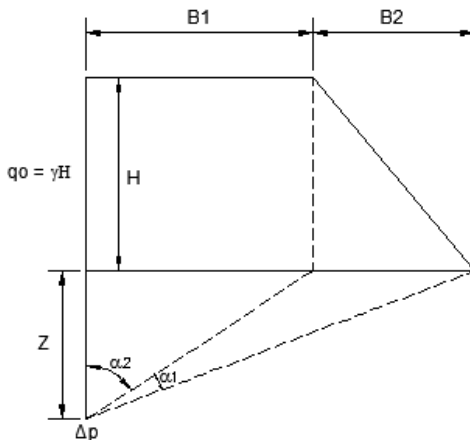
$$\begin{aligned} C_c &= 0.006 LL + 0.13 e_0^2 - 0.13 \\ C_s &= 0.002 LL + 0.02 e_0^2 - 0.05 \end{aligned} \quad [2.3]$$

di mana:

$$\begin{aligned} LL &= \text{batas cair (\%)} \\ e_0 &= \text{angka pori} \end{aligned}$$

### 2.2.2 Penambahan Tegangan ( $\Delta P$ ) pada Tanah

$\Delta\sigma'$  merupakan tambahan tegangan akibat pengaruh beban timbunan yang ditinjau di tengah-tengah lapisan. Menurut Braja M. Das (1986), dalam bukunya "*Principles of Foundation Engineering, Second Edition*" diagram tegangan tanah akibat timbunan adalah sebagai berikut:



Gambar 2.1 Visualisasi dan Notasi  $\Delta P$   
Besarnya  $\Delta\sigma'$  adalah:

$$\Delta\sigma' = \frac{q_0}{\pi} x \left[ \left( \frac{B_1+B_2}{B_2} \right) x (\alpha_1 + \alpha_2) - \left( \frac{B_1}{B_2} x \alpha_2 \right) \right] \quad [2.4]$$

di mana:

- $q_0$  = beban timbunan ( $t/m^2$ )  $\rightarrow q_0 = \gamma_{timb} \times h_{timb}$
- $\Delta\sigma'$  = besarnya tegangan akibat pengaruh beban timbunan yang ditinjau di tengah-tengah lapisan ( $t/m^2$ )
- $\alpha_1 = \tan^{-1}\left(\frac{B_1+B_2}{z}\right) - \tan^{-1}x\left(\frac{B_1}{z}\right)$  (radian)
- $\alpha_2 = \tan^{-1}x\left(\frac{B_1}{z}\right)$  (radian)
- $B_1$  =  $\frac{1}{2}$  lebar timbunan
- $B_2$  = panjang proyeksi horizontal kemiringan timbunan.

Nilai  $\Delta\sigma'$  yang diperoleh adalah untuk  $\frac{1}{2}$  bentuk timbunan sehingga untuk bentuk timbunan yang simetris, nilai I yang diperoleh harus dikali 2, dan berubah menjadi:

$$\Delta\sigma' = 2 \times q_0$$

### 2.2.3 Asumsi Beban Lalu Lintas

Beban lalu lintas dapat menyebabkan penurunan tanah dasar, untuk itu beban lalu lintas harus diperhitungkan sebagai tambahan beban merata yang menyebabkan penurunan tanah. Berdasarkan modul mata kuliah Metode Perbaikan Tanah, besar beban lalu lintas yang dipakai adalah  $1 t/m^2$  atau  $10 kN/m^2$ .

### 2.2.4 Tinggi Timbunan Awal ( $H_{inisial}$ )

Tinggi timbunan awal pada saat pelaksanaan tidak sama dengan tinggi timbunan rencana. Penentuan dari tinggi timbunan rencana pada saat pelaksanaan fisik (dengan memperhatikan adanya pemampatan), dapat dihitung dengan (Mochtar, 2012):

$$q_{final} = q = (H_{inisial} \times \gamma_{timb}) - (S_c \times \gamma_{timb}) + (S_c \times \gamma'_{timb})$$

$$q_{final} = q = (H_{inisial} - S_c)\gamma_{timb} + (S_c \times \gamma'_{timb})$$

$$H_{inisial} = \frac{q + (S_c \times \gamma_{timb}) - (S_c \times \gamma'_{timb})}{\gamma_{timb}} \quad [2.5]$$

$$H_{akhir} = H_{inisial} - S_c \quad [2.6]$$

### 2.2.5 Kecepatan Waktu Konsolidasi

Pada umumnya tebal dari lapisan yang memampat dinyatakan sebagai  $H$  dan panjang terjauh dari aliran rembesan air disebut  $H_{dr}$ . Persamaan dari Terzaghi (1984), untuk menghitung waktu konsolidasi dari lapisan tanah yang memampat tersebut adalah:

$$t = \frac{Tv \cdot (H_{dr})^2}{Cv} \quad [2.7]$$

di mana:

- $Tv$  = faktor waktu (**Tabel 2.1**)
- $t$  = waktu konsolidasi (detik)
- $Cv$  = koefisien konsolidasi ( $\text{cm}^2/\text{det}$ )
- $H_{dr}$  = panjang aliran air terpanjang

Tabel 2.1 Tabel Faktor Waktu Terhadap Derajat Konsolidasi

Derajat Konsolidasi U%	Faktor Waktu Tv
0	0
10	0,008
20	0,031
30	0,071
40	0,126
50	0,197
60	0,287
70	0,403
80	0,567
90	0,848
100	-

(sumber: Braja M. Das, 1985)

Untuk lapisan tanah yang dibatasi oleh 2 (dua) lapisan yang lolos air (*permeable*), misalnya pasir atau kerikil, panjang  $H_{dr} = \frac{1}{2} x$  tebal lapisan. Akan tetapi, bila lapisan sebelah bawah berupa

lapisan kedap air, maka aliran rembesan dianggap hanya dapat menuju ke atas lapisan, sehingga  $H_{dr} = H$ .

Untuk konsolidasi tanah yang berlapis-lapis dengan ketebalan berbeda, waktu konsolidasi dapat dicari dengan menggunakan rumus sebagai berikut (Mochtar, 2012):

$$Cv = \frac{(H_1 + H_2 + \dots + H_n)^2}{\left(\frac{H_1}{\sqrt{Cv_1}} + \frac{H_2}{\sqrt{Cv_2}} + \dots + \frac{H_n}{\sqrt{Cv_n}}\right)^2} \quad [2.8]$$

di mana:

$H_1, H_2, \dots, H_n$  = tebal lapisan-lapisan tanah lempung yang mengalami pemampatan.

$Cv_1, Cv_2, \dots, Cv_n$  = harga Cv untuk masing-masing lapisan tanah yang bersangkutan.

### 2.2.6 Tinggi Timbunan yang Diizinkan

Penentuan tinggi timbunan yang diizinkan dapat ditentukan dengan *trial* menggunakan program bantu, salah satunya XSTABL. Trial dilakukan setiap tinggi penimbunan.

### 2.2.7 Perhitungan Stabilitas Timbunan

Stabilitas timbunan dapat dihitung dengan menggunakan program XSTABL untuk menganalisa *overall stability*.

## 2.4 Metode Percepatan Pemampatan Tanah dengan *Vertical Drain*

Pada **Gambar 2.2** diberikan 2 buah contoh kondisi lapisan tanah dasar sedalam  $h = 10$  m yang dibebani dengan *embankment*, di mana pada **Gambar 2.2a** lapisan tanah dasar tidak diberi *vertical drain*, sehingga waktu konsolidasi dapat diasumsikan seperti persamaan 2.12:

$$t = \frac{Tv \cdot (H_{dr})^2}{Cv} \quad [2.9]$$

di mana:

$Tv$  = faktor waktu (**Tabel 2.1**)

$t$  = waktu konsolidasi (detik)

$Cv$  = koefisien konsolidasi ( $\text{cm}^2/\text{det}$ )

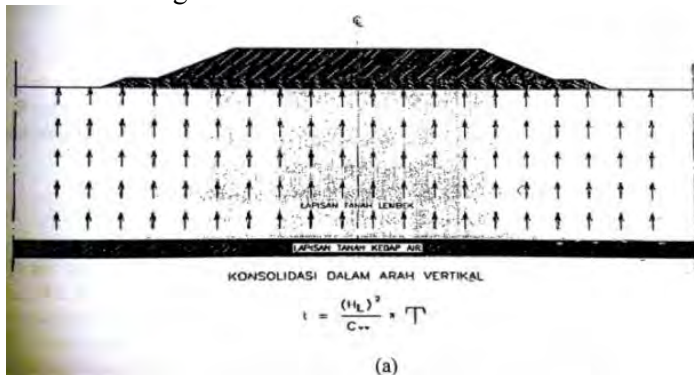
$$H_{dr} = \text{panjang aliran air terpanjang}$$

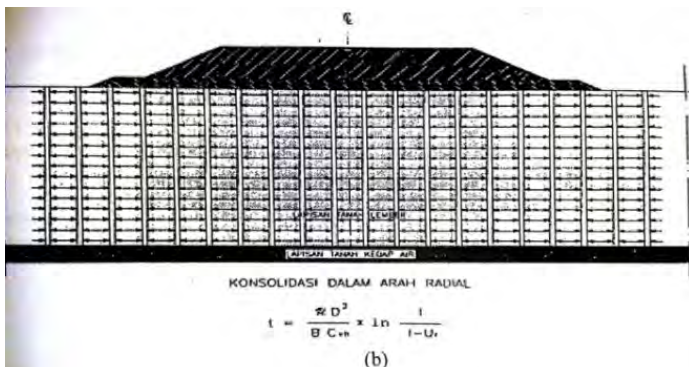
Pada **Gambar 2.2b**, lapisan tanah dasar dipasang *vertical drain* dengan jarak S. Dari jarak S dan pola pemasangan *vertical drain*, dapat dicari harga D, atau diameter ekivalen daerah pengaruh aliran untuk satu *vertical drain*. Bila terjadi konsolidasi, maka panjang *drainage path* yang semula dengan aliran arah vertikal adalah H, berubah menjadi  $\frac{1}{2} D$  dengan *drainage path* arah horizontal.

Pada umumnya harga Ch berkisar antara 1 sampai 3 kali Cv. Bila dianggap  $Ch = 2Cv$ , maka waktu  $t_2$  akan berkisar antara  $0,0018 \times t_1$ . Jadi, adanya pemasangan *vertical drain* akan sangat membantu mempercepat pelaksanaan konsolidasi, terutama konsolidasi primer pada lapisan tanah yang memampat.

*Vertical drain* yang dipasang pada lapisan tanah terkonsolidasi mempunyai bentuk bermacam-macam, tetapi dikenal dalam dua bentuk utama, yaitu:

- Bentuk *Sand Column*, berupa tiang-tiang pasir yang dimasukkan ke dalam tanah dengan bantuan pipa yang bergetar.
- Bentuk *Prefabricated Vertical Drain (PVD)*, terbuat dari bahan-bahan sintesis buatan pabrik yang dapat mengalirkan air tanah dengan baik.





Gambar 2.2 Kondisi Tanah Lunak yang Mengalami Konsolidasi:

a) Tanpa *Vertical Drain*, (b) Dengan *Vertical Drain*

(Sumber: Mochtar, 2012)

Sistem drainase vertikal (*vertical drain*) sangat efektif untuk mempercepat konsolidasi dari tanah kompresibel (seperti lempung atau lempung berlanau). Teori untuk menghitung kecepatan pemampatan telah dikembangkan oleh barron (1948) berdasarkan teori aliran pasir vertikal yang menggunakan asumsi teori Terzaghi tentang konsolidasi linear satu dimensi, yaitu:

1. Lempung jenuh air dan homogen.
2. Semua regangan tekan (*compressible strain*) dalam tanah bekerja hanya pada arah vertikal saja.
3. Arah aliran rembesan air pori dominan horizontal, dan dianggap tidak ada aliran rembesan arah vertikal.
4. Kebenaran hukum Darcy tentang koefisien permeabilitas ( $k$ ) berlaku pada semua lokasi.
5. Air dan butiran tanah relatif tak termampatkan dibandingkan dengan kemampuan pampatan struktur susunan partikel tanah lempung.
6. Beban tambahan pada awalnya diterima air pori sebagai tegangan air pori ( $u$ ).
7. Pada *vertical drain* tidak terjadi tegangan pori yang melebihi tegangan hidrostatis.

8. Daerah pengaruh aliran dari setiap *drain* berbentuk silinder.

Teori ini menetapkan hubungan antara waktu, diameter *drain*, jarak antar *drain*, koefisien konsolidasi, dan derajat konsolidasi rata-rata. Penentuan waktu konsolidasi dari teori ini dapat dibuat dengan persamaan sebagai berikut:

$$t = \left( \frac{D^3}{8 \cdot c_h} \right) \cdot F(n) \cdot \ln \left( \frac{1}{1 - U_h} \right)$$

di mana:

$t$  = waktu untuk menyelesaikan konsolidasi primer

$D$  = diameter ekivalen dari lingkaran tanah yang merupakan daerah pengaruh PVD.

$D = 1,13 \times S$  untuk pola susunan bujur sangkar dan

$D = 1,05 \times S$  untuk pola penyusunan segitiga, seperti **Gambar 2.3**.

$c_h$  = koefisien konsolidasi tanah arah horizontal.

$U_h$  = derajat konsolidasi tanah (arah horizontal).

Persamaan tersebut oleh Barron kemudian dikembangkan Hansbo (1979) untuk *Prefabricated Vertical Drain* (PVD), yang mendekati teori Barron. Teori Hansbo ini menyempurnakan teori Barron dengan memasukkan dimensi hambatan fisik dan karakteristik dari PVD, yaitu fungsi  $F(n)$  yang merupakan fungsi hambatan akibat jarak antara titik pusat PVD yang didefinisikan sebagai berikut:

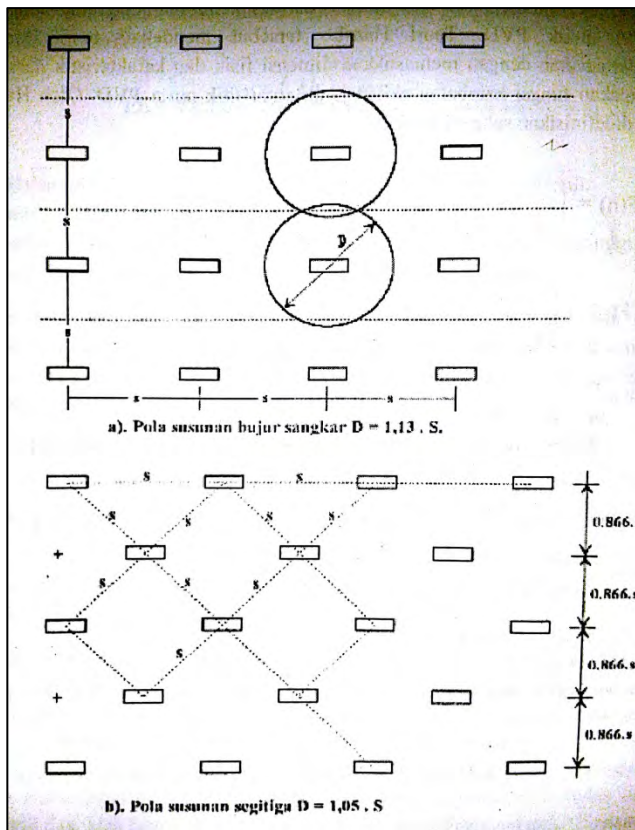
$$F(n) = \left( \frac{n^2}{n^2 - 1^2} \right) \left[ \ln(n) - \left( \frac{3n^2 - 1}{4n^2} \right) \right]; \text{ atau}$$

$$F(n) = \left( \frac{n^2}{n^2 - 1^2} \right) \left[ \ln(n) - \frac{3}{4} - \left( \frac{3n^2 - 1}{4n^2} \right) \right]$$

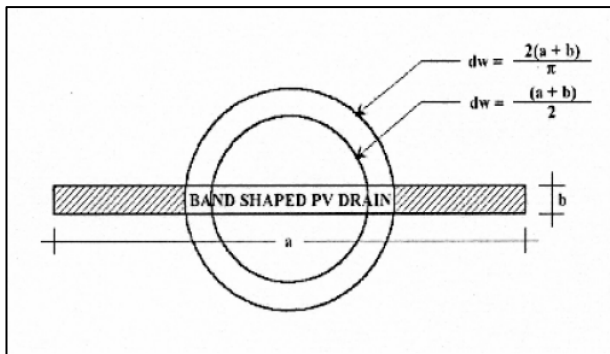
di mana:

$$n = D/dw \quad [2.10]$$

$d_w$  = diameter ekivalen dari *vertical drain* (ekivalen terhadap bentuk lingkaran), seperti pada **Gambar 2.4**



Gambar 2.3: Dua Pola Susunan Pemasangan Vertical Drain  
(Sumber: Mochtar, 2012)



Gambar 2.4: Ekuivalen Diameter untuk PVD  
(Sumber: Mochtar, 2012)

Pada umumnya,  $n > 20$  sehingga dapat dianggap  $\frac{1}{4n^2} \approx 0$  dan  $\left(\frac{n^2}{n^2-1^2}\right) \approx 1$ .

Jadi,

$$F(n) = \ln(n) - \frac{3}{4}, \text{ atau}$$

$$F(n) = \ln(D/dw) - \frac{3}{4}$$

Untuk menghitung waktu konsolidasi, Hansbo (1979) menggunakan persamaan sebagai berikut:

$$t = \left( \frac{D^2}{8.C_h} \right) \cdot (F(n) + F_s + F_r) \cdot \ln \left( \frac{1}{1-U_h} \right)$$

di mana:

$t$  = waktu yang diperlukan untuk mencapai  $U_h$

$D$  = diameter ekuivalen lingkaran, dilihat dari brossur PVD pada **Lampiran I**:

1,13 x S untuk pola susunan segiempat

1,05 x S untuk pola susunan segitiga

$S$  = jarak antara titik pusat PVD

$C_h$  = koefisien konsolidasi aliran horizontal

$= (kh/kv) \cdot C_v$

$kh/kv$  = perbandingan antara koefisien permeabilitas tanah arah horizontal dan vertikal. Untuk tanah

lempung yang jenuh air, harga ( $kh/kv$ ) berkisar antara 2 sampai 5.

$F(n)$  = faktor hambatan disebabkan karena jarak antar PVD

$Fr$  = faktor hambatan akibat gangguan pada PVD sendiri

$F_s$  = faktor hambatan tanah yang terganggu (*disturbed*)

$Uh$  = derajat konsolidasi tanah, arah horizontal.

$F_s$  merupakan faktor yang disebabkan oleh ada tidaknya perubahan pada tanah di sekitar PVD akibat pemasangan PVD tersebut. Faktor ini memasukkan pengaruh *disturbance* (gangguan) terhadap tanah, karena pemasangan tersebut.  $F_s$  dapat dirumuskan sebagai berikut (Hansbo, 1979):

$$F_s = (kh/ks-1).ln(ds/dw)$$

di mana:

$ks$  = koefisien permeabilitas arah horizontal pada tanah yang terganggu (*disturbed*).

$ds$  = diameter daerah yang terganggu (*disturbed*) sekeliling *vertical drain*.

$dw$  = diameter ekuivalen.

Adanya faktor  $F_s$  dan  $Fr$  cenderung memperlambat kecepatan konsolidasi. Dari penyelidikan diketahui bahwa faktor yang paling penting adalah  $F(n)$ . Besar faktor ( $F_s$ ) dapat mendekati atau bahkan sedikit lebih besar daripada  $F(n)$ , tergantung dari besarnya kerusakan tanah akibat pemasangan PVD. Dari data lapangan didapatkan harga  $F_s/F(n)$  dapat berkisar antara 1 sampai 3. Untuk memudahkan perencanaan, maka dapat diasumsikan bahwa  $F_s = F(n)$ . Pengaruh perlawanan aliran ( $Fr$ ) umumnya kecil dan tidak begitu penting. Maka, harga  $Fr$  dapat dianggap nol. Jadi,  $F(n) + F_s + Fr \approx 2.F(n)$ .

Dengan memasukkan anggapan-anggapan di atas, maka menjadi menjadi:

$$t = \left( \frac{D^2}{8.C_h} \right) \cdot (2.F(n)) \cdot \ln \left( \frac{1}{1-Uh} \right)$$

di mana:

$t$  = waktu yang diperlukan untuk mencapai  $Uh$

$D$  = diameter ekuivalen lingkaran

$1,13 \times S$  untuk pola susunan bujursangkar

$1,05 \times S$  untuk pola susunan segitiga

$Ch$  = koefisien konsolidasi aliran

horizontal

=  $(kh/kv) \cdot Cv$

$kh/kv$  = perbandingan antara koefisien permeabilitas tanah arah horizontal dan vertikal. Untuk tanah lempung yang jenuh air, harga  $(kh/kv)$  berkisar antara 2 sampai 5.

$F(n)$  = faktor hambatan disebabkan karena jarak antar PVD

$Uh$  = derajat konsolidasi arah horizontal.

Dengan memasukkan harga  $t$  tertentu, harga  $Uh$  dapat dicari pada bagian lapisan tanah yang dipasang PVD. Selain konsolidasi arah horizontal, juga terjadi konsolidasi arah vertikal  $Uv$ . Sehingga, derajat konsolidasi gabungan dari lapisan tanah yang dipasang PVD ( $U$ ) dapat dicari dengan cara:

$$U = [1 - (1 - Uh) \cdot (1 - Uv)] \times 100\% \quad [2.11]$$

## 2.5 Metode Perkuatan Tanah dengan *Geotextile*

Selain dengan mempercepat pemampatan konsolidasi tanah dasar untuk meningkatkan daya dukung tanah, bentuk perkuatan tanah yang dapat dilakukan sebagai alternatif adalah perkuatan tanah dengan bahan *geotextile*.

### 2.5.1 Bahan Geosynthetic

Pengertian *geosynthetic* menurut ICI Fibres (1986) adalah *a synthetic material used in a soil (geo) environment* atau sebuah bahan sintesis (tiruan/buatan) yang digunakan dalam pekerjaan teknik bangunan di dalam tanah. Pada perkembangannya timbul bermacam-macam bentuk *geosynthetic* sesuai dengan fungsi dan penggunaannya. Beberapa bentuk dasar dari *geosynthetic* adalah (ICI Fibres, 1986):

1. *Geotextile*, merupakan material yang berbentuk bahan tekstil atau rajutan dan bersifat tembus air.
2. *Geogrid*, merupakan material yang berbentuk anyaman dalam *grid* besar menyerupai jaring.

3. *Geomembrane*, merupakan material yang berbentuk lapisan tipis yang kedap air dan berfungsi menyerupai membran.
4. *Geo-linier element*, merupakan material yang berupa lajur-lajur tunggal yang terdiri sendiri, berwujud pipih atau seperti pipa, yang umumnya berfungsi memperkuat tanah.
5. *Geocomposite*, merupakan material gabungan dari dua atau lebih bahan *geosynthetic* yang berbeda atau bahan sintesis lain yang tidak termasuk ke dalam keempat bentuk di atas.

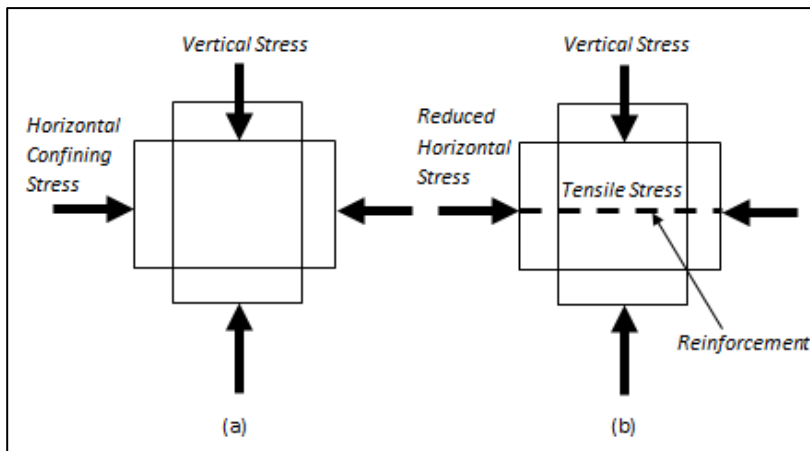
Secara umum, bahan *geosynthetic* digunakan untuk lima tujuan dasar berdasarkan fungsi yang dimiliki, yaitu:

1. *Separator*, sebagai pemisah di antara dua lapisan tanah dengan tanah, atau tanah dengan cairan agar tidak tercampur.
2. Drainase, sebagai pengalir air tanah yang baik.
3. Penyaring (*filter*), sebagai penyaring dan penahan partikel tanah halus supaya tidak terbawa aliran rembesan air tanah.
4. Kontrol erosi dan pelindung, sebagai pengontrol erosi dan melindungi tanah dari kelongsoran.
5. *Reinforcement*, sebagai perkuatan tanah.

Pada dasarnya, bahan *geosynthetic* hampir selalu digunakan lebih dari satu fungsi.

## 2.5.2 Perencanaan Timbunan dengan Perkuatan Geotextile

Untuk meningkatkan daya dukung tanah dasar di bawah *embankment*, terutama pada awal umur *embankment*, dapat digunakan perkuatan tanah dengan menggunakan bahan *geosynththetic* jenis *geotextile* atau *geogrid*. Sebuah model sederhana pada **Gambar 2.5** dapat digunakan untuk menjelaskan konsep dasar *reinforced soil*.



Gambar 2.5: Konsep Dasar *Reinforced Soil System*  
(Sumber: Mochtar, 2012)

Gambar 2.5(a) di atas merupakan elemen tanah dengan tegangan vertikal yang seragam. Gaya tegangan vertikal ini mendesak elemen dan menggerakkan tegangan horizontal di sekitar elemen. Besarnya tegangan horizontal ini berhubungan langsung dengan kemampuan ekspansi lateral elemen.

Pada elemen tanah yang sama dan telah diperkuat pada Gambar 2.5(b), di mana interaksi antara tanah dan *reinforcement* menyebabkan gaya tegangan tarik pada *reinforcement*. Gaya tegangan tarik dengan pengurangan tegangan horizontal di sekitar tanah menyebabkan kesetimbangan pada elemen tanah. Kontribusi dari *reinforcement* untuk kestabilan elemen tanah dipengaruhi oleh regangan lateral, kekakuan *reinforcement* dan tipe tanah. Singkatnya, tujuan dari *reinforcement soil* adalah mentransfer mayoritas tegangan *confining horizontal* kepada *reinforcement* untuk membuat massa tanah yang stabil.

Perencanaan *geotextile* tergantung pada besar peningkatan momen perlawanan ( $\Delta M_R$ ) yang direncanakan. Perhitungan untuk mencari ( $\Delta M_R$ ) dapat menggunakan persamaan berikut:

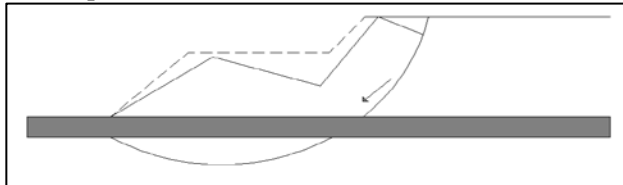
$$\Delta M_R = (M_D \times SF) - M_R \quad [2.12]$$

di mana:

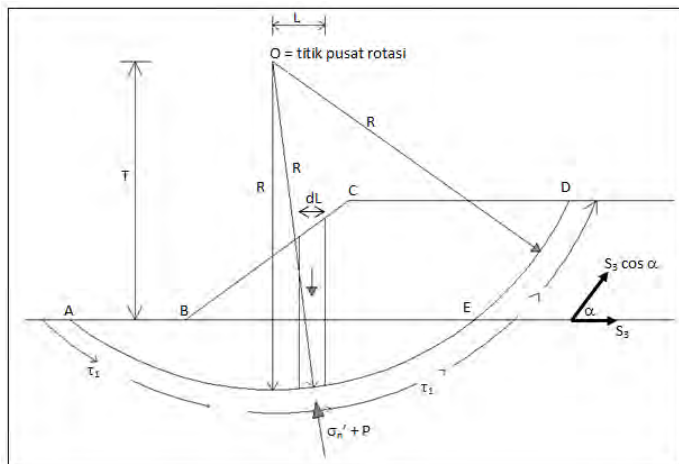
$$\begin{aligned}
 M_R &= \text{momen penahan} \\
 \Delta M_R &= \text{momen penahan tambahan} \\
 &\quad \text{yang harus dipikul oleh geotextile} \\
 M_D &= \text{momen dorong}, \frac{M_R}{SF}
 \end{aligned}$$

### ***OVERALL STABILITY***

*Overall Stability* adalah kestabilan *embankment* beserta tanah dasarnya bila ditinjau terhadap keruntuhan menurut bidang gelincir lingkaran (*circular*) atau blok (*wedge-type failure*) seperti yang ditunjukkan pada **Gambar 2.6**. Untuk menganalisa angka keamanan dari *overall stability* dapat menggunakan model irisan Bishop (1955) dengan bantuan Program XSTABL. Gaya-Gaya yang bekerja pada *overall stability* juga sesuai dengan yang digambarkan pada **Gambar 2.7**.



Gambar 2.6: Model Kelongsoran untuk *Overall Stability*  
(Sumber: Mochtar, 2000)



Gambar 2.7: Gaya-Gaya yang Bekerja untuk *Overall Stability*  
(Sumber: Mochtar, 2000)

$$\begin{aligned} T &= \text{jarak vertikal titik pusat rotasi dengan } geotextile \text{ yang ditinjau} \\ &= yo - yc \end{aligned} \quad [2.13]$$

dengan:

$$\begin{aligned} yo &= \text{ordinat titik pusat rotasi} \\ yc &= \text{ordinat titik yang ditinjau} \end{aligned}$$

$$\begin{aligned} \tau &= \text{tegangan geser } geotextile \text{ dengan tanah asli} \\ &= Cu + \sigma v \cdot \tan \theta \end{aligned} \quad [2.14]$$

dengan:

$$\begin{aligned} Cu &= \text{tegangan geser tanah asli} \\ \sigma v &= \text{tegangan vertikal timbunan} \\ \theta &= \text{tegangan geser tanah} \end{aligned}$$

Adapun syarat dari *overall stability* yang harus dipenuhi adalah sebagai berikut:

$$M_R = (M_D \times SF) + \Delta M_R$$

$$SF = \frac{MR - \Delta M_R}{M_D}$$

di mana:

$M_D$  = Momen penggerak = (berat segmen busur ABCDEA) x jarak pusat berat ABCDEA terhadap O.

$M_R$  = Momen penahan

$\Delta M_R$  = Momen penahan tambahan yang ditahan oleh *geotextile*

$SF_{min} \geq 1,5$  (bebani tetap);  $SF_{min} \geq 1,2$  (bebani sementara)

Syarat kekuatan bahan  $S_1$

$$T_{allow} = \frac{T_{ultimate}}{SF} \quad [2.15]$$

$T_{allow}$  = Kekuatan tarik *geotextile* ( $kN/m^2$ )

$T_{ultimate}$  = kekuatan tarik bahan *geotextile* ( $kN/m^2$ )

$SF$  =  $SF_{ID} \times SF_{CR} \times SF_{CD} \times SF_{BD}$  (**Tabel 2.2**)

di mana:

$SF_{ID}$  = angka keamanan untuk kesalahan pemasangan (*installation damage*)

$SF_{CR}$  = angka keamanan untuk *creep*

$SF_{CD}$  = angka keamanan untuk *chemical degradation*

$SF_{BD}$  = angka keamanan untuk *biological degradation*.

Bila syarat ini tidak terpenuhi, digunakan beberapa lapis bahan.

Tabel 2.2 : Angka Kemanaan untuk Menghitung  $T_{allow}$

<i>Application Area</i>	Harga angka keamanan yang disarankan			
	Terhadap <i>Installation Damage</i> ( $FS_{ID}$ )	Terhadap <i>Creep</i> ( $FS_{CR}$ )	Terhadap <i>Chemical Degradation</i> ( $FS_{CD}$ )	Terhadap <i>Biological Degradation</i> ( $FS_{BD}$ )
Separation	1,1-2,5	1,0-1,2	1,0-1,5	1,0-1,2
Cushioning	1,1-2,0	1,2-1,5	1,0-2,0	1,0-1,2
Unpaved Road	1,1-2,0	1,5-2,5	1,0-1,5	1,0-1,2
Walls	1,1-2,0	2,0-4,0	1,0-1,5	1,0-1,3
Embankment	1,1-2,0	2,0-3,0	1,0-1,5	1,0-1,3
Bearing Capacity	1,1-2,0	2,0-4,0	1,0-1,5	1,0-1,3
Slope stabilization	1,1-1,5	1,5-2,0	1,0-1,5	1,0-1,3
Pavement Overlay	1,1-1,5	1,0-1,2	1,0-1,5	1,0-1,1
Rail Load	1,5-3,0	1,0-1,5	1,5-2,0	1,0-1,2
Flexible Forms	1,1-1,5	1,5-3,0	1,0-1,5	1,0-1,1
Silt Fences	1,1-1,5	1,5-2,5	1,0-1,5	1,0-1,1

Panjang *Geotextile* di belakang bidang lonsor (Le) dihitung menggunakan persamaan berikut:

$$Le = (T_{allow} \times SF_{enc}) / [(\tau_1 + \tau_2) \times E] \quad [2.16]$$

dengan:

$$E = \text{efisiensi, diambil } E = 0,8$$

Besar Momen penahan *geotextile* dapat dihitung menggunakan persamaan berikut:

$$M_{\text{geotextile}} = T_{allow} \times T_i \quad [2.17]$$

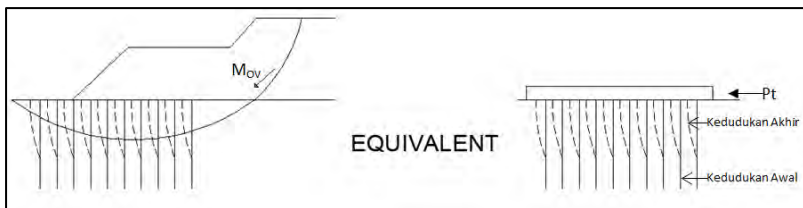
$T_{allow}$  = Kekuatan tarik *geotextile* ( $\text{kN/m}^2$ )

$T_i$  = Jarak vertikal antara *geotextile* dengan pusat bidang longsor (m)

## 2.6 Metode Perkuatan Tanah dengan Cerucuk/*Micropile*

Penggunaan pondasi tiang, baik tiang pancang biasa maupun tiang mini, sampai saat ini masih berdasarkan asumsi tiang mendukung beban aksial sepenuhnya untuk diteruskan kepada lapisan tanah di bawahnya, sedangkan lapisan tanah di permukaan dianggap tidak mendukung beban sama sekali. Karena masih adanya kendala dengan penggunaan tiang pancang di banyak kasus, diberikan kemungkinan penggunaan tiang mini (*micropile*) hanya sebagai bahan penguat tanah (*soil reinforcer*), di mana beban struktur sepenuhnya ditahan oleh tanahnya sendiri. Asumsi yang dipakai untuk perhitungan *micropile* ini adalah asumsi cerucuk oleh Mochtar (2012).

Penggunaan cerucuk dimaksudkan untuk menaikkan tahanan geser tanah. Bila tahanan tanah terhadap geser meningkat, maka daya dukung tanah pun meningkat. Asumsi yang digunakan dalam konstruksi cerucuk dapat dilihat pada **Gambar 2.8**. Pada gambar tersebut, kelompok tiang (cerucuk) diasumsikan ekuivalen dengan kelompok tiang biasa dengan “*rigid cap*” pada permukaan tanah yang menerima gaya horizontal dan menimbulkan tegangan geser sepanjang bidang gelincir. Konstruksi cerucuk yang dapat dipakai diantaranya adalah cerucuk bambu, cerucuk kayu, cerucuk beton (*micropile*), dan lain-lain.



Gambar 2.8: Asumsi Gaya yang Diterima Cerucuk

(Sumber: Mochtar, 2012)

Untuk menghitung kebutuhan cerucuk per meter, terlebih dahulu ditentukan kekuatan 1 (satu) tiang/cerucuk untuk menahan gaya horizontal. Kemudian berdasarkan perbandingan dari besarnya momen penggerak dengan momen penahan yang dibutuhkan, ditentukan jumlah tiang/cerucuk yang diperlukan. Sesuai dengan syarat kestabilan lereng, maka dengan pemberian cerucuk harga angka keamanan dari kestabilan lereng harus dibuat menjadi sekurang-kurangnya 1,1 untuk kondisi dengan beban sementara (kendaraan) dan sekurang-kurangnya 1,50 untuk kondisi beban timbunan saja.

Adapun prosedur dari perhitungan kebutuhan cerucuk berdasarkan NAVFAC DM-7 (1971) adalah sebagai berikut:

- Menghitung kekuatan 1 (satu) buah cerucuk terhadap gaya horizontal.

- Menghitung faktor kekuatan relatif ( $T$ )

$$T = \left( \frac{EI}{f} \right)^{\frac{1}{5}} \quad [2.18]$$

di mana:

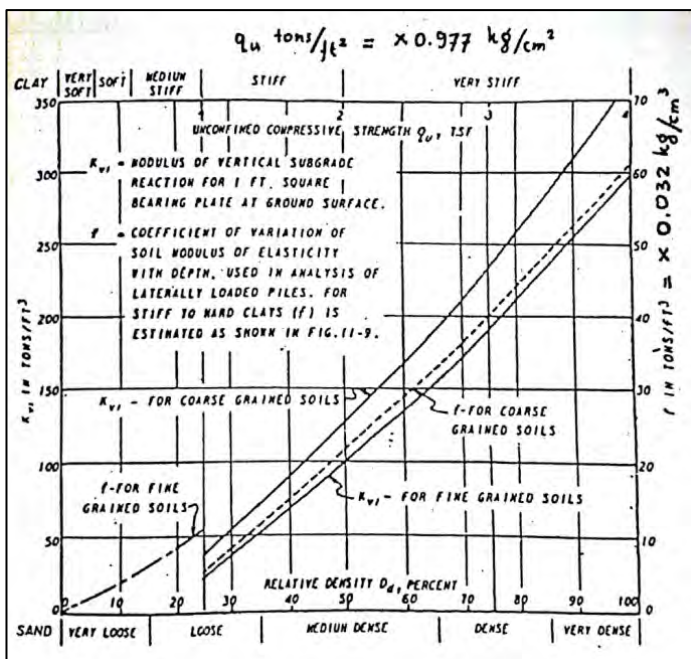
$E$  = Modulus elastisitas tiang (cerucuk),  $\text{Kg}/\text{cm}^2$

$I$  = Momen inersia tiang (cerucuk),  $\text{cm}^4$

$f$  = koefisien dari variasi modulus tanah,  $\text{kg}/\text{cm}^3$

$T$  = faktor kekakuan relatif, cm

Harga  $f$  dengan bantuan **Gambar 2.9** yang merupakan garfik antara  $f$  dengan *unconfined compression strength*, yaitu  $q_u = 2.C_u$



Gambar 2.9 Harga f untuk Berbagai Jenis Tanah  
(Sumber: *Design Manual*, NAVFAC DM-7, 1971)

- Menghitung gaya horizontal yang mampu ditahan 1 tiang.

$$M_p = F_M \times (P \times T)$$

di mana:

$M_p$  = momen lentur yang mampu ditahan oleh cerucuk akibat beban horizontal  $P$ , Kg.com.

$F_M$  = koefisien momen akibat gaya lateral  $P$ .

$P$  = gaya horizontal maksimum yang mampu diterima oleh satu cerucuk, Kg.

$T$  = faktor kekakuan relatif, cm.

Dengan merencanakan panjang cerucuk yang tertahan di bawah/atas bidang gelincir ( $L$ ) didapat harga  $L/T$  dengan bantuan **Gambar 2.11** dan harga  $L/T$  pada kedalaman  $z$  didapat harga  $F_M$ .

Jadi, gaya horizontal yang mampu dipikul oleh 1 (satu) cerucuk adalah:

$$P = \frac{M_p}{F_M \times T} \quad [2.19]$$

Gaya maksimal  $P_{\max}$  yang dapat ditahan oleh 1 cerucuk terjadi bila  $M_p$  = momen maksimal lentur bahan cerucuk. Bila kekuatan bahan dan dimensi bahan diketahui, maka:

$$M_p \max 1 \text{ cerucuk} = \frac{\sigma_{\max \text{ bahan}} \times I_n}{C}$$

atau  $M_p \max 1 \text{ cerucuk} = \sigma_{\max} \times W$   
di mana:

$\sigma_{\max}$  = tegangan tarik/tekan maks. bahan cerucuk

L = momen inersia penampang cerucuk terhadap garis yang melewati titik pusat penampang

C =  $\frac{1}{2} \times D$ , D = diamater cerucuk

W =  $I_n/C$

sehingga:

$$P_{\max 1 \text{ cerucuk}} = \frac{M_p \max 1 \text{ cerucuk}}{F_M \times T} \times F_k \quad [2.20]$$

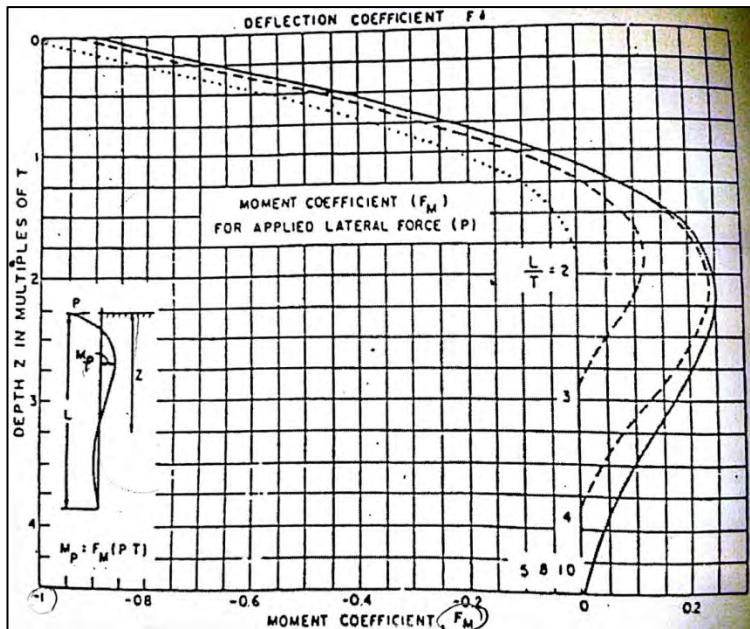
dengan  $F_k$  menurut Mochtar & Arya (2002):

$$F_k = 2,643 \times \left[ \frac{0,89 + 0,12 \cdot \frac{L}{D}}{2,69} \right] \times \left[ \frac{0,855 \times C u^{-0,392}}{2,865} \right] \quad [2.21]$$

di mana:

L = panjang cerucuk di bawah bidang gelincir

D = dimensi *micropile*.



Gambar 2.10: Grafik untuk Mencari Harga  $F_M$   
 (Sumber: Design Manual, NAVFAC DM-7, 1971)

- b. Untuk menghitung banyaknya tiang atau cerucuk per meter, maka ditentukan gaya horizontal total yang terjadi pada bidang gelincir ( $P_t$ ).  $P_t$  didapat dengan mengetahui besarnya momen penahan yang dibutuhkan (yaitu momen penahan yang telah ditingkatkan).

$$SF_{yang\ diinginkan} = \frac{Momen\ Penahan\ (M_R)}{Momen\ Penggerak\ (M_D)}$$

Di mana:

$SF_{yang\ diinginkan}$  = Safety Factor yang hendak dicapai

$$M_R = \sum Cu_i \times L_i \times R_i = M_R \text{ dari tanah} + \Delta M_R \text{ dari cerucuk}$$

$Cu$  = Tegangan geser *undrained* tanah dasar

$L$  = Panjang bidang gelincir

$R$  = Jar-jari putar bidang gelincir

$$M_R = M_R \text{ dari tanah} + \Delta M_R \text{ dari cerucuk}$$

Di mana:

$$M_R = SF_{\text{yang diinginkan}} \times M_D$$

$$M_R \text{ dari tanah} = SF_{\text{yang ada}} \times M_D$$

Maka:

$$(SF_{\text{yang diinginkan}} \times M_D) = (SF_{\text{yang ada}} \times M_D) + \Delta M_R \text{ dari cerucuk}$$

$$\Delta M_R \text{ dari cerucuk} = (SF_{\text{yang diinginkan}} - SF_{\text{yang ada}}) \times M_D$$

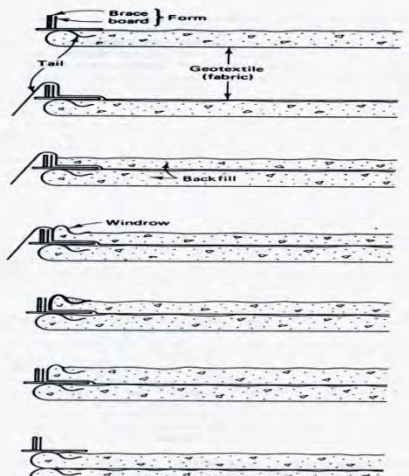
Tambahan  $\Delta M_R$  tersebut merupakan tambahan momen penahan yang ditimbulkan oleh adanya cerucuk, sehingga jumlah cerucuk yang dibutuhkan ( $n$ ), adalah:

$$n \times P_{\max 1 \text{ cerucuk}} \times R = (SF_{\text{yang diinginkan}} - SF_{\text{yang ada}}) \times M_D$$

$$n = \frac{(SF_{\text{yang diinginkan}} - SF_{\text{yang ada}}) \times M_D}{P_{\max 1 \text{ cerucuk}} \times R} \quad [2.22]$$

## 2.7 Metode Perkuatan *Geotextile Wall*

### 2.7.1 Prisip *Geotextile* untuk Dinding Penahan Tanah



Gambar 2.11 Proses Pelaksanaan Dinding Penahan Tanah dengan Penggunaan Geotekstil sebagai *Reinforcement*

Stabilitas *Geotextile* sebagai dinding penahan tanah yang perlu ditinjau adalah *Internal Stability* dan *External Stability*.

Pada Internal Stability gaya-gaya yang perlu diperhatikan adalah :

- Tanah di belakang dinding
- Beban luar :      Beban Surcharge  
                        Beban Hidup

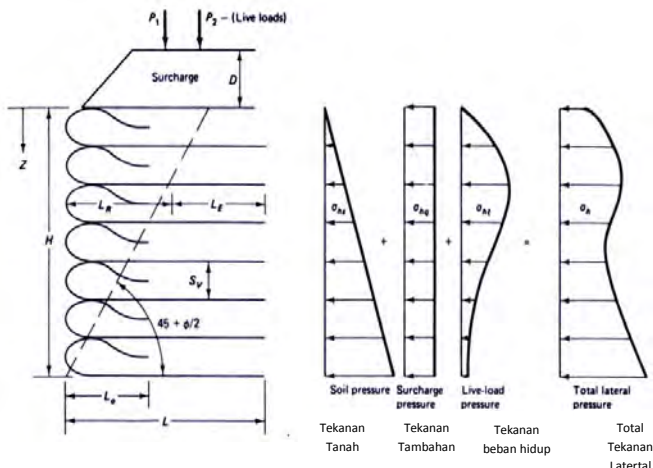
Besar tegangan horisontal yang diterima dinding ( $\sigma_H$ ) :

$$\sigma_H = \sigma_{HS} + \sigma_{Hq} + \sigma_{HL} \quad [2.23]$$

Dimana :  $\sigma_{HS}$  = tegangan horisontal akibat tanah dibelakang dinding

$\sigma_{Hq}$  = tegangan horisontal akibat tanah timbunan surcharge

$\sigma_{HL}$  = tegangan horisontal akibat tanah hidup



Gambar 2.12 Prinsip Beban yang Bekerja pada *Geotextile Wall*

Jarak Vertikal pemasangan geotextile ( $S_v$ ) :

$$\sigma_{HZ} x S_v x 1 = \frac{T_{ALL}}{SF} \rightarrow S_v = \frac{T_{ALL}}{SF x \sigma_{HZ} x 1} \quad [2.24]$$

Dimana :  $\sigma_{HZ}$  = tegangan horisontal pada kedalaman Z

$SF = 1.3$  s/d  $1.5$

Panjang *Geotextile* yang ditanam (L) :

$$L = L_e + L_R$$

$L_e$  = panjang geotextile yang berada dalam *anchorage zone* (minimum = 3 ft /1.0m)

$L_R$  = panjang geotextile yang berada di depan bidang longsor

Dimana :

Panjang  $L_R$

$$L_R = (H - Z)x \left[ \operatorname{tg} \left( 45^\circ - \frac{\phi}{2} \right) \right] \quad [2.25]$$

Panjang  $L_e$

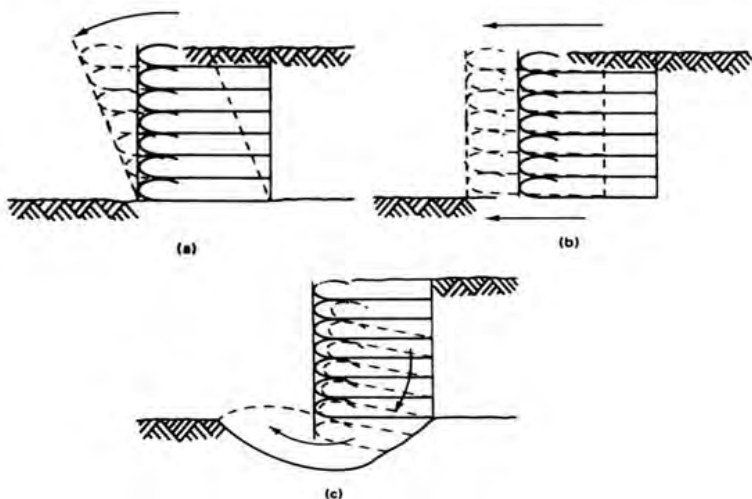
$$L_e = \frac{S_v \cdot \sigma_H \cdot SF}{2[c + \sigma_v(\operatorname{tg} \delta)]} \quad [2.26]$$

Panjang Lipatan  $L_o$  Gaya yang diperhitungkan  $\frac{1}{2} \sigma_H$  :

$$L_o = \frac{S_v \cdot \sigma_H \cdot SF}{4[c + \sigma_v(\operatorname{tg} \delta)]} \quad [2.27]$$

Untuk perencanaan *Geotextile* sebagai dinding penahan tanah perlu diperhatikan *External Stability*, yaitu:

- Aman terhadap geser
- Aman terhadap guling
- Aman terhadap kelongsoran daya dukung



Gambar 2.13 *External Stability* pada *Geotextile Walls* (a) Aman terhadap geser (b) Aman terhadap geser (c) Aman terhadap kelongsoran daya dukung

### 2.7.2 Tekanan Tanah Lateral

Dinding penahan tanah, turap, galian yang diperkokoh maupun tidak, semuanya memerlukan perkiraan tekanan tanah lateral secara kuantitatif pada pekerjaan konstruksi, baik untuk analisa perencanaan maupun untuk analisa stabilitas. Tekanan tanah lateral merupakan salah satu bagian perencanaan penting, khususnya dalam hal teknik pondasi maupun bangunan penahan tanah.

Dalam memperkirakan dan menghitung kestabilan dinding penahan, diperlukan menghitung tekanan ke arah samping (lateral). Tekanan lateral terjadi karena massa tanah menerima beban akibat tegangan normal maupun berat kolom tanah. Hal ini menyebabkan terjadinya tekanan kearah tegak lurus atau kearah samping. Besarnya tekanan tanah lateral sendiri sangat

dipengaruhi oleh fisik tanah, sudut geser, dan kemiringan tanah terhadap bentuk struktur dinding penahan.

Tekanan tanah lateral dibagi menjadi tekanan tanah dalam keadaan diam, tekanan tanah aktif, dan tekanan tanah pasif. Tekanan tanah dalam kondisi diam terjadi akibat massa tanah pada dinding penahan berada dalam kondisi seimbang. Tekanan tanah aktif merupakan tekanan yang berusaha untuk mendorong dinding penahan tersebut kedepan. Sementara tekanan tanah pasif merupakan tekanan yang berusaha mengimbangi tekanan tanah aktif.

#### **2.7.1.1 Tekanan Lateral Aktif**

Tekanan aktif merupakan tekanan yang mendorong dinding penahan tanah ke arah horizontal. Sementara dinding penahan tanah harus dalam keadaan seimbang dalam menahan tekanan arah horizontal. Tekanan ini dapat dievaluasi dengan menggunakan koefisien tanah  $K_a$ . Rumusan tekanan horizontal dapat dituliskan sebagai berikut:

$$\sigma_a = K_a \times \gamma \times H \quad [2.28]$$

Dimana harga  $K_a$ :

- Untuk tanah datar:

$$K_a = \frac{1-\sin Q}{1+\sin Q} = \tan^2\left(45 - \frac{Q}{2}\right) \quad [2.29]$$

- Untuk tanah miring:

$$K_a = \left( \frac{\cos Q}{1 + \sqrt{\frac{\sin Q \sin(Q-\delta)}{\cos \delta}}} \right)^2$$

Dimana:  $Q$  = sudut geser tanah  
 $\delta$  = kemiringan tanah

Selain itu, kohesi sebagai lekatan antara butiran tanah juga memiliki pengaruh mengurangi tekanan aktif tanah yaitu sebesar  $2c\sqrt{K_a}$ , sehingga perumusan menjadi:

$$\sigma_a = K_a \times \gamma \times H - 2 \times c \times \sqrt{K_a} \quad [2.30]$$

dimana  $c$  = kohesi tanah.

### 2.7.1.2 Tekanan Lateral Pasif

Tekanan lateral pasif tanah merupakan tekanan yang melawan arah dari tekanan lateral aktif. Hal ini disebabkan oleh gaya yang mendorong dinding cencerung ke arah urugannya. Tekanan pasif menunjukkan nilai maksimum dari gaya yang dapat dikembangkan oleh tanah, yaitu gaya yang dibutuhkan untuk menahan dinding penahan tanah sebelum terjadi kegagalan.

Rumusan tekanan horizontal pasif dapat dituliskan sebagai berikut:

$$\sigma_p = K_p \times \gamma \times H \quad [2.31]$$

Dimana harga  $K_p$

- Untuk tanah datar adalah:

$$K_p = \frac{1+\sin Q}{1-\sin Q} = \tan^2 \left( 45 + \frac{Q}{2} \right) = \frac{1}{K_a} \quad [2.32]$$

- Untuk tanah miring adalah:

$$K_a = \left( \frac{\cos Q}{1 + \sqrt{\frac{\sin Q \sin(Q+\delta)}{\cos \delta}}} \right)^2$$

Dimana:  $Q$  = sudut geser tanah

$\delta$  = kemiringan tanah

Dalam kasus tekanan lateral pasif, kohesi (lekatan antar butiran tanah) mempunyai pengaruh memperbesar tekanan pasif tanah sebesar  $2c\sqrt{K_a}$ , sehingga perumusan menjadi:

$$\sigma_p = K_p \times \gamma \times H + 2 \times c \times \sqrt{K_p} \quad [2.33]$$

## 2.8 Pembebanan Dinding Penahan Tanah

Beban pada dinding penahan tanah terdiri dari:

- Tekanan tanah aktif dibelakang dinding dan dekanan tanah pasif di depan dinding
- Berat tanah di atas tapak tumit dan di atas tapak kaki
- Berat sendiri dinding penahan
- Beban permukaan, misal disebabkan oleh lereng tanah
- Beban lainnya, misal tekanan air dari samping dan dari bawah (uplift)

## 2.9 Kontrol Syarat Kestabilan Dinding Penahan Tanah

Dinding penahan tanah yang digunakan harus memenuhi beberapa syarat yang harus dikontrol yaitu:

1. Dinding penahan tidak tergeser
2. Dinding penahan tidak mengalami penurunan (kontrol daya dukung)
3. Dinding penahan tidak mengalami *overall stability problem*

### 2.9.1 Kontrol Terhadap Geser

Faktor keamanan dapat dihitung dengan rumusan:

$$F = \frac{a \times b + N \times \tan \delta}{T}$$

Dimana: R = resultan gaya-gaya yang bekerja

N = komponen vertikal R

T = komponen horizontal R

b = lebar pondasi / landasan

a = karakteristik adhesi

$\delta$  = sudut geser antara dasar tembok dengan tanah

F = faktor keamanan

$F \geq 1,5 \rightarrow$  untuk tekanan pasif diabaikan

$F \geq 2,0 \rightarrow$  untuk tekanan pasif tidak diabaikan

Menurut Terzaghi dan Peck, unsur adhesi dapat diabaikan namun tetap menggunakan unsur lekatan antar tanah dan pondasi, sehingga perumusannya menjadi:

$$F = \frac{N \times \tan \delta}{T}$$

**Tabel 2.3** Hambatan antar Tanah dan pondasi

Tanah pondasi dengan butiran kasar, tanpa lempung dan lanau	$\delta = 30^\circ$
Tanah pondasi dengan butiran kasar, dengan lempung atau lanau	$\delta = 25^\circ$
Kasus yang lainnya	$\delta = 20^\circ$

(sumber : Herman Wahyudi, 1999)

Geser juga bisa terjadi didalam dinding penahan itu sendiri. Syarat agar tidak terjadi hal demikian adalah:

$$T < f \times N$$

$$F = \frac{f \times N}{T}$$

Dimana:

$f$  = koefisien gesekan antar material didalam dinding.  
Pada umumnya dipakai  $f = 0,60$ . (Wahyudi, Herman 1999)

### 2.9.2 Kontrol Terhadap Daya Dukung Sebagai Pondasi

Kontrol daya dukung tanah yang dikemukakan oleh Terzaghi adalah :

$$q_1 = 0,5 \cdot \gamma \cdot B \cdot N\gamma + C \cdot N_c + (\gamma \cdot D + q_0) \cdot N_q$$

$$q_1 = \left(1 - 0,2 \frac{B}{L}\right) \cdot \gamma \cdot \frac{B}{2} \cdot N_\gamma + \left(1 + 0,2 \frac{B}{L}\right) \cdot C \cdot N_c + (\gamma \cdot D + q_0) \cdot N_q$$

Tegangan ijin yang terjadi adalah:

$$\sigma_{\text{yang terjadi}} = \frac{q_1}{SF}$$

Dimana:  $q_l$  = tegangan dalam tanah maksimum  
 B = lebar dasar pondasi  
 D = kedalaman pondasi (terdalam)  
 $\gamma$  = berat volume tanah  
 C = kohesi tanah  
 $N_\gamma, N_c, N_q$  = koefisien daya dukung tanah akibat  $\alpha$   
 $SF$  = angka keamanan, umumnya ditetapkan  $\geq 1,5$

**Tabel 2.4** Harga  $N_\gamma, N_c, N_q$  (Caquot dan Kerisel)

$\phi^\circ$	$N_c$	$N_\gamma$	$N_q$
0	5,14	0	1,00
5	6,50	0,10	1,60
10	8,40	0,50	2,50
15	11,00	1,40	4,00
20	14,80	3,50	6,40
25	20,70	8,10	10,70
30	30,00	18,10	18,40
35	46,00	41,10	33,30
40	75,30	100,00	64,20
45	134,00	254,00	135,00

(sumber: Herman Wahyudi, 1999)

Untuk mencari tegangan yang terjadi juga dapat digunakan rumus:

$$\sigma_{max} = \frac{\sum V}{A} \pm \frac{\sum Mo}{W} \quad [2.80]$$

Rumus tersebut berlaku bila  $\frac{\sum V}{A} > \frac{\sum Mo}{W}$ , bila  $\frac{\sum V}{A} < \frac{\sum Mo}{W}$ , maka dipakai rumus:

$$\sigma_{terjadi} = \frac{2Va}{3\left(0.5B - \frac{Mo}{V}\right)}$$

## 2.10 Daya Dukung Tiang Pancang

### 2.10.1 Perumusan Daya Dukung Pondasi Tiang Pancang

Secara umum perumusan kapasitas daya dukung tiang pancang dapat dirumuskan sebagai berikut:

$$Q_{ult} = Q_s + Q_p$$

di mana:

$Q_{ult}$  = Daya dukung *ultimate* pondasi tiang pancang

$Q_s$  = Gesekan sepanjang keliling tiang pancang (*friction*).

$Q_p$  = Daya dukung ujung tiang pancang (*end bearing capacity*)

Adapun metode yang dipakai untuk mendapatkan harga  $Q_{ult}$  dalam penuisan Tugas Akhir ini adalah berdasarkan data SPT (*Standard Penetration Test*) di lapangan.

### 2.10.2 Perencanaan Daya Dukung Tiang Pancang Berdasarkan SPT Lapangan

Data SPT dari lapangan tidak dapat langsung digunakan untuk perencanaan daya dukung tiapng pancang dan harus dilakukan beberapa koreksi terhadap data tersebut. Koreksi-koreksi yang harus diperhitungkan adalah sebagai berikut:

1. Koreksi terhadap muka air tanah

- Untuk tanah pasir halus, pasir belanau, dan pasir berlempung yang berada di bawah muka air tanah dengan harga  $N > 15$ , maka harga  $N_1$  dikoreksi dengan menggunakan persamaan berikut dan diambil harga yang terkecil:
  - $N_1 = 15 + \frac{1}{2} + (N - 15)$  (Terzaghi & Peck, 1960)
  - $N_1 = 0,6 N$  (Bazaraa, 1967)

- Untuk jenis tanah lempung, lanau, pasir kasar dengan harga  $N \leq 15$  tidak perlu dilakukan koreksi sehingga  $N_1 = N$ .

Catatan: Untuk jenis tanah di lar pasir tersebut di atas, koreksi ini tidak diperlukan.

2. Koreksi terhadap *overburden pressure* dari tanah

Hasil dari koreksi terhadap muka air tanah ( $N_1$ ) dikoreksi terhadap pengaruh tekanan vertikal efektif pada lapisan tanah, di mana harga  $N$  tersebut didapatkan (tekanan vertikal efektif = tekanan *overburden*).

Menurut Bazaraa (1967), koreksi terhadap tekanan *overburden* dapat dilakukan dengan persamaan berikut:

- Bila  $\sigma_o \leq 7,5 \text{ ton/m}^2$ , maka:

$$N_2 = \frac{4xN_t}{1+0,4 \times \sigma_o}$$

- Bila  $\sigma_o > 7,5 \text{ ton/m}^2$ , maka:

$$N_2 = \frac{4xN_t}{3,25+0,1 \times \sigma_o}$$

di mana:

$$\begin{aligned}\sigma_o &= \text{tekanan tanah vertikal efektif pada lapisan tanah atau} \\ &\quad \text{kedalaman yang ditinjau, dalam satuan ton/m}^2. \\ &= \sum \gamma_i' x h_i\end{aligned}$$

Harga  $N_2$  yang didapat nilainya harus kurang dari atau sama dengan dua kali harga  $N_1$  ( $N_2 \leq 2N_1$ ).

Untuk menghitung *end-bearing capacity* dilakukan perhitungan sebagai berikut:

$$P_{ujung} = Cn_{ujung} \times A_{ujung} \text{ (ton)}$$

di mana:

$$Cn_{ujung} = 40 \times N, \text{ (ton/m}^2)$$

$$\begin{aligned}N &= \text{harga rata-rata } N_2 \text{ dari } 4.D \text{ di bawah ujung tiang} \\ &\quad \text{pancang sampai dengan } 8.D \text{ di atas ujung tiang} \\ &\quad \text{pancang.}\end{aligned}$$

$$A_{ujung} = \text{luas ujung tiang pancang, (m}^2)$$

Untuk menghitung *friction* sepanjang tiang pancang dilakukan perhitungan sebagai berikut:

$$\sum Ps_i = Cl_i \times As_i$$

di mana:

$$\begin{aligned}Cl_i = fs_i &= \text{hambatan geser selimut tang pada setiap lapisan} \\ &\quad \text{atau kedalaman.} \\ &= N_i / 2 \text{ (ton/m}^2), \text{ untuk tanah lempung atau lanau.} \\ &= N_i / 5 \text{ (ton.m}^2), \text{ untuk tanah pasir.}\end{aligned}$$

$$As_i = \text{luas selimut tiang pada setiap lapisan } i.$$

$$= O_i \times h_i$$

$$O_i = \text{keliling tiang pancang.}$$

Sehingga:

$$P_{ult \ 1 \ tiang} = P_{ujung} + \sum Rs_i$$

$$P_{ijin} = \frac{P_{ult\ 1\ tiang}}{SF}$$

Harga SF = 2 untuk beban sementara, dan SF = 3 untuk beban tetap.

### 2.10.3 Kapasitas Daya Dukung Kelompok Tiang Pancang

Jika daya dukung *ultimate* kelompok tiang pancang kategori *end bearing piles*, maka daya dukung kelompok tiang pancang dapat dianggap sebagai daya dukung sebuah tiang dikalikan dengan jumlah tiang pancang. Tetapi jika termasuk kategori *friction piles*, maka terdapat faktor reduksi pada daya dukung tiang pancang.

Faktor reduksi tersebut dapat ditentukan dengan rumus Converse-Labarre (Poulus dan Davis, 1980), yaitu:

$$C = 1 - \operatorname{arctg} \frac{D}{S} \times \left[ \frac{(n-1)x m + (m-1)x n}{90 x m x n} \right]$$

di mana:

C = faktor reduksi

D = diameter tiang pancang

S = jarak antara pusat tiang pancang

m = jumlah baris dalam kelompok tiang pancang

n = jumlah tiang pancang dalam satu baris

### 2.10.4 Ketahanan Pondasi Tiang Pancang terhadap Gaya Lateral

Selain didesain mampu menahan gaya vertikal, pondasi tiang pancang juga harus didesain mampu menahan gaya lateral yang bekerja padanya. Pada konstruksi jembatan, gaya lateral yang bekerja pada pondasi tiang pancang dapat berupa gaya gesek pada tumpuan bergerak, gaya rem, gaya gempa, gaya akibat angin, dan gaya akibat tekanan tanah.

Perumusan yang dipakai dalam perhitungan gaya lateral yang mampu diterima oleh pondasi tiang pancang dalam tugas akhir ini diambil dari NAVFAC DM-7 (1971). Menurut NAVFAC DM-7 tersebut, gaya lateral yang bekerja pada pondasi tiang pancang dibedakan atas 3 (tiga) kondisi, yaitu:

1. Tiang pancang yang poernya fleksibel atau tiang pancang yang terjepit ujungnya (**Gambar 2.14**). Kondisi ini disebut sebagai kondisi I.
2. Tiang pancang dengan poer kaku menempel di atas permukaan tanah (**Gambar 2.14**). Kondisi ini disebut sebagai kondisi II.
3. Tiang pancang dengan poer kaku terletak pada suatu ketinggian (**Gambar 2.14**). Kondisi ini disebut sebagai kondisi III.

Prosedur perhitungan untuk masing-masing kondisi adalah sebagai berikut:

- **Kondisi I:**

1. Menghitung faktor kekakuan relative (*relative stiffness factor*).

$$T = \left( \frac{E \times I}{f} \right)^{\frac{1}{5}} \quad (\text{seperti persamaan 2.7.1})$$

di mana:

$E$  = modulus elastisitas tiang (cerucuk),  $\text{Kg}/\text{cm}^2$

$I$  = momen inersia tiang (cerucuk),  $\text{cm}^4$

$f$  = koefisien dari variasi modulus tanah,  $\text{kg}/\text{cm}^3$

$T$  = dalam cm

2. Menghitung defleksi, momen dan gaya geser pada kedalaman yang ditinjau dari rumus yang terdapat pada **Gambar 2.15**.

- **Kondisi II:**

1. Sama dengan langkah 1 kondisi I.
2. Menentukan koefisien defleksi ( $F_o$ ) dan koefisien ( $F_M$ ) berdasarkan Gambar 2.22.
3. Menghitung defleksi dan besarnya momen berdasarkan rumus yang terdapat pada Gambar 2.16.
4. Gaya geser maksimum dianggap terjadi pada ujung atas tiang pancang, yang besarnya untuk 1 tiang pancang adalah:

$$P = \frac{PT}{n}$$

di mana:

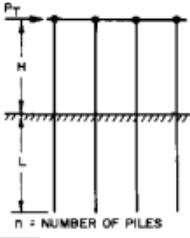
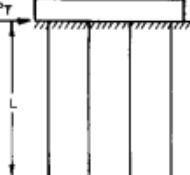
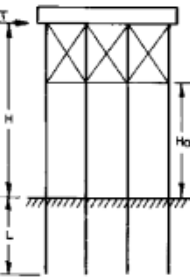
$P$  = besar gaya geser 1 tiang pancang

$PT$  = besar gaya geser total yang bekerja

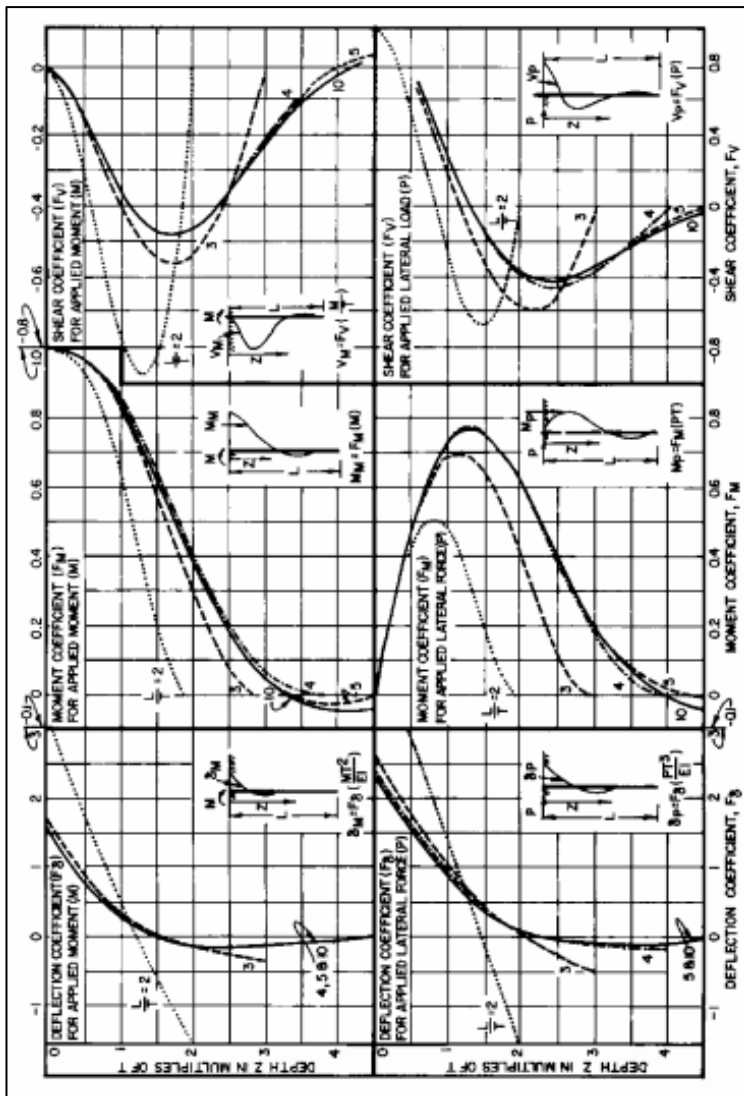
$n$  = jumlah tiang pancang

- **Kondisi III:**

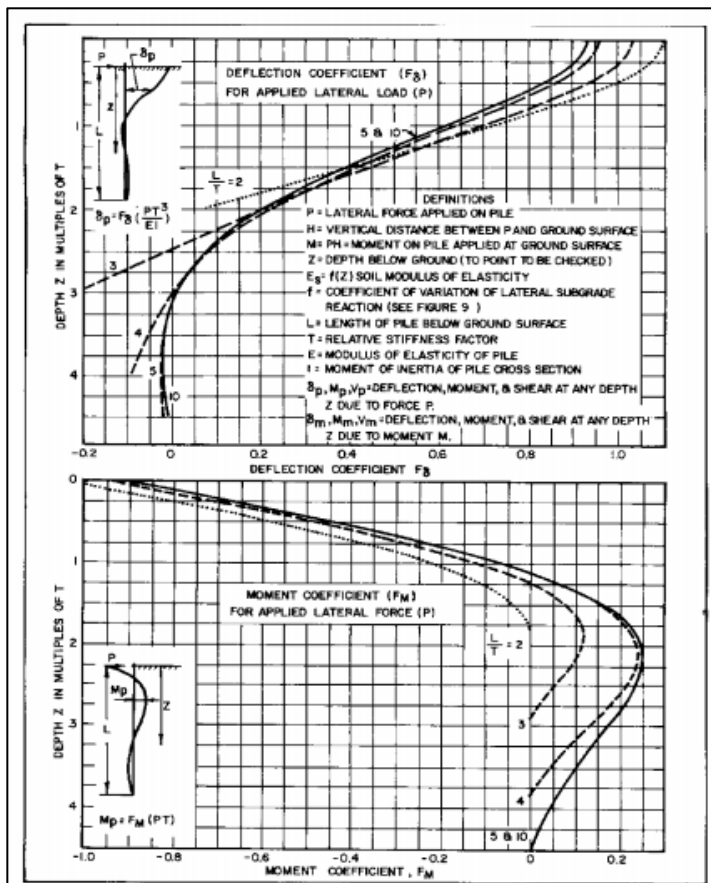
1. Menganggap pada titik A terjadi jepitan dan momen  $M_1$  seperti pada **Gambar 2.17**.
2. Menghitung sudut  $\theta_2$  di atas tanah.
3. Menghitung sudut  $\theta_1$  dari koefisien sudut ( $F_o$ ) dari rumus yang terdapat pada **Gambar 2.17**.
4. Dengan persamaan  $\theta_1 = \theta_2$ , diperoleh nilai momen.
5. Setelah mendapatkan nilai  $M$  dan  $P_1$ , menghitung besarnya defleksi, gaya geser dan momen seperti pada Kondisi I.

CASE I. FLEXIBLE CAP, ELEVATED POSITION		
CONDITION	LOAD AT GROUND LINE	DESIGN PROCEDURE
 <p><math>n = \text{NUMBER OF PILES}</math></p>	<b>FOR EACH PILE:</b> $P = \frac{P_T}{n}$ $M = PH$  <p>DEFLECTED POSITION</p>	<b>FOR DEFINITION OF PARAMETERS SEE FIGURE 12</b> <ol style="list-style-type: none"> <li>COMPUTE RELATIVE STIFFNESS FACTOR.  <math>T = (\frac{EI}{nL})^{1/3}</math></li> <li>SELECT CURVE FOR PROPER <math>\frac{L}{T}</math> IN FIGURE 11.</li> <li>OBTAIN COEFFICIENTS <math>F_B, F_M, F_V</math> AT DEPTHS DESIRED.</li> <li>COMPUTE DEFLECTION, MOMENT AND SHEAR AT DESIRED DEPTHS USING FORMULAS OF FIGURE 11.</li> </ol> <p>NOTE: "f" VALUES FROM FIGURE 9 AND CONVERT TO LB/IN<sup>3</sup>.</p>
CASE II. PILES WITH RIGID CAP AT GROUND SURFACE		
		<ol style="list-style-type: none"> <li>PROCEED AS IN STEP 1, CASE I.</li> <li>COMPUTE DEFLECTION AND MOMENT AT DESIRED DEPTHS USING COEFFICIENTS <math>F_B, F_M</math> AND FORMULAS OF FIGURE 12.</li> <li>MAXIMUM SHEAR OCCURS AT TOP OF PILE AND EQUALS <math>P = \frac{P_T}{n}</math> IN EACH PILE.</li> </ol>
CASE III. RIGID CAP, ELEVATED POSITION		
	 <p>DEFLECTED POSITION</p>	<ol style="list-style-type: none"> <li>ASSUME A HINGE AT POINT A WITH A BALANCING MOMENT <math>M</math> APPLIED AT POINT A.</li> <li>COMPUTE SLOPE <math>\theta_2</math> ABOVE GROUND AS A FUNCTION OF <math>M</math> FROM CHARACTERISTICS OF SUPERSTRUCTURE.</li> <li>COMPUTE SLOPE <math>\theta_1</math> FROM SLOPE COEFFICIENTS OF FIGURE 13 AS FOLLOWS:  <math display="block">\theta_1 = F_B \left( \frac{P_T^2}{EI} \right) + F_M \left( \frac{MT}{EI} \right)</math> </li> <li>EQUATE <math>\theta_1 = \theta_2</math> AND SOLVE FOR VALUE OF <math>M</math>.</li> <li>KNOWING VALUES OF <math>P</math> AND <math>M</math>, SOLVE FOR DEFLECTION, SHEAR, AND MOMENT AS IN CASE I.</li> </ol> <p>NOTE: IF GROUND SURFACE AT PILE LOCATION IS INCLINED, LOAD <math>P</math> TAKEN BY EACH PILE IS PROPORTIONAL TO <math>I/H_0</math><sup>3</sup>.</p>

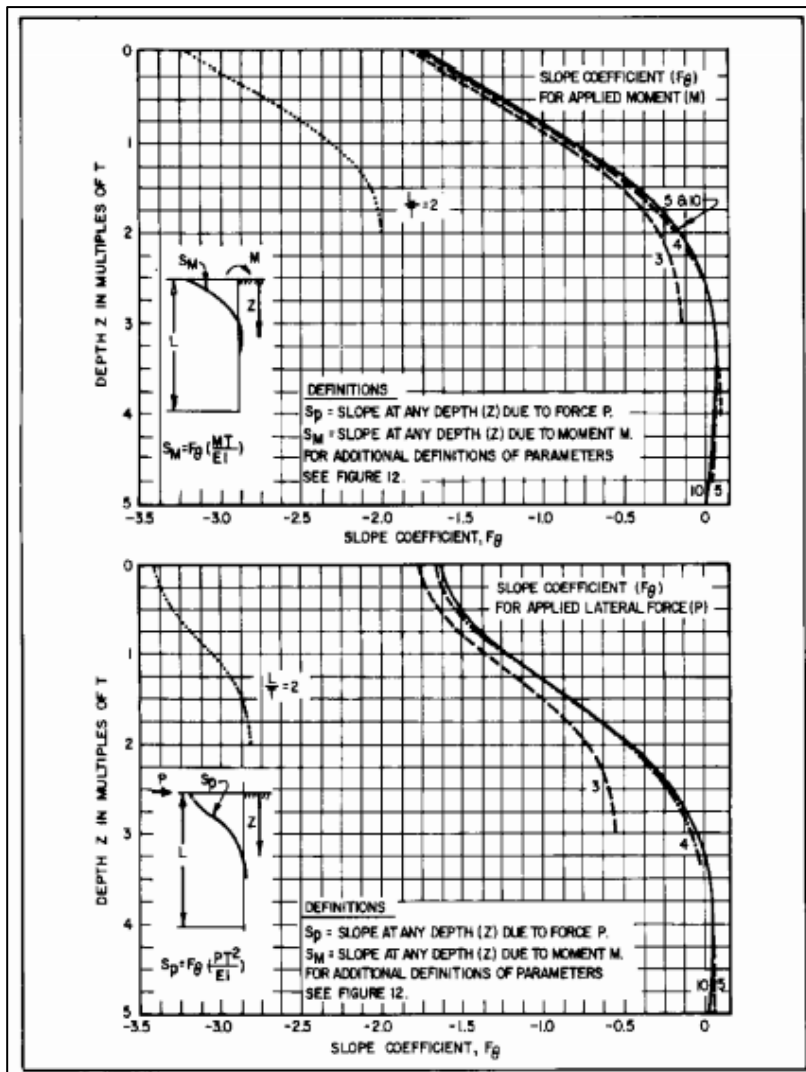
Gambar 2.14: Prosedur Desain untuk Masing-Masing Kondisi  
(Sumber : *Design Manual, NAVFAC DM-7, 1971*)



Gambar 2.15: Koefisien-Koefisien untuk Tiang Pancang yang Menerima Beban Lateral pada Kondisi I  
 (Sumber: NAVFAC DM-7, 1971)



Gambar 2.16: Koefisien-Koefisien untuk Tiang Pancang yang Menerima Beban Lateral pada Kondisi II  
 (Sumber: NAVFAC DM-7, 1971)



Gambar 2.17: Koefisien-Koefisien untuk Tiang Pancang yang Menerima Beban Lateral pada Kondisi III  
 (Sumber: NAVFAC DM-7, 1971)

## 2.11 Alinyemen Horizontal

Alinyemen horizontal adalah proyeksi horizontal dari sumbu tegak lurus bidang peta situasi jalan. Alinyemen horizontal ini merupakan trase jalan yang terdiri dari:

- Garis lurus (tangen)
- Lengkung horizontal yang disebut tikungan

Tikungan ini merupakan bagian yang sangat kritis dari alinyemen horizontal, karena pada tikungan terdapat gaya sentrifugal yang mengakibatkan kendaraan terlempar keluar dari tikungan.

Perhitungan alinyemen horizontal didasarkan pada:

- Kecepatan rencana ( $V_r$ )
- Jari-jari tikungan ( $R$ )
- Sudut kelengkungan ( $\Delta$ )

### 2.11.1 Gaya Sentrifugal

Apabila suatu kendaraan bergerak dengan kecepatan tetap  $V$  pada bidang datar atau miring dengan lintasan, maka dalam kendaraan tersebut bekerja gaya kecepatan  $V$  dan gaya sentrifugal  $F$ . Gaya sentrifugal mendorong kendaraan secara radial keluar dari lajur jalannya, berarah tegak lurus terhadap kecepatan  $V$ . Gaya ini menimbulkan perasaan tidak nyaman pada pengemudi. Besarnya gaya sentrifugal dapat dituliskan sebagai berikut:

$$F = \frac{G \cdot V^2}{g \cdot R}$$

Di mana:  $G$  = berat kendaraan

$g$  = gaya gravitasi Bumi

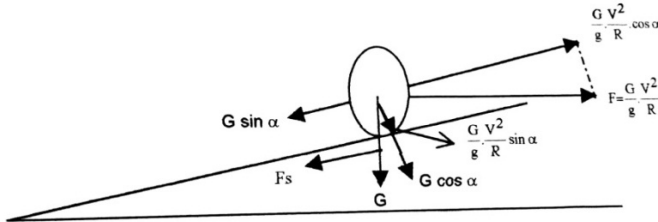
$V$  = kecepatan kendaraan

$R$  = jari-jari lengkung lintasan

Gaya yang sama-sama mengimbangi gaya gesekan tersebut dapat berasal dari:

- Gaya gesekan melintang antara ban dengan permukaan jalan
- Komponen berat kendaraan akibat kemiringan melintang permukaan jalan

Gaya-gaya yang bekerja pada lingkung horizontal dapat dilihat pada **Gambar 2.18**, yaitu gaya sentrifugal  $F$ , berat kendaraan  $G$ , dan gaya gesekan antara ban dan permukaan jalan  $F_s$ .



Gambar 2.18 Gaya – Gaya yang Bekerja pada Lengkung Horizontal

$$G \cdot \sin \alpha + F_s = \frac{G}{g} \cdot \frac{V^2}{R} \cdot \cos \alpha$$

$$G \cdot \sin \alpha + f \cdot (G \cdot \cos \alpha + \frac{G}{g} \cdot \frac{V}{R} \cdot \sin \alpha) = \frac{G}{g} \cdot \frac{V^2}{R} (\cos \alpha - f \cdot \sin \alpha)$$

$$G \frac{\sin \alpha}{\cos \alpha} + f \cdot G = \frac{G}{g} \cdot \frac{V^2}{R} (1 - f \cdot \operatorname{tg} \alpha)$$

$$e - f \operatorname{tg} \alpha$$

$$e + ef = \frac{G}{g} \cdot \frac{V^2}{R} (1-f)$$

$$\frac{e+f}{1-ef} = \frac{V^2}{g \cdot R}$$

Karena nilai  $ef$  kecil maka dapat diabaikan dengan rumus umum untuk lengkung horizontal adalah sebagai berikut:

$$e + f = \frac{V^2}{g \cdot R}$$

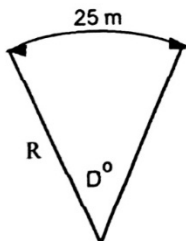
Jika  $V$  dinyatakan dalam km/jam,  $g = 9,81 \text{ m/det}^2$ , dan  $R$  dalam m, maka diperoleh:

$$e + f = \frac{V^2}{127 \cdot R}$$

Ketajaman lengkung horizontal dinyatakan dengan besarnya radius dari lengkung tersebut dengan besarnya derajat lengkung. Derajat lengkung adalah besarnya sudut lengkung yang

menghasilkan busur 25 m yang dapat dilihat pada **Gambar 2.19**. Semakin besar R semakin kecil D dan semakin tumpul lengkung horizontal rencana. Sebaliknya semakin kecil R, maka semakin besar D dan semakin tajam lengkung horizontal yang direncanakan.

Ini berarti:



Gambar 2.19 Korelasi antara Derajat Lengkung D dan Radius Lengkung R

Nilai ekstrim diperoleh untuk kondisi jalan lurus dimana radius lengkung adalah tak terhingga. Nilai Ekstrim yang lain adalah untuk kondisi lengkungan tertajam dengan radius minimum.

$e + f = 0$  ..... jalan lurus, R tak berhingga

$e + f = (e + f)_{\text{maks}}$  ..... jalan pada lengkung dengan  $R = R_{\min}$

ASSHTO '90 memberikan 5 metode distribusi nilai e + f. Indonesia umumnya menggunakan metode ke 5 yakni metode e (superelevasi) dan D (derajat kelengkungan) berdasarkan lengkung parabola tak simetris.

## 2.11.2 Kemiringan Melintang Normal

Pada jalan lurus kendaraan bergerak tanpa membutuhkan kemiringan melintang jalan. Tetapi agar air hujan yang jatuh pada permukaan jalan cepat mengalir ke samping, maka dibuatkan kemiringan melintang jalan yang umum disebut sebagai

kemiringan melintang normal. Besarnya kemiringan melintang normal sangar bergantung pada jenis lapisan permukaan yang dipergunakan. Semakin kedap air muka jalan tersebut semakin landai kemiringan melintang jalan yang dibutuhkan, sebaliknya lapisan permukaan yang mudah dirembesi air harus mempunyai kemiringan melintang yang cukup besar, sehingga kerusakan konstruksi perkerasan dapat dihindari. Besarnya kemiringan melintang ini berkisar antara 2 – 4 %.

### **2.11.3 Lengkung Peralihan**

Pada lengkung horizontal yang tumpul dengan jari-jatri yang besar lintasan kendaraan masih dapat berada pada lajur yang disediakan, mengambil laju lain disampingnya. Guna menghindari hal tersebut maka sebaiknya dibuatkan lengkung dimana lengkung tersebut merupakan peralihan dari  $R=R_c$ . Lengkung tersebut disebut lengkung peralihan.

Bentuk lengkung peralihan yang memberikan bentuk sama dengan jejak kendaraan ketika beralih dari jalan lurus ke tikungan berbentuk busur lingkaran dan sebaliknya, dipengaruhi oleh sifat mengemudi, kecepatan kendaraan, radius kelengkungan, dan kemiringan jalan. Bentuk lengkung atau clothoid adalah bentuk yang banyak dipergunakan saat ini.

Adapun panjang lengkung peralihan  $L_s$  yang dipilih untuk perencanaan merupakan panjang terpanjang dari pemenuhan syarat:

- a. Kelandaian relatif maksimum
- b. Panjang lengkung peralihan berdasarkan Shortt Formula
- c. Lama perjalanan yang dilakukan pengemudi selama 3 dt menurut Bina Marga yang berguna untuk menghindari kesan patahnya tepi perkerasan jalan.

### **2.11.4 Landai Relatif**

Landai relatif ( $1/m$ ) adalah besarnya kelandaian akibar perbedaan elevasi tepi perkerasan sebelah luar sepanjang

lengkung peralihan. Perbedaan elevasi dalam hal ini hanya berdasarkan tinjauan perubahan bentuk penampang melintang jalan, belum merupakan gabungan dari perbedaan elevasi akibat kelandaian vertikal jalan. Menurut Bina Marga landai relatif :  $(1/m) = h/L_s$

$$\frac{1}{m} = \frac{(e+e_n)B}{L_s}$$

Di mana:  $1/m$  = landai relatif

$L_s$  = panjang lengkung peralihan

$e$  = superelevasi, m/m'

$e_n$  = kemiringan melintang normal, m/m.

Besarnya landai relatif dipengaruhi oleh kecepatan. Pada jalan berlajur banyak maka pencapaian kemiringan tidak dapat menggunakan data di atas begitu saja. Dari pengamatan secara empiris diperoleh bahwa pencapaian kemiringan untuk jalan 3 lajur adalah 1,2 kali dari panjang kemiringan untuk jalan 2 lajur, jalan dengan 4 lajur memerlukan panjang pencapaian 1,5 kali panjang pencapaian untuk 2 lajur, dan untuk jalan 6 lajur panjang pencapaian yang diperlukan adalah 2 kali panjang pencapaian untuk 2 lajur. Nilai kelandaian relatif maksimum dapat dilihat pada **Tabel 2.5**.

Tabel 2.5 Nilai kelandaian relatif maksimum (Bina Marga)

Kecepatan Rencana Km/jam	Kelandaian Relatif Maksimum
20	1/50
30	1/75
40	1/100
50	1/115
60	1/125
80	1/150
100	-

Dari batasan landai relatif maksimum dapat ditentukan panjang lengkung peralihan minimum yang dibutuhkan:

Landai relatif :  $1/m = h/L_s$

$m \geq m_{maks}$

$$\frac{(e + e_n)}{L_s} \leq \frac{1}{m_{maks}}$$

$$L_s \geq (e + e_n) \cdot b \cdot m_{maks}$$

### 2.11.5 Bentuk Lengkung / Tikungan Horizontal

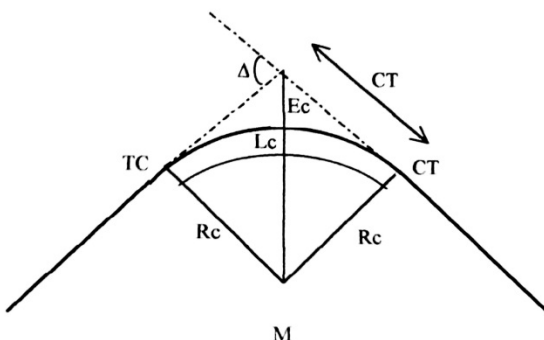
#### A. Bentuk Tikungan Circle (Busur Lingkaran)

Digunakan pada tikungan yang mempunyai jari-jari besar dan sudut tangen yang relatif kecil. Batasan yang biasanya digunakan di Indonesia untuk tikungan bentuk circle dapat dilihat pada **Tabel 2.6**.

Tabel 2.6 Standar Jari-Jari Minimum

KECEPATAN RENCANA (Km/h)	120	100	80	60	40	30
JARI-JARI LENGKUNG MINIMUM (m)	2000	1500	1100	700	300	180

Bila tikungan mempunyai jari-jari lebih kecil dari nilai yang ada diatas, maka bentuk tikungan yang dipakai adalah spiral-circle-spiral. Bentuk tikungan circle dapat dilihat pada **Gambar 2.20**.



Gambar 2.20 Bentuk Tikungan Circle

Keterangan :

- M = titik tengah busur lingkaran
  - T<sub>c</sub> = panjang tangen (jarak antara TC dan PI)
  - TC = titik awal lingkaran (tangen circle)
  - PH = nomor stasiun
  - R<sub>c</sub> = jari-jari lingkaran
  - L<sub>c</sub> = panjang bagian tikungan
  - E<sub>c</sub> = jarak PI ke lengkung peralihan
- Rumus yang dipakai pada tikungan bentuk Circle adalah:

$$T_c = R_c \cdot \operatorname{tg} \frac{1}{2} \Delta$$

$$E_c = T_c \cdot \operatorname{tg} \frac{1}{2} \Delta$$

$$L_c = \pi/360 \cdot 2 \cdot \Delta \cdot R_c \\ = 0,01745 \cdot \Delta \cdot R_c$$

## B. Bentuk Tikungan Spiral- Circle-Spiral

Bentuk tikungan spiral-circle-spiral ini (lengkung busur lingkaran dengan lengkung peralihan) digunakan bila jari-jari lebih kecil dari batasan yang telah ditentukan pada tikungan yang melebihi harga maksimum yang telah ditentukan, yaitu:

- Kemiringan maksimum jalan luar kota = 0,10
- Kemiringan maksimum jalan dalam kota = 0,08

Jari-jari lengkung minimum :

$$R = \frac{V^2}{127 \times (e + f)}$$

dimana : R = jari-jari lengkung minimum (m)

V = kecepatan rencana (km/h)

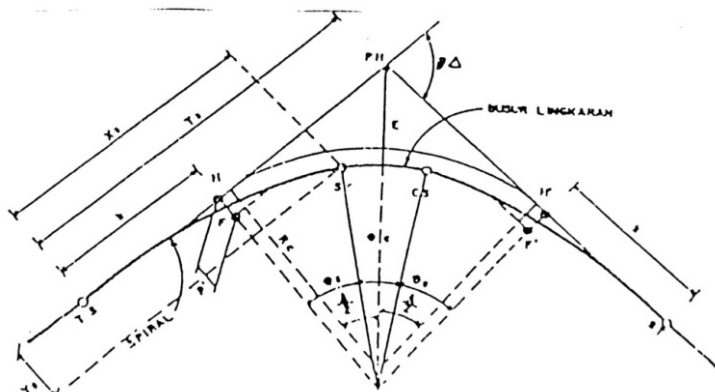
e = kemiringan tikungan (%)

f = koefisien gesekan melintang

Bila jari-jari lengkung cukup besar maka tidak perlu adanya kemiringan tikungan dapat dilihat pada **Tabel 2.7**.

Tabel 2.7 Kecepatan Rencana dan Jari-Jari Lengkung Minimum SCS

<b>KECEPATAN RENCANA (Km/h)</b>	120	100	80	60	50	40	30
<b>JARI-JARI LENGKUNG MINIMUM (m)</b>	3000	2300	1600	1000	660	420	240



Gambar 2.21 Bentuk Tikungan Spiral-Circle-Spiral

Keterangan :

PH = nomor stasiun

R<sub>c</sub> = jari-jari lingkaran

L<sub>c</sub> = panjang bagian tikungan

E<sub>c</sub> = jarak PI ke lengkung peralihan

TS = panjang tangen (jarak antara T<sub>s</sub> dan PH)

k = jarak dari awal lengkung peralihan dimana titik H diturunkan ke titik F

p = jarak penurunan titik H ke titik F

X<sub>s</sub> = jarak horizontal antara titik TS dan titik SC

Y<sub>s</sub> = jarak vertikal antara titik TS dan titik SC

Persamaan yang dipakai pada tikungan bentuk spiral-circle-spiral adalah:

$$X_s = L_s \left( 1 - \frac{L_s^2}{40 \times R_c^2} \right)$$

$$Y_s = \frac{L_s^2}{6 \times R_c}$$

$$T_s = (R + p) \cdot \operatorname{Tg} \frac{1}{2} \Delta + k$$

$$E_s = (R_c + p) \cdot \sec \frac{1}{2} \Delta$$

$$L = L_c + 2 \cdot L_s$$

$$\text{di mana: } L_c = (\Delta_c / 360) \cdot 2\pi R_c \geq 20 \text{ m}$$

$$\Delta_c = \Delta - 2 \cdot \theta_s$$

$$\theta_s = \frac{90 \cdot L_s}{\pi \cdot R_c} \dots \text{derajat}$$

$$p = \frac{L_s^2}{6 \cdot R_c} - R_c \cdot (1 - \cos \theta_s)$$

$$k = L_s - \frac{L_s^3}{40 \cdot R_c^2} - R_c \cdot \sin \theta_s$$

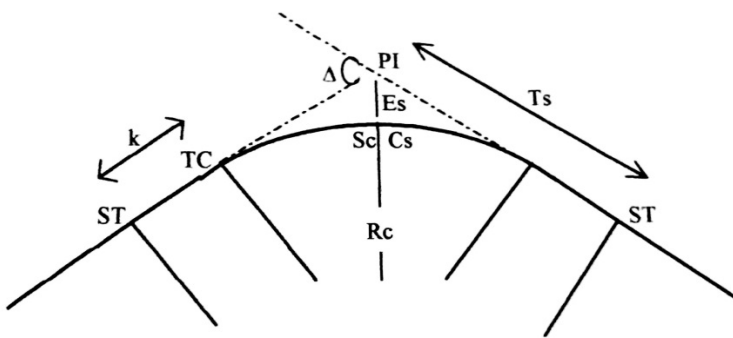
Persyaratan untuk lengkung spiral-circle-spiral:

Kontrol I :  $L_c > 20 \text{ m}$

Kontrol II :  $L < 2 \cdot L_s \dots \dots \dots \text{OK}$

### C. Bentuk Tikungan Spiral-Spiral

Bentuk tikungan ini digunakan apabila lengkung spiral-circle-spiral tidak boleh dipakai karena panjang lengkung spiral ( $L_s$ )  $< 20 \text{ m}$ . Jadi panjang  $L_c = 0$ . R yang dipilih harus sedemikian rupa sehingga  $L_s$  yang dibutuhkan lebih besar dari  $L_s$  yang menghasilkan landai relatif ( $1/m$ ) minimum yang disyaratkan. Sedang rumus-rumus yang digunakan sama seperti pada tikungan spiral-circle-spiral. Betuk tikungan spiral-spiral ini dapat dilihat pada **Gambar 2.22**.



Gambar 2.22 Bentuk Tikungan Spiral

Keterangan :

- PH = nomor stasiun
- $R_c$  = jari-jari lingkaran
- $L_c$  = panjang bagian tikungan
- $E_c$  = jarak PI ke lengkung peralihan
- $T_s$  = panjang tangen (jarak antara  $T_s$  dan PI)
- $1/m$  = landai relatif
- $L_s$  = panjang lengkung peralihan
- $e$  = superelevasi (perhitungan)
- $e_n$  = kemiringan melintang normal
- B = lebar lajur 1 arah

Perumusan yang dipakai:

$$p = \frac{L_s^2}{6xR} (1 - \cos \theta_s)$$

$$k = L_s^2 - \frac{L_s^2}{40 x R^2} - R \sin \theta_s$$

$$\theta_s = \frac{1}{2} \cdot \Delta$$

$$L_s = \frac{\theta s \cdot \pi R}{90}$$

$$T_s = (R + p) \cdot \tan \frac{1}{2} \Delta + k$$

$$E_s = (R + p) \cdot \sec \frac{1}{2} \Delta - R$$

$$L_s = \min = m.(e + e_n).B$$

$$L_s > L_s \text{ minimum}$$

$$\text{Kontrol : } 2.L_s < 2.T_s \dots \dots \dots \text{OK}$$

## 2.12 Alinyemen Vertikal

Alinyemen vertikal adalah garis pokong yang dibentuk oleh bidang vertikal melalui sumbu jalan dengan bidang permukaan perkerasan jalan dan menyatakan bentuk geometrik jalan dalam arah vertikal. Garis alinyemen vertikal ini merupakan suatu rangkaian garis lurus yang satu dengan yang lainnya dihubungkan dengan lengkung vertikal.

Sedangkan lengkung vertikal sendiri dibagi menjadi 2 bagian, yaitu:

1. Lengkung vertikal cembung
2. Lengkung vertikal cekung

Dari keterangan di atas, dapat diketahui bentuk penampang jalan pada arah memanjang, yang untuk menyatakan besarnya kenaikan atau penurunannya pada arah vertikal dalam suatu jarak horizontal dinyatakan dalam persen. Untuk pendakian dari arah kiri diberi tanda (+) dan untuk penurunan dari arah kiri diberi tanda (-).

**Tabel 2.8** menunjukkan 2 kategori kelandaian maksimum. Untuk kasus biasa, kelandaian diperbolehkan mengikuti nilai-nilai yang ditunjukkan pada baris atas tabel tersebut. Bila anggaran tidak dapat menampung biaya untuk mendapatkan kelandaian standar maksimum terpanjang suatu bagian jalan yang pendek, maka kelandaian pada bagian bahu dapat dinaikkan sampai nilai kelandaian maksimum mutlak.

Tabel 2.8 Kecepatan Rencana dan Jari-Jari Lengkung Minimum SS

KECEPATAN RENCANA (Km/h)	80	60	50	40	30	20
Kelandaian MAKSIMUM STANDAR (%)	4	5	6	7	8	9
Kelandaian MAKSIMUM MUTLAK (%)	8	9	10	11	12	13

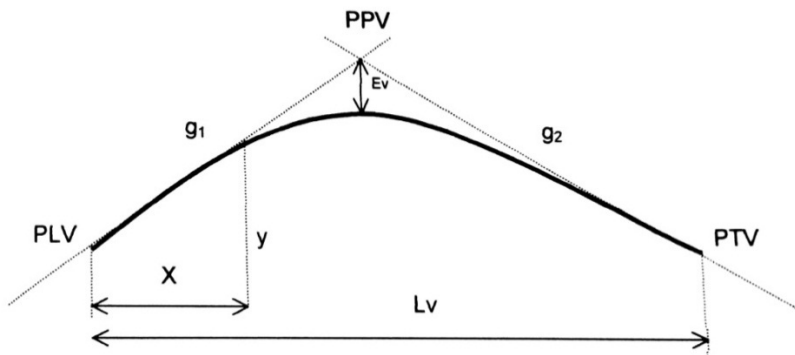
Dalam perencanaan kelandaian perlu diperhatikan landai maksimum yang masih tidak menghasilkan pengurangan kecepatan yang dapat mengganggu kelancaran lalu lintas. Besarnya panjang landai maksimum dapat dilihat pada **Tabel 2.9**.

Tabel 2.9 Hubungan Kelandaian dan Panjang Kritis

Landai (%)	Panjang Kritis (m)
3	480
4	330
5	250
6	200
7	170
8	150
10	135
12	120

### 2.12.1 Alinyemen Vertikal Cembung

Bentuk alinyemen vertikal cembung dapat dilihat pada Gambar 2.23.



Gambar 2.23 Alinyemen Vertikal Cembung

Perhitungan :

- Menentukan perbedaan aljabar landai, yaitu  $A = |G_1 - G_2|$
- Menentukan panjang  $L_v$ , berdasarkan :

#### Jarak Pandangan Henti

$$L_v = S^2 \cdot \frac{A}{398} \quad (\text{Jika } S < L)$$

$$L_v = 2 \cdot S^2 - \frac{399}{A} \quad (\text{Jika } S > L)$$

Dimana :  $S = \text{jarak pandangan henti (m)}$   
 $A = \text{perbedaan aljabar untuk kelandaian}$   
 $= G_1 - G_2 \dots (\%)$

#### Penyerapan guncangan:

$$Lv = V^2 \cdot \frac{A}{360}$$

Dimana :  $V = \text{kecepatan rencana (km/h)}$   
 $A = \text{perbedaan aljabar untuk kelandaian}$   
 $= G_1 - G_2 \dots (\%)$

#### Keluwasan bentuk:

$$L_v = 0,6 \cdot V \dots (\text{m})$$

Dimana :  $V = \text{kecepatan rencana (km/h)}$

#### Syarat drainase:

$$L_v = 40 \cdot A \dots (\text{m})$$

Dimana :  $A = \text{perbedaan aljabar untuk kelandaian} = G_1 - G_2 \dots (\%)$

Dari hasil perhitungan  $L_v$  di atas, yang paling ideal adalah harga yang terpanjang. Kemudian dicari elevasi masing-masing station port tersebut.

$$Ev = \frac{A \cdot L_v}{800}$$

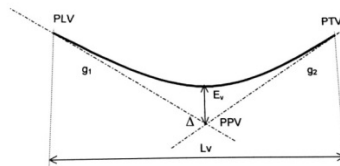
$$Y = \frac{A}{200 \cdot L_v} \cdot X^2$$

$$\text{Elevasi PLV} = \text{Elevasi PPV} \pm \frac{G_1}{100} \cdot \frac{1}{2} \cdot L_v$$

$$\text{Elevasi PLV} = \text{Elevasi PPV} \pm \frac{G_2}{100} \cdot \frac{1}{2} \cdot L_v$$

### 2.12.2 Alinyemen Vertikal Cekung

Bentuk alinyemen vertikal cembung dapat dilihat pada gambar di bawah ini:



Gambar 2.24 Alinyemen Vertikal Cekung

Perhitungan :

- Menentukan perbedaan aljabar landai, yaitu  $A = |G_1 - G_2|$
- Menentukan panjang Lv, berdasarkan :

Jarak Pandangan Henti

$$L_v = S^2 \cdot \frac{A}{398} \dots \dots \dots \text{( Jika } S < L \text{ )}$$

$$L_v = 2.S^2 - \frac{3480}{A} \dots \dots \dots \text{( Jika } S > L \text{ )}$$

Dimana :  $S$  = jarak pandangan henti (m)  
 $A$  = perbedaan aljabar untuk kelandaian =  $G_1 - G_2 \dots (\%)$

Penyerapan guncangan:

$$L_v = V^2 \cdot \frac{A}{360}$$

Dimana :  $V$  = kecepatan rencana (km/h)  
 $A$  = perbedaan aljabar untuk kelandaian =  $G_1 - G_2 \dots (\%)$

Syarat kenyamanan:

$$L_v = \frac{A \cdot V^2}{1300 \cdot a}$$

Dimana :  $a$  = percepatan sentripetal =  $0,1 \text{ m/dt}^2$

Keluwesan bentuk:

$$L_v = 0,6 \cdot V \dots \dots \text{(m)}$$

Dimana :  $V$  = kecepatan rencana (km/h)

Syarat drainase:

$$L_v = 40 \cdot A \dots \dots \text{(m)}$$

Dimana :  $A$  = perbedaan aljabar untuk kelandaian =  $G_1 - G_2 \dots (\%)$

Dari hasil perhitungan Lv di atas, yang paling ideal adalah harga yang terpanjang. Kemudian dicari elevasi masing-masing station port tersebut.

$$E_v = \frac{A \cdot L_v}{800}$$

$$Y = \frac{A}{200 \cdot L_v} \cdot X^2$$

$$\text{Elevasi PLV} = \text{Elevasi PPV} \pm \frac{G_1}{100} \cdot \frac{1}{2} \cdot L_V$$

$$\text{Elevasi PLV} = \text{Elevasi PPV} \pm \frac{G_2}{100} \cdot \frac{1}{2} \cdot L_V$$

Tabel 2.10 e dan Ls Metode Bina Marga

D (m)	R (m)	V = 50 km/jam	1+ = 60 km/jam		V = 70 km/jam	V = 80 km/jam	V = 90 km/jam
			e	Ls			
0,250	5730	LN 0	LN 0	LN 0	LP 60	LP 70	LP 75
0,500	2865	LN 0	LN 0	LN 0	LP 60	LP 70	LP 75
0,750	1907	LN 0	LN 0	LN 0	LP 60	LP 70	LP 75
1,000	1432	LP 45	LP 50	LP 50	LP 60	LP 70	LP 75
1,250	1146	LP 45	LP 50	LP 50	LP 60	LP 70	LP 75
1,500	955	LP 45	LP 50	LP 50	LP 60	LP 70	LP 75
1,750	819	LP 45	LP 50	LP 50	LP 60	LP 70	LP 75
2,000	714	LP 45	LP 50	LP 50	LP 60	LP 70	LP 75
2,500	573	0,026 45	0,036 50	0,047 50	0,059 60	0,070 70	0,072 75
3,000	477	0,030 45	0,042 50	0,055 50	0,068 60	0,081 70	0,084 75
3,500	409	0,035 45	0,046 50	0,062 50	0,075 60	0,089 70	0,095 75
4,000	358	0,039 45	0,050 50	0,066 50	0,080 60	0,093 70	0,100 75
4,500	319	0,044 45	0,054 50	0,074 50	0,088 60	0,099 70	0,109 75
5,000	286	0,048 45	0,064 50	0,079 50	0,093 60	0,100 70	0,110 75
6,000	239	0,055 45	0,073 50	0,088 50	0,098 60	0,108 70	Datas = 5,12
7,000	205	0,062 45	0,080 50	0,094 50	0,104 60	Datas = 6,82	
8,000	179	0,068 45	0,086 50	0,098 50	0,108 60		
9,000	159	0,074 45	0,092 50	0,104 50	0,116 60		
10,000	143	0,079 45	0,095 50	0,109 50	0,121 60		
11,000	130	0,083 45	0,100 50	0,114 50	0,126 60		
12,000	119	0,087 45	0,100 50	0,116 50	0,128 60		
13,000	110	0,091 45	0,101 50	0,118 50	0,132 60		
14,000	102	0,093 45	0,102 50	0,119 50	0,134 60		
15,000	95	0,096 45	0,104 50	0,121 50	0,136 60		
16,000	89	0,099 45	0,107 50	0,124 50	0,139 60		
17,000	84	0,099 45	0,109 50	0,126 50	0,141 60		
18,000	80	0,099 45	0,109 50	0,126 50	0,141 60		
19,000	75						Datas = 18,83

**Keterangan:**

LN = Jarak jalan normal disusulukan = 2 %  
 LP = Jarak jalan diputar sejajar perkerasan mendapat insiprelasi  
 setelah Jarak jalan normal = 2 %  
 1+ = diputar sejajar dengan perkerasan bagian rumah modifikasi  
 Datas = Jarak statis maksimum (garis 13), jarak tempuh 2 detik,  
 dan lebar perkerasan 2 x 3,75 m

(e mak 10% metode Bina Marga)

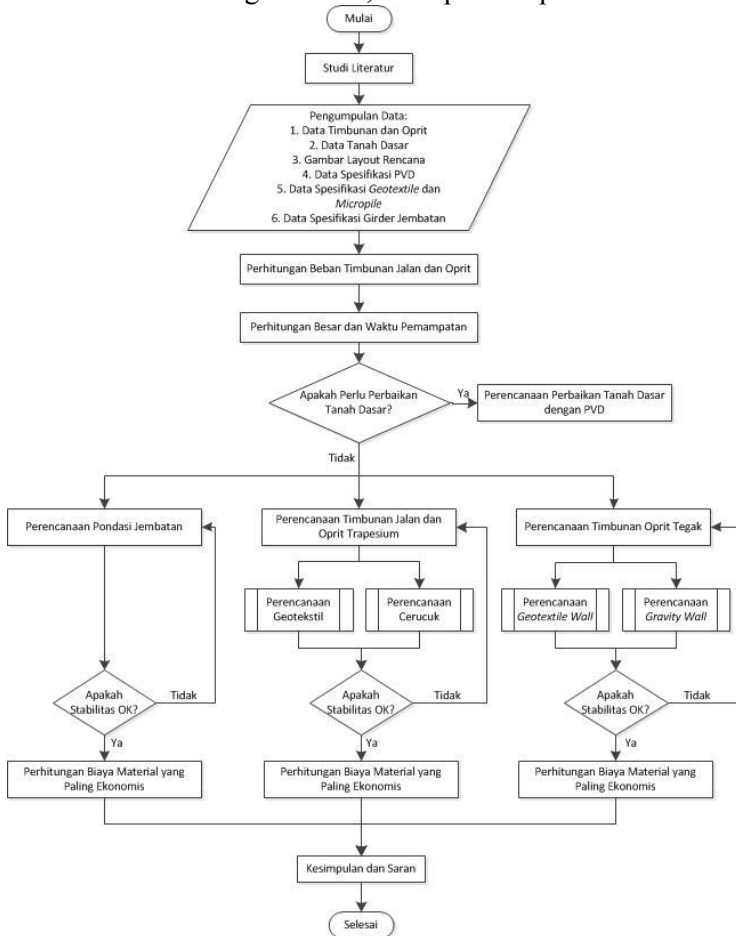
*“halaman ini sengaja dikosongkan”*

## BAB III

## METODOLOGI

### 3.1 Bagan Alir

Gambar 3.1 berikut ini adalah diagram alir pada penulisan Tugas Akhir “Perencanaan Timbunan, Oprit dan Dimensi Pondasi Jembatan Baru di Sungai Wulan, Kabupaten Jepara.



Gambar 3.1. Diagram Alir Tugas Akhir

### 3.2 Studi Literatur

Studi Literatur pada tugas akhir diperlukan sebagai penunjang dan pengetahuan dasar sebelum pengerjaan tugas akhir. Dalam proses ini, penulis dapat mengetahui berbagai macam dasar teori yang digunakan dalam pengerjaan tugas akhir. Studi literatur didapatkan dari berbagai sumber seperti buku diktat kuliah, jurnal, peraturan-peraturan terkait, internet, serta buku penunjang lainnya yang berhubungan dengan masalah yang dibahas dalam tugas akhir. Adapun bahan teori yang nantinya digunakan adalah sebagai berikut:

1. Teori pemampatan / *settlement*
2. Teori waktu konsolidasi
3. Teori perbaikan tanah dengan PVD
4. Perkuatan timbunan dengan geotekstil dan cerucuk
5. Teori pondasi dalam

### 3.3 Pengumpulan dan Analisa Data

Data-data yang dipakai dalam perencanaan ini adalah data sekunder yang didapat dari instansi terkait atau hasil survey dari pihak lain. Data tersebut meliputi:

1. Data timbunan dan oprit
2. Data tanah dasar
3. Gambar *layout* rencana
4. Peta topografi Jepara
5. Data spesifikasi PVD
6. Data spesifikasi *geotextile*
7. Data spesifikasi micropile
8. Data berat jembatan untuk jembatan rangka dengan bentang 60m dan beton balok T dengan bentang 20 m.

### 3.4 Perhitungan Beban

Menghitung beban yang terjadi pada timbunan oprit rencana, baik yang berasal dari tanah timbunan sendiri maupun beban lalu lintas dan diterjemahkan menjadi distribusi tegangan pada tanah asli.

### **3.5 Menghitung Pemampatan Tanah yang Terjadi**

Dengan data sekunder dari analisa tanah pada lapangan serta perhitungan, diperoleh besar dan waktu pemampatan dari tanah dasar yang terjadi.

### **3.6 Merencanakan Jenis Perbaikan Tanah Dasar**

Apabila pemampatan yang terjadi cukup besar dan waktu yang dibutuhkan untuk memampat cukup lama, maka dibutuhkan perencanaan perbaikan tanah dasar. Perencanaan perbaikan tanah dasar yang digunakan adalah Prefabricated Vertical Drain (PVD). Namun apabila pemampatan yang terjadi relatif kecil dan waktu yang dibutuhkan untuk memampat tidak lama, maka langkah ini dapat diabaikan.

### **3.7 Merencanakan Pondasi Jembatan (Abutmen dan Pilar) beserta Timbunan dan Oprit Jembatan**

Perencanaan pondasi jembatan dilakukan atas pertimbangan adanya beban yang terjadi secara langsung terhadap pondasi. Perencanaan ini harus memenuhi ketahanan terhadap geser, guling, dan amblas.

Penentuan dimensi abutment didasarkan pada dimensi abutment yang memenuhi ketahanan geser, guling, dan amblas seefisien mungkin yang dilihat dari besarnya biaya material yang dibutuhkan.

### **3.8 Merencanakan Timbunan Jalan dan Oprit Trapesium Jembatan**

Perencanaan timbunan jalan dan oprit trapesium jembatan adalah merencanaan perkuatan yang terdiri dari dua alternatif perkuatan, yaitu *geotekstil wall* atau cerucuk. Kedua alternatif tersebut harus memenuhi kemampuan stabilitas kelongsoran.

Penentuan jenis perkuatan yang digunakan didasarkan pada besarnya biaya material yang dibutuhkan.

### **3.9 Merencanakan Timbunan Oprit Tegak Jembatan**

Perencanaan timbunan oprit tegak jembatan adalah merencanaan perkuatan yang terdiri dari dua alternatif perkuatan, yaitu *geotekstile wall* atau *gravity wall*. Kedua alternatif tersebut harus memenuhi kemampuan stabilitas kelongsoran.

Penentuan jenis perkuatan yang digunakan didasarkan pada besarnya biaya material yang dibutuhkan.

### **3.10 Kesimpulan dan Saran**

Pada kesimpulan dipaparkan rencana perkuatan timbunan, oprit, beserta pondasi jembatan yang dipakai, beserta alasan pertimbangan pemilihan.

Pada saran dituliskan saran dan harapan atas perencanaan timbunan, oprit, dan pondasi Jembatan Sungai Wulan ini maupun perencanaan lain yang sejenis, demi peningkatan kualitas perencanaan selanjutnya.

## BAB IV

### DATA PERENCANAAN

Perencanaan konstruksi jalan, oprit, dan abutmen pada Tugas Akhir ini dilakukan berdasarkan data sebagai berikut:

1. Data tanah hasil penyelidikan tanah yang diwakili oleh data titik BH-1 untuk sebelum sungai, BH-2 untuk sesudah sungai.
2. Peta rencana awal jembatan (potongan memanjang, melintang, dan plan).
3. Spesifikasi jenis *vertical drain*, dan perkuatan *geotextile* dan *micropile* yang dipakai.

Data-data tersebut secara lengkap ditampilkan pada lampiran I.

#### 4.1 Data Tanah Asli

Dalam perencanaan jalan, oprit, dan abutmen pada tugas akhir ini membutuhkan data karakteristik dan parameter dari tanah dasar. Dari data tersebut dapat diketahui kelayakan tanah dasar sehubungan dengan daya dukungnya dan metode perbaikan tanah yang dilakukan bila diperlukan. Adapun nilai parameter tanah dasar yang merupakan hasil dari penyelidikan tanah asli dan hitungan ditampilkan dalam **Tabel 4.1** dan **Tabel 4.2**.

Tabel 4.1 Parameter Tanah Dasar Sebelum Sungai

Kedalaman (m)	NSPT	WC	GS	gd	Porositas	Void ratio	LL	Cv	PI
		%		(gr/cm <sup>3</sup> )	n	e			
0-4	1	74.73	2.658	0.778	0.665	1.986	72.015	0.0014	40
4-6	1	70.53	2.623	0.812	0.649	1.85	78.39	0.00145	40
6-10	1	66.98	2.646	0.906	0.639	1.773	76.9	0.00134	40
10-13	1	67.68	2.646	0.906	0.639	1.773	73.76	0.0013	40
13-16	1	66.04	2.642	0.906	0.636	1.744	73.58	0.0014	40
16-18	1	65	2.637	0.855	0.632	1.714	73.76	0.0013	40

Tabel 4.1 Parameter Tanah Dasar Sebelum Sungai (Lanjutan)

Kedalaman (m)	NSPT	WC	GS	gd	Porositas	Void ratio	LL	Cv	PI
		%		(gr/cm <sup>3</sup> )	n	e			
18-22	1	57.63	2.632	1.009	0.603	1.517	73.4	0.0012	40
22-25	4	63.46	2.648	0.889	0.627	1.681	75.85	0.0011	41
25-27	6	49.23	2.653	1.112	0.566	1.306	78.22	0.0011	41
27-30	9	39.19	2.619	1.266	0.507	1.027	68.58	0.0008	41
30-34	12	36.54	2.672	1.334	0.494	0.976	77.67	0.0008	41

Data tanah dasar untuk sisi sebelum sungai ditampilkan dalam bentuk *Bore Log 1* (B-1) pada **Lampiran I**.

Tabel 4.2 Parameter Tanah Dasar Sesudah Sungai

Kedalaman (m)	NSPT	WC	GS	γd	Porositas	Void ratio	LL	Cv	PI
		%		(gr/cm <sup>3</sup> )	n	e			
1	1	74.73	2.658	0.778	0.665	1.732	77.78	0.00126	42.57
4	1	70.53	2.623	0.812	0.649	1.756	76.6	0.00142	42.31
7	1	66.98	2.646	0.906	0.639	1.654	73.72	0.0013	40.28
10	1	67.68	2.646	0.906	0.639	1.627	73.86	0.00126	41.47
13	1	66.04	2.642	0.906	0.636	1.793	71.6	0.00132	39.39
16	1	65	2.637	0.855	0.632	1.743	70.31	0.00126	39.72
19	1	57.63	2.632	1.009	0.603	1.725	70.75	0.0012	39
22	4	63.46	2.648	0.889	0.627	1.756	71.38	0.00088	38.91
25	6	49.23	2.653	1.112	0.566	1.138	76.59	0.00086	40.51
28	9	39.19	2.619	1.266	0.507	1.094	78.28	0.00072	42.12
31	12	36.54	2.672	1.334	0.494	1	70.53	0.00064	37.06

Data tanah dasar untuk sisi sebelum sungai ditampilkan dalam bentuk *Bore Log 2* (B-2) pada **Lampiran I**.

Nilai indeks kompresi ( $C_c$ ) dan indeks mengembang ( $C_s$ ) ditentukan menggunakan rumus empiris oleh Kosasih dan Mochtar (**Perumusan 2.3**). Berikut adalah contoh perhitungan  $C_c$  dan  $C_s$  untuk sisi sebelum sungai pada kedalaman 0-4 m:

$$\begin{aligned} C_c &= 0,006 LL + 0,13 e_0^2 - 0,13 \\ &= (0,006 \times 72,015) + (0,13 \times 1,986^2) - 0,13 \\ &= 0,8148 \end{aligned}$$

$$\begin{aligned} C_s &= 0,002 LL + 0,02 e_0^2 - 0,05 \\ &= (0,002 \times 72,015) + (0,02 \times 1,986^2) - 0,05 \\ &= 0,173 \end{aligned}$$

Nilai koefisien konsolidasi arah horizontal ( $C_h$ ) diambil  $2 \times C_v$ . Berikut adalah contoh perhitungan  $C_h$  untuk sisi sebelum sungai pada kedalaman 0-4 m:

$$\begin{aligned} C_h &= 2 \times 0,0014 \\ &= 0,0028 \end{aligned}$$

Nilai  $\gamma_{sat}$  ditentukan dengan menggunakan rumus  $\gamma_{sat} = \frac{G_s \cdot \gamma_w (W_c + 1)}{1 + e}$ . Berikut adalah contoh perhitungan  $C_h$  untuk sisi sebelum sungai pada kedalaman 0-4 m:

$$\begin{aligned} \gamma_{sat} &= \frac{2,658 \times 1 (0,7473 + 1)}{1 + 1,986} \\ &= 1,5554 \text{ gr/cm}^3 \end{aligned}$$

sehingga,

$$\gamma' = 0,5554 \text{ gr/cm}^3$$

**Tabel 4.3** dan **Tabel 4.4** ditampilkan hasil perhitungan parameter  $C_c$ ,  $C_s$ ,  $C_h$ ,  $\gamma_{sat}$ , dan  $\gamma'$  untuk masing-masing sisi sungai,

Tabel 4.3 Hasil Perhitungan  $C_u$ ,  $CC$ ,  $C_h$ ,  $\gamma_{sat}$ , dan  $\gamma'$  Sebelum Sungai

<b>Kedalaman (m)</b>	<b><math>C_c</math></b>	<b><math>C_s</math></b>	<b><math>C_h</math></b>	<b><math>\gamma_{sat}</math></b>	<b><math>\gamma'</math></b>
				<b>(gr/cm<sup>3</sup>)</b>	<b>(gr/cm<sup>3</sup>)</b>
0-4	0.81483548	0.172914	0.0028	1.55536618	0.555366

Tabel 4.3 Hasil Perhitungan Cu, CC, Ch,  $\gamma_{sat}$ , dan  $\gamma'$  Sebelum Sungai (Lanjutan)

<b>Kedalaman (m)</b>	<b>Cc</b>	<b>Cs</b>	<b>Ch</b>	<b><math>\gamma_{sat}</math></b>	<b><math>\gamma'</math></b>
				<b>(gr/cm<sup>3</sup>)</b>	<b>(gr/cm<sup>3</sup>)</b>
4-6	0.785265	0.17523	0.0029	1.56947435	0.569474
6-10	0.74005877	0.166671	0.00268	1.59332521	0.593325
10-13	0.72121877	0.160391	0.0026	1.60000462	0.600005
13-16	0.70687968	0.157991	0.0028	1.59867959	0.59868
16-18	0.69447348	0.156276	0.0026	1.60318718	0.603187
18-22	0.60956757	0.142826	0.0024	1.64832006	0.64832
22-25	0.69244893	0.158215	0.0022	1.61447997	0.61448
25-27	0.56105268	0.140553	0.0022	1.71685685	0.716857
27-30	0.41859477	0.108255	0.0016	1.79841445	0.798414
30-34	0.45985488	0.124392	0.0016	1.84633036	0.84633

Tabel 4.4 Hasil Perhitungan Cu, CC, Ch,  $\gamma_{sat}$ , dan  $\gamma'$  Sesudah Sungai

<b>Kedalaman (m)</b>	<b>Cc</b>	<b>Cs</b>	<b>Ch</b>	<b><math>\gamma_{sat}</math></b>	<b><math>\gamma'</math></b>
				<b>(gr/cm<sup>3</sup>)</b>	<b>(gr/cm<sup>3</sup>)</b>
1	0.72665712	0.165556	0.00252	1.593546	0.593546
4	0.73045968	0.164871	0.00284	1.59292	0.59292
7	0.66796308	0.152154	0.0026	1.620102	0.620102
10	0.65728677	0.150663	0.00252	1.621896	0.621896
13	0.71753037	0.157497	0.00264	1.595825	0.595825

Tabel 4.4 Hasil Perhitungan Cu, CC, Ch,  $\gamma_{sat}$ , dan  $\gamma'$  Sesudah Sungai (Lanjutan)

Kedalaman (m)	Cc	Cs	Ch	$\gamma_{sat}$	$\gamma'$
				(gr/cm <sup>3</sup> )	(gr/cm <sup>3</sup> )
16	0.68680637	0.151381	0.00252	1.611177	0.611177
19	0.68133125	0.151013	0.0024	1.601387	0.601387
22	0.69913968	0.154431	0.00176	1.588102	0.588102
25	0.49789572	0.129081	0.00172	1.77958	0.77958
28	0.49526868	0.130497	0.00144	1.793062	0.793062
31	0.42318	0.11106	0.00128	1.781102	0.781102

#### 4.2 Data Timbunan Jalan

- Tinggi timbunan jalan : 3,00 m
- Kemiringan (*slope*) melintang : 1:2
- Lebar badan jalan rencana : 25 m
- Ø : 30<sup>0</sup>
- $\gamma$  timbunan : 1,80 t/m<sup>3</sup>
- $\gamma$  sat timbunan : 1,85 t/m<sup>3</sup>
- Fluktuasi muka air banjir : 1,5 meter

Potongan melintang timbunan jalan rencana ditampilkan pada **Lampiran I**.

#### 4.3 Data Timbunan Oprit Trapezium

- Tinggi timbunan oprit sebelum sungai : 4,70 m
- Tinggi timbunan oprit setelah sungai : 4,80 m
- Kemiringan (*slope*) melintang : 1:2
- Kemiringan (*slope*) memanjang : 3,5%
- Lebar badan jalan rencana : 25 m
- Ø : 30<sup>0</sup>
- $\gamma$  timbunan : 1,80 t/m<sup>3</sup>

- $\gamma_{sat}$  timbunan : 1,85 t/m<sup>3</sup>
  - Fluktuasi muka air banjir : 1,5 meter
- Potongan memanjang timbunan oprit trapesium rencana ditampilkan pada **Lampiran I**.

#### **4.4 Data Timbunan Oprit Tegak**

- Tinggi timbunan oprit sebelum sungai : 5,30 m
- Tinggi timbunan oprit sebelum sungai : 5,40 m
- Kemiringan (*slope*) melintang : 1:2
- Kemiringan (*slope*) memanjang : 3,5%
- Lebar badan jalan rencana : 25 m
- Ø : 30<sup>0</sup>
- $\gamma$  timbunan : 1,80 t/m<sup>3</sup>
- $\gamma_{sat}$  timbunan : 1,85 t/m<sup>3</sup>
- Fluktuasi : 1,5 meter

Potongan memanjang timbunan oprit tegak rencana ditampilkan pada **Lampiran I**.

#### **4.5 Data Jembatan**

Jembatan direncanakan menggunakan jenis girder tipe-I dengan bentang pinggir masing-masing 25 m, dan bentang tengah 50 m. Perencanaan girder menggunakan Girder Adhi Mix Precast, dengan spesifikasi sebagai berikut:

- tinggi girder = 160 cm untuk bentang pinggir
- tinggi girder = 210 cm untuk bentang tengah

#### **4.6 Data Tiang Pancang**

Tiang Pancang direncanakan menggunakan tiang pancang (*spun piles*) produksi WIKA BETON. Diameter *spun piles* yang dihitung yakni diameter 40cm, 50 cm, 60cm, 80 cm.

#### **4.7 Data Geotextile**

*Geotextile* pada timbunan trapesium direncanakan menggunakan spesifikasi Kalpesh Synthetics Woven dengan tensile strength 120 KN/m<sup>2</sup>. Brosur ditampilkan pada **Lampiran**

I. Sedangkan *Geotextile* pada timbunan oprit tegak direncanakan menggunakan Unggul-Tex UW 250.

#### **4.8 Data *Micropile***

*Micropile* direncanakan menggunakan *micropile* ATA BETON. Spesifikasi *micropile* yang digunakan adalah *micropile* segi empat dengan dimensi 16x16 cm.

#### **4.9 Data *Vertical Drain***

*Vertical drain* yang digunakan adalah *Prefabricated Vertical Drain* merk CeTeau.

Brosur dari data-data di atas ditampilkan pada **Lampiran I**.

*“halaman ini sengaja dikosongkan”*

## BAB V

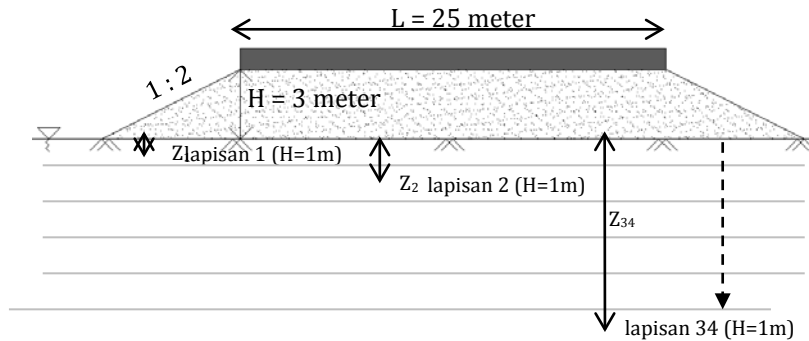
# PERHITUNGAN PERENCANAAN TIMBUNAN JALAN DAN OPRIT

### 5.1 Perencanaan Timbunan Jalan

Suatu lapisan tanah dianggap mudah memampat apabila lapisan tanah tersebut berupa tanah lempung atau lanau dengan rentang konsistensi sangat lunak sampai dengan menengah (*very soft to medium stiff soil*).

Dari profil lapisan tanah dasar yang ditunjukkan pada **Lampiran I**, dapat diketahui kedalaman tanah asli yang direncanakan untuk sebelum sungai adalah 30 meter, sedangkan untuk setelah adalah 37 meter yang merupakan lapisan medium stiff dengan SPT = 10. Maka, perhitungan besar settlement harus ditinjau sampai kedalaman 30 meter dan 37 meter (*compressible soil*).

Tanah dasar dibagi dalam lapisan-lapisan dengan ketebalan  $H=1\text{ m}$  seperti ditampilkan pada **Gambar 5.1**.



Gambar 5.1 Pembagian Lapisan Tanah Dasar Setiap 1m

### 5.1.1 Perhitungan Tinggi Awal ( $H_{\text{inisial}}$ ) Timbunan

Perencanaan  $H_{\text{inisial}}$  dalam Tugas Akhir ini memperhitungkan beban lalu lintas. Beban lalu lintas diasumsikan sebesar  $1 \text{ t/m}^2$ .

Berikut adalah contoh perhitungan *settlement* akibat timbunan jalan  $h_{\text{final}} = 3\text{m}$  pada sisi sebelum sungai:

$$H \text{ timbunan} = 1 \text{ m}$$

$$q \text{ lalu lintas} = 1,0 \text{ t/m}^2$$

$$\begin{aligned} H \text{ lalu lintas} &= \frac{q \text{ lalu lintas}}{\gamma \text{ timbunan}} \\ &= \frac{1,0 \text{ t/m}^2}{1,85 \text{ t/m}^3} \\ &= 0,541 \text{ m} \end{aligned}$$

$$\begin{aligned} H \text{ total} &= H \text{ timbunan} + H \text{ lalu lintas} \\ &= 1 \text{ m} + 0,541 \text{ m} \\ &= 1,541 \text{ m} \end{aligned}$$

$$\begin{aligned} q \text{ total} &= H \text{ total} \times \gamma \text{ timbunan} \\ &= 1,541 \text{ m} \times 1,85 \text{ t/m}^3 \\ &= 2,85 \text{ t/m}^2 \end{aligned}$$

Dengan cara yang sama, didapat  $q$  total untuk masing-masing  $H$  timbunan yang ditampilkan pada **Lampiran II**.

Lalu dihitung tegangan *overburden* efektif ( $\sigma'_o$ ) dan distribusi tegangan akibat  $q$  total ( $\Delta\sigma'$ ). Berikut adalah contoh perhitungan tegangan *overburden* efektif ( $\sigma'_o$ ) akibat timbunan jalan pada sisi sebelum sungai:

Pada lapisan 1:

$$H = 1 \text{ m}$$

$$Z = 0,5 \text{ m}$$

$$\begin{aligned} (\sigma'_o) &= \gamma' \times Z \\ &= (0,5554 \text{ 1 t/m}^3) \times 0,5 \text{ m} \\ &= 0,278 \text{ t/m}^2 \end{aligned}$$

Hasil perhitungan  $\sigma'_o$  untuk seluruh sisi sungai ditampilkan pada **Lampiran II**.

Besar tegangan akibat beban timbunan ( $\Delta\sigma'$ ) ditentukan dengan **Persamaan 2.4**. Berikut adalah contoh perhitungan

tegangan akibat beban timbunan ( $\Delta\sigma'$ ) timbunan jalan pada sisi sebelum sungai akibat  $q$  total =  $2,85 \text{ t/m}^2$ :

Pada lapisan 1:

$$\begin{aligned} Z &= 0,5 \text{ m} \\ B1 &= \frac{\text{lebar jalan rencana}}{2} \\ &= \frac{25 \text{ m}}{2} \\ &= 12,5 \text{ m} \end{aligned}$$

$$\begin{aligned} B2 &= 2 \times H \text{ total} \\ &= 2 \times 1,541 \text{ m} \\ &= 3,081 \text{ m} \end{aligned}$$

$$\begin{aligned} \alpha 1 &= \tan^{-1}\left(\frac{B1+B2}{z}\right) - \tan^{-1}x\left(\frac{B1}{z}\right) \text{ (radian)} \\ &= \tan^{-1}\left(\frac{12,5+3,081}{0,5}\right) - \tan^{-1}x\left(\frac{12,5}{0,5}\right) \text{ (radian)} \\ &= 0,45^\circ \end{aligned}$$

$$\begin{aligned} \alpha 2 &= \tan^{-1}x\left(\frac{B1}{z}\right) \text{ (radian)} \\ &= \tan^{-1}x\left(\frac{12,5}{0,5}\right) \text{ (radian)} \\ &= 87,71^\circ \end{aligned}$$

$$\begin{aligned} q_0 &= 2,85 \text{ t/m}^2 \\ \Delta\sigma' &= \frac{q_0}{\pi} x \left[ \left( \frac{B1+B2}{B2} \right) x (\alpha 1 + \alpha 2) - \left( \frac{B1}{B2} x \alpha 2 \right) \right] \\ &= \frac{2,85}{\pi} x \left[ \left( \frac{12,5+3,081}{3,081} \right) x (0,45 + 87,71) - \left( \frac{12,5}{3,081} x 87,71 \right) \right] \\ &= 1,424972 \text{ t/m}^2 \end{aligned}$$

$$\begin{aligned} 2\Delta\sigma' &= 2 \times 1,424972 \text{ t/m}^2 \\ &= 2,85 \text{ t/m}^2 \end{aligned}$$

Hasil perhitungan  $\Delta\sigma'$  untuk seluruh lapisan tanah di kedua sisi sungai ditampilkan pada **Lampiran II**.

Kemudian dilakukan perhitungan *settlement* yang terjadi akibat setiap  $q$  total yang ditentukan. Perumusan yang digunakan adalah **Persamaan 2.1** atau **Persamaan 2.2**. Berikut adalah contoh perhitungan *settlement* tanah dasar akibat beban timbunan jalan sebesar  $q$  total =  $2,85 \text{ t/m}^2$  pada sisi sebelum sungai.

Pada lapisan 1:

$$H_i = 1 \text{ m}$$

$$\begin{aligned}
 Cc &= 0,8145 \\
 Cs &= 0,173 \\
 e_0 &= 1,986 \\
 \sigma'_o &= 0,278 \text{ t/m}^2 \\
 \Delta\sigma' &= 2,85 \text{ t/m}^2 \\
 \sigma'_o + \Delta\sigma' &= 0,278 \text{ t/m}^2 + 2,85 \text{ t/m}^2 \\
 &= 3,128 \text{ t/m}^2 \\
 P \text{ fluktuasi} &= 1,5 \text{ t/m}^2 \\
 \sigma_c' &= \sigma'_o + P \text{ fluktuasi} \\
 &= 0,278 \text{ t/m}^2 + 1,5 \text{ t/m}^2 \\
 &= 1,778 \text{ t/m}^2 \\
 OCR &= \frac{\sigma_c'}{\sigma'_o} \\
 &= \frac{1,778 \text{ t/m}^2}{0,278 \text{ t/m}^2} \\
 &= 6,402 > 1 \rightarrow OC
 \end{aligned}$$

$\sigma'_o + \Delta\sigma' > \sigma_c' \rightarrow$  gunakan **Persamaan 2.2.** Sehingga:

$$\begin{aligned}
 Sc &= \frac{Cs \cdot H_0}{1+e_0} \cdot \log \frac{\sigma_c'}{\sigma_{vo'}} + \frac{Cc \cdot H_0}{1+e_0} \cdot \log \frac{\sigma'_{vo} + \Delta\sigma}{\sigma_c'} \\
 Sc &= \frac{0,173 \times 1}{1+1,986} \cdot \log \frac{1,778 \text{ t/m}^2}{0,278 \text{ t/m}^2} + \frac{0,8148 \times 1}{1+1,986} \cdot \log \frac{3,128 \text{ t/m}^2}{1,778 \text{ t/m}^2} \\
 Sc &= 0,114 \text{ m}
 \end{aligned}$$

Hasil *settlement* tersebut dijumlahkan dengan lapisan-lapisan tanah asli yang ditinjau, sehingga didapat *settlement* total dari satu q total. Langkah-langkah tersebut diulang dengan menggunakan tinggi timbunan dan beban lalu lintas yang berbeda. Hasil perhitungan *settlement* untuk seluruh lapisan tanah di kedua sisi sungai ditampilkan pada **Lampiran II**.

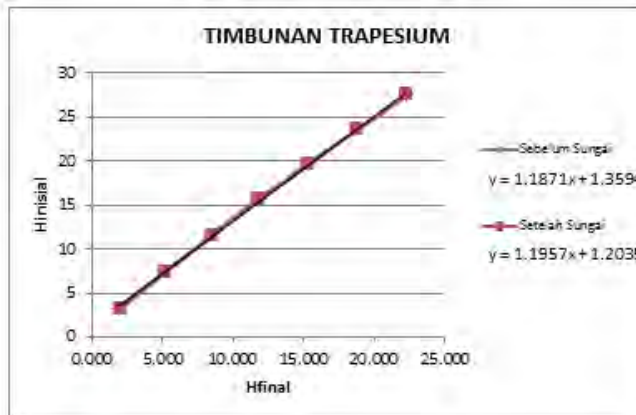
Kemudian,  $H_{\text{inisial}}$  dapat dihitung dengan **Persamaan 2.6** dan  $H_{\text{final}}$  dihitung dengan **Persamaan 2.7**. Berikut adalah contoh perhitungan  $H_{\text{inisial}}$  dan  $H_{\text{final}}$  timbunan.

$$\begin{aligned}
 H_{\text{inisial}} &= \frac{q + (S_c \times \gamma_{\text{timb}}) - (S_c \times \gamma'_{\text{timb}})}{\gamma_{\text{timb}}} \\
 H_{\text{inisial}} &= \frac{2,85 \text{ t/m}^2 + \left(0,753m \times \left(\frac{1,8t}{m^3} + \frac{1t}{m^3} - \frac{1,85t}{m^3}\right)\right)}{1,8 \text{ t/m}^3} \\
 H_{\text{inisial}} &= 3,2475 \text{ m}
 \end{aligned}$$

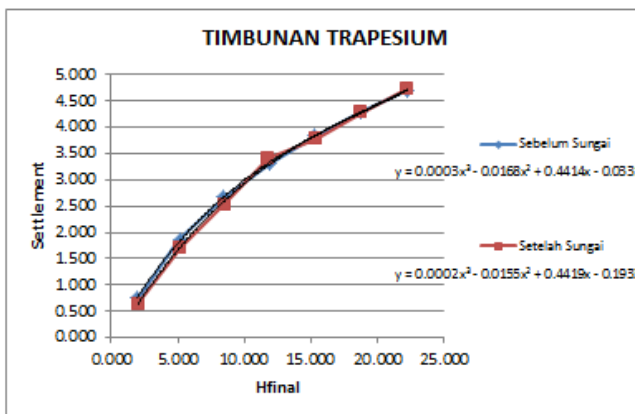
$$\begin{aligned}
 H_{\text{final}} &= H_{\text{inisial}} - H_{\text{traffic}} - S_c \\
 &= 3,2475\text{m} - 0,541\text{m} - 0,753\text{ m} \\
 &= 1,954\text{ m}
 \end{aligned}$$

Pada pelaksanaan di lapangan,  $H_{\text{traffic}}$  disebut  $H_{\text{bongkar}}$  yang harus dibongkar dari  $H_{\text{inisial}}$  karena beban lalu lintas sudah bekerja sendiri. Hasil perhitungan  $H_{\text{inisial}}$  dan  $H_{\text{final}}$  untuk setiap beban  $q$  di kedua sisi sungai ditampilkan pada **Lampiran II**.

Pada **Gambar 5.2** ditampilkan grafik hubungan  $H_{\text{final}}$  dengan  $H_{\text{inisial}}$  untuk kedua sisi sungai. Dan pada **Gambar 5.3** ditampilkan grafik hubungan  $H_{\text{final}}$  dengan *Settlement* untuk kedua sisi sungai.



Gambar 5.2 Grafik Hubungan  $H_{\text{final}}$  dengan  $H_{\text{inisial}}$



Gambar 5.3 Grafik Hubungan  $H_{final}$  dengan *Settlement*

Dari grafik-grafik di atas dapat ditentukan  $H$  inisial dan *settlement* yang terjadi dengan  $H$  final 3 meter, yaitu:

1. pada sisi sebelum sungai:  
 $H$  inisial = 4,92 m dan *settlement* = 1,15 m
2. pada sisi setelah sungai:  
 $H$  inisial = 4,8 m, dan *settlement* = 1 m

### 5.1.2 Perhitungan Waktu Konsolidasi ( $t$ )

Waktu konsolidasi ( $t$ ) dihitung dengan **Persamaan 2.10**. Berikut adalah contoh perhitungan untuk tanah dasar sebelum sungai:

$$t = \frac{Tv \cdot (H_{dr})^2}{Cv}$$

dengan:

$$T_v = 0,848 \text{ (Tabel 2.1)}$$

$$H_{dr} = 30 \text{ meter}$$

$$Cv = \frac{(H_1 + H_2 + \dots + H_n)^2}{\left( \frac{H_1}{\sqrt{Cv_1}} + \frac{H_2}{\sqrt{Cv_2}} + \dots + \frac{H_n}{\sqrt{Cv_n}} \right)^2} \text{ (Persamaan 2.8)}$$

$$=$$

$$\left( \frac{4}{\sqrt{0,0014}} + \frac{2}{\sqrt{0,0015}} + \frac{4}{\sqrt{0,0013}} + \frac{3}{\sqrt{0,0013}} + \frac{3}{\sqrt{0,0014}} + \frac{2}{\sqrt{0,0013}} + \frac{4}{\sqrt{0,0012}} + \frac{5}{\sqrt{0,0011}} + \frac{3}{\sqrt{0,0008}} \right)^2$$

$$(4+2+4+3+3+2+2+4+5+3)^2$$

$$\begin{aligned}
 &= 0,0012 \text{ cm}^2/\text{detik} \\
 &= 0,0736 \text{ m}^2/\text{detik} \\
 &= 3,5339 \text{ m}^2/\text{tahun} \\
 t &= \frac{0,848 \cdot (30m)^2}{3,5339 \text{ m}^2/\text{tahun}} \\
 &= 215,9644 \text{ tahun}
 \end{aligned}$$

Dengan cara yang sama, untuk sisi setelah sungai didapatkan waktu konsolidasi sebesar 397,216 tahun.

Karena waktu yang dibutuhkan untuk konsolidasi sebesar 90% sangat besar, maka diperlukan bantuan *vertical drain* untuk mempercepat waktu konsolidasi tersebut. Jenis *vertical drain* yang dipakai adalah *Prefabricated Vertical Drain* (PVD).

### 5.1.3 Perencanaan *Prefabricated Vertical Drain* (PVD)

Tujuan dari pemasangan PVD pada perencanaan ini adalah untuk membantu mempercepat proses pemampatan konsolidasi, sehingga dapat berlangsung dengan waktu yang relatif singkat.

Perencanaan PVD dalam Tugas Akhir ini menggunakan pola persegi dan pola segitiga, dengan jarak antar PVD (S) yang dihitung adalah 0,8; 1; 1,1; 1,2; 1,3; 1,4; 1,5; 1,6; 1,8; dan 2 meter.

#### Perencanaan dengan PVD Pola Segiempat

Berikut adalah contoh perhitungan perencanaan PVD pola segi empat untuk sisi sebelum sungai dengan jarak S=0,8m:

- Menghitung Fungsi Hambatan PVD ( $F(n)$ )

D = diameter ekivalen dari lingkaran tanah yang merupakan daerah pengaruh dari *vertical drain*.

$$= 1,13 \times S \quad (\textbf{Lampiran I})$$

$$= 1,13 \times 0,8$$

$$= 0,904 \text{ m} \times 100 = 90,4 \text{ cm}$$

n = D/dw

$$= 90,4 \text{ cm} / 6,68 \text{ cm}$$

$$= 14$$

$$F(n) = \left( \frac{n^2}{n^2 - 1^2} \right) \left[ \ln(n) - \frac{3}{4} - \left( \frac{1}{4n^2} \right) \right]$$

$$F(n) = \left( \frac{14^2}{14^2 - 1^2} \right) \left[ \ln(14) - \frac{3}{4} - \left( \frac{1}{14^2} \right) \right]$$

$$F(n) = 1,8674$$

Hasil perhitungan D, n, dan F(n) untuk setiap jarak antar PVD ditampilkan pada **Lampiran II**.

- Menghitung Derajat Konsolidasi (U) dengan PVD

$$\begin{aligned} T_v &= \text{faktor waktu} = \frac{t \times C_v}{(H_{dr})^2} \\ &= \frac{1 \text{ minggu} \times 0,0736 \text{ m}^2/\text{minggu}}{(30 \text{ m})^2} \\ &= 0,0001 \end{aligned}$$

$$\begin{aligned} U_v &= \text{derajat konsolidasi tanah akibat aliran air arah vertikal} \\ &= \left( 2 \sqrt{\frac{T_v}{\pi}} \right) \times 100\% \\ &= \left( 2 \sqrt{\frac{0,0001}{\pi}} \right) \times 100\% \\ &= 0,0102\% \end{aligned}$$

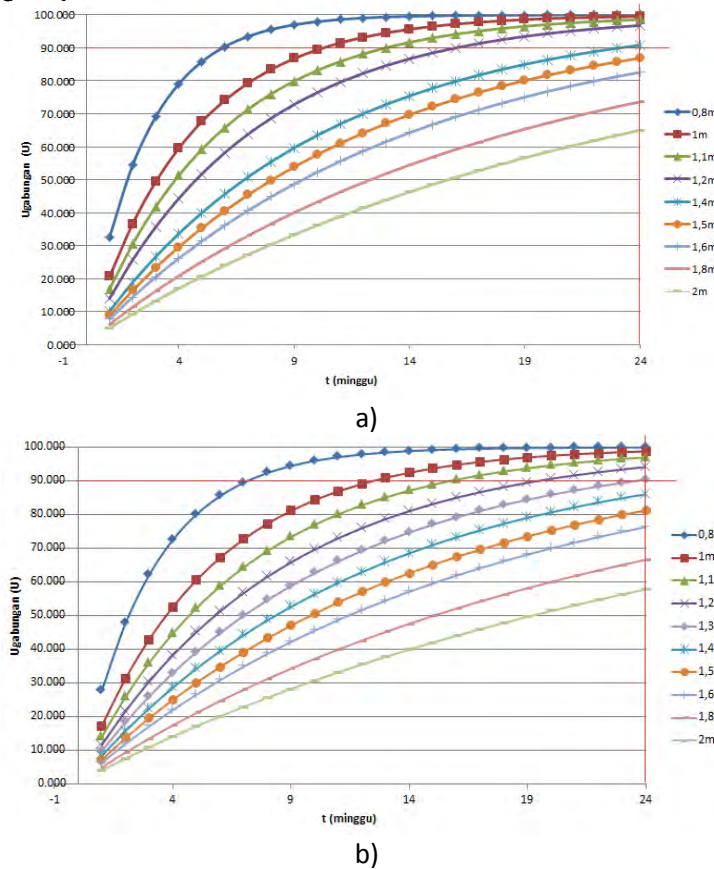
$$\begin{aligned} C_h &= 2 \times C_v \\ &= 2 \times 0,073623 \text{ m}^2/\text{minggu} \\ &= 0,147247 \text{ m}^2/\text{minggu} \end{aligned}$$

$$\begin{aligned} U_h &= \text{derajat konsolidasi tanah arah horizontal} \\ &= \left[ 1 - \left( \frac{1}{e^{\left( \frac{tx8xCh}{D^2x2xF(n)} \right)}} \right) \right] \\ &= \left[ 1 - \left( \frac{1}{e^{\left( \frac{1x8x0,147247}{90,4^2x2x1,8674} \right)}} \right) \right] \\ &= 0,3202\% \end{aligned}$$

$$\begin{aligned} U \text{ rata-rata} &= (1 - (1 - U_h)) \times (1 - U_v) \times 100\% \\ &= (1 - (1 - 0,3202)) \times (1 - 0,0102) \times 100\% \\ &= 32,713\% \end{aligned}$$

Perhitungan diatas dilakukan untuk seluruh jarak PVD (S). Hasil perhitungan derajat konsolidasi rata-rata ( $U$ ) untuk pola segiempat pada setiap S ditampilkan pada **Lampiran II**.

Pada **Gambar 5.4** ditampilkan grafik hubungan waktu dengan derajat konsolidasi dengan menggunakan PVD pola segiempat.



Gambar 5.4 Grafik Hubungan Derajat Konsolidasi ( $U$ ) dengan Waktu Timbunan dengan PVD Pola Segiempat a) Sebelum Sungai; b) Setelah Sungai.

Dari grafik di atas didapat jarak antar PVD pola segiempat yang dipakai untuk sisi sebelum sungai adalah 1,4 m. Sedangkan untuk sisi setelah sungai adalah 1,3 m.

### **Perencanaan dengan PVD Pola Segitiga**

Berikut adalah contoh perhitungan perencanaan PVD pola segi empat untuk sisi sebelum sungai dengan jarak S=0,8m:

- Menghitung Fungsi Hambatan PVD ( $F(n)$ )

$D$  = diameter ekivalen dari lingkaran tanah yang merupakan daerah pengaruh dari *vertical drain*.

$$= 1,05 \times S \quad (\text{Lampiran I})$$

$$= 1,05 \times 0,8$$

$$= 0,84 \text{ m} \times 100 = 84 \text{ cm}$$

$n$  =  $D/dw$

$$= 84 \text{ cm} / 6,68 \text{ cm}$$

$$= 13$$

$$F(n) = \left( \frac{n^2}{n^2 - 1^2} \right) \left[ \ln(n) - \frac{3}{4} - \left( \frac{1}{4n^2} \right) \right]$$

$$F(n) = \left( \frac{13^2}{13^2 - 1^2} \right) \left[ \ln(13) - \frac{3}{4} - \left( \frac{1}{13^2} \right) \right]$$

$$F(n) = 1,796$$

Hasil perhitungan  $D$ ,  $n$ , dan  $F(n)$  untuk setiap jarak antar PVD ditampilkan pada **Lampiran II**.

- Menghitung Derajat Konsolidasi ( $U$ ) dengan PVD

$$\begin{aligned} T_v &= \text{faktor waktu} = \frac{t \times C_v}{(H_{dr})^2} \\ &= \frac{1 \text{ minggu} \times 0,0736 \text{ m}^2/\text{minggu}}{(30 \text{ m})^2} \\ &= 0,0001 \end{aligned}$$

$U_v$  = derajat konsolidasi tanah akibat aliran air arah vertikal

$$= \left( 2 \sqrt{\frac{T_v}{\pi}} \right) \times 100\%$$

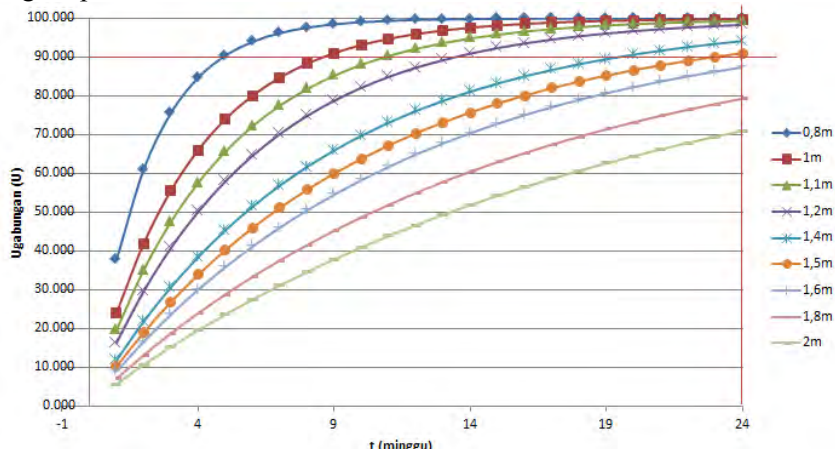
$$= \left( 2 \sqrt{\frac{0,0001}{\pi}} \right) \times 100\%$$

$$\begin{aligned}
 &= 0,0102\% \\
 U_h &= \text{derajat konsolidasi tanah arah horizontal} \\
 &= \left[ 1 - \left( \frac{1}{e^{\left( \frac{tx8xCh}{D^2x2xF(n)} \right)}} \right) \right] \\
 &= \left[ 1 - \left( \frac{1}{e^{\left( \frac{1x8x0,14727}{84^2x2x1,796} \right)}} \right) \right] \\
 &= 0,3718\%
 \end{aligned}$$

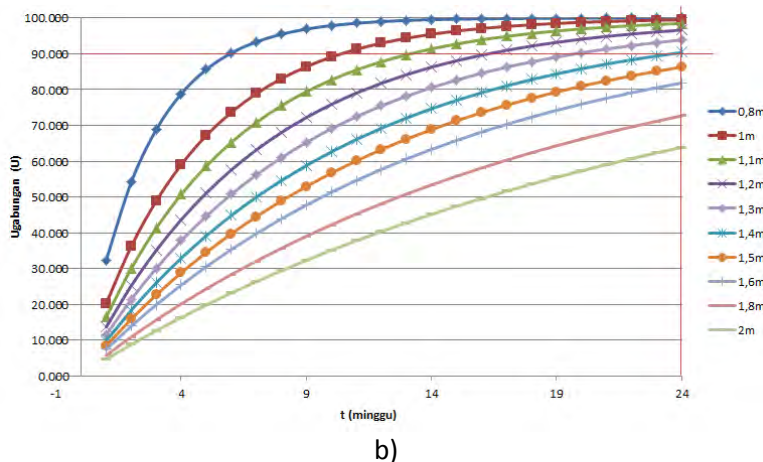
$$\begin{aligned}
 U \text{ rata-rata} &= (1-(1-U_h)) \times (1-U_v) \times 100\% \\
 &= (1-(1-0,3718)) \times (1-0,0102) \times 100\% \\
 &= 37,82\%
 \end{aligned}$$

Perhitungan diatas dilakukan untuk seluruh jarak PVD (S). Hasil perhitungan derajat konsolidasi rata-rata (U) untuk pola segiempat pada setiap S ditampilkan pada **Lampiran II**.

Pada **Gambar 5.5** ditampilkan grafik hubungan waktu dengan derajat konsolidasi dengan menggunakan PVD pola segiempat.



a)



b)

Gambar 5.5 Grafik Hubungan Derajat Konsolidasi ( $U$ ) dengan Waktu Timbunan dengan PVD Pola Segitiga: a) Sebelum Sungai; b) Setelah Sungai.

Dari grafik di atas didapat jarak antar PVD pola segitiga yang dipakai untuk sisi sebelum sungai adalah 1,5 m. Sedangkan untuk sisi setelah sungai adalah 1,4 m.

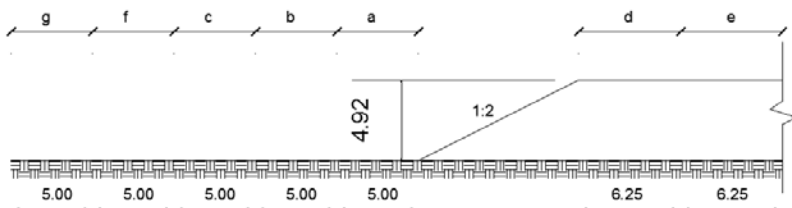
Jadi, PVD yang dipakai adalah menggunakan pola segitiga dengan jarak 1,5 m untuk sisi sebelum sungai, dan jarak 1,4 m untuk sisi setelah sungai, karena jarak yang lebih besar menghasilkan kuantitas yang lebih sedikit, yang mengakibatkan biaya yang lebih sedikit pula.

#### 5.1.4 Perencanaan Perkuatan Timbunan

Untuk menghitung jumlah masing-masing perkuatan yang dipakai, dicari terlebih dahulu besarnya gaya dalam yang terjadi jika terjadi kelongsoran. Kelongsoran ini dimodelkan dengan program bantu XSTABL. Berikut adalah penjelasan dari simulasi program XSTABL untuk memodelkan kelongsoran yang mungkin terjadi.

Dalam melakukan pemodelan, parameter Cu yang dipakai adalah Cu tanah asli. Beban lalu lintas tidak dimodelkan karena sudah diasumsikan sebagai bagian dari tinggi  $H_{inisial}$  timbunan.

Simulasi dilakukan sebanyak 11 kali dengan kordinat *initiation* dan *termination* yang ditentukan dari pembagian jarak di timbunan yang dianalisis. Hal ini dilakukan untuk mendapatkan kebutuhan Momen *Resistance* ( $\Delta MR$ ) yang paling besar, karena SF yang kecil belum tentu menghasilkan  $\Delta MR$  yang terbesar. Semakin besar  $\Delta MR$  menghasilkan kebutuhan perkuatan yang lebih besar. Pembagian zona *initiation* dan *termination* pada analisis program bantu XSTABL ditampilkan pada **Gambar 5.6**.



Gambar 5.6 Pembagian Zona Simulasi Program XSTABL pada Timbunan Jalan

Dari **Gambar 5.6** kemudian diperoleh kombinasi *inisiation* dan *termination* dari analisis kelongsoran yang ditampilkan pada **Tabel 5.1**.

Tabel 5.1 Kombinasi Zona *Initiation* dan *Termination* pada Analisis Program Bantu XSTABL

No. Kombinasi	Zona <i>Initiation-Termination</i>
1	g,f,c,b,a – d,e
2	a - d
3	b - e

Tabel 5.1 Kombinasi Zona *Initiation* dan *Termination* pada Analisis Program Bantu XSTABL (Lanjutan)

No. Kombinasi	Zona <i>Initiation-Termination</i>
4	c - e
5	c - d
6	f - d
7	f - e
8	a - e
9	b - d
10	g - e
11	g - d

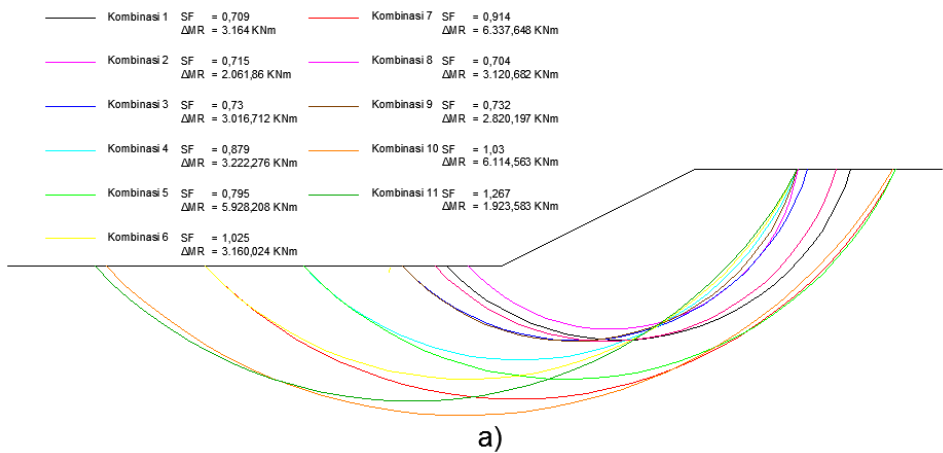
Hasil analisis dari seluruh kombinasi untuk timbunan jalan pada sisi sebelum sungai ditampilkan pada **Tabel 5.2**.

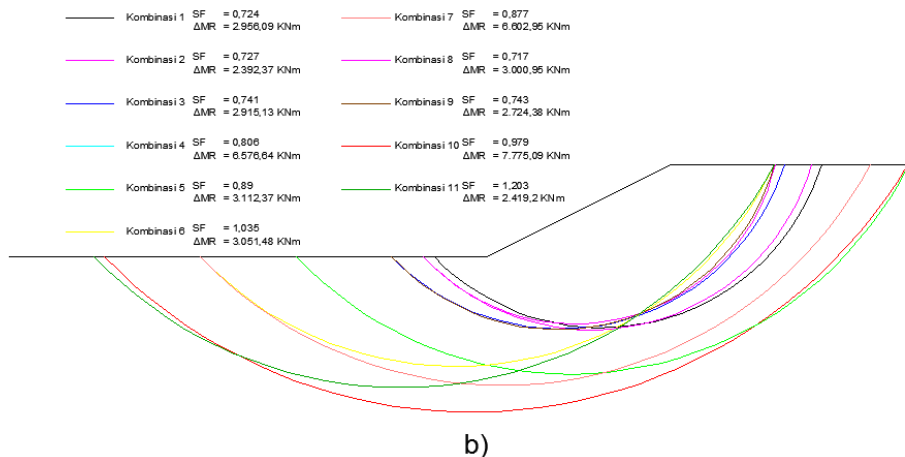
Tabel 5.2 Hasil Anilisis Kelongsoran Seluruh Kombinasi

No	SF stabl	Hasil Stabl						Perhitungan		
		MR (kN.m)	MD (kN.m)	titik pusat		R m	SF rencana	MR rencana	Δ MR (kN.m)	
1	0.709	2836	4000	31.02	38.48	12.21	1.5	6000	3164	
2	0.715	1878	2626.573	30.5	36.46	9.65	1.5	3939.86	2061.86	
3	0.73	2860	3917.808	28.82	38.5	12.25	1.5	5876.712	3016.712	
4	0.879	4561	5188.851	25.96	40.3	15.04	1.5	7783.276	3222.276	
5	0.795	6685	8408.805	28.32	42.68	18.39	1.5	12613.21	5928.208	
6	1.025	6819	6652.683	23.32	42.68	18.39	1.5	9979.024	3160.024	
7	0.914	9885	10815.1	25.72	45.09	21.8	1.5	16222.65	6337.648	
8	0.704	2760	3920.455	30.42	38.18	11.98	1.5	5880.682	3120.682	
9	0.732	2688	3672.131	28.64	37.98	11.76	1.5	5508.197	2820.197	
10	1.03	13400	13009.71	23.03	47.76	25.31	1.5	19514.56	6114.563	
11	1.267	10460	8255.722	20.44	45.36	22.18	1.5	12383.58	1923.583	

MD,  $MR_{\text{rencana}}$ , dan  $\Delta MR$  dihitung dengan **Persamaan 2.12**. Hasil analisis kelongsoran seluruh kombinasi untuk timbunan jalan pada kedua sisi sungai ditampilkan pada **Lampiran II**.

Dari seluruh hasil analisis tersebut, diperoleh gambar kelongsoran untuk timbunan jalan pada kedua sisi sungai seperti yang ditampilkan pada **Gambar 5.7**.





Gambar 5.7 Gambar Hasil Analisis Kelongsoran untuk Timbunan Jalan a) sisi sebelum sungai; b) sisi setelah sungai

Karena SF terkritis dari kedua STA tersebut kurang dari 1,5 (beban tetap), maka diperlukan perkuatan timbunan.

Dari **Gambar 5.6** diperoleh kombinasi yang dipakai yaitu kombinasi 10 untuk sisi sebelum sungai dan kombinasi 7 untuk sisi setelah sungai, karena membutuhkan  $\Delta MR$  yang terbesar.

#### 5.1.4.1 Perencanaan Perkuatan *Geotextile*

Dalam perencanaan ini, geotextile dipasang tiap 30 cm dengan pertimbangan jumlah layer pada *geotextile* di tiap lapisannya tidak lebih dari 3. Hal ini dilakukan untuk mencegah gagalnya *geotextile* akibat gesekan antar *geotextile*. Berikut adalah contoh perhitungan untuk perencanaan perkuatan *geotextile* timbunan jalan sebelum sungai.

- Menghitung tegangan tarik izin ( $T_{allow}$ ) *Geotextile*

Spesifikasi *geotextile* yang dipakai adalah Kalpesh Synthetics seperti pada **Lampiran I**. Dengan menggunakan **Persamaan 2.15** dan **Tabel 2.2**, maka  $T_{allow}$  *Geotextile* dapat dihitung.

$$T_{allow} = \frac{T_{ultimate}}{SF}$$

$SF = SF_{ID} \times SF_{CR} \times SF_{CD} \times SF_{BD}$  (**Tabel 2.2**)

di mana:

$$SF_{ID} = 1,5$$

$$SF_{CR} = 2,5$$

$$SF_{CD} = 1,25$$

$$SF_{BD} = 1,15$$

sehingga:

$$T_{allow} = \frac{120}{1,5 \times 2,5 \times 1,25 \times 1,15} \\ = 22,261 \text{ KNm}$$

- Menghitung jarak *Geotextile* ke titik pusat kelongsoran (Ti)  
Ti dihitung dengan **Persamaan (2.13)**. Ordinat dasar kelongsoran dapat diketahui dari *output* program bantu XSTABL. Output program bantu untuk timbunan jalan kedua sisi sungai ditampilkan pada **Lampiran II**. Berikut adalah contoh perhitungan Ti untuk timbunan jalan sisi sebelum sungai:

$$\begin{aligned} Ti &= yo - yc \\ &= 45,09 \text{ m} - 30 \text{ m} \\ &= 15,09 \text{ m} \end{aligned}$$

- Menghitung Jumlah Lapisan *Geotextile* yang Dibutuhkan Dengan **persamaan 2.17**, untuk  $1 \text{ m}^2$  tanah timbunan didapatkan:

$$\begin{aligned} M_{geotextile} &= 22,261 \text{ kN} \times 15,09 \text{ m} \\ &= 335,9165 \text{ kNm} \end{aligned}$$

Kemudian,  $M_{geotextile}$  dikumulatifkan dengan lapisan di atasnya, sehingga  $\sum M_{geotextile} > \Delta MR$ . Hasil perhitungan jumlah lapisan *geotextile* yang dibutuhkan untuk timbunan jalan pada kedua sisi sungai ditampilkan pada **Lampiran II**.

- Menghitung tegangan geser *geotextile* dengan tanah timbunan ( $\tau_1$ )

Dengan mengetahui tegangan geser *undrained* tanah timbunan ( $Cu_1$ ) dan sudut geser tanah timbunan ( $\theta_1$ ), maka  $\tau_1$  dapat dihitung dengan **persamaan 2.14**.

$$Cu_1 = 0 \text{ kN/m}^2$$

$$\begin{aligned}\sigma_v &= 18 \text{ kN/m}^3 \times 4,9 \text{ m} \\ &= 88,2 \text{ kN/m}^2\end{aligned}$$

$$\begin{aligned}\tan \theta_1 &= \tan(30^\circ) \\ &= 0,577\end{aligned}$$

maka:

$$\begin{aligned}\tau_1 &= Cu_1 + \sigma_v \cdot \tan \theta_1 \\ &= 0 + (88,2 \text{ kN/m}^2 \times 0,577) \\ &= 50,922 \text{ kN/m}^2\end{aligned}$$

- Menghitung Tegangan Geser *Geotextile* dengan Tanah Asli ( $\tau_2$ )

Dengan mengetahui tegangan geser *undrained* tanah dasar ( $Cu_2$ ) dan sudut geser tanah dasar ( $\theta_2$ ), maka  $\tau_2$  dapat dihitung dengan **persamaan 2.14**.

$$\begin{aligned}Cu_2 &= \text{Tegangan geser tanah asli} \\ &= 8,76 \text{ kN/m}^2\end{aligned}$$

$$\begin{aligned}\sigma_v &= \gamma_{\text{timb}} \times H \\ &= 18 \text{ kN/m}^3 \times 4,9 \text{ m} \\ &= 88,2 \text{ kN/m}^2\end{aligned}$$

$$\begin{aligned}\tan \theta_2 &= \tan(0^\circ) \\ &= 0\end{aligned}$$

maka:

$$\begin{aligned}\tau_2 &= Cu_2 + \sigma_v \cdot \tan \theta_2 \\ &= 8,76 + (88,2 \text{ kN/m}^2 \times 0) \\ &= 8,76 \text{ kN/m}^2\end{aligned}$$

- Menghitung Panjang *Geotextile* di Belakang Bidang Longsor (Le)

Panjang *Geotextile* di belakang bidang lonsor dicari menggunakan **persamaan 2.16**.

sehingga:

$$\begin{aligned} Le &= (22,261 \text{ kN} \times 1,5) / [(50,922 \text{ kN/m}^2 + 8,76 \text{ kN/m}^2) \times 0,8] \\ &= 0,699 \text{ m} \end{aligned}$$

- Menghitung Panjang *Geotextile* di Depan Bidang Longsor (Lr)  
Panjang *Geotextile* di Depan Bidang Longsor (Lr) ditentukan menggunakan program bantu AutoCAD untuk mempermudah perhitungan.

Dengan cara yang sama seperti di atas, maka perhitungan panjang *geotextile* untuk timbunan setelah sungai dapat dihitung. Hasil perhitungan panjang *geotextile* untuk timbunan jalan kedua sisi sungai ditampilkan pada **Lampiran II**.

Hasil perhitungan jumlah kebutuhan, jarak pemasangan, dan total biaya *geotextile* untuk timbunan jalan pada kedua sisi sungai ditampilkan pada **Tabel 5.3**.

Tabel 5.3 Tabel Hasil Perhitungan Jumlah Kebutuhan Total dan Total Biaya *Geotextile* Timbunan Jalan

Sisi	Jumlah Kebutuhan Total (m <sup>2</sup> )	Total Biaya
Sebelum Sungai	40.400	Rp 436.320.000,00
Setelah Sungai	42.900	Rp 479.300.000,00

#### 5.1.4.2 Perencanaan Perkuatan *Micropile*

Dalam perencanaan *micropile* ini, spesifikasi yang digunakan adalah minipile ATA BETON dengan penampang persegi, dimensi 16x16 cm. Spesifikasi selengkapnya ditampilkan pada **Lampiran I**. Berikut adalah contoh perhitungan perkuatan *micropile* pada timbunan jalan sebelum sungai.

- Penentuan Dimensi

Dipakai:

$bt$  = lebar penampang

$$= 16 \text{ cm}$$

$ht$  = tinggi penampang

$$= 16 \text{ cm}$$

$fy$  = tegangan leleh tulangan

$$= 400 \text{ MPa}$$

$f'_c$  = tegangan kekuatan beton

$$= 35 \text{ Mpa}$$

$D$  = diameter tulangan memanjang *micropile*

$$= 10 \text{ mm}$$

$\phi$  = diameter tulangan sengkang *micropile*

$$= 6 \text{ mm}$$

$d'$  = tebal selimut beton

$$= 40 \text{ mm}$$

jumlah tulangan tarik = 2 buah

jumlah tulangan tekan = 2 buah

jarak pemasangan tulangan sengkang = 200 mm

$$\text{As tarik} = 2 \times \left( \frac{1}{4} \times \pi \times D^2 \right)$$

$$= 2 \times \left( \frac{1}{4} \times \pi \times 10^2 \right)$$

$$= 157,08 \text{ mm}^2$$

$$\text{As tarik} = 2 \times \left( \frac{1}{4} \times \pi \times D^2 \right)$$

$$= 2 \times \left( \frac{1}{4} \times \pi \times 6^2 \right)$$

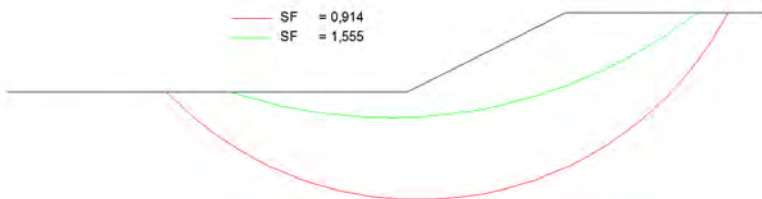
$$= 157,08 \text{ mm}^2$$

$$d = h - d' - (1/2 \times D) - \phi$$

$$= (16 \times 10) - 40 - (1/2 \times 10) - 6 = 109 \text{ mm}$$

- Menghitung Panjang *micropile* (L)

Untuk menghitung panjang *micropile* yang digunakan perlu dicari kedalaman kelongsoran dengan SF sebesar SF rencana, yang ditampilkan pada **Gambar 5.8**.



Gambar 5.8 Gambar Kedalaman Kelongsoran dengan SF Sebesar SF Rencana

Dari **Gambar 5.8** dapat diketahui kedalaman kelongsoran dengan SF sebesar SF rencana tidak lebih dalam dari kelongsoran kritis. Maka dari itu, dipakai kedalaman praktis 2-3 meter di bawah bidang longsor kritis.

$$\begin{aligned} L_a \text{ (di atas bidang longsor)} &= \text{koordinat } (Y_z - Y_c) \\ &= 30 \text{ m} - 23,3 \text{ m} \\ &= 6,7 \text{ m} \end{aligned}$$

Kedalaman *micropile* harus lebih besar dari  $L_a$ , sehingga direncanakan  $L = 9 \text{ m}$ .

- Menghitung Momen *Ultimate Micropile* (Mu)

$$\text{gaya tekan} = \text{gaya tarik}$$

$$0,85 \times f'_c \times b \times a = As \text{ tarik} \times f_y$$

$$\begin{aligned} a &= \frac{157,08 \text{ mm}^2 \times 400}{0,85 \times 35 \text{ MPa} \times (16 \text{ cm} \times 10)} \\ a &= 13,2 \text{ mm} \end{aligned}$$

gaya tekan:

$$\begin{aligned} C &= 0,85 \times 35 \text{ MPa} \times (16 \text{ cm} \times 10) \times 13,2 \text{ mm} \\ &= 62.831,85 \text{ N} \end{aligned}$$

Momen nominal (Mn):

$$\begin{aligned} Mn &= C \left( d - \frac{a}{2} \right) + As' \times f_y (d - d') \\ &= 62.831,85 \times \left( 40 - \frac{13,2 \text{ mm}}{2} \right) + 157,08 \text{ mm}^2 \times 400 \text{ MPa} \times \\ &\quad (109 \text{ mm} - 40) \\ &= 10.769.381 \text{ Nmm} \\ &= 1,077 \text{ ton.m} \end{aligned}$$

Momen ultimate (Mu)

$$\begin{aligned} Mu &= \emptyset \times Mn \\ &= 0,8 \times 1,077 \text{ ton.m} \\ &= 0,86155 \text{ ton.m} \\ &= 86,15504 \text{ ton.cm} \end{aligned}$$

- Menghitung Gaya Penahan (*Resisting*)

Faktor modulus tanah (f)

$$\begin{aligned} Cu &= 8,8 \text{ kN/m}^2 \\ &= 0,088 \text{ Kg/cm}^2 \\ qu &= 2 \times Cu \\ &= 2 \times 0,088 \text{ Kg/cm}^2 \\ &= 0,176 \text{ Kg/cm}^2 \end{aligned}$$

dengan Grafik NAVFAC, DM-7, 1971 seperti yang ditampilkan pada **Gambar 2.9**, maka didapat:

$$f = 0,128 \text{ kg/cm}^3$$

Momen inersia (I)

$$\begin{aligned} I &= \frac{1}{12} x b x h^3 \\ &= \frac{1}{12} x 16 x 16^3 \\ &= 54.613.333 \text{ mm}^4 \\ &= .461,333 \text{ cm}^4 \end{aligned}$$

Momen Tahanan (W)

$$\begin{aligned} W &= I/C \\ &= I/(0,5h) \\ &= 461,333 \text{ cm}^4 / (0,5 \times 16\text{cm}) \\ &= 682,27 \text{ cm}^3 \end{aligned}$$

Modulus Elastisitas (E)

$$E = 250000 \text{ kg/cm}^2$$

Faktor Kekakuan Relatif (T) (**Persamaan 2.18**)

$$\begin{aligned} T &= (EI/f)^{1/5} \\ &= (250000 \text{ kg/cm}^2 \times 5461,333 \text{ cm}^4 / 0,128 \text{ Kg/cm}^3)^{1/5} \\ &= 101,3 \text{ cm} \end{aligned}$$

Koefisien Momen Akibat Gaya Lateral (F<sub>M</sub>)

$$Lb/T = (L_{total} - L_a) \times 100 / T$$

$$\begin{aligned}
 &= (2-0,38)\text{cm} \times 100 / 101,3 \text{ cm} \\
 &= 1,6 \\
 Z &= 0 \text{ m}
 \end{aligned}$$

dengan Grafik NAVFAC, DM-7, 1971 seperti yang ditampilkan pada **Gambar 2.15**, maka didapat:

$$F_M = 1$$

- Menghitung Gaya Horizontal yang Mampu Dipikul 1 Buah *Micropile*

$$\begin{aligned}
 P &= Mu / (Fm.T) (\textbf{Persamaan 2.19}) \\
 &= 86,155 \text{ toncm} / (1 \times 101,3 \text{ cm}) \\
 &= 0,85 \text{ ton} \\
 &= 8,5 \text{ kN}
 \end{aligned}$$

- Menghitung Jumlah *Micropile* yang Dibutuhkan

$$\begin{aligned}
 H_{\text{inisial}} &= 4,9 \text{ m} \\
 SF_{\min} &= 0,914 \\
 MR_{\min} &= 9890 \text{ kNm} \\
 R_{(\text{jari-jari})} &= 21,8 \text{ m} \\
 SF_{\text{rencana}} &= 1,5 \\
 M_{\text{dorong}} &= MR_{\min} / SF_{\min} \\
 &= 9890 \text{ kNm} / 0,914 \\
 &= 10800 \text{ kNm} \\
 MR_{\text{rencana}} &= M_{\text{dorong}} \times SF_{\text{rencana}} \\
 &= 10800 \text{ kNm} \times 1,5 \\
 &= 16200 \text{ kNm} \\
 \Delta MR &= MR_{\text{rencana}} - MR_{\min} \\
 &= 16200 \text{ KNm} - 9890 \text{ KNm} \\
 &= 6340 \text{ KNm} \\
 F_k &= 2,643 [0,89 + 0,12 \times L/D/2,69 \times [(0,85 \\
 &\quad Cu^{0,392})/2,865]] \\
 &= 2,643 [0,89 + 0,12 \times (2,3 \text{ m} \times 100)/16\text{cm}/2,69 \times \\
 &\quad [(0,85 \times 0,088 \text{ Kg/cm}^{2-0,392})/2,865]] \\
 &= 1,99122 \\
 P_{\max} &= P \times F_k (\textbf{Persamaan 2.20})
 \end{aligned}$$

$$\begin{aligned}
 &= 8,5 \text{ KN} \times 1,99122 \\
 &= 16,934 \text{ kN} \\
 n &= \Delta MR / (P \times R) \quad (\textbf{Persamaan 2.22}) \\
 &= 6340 \text{ kNm} / (16,94 \text{ KN} \times 21,8 \text{ m}) \\
 &= 17,17 \text{ buah / meter tegak lurus gambar}
 \end{aligned}$$

- Menghitung Jarak Antar *Micropile* (S)  
dengan:  
jarak kelongsoran =  $L = 15,0131 \text{ m}$  (diperoleh dengan program bantu AutoCAD)

maka:

$$\begin{aligned}
 S &= L/(n+1) \\
 &= 15,0131 / \left( \frac{17,17}{3} + 1 \right) \\
 &= 2,5 \text{ m} \\
 &= 250 \text{ cm.}
 \end{aligned}$$

Jadi, pada timbunan jalan sisi sebelum sungai dipakai *micropile* sebanyak 18 buah tiap 1 meter.

Perhitungan yang sama seperti di atas dilakukan untuk timbunan jalan setelah sungai. Gambar hasil perencanaan *micropile* ditampilkan pada **Lampiran VI**.

Hasil perhitungan jumlah kebutuhan, jarak pemasangan, dan total biaya *micropile* untuk timbunan jalan pada kedua sisi sungai ditampilkan pada **Tabel 5.4**.

Tabel 5.4 Tabel Hasil Perhitungan Jumlah Kebutuhan, Jarak Pemasangan, dan Total Biaya *Micropile* Timbunan Jalan

Sisi	Jumlah Kebutuhan (buah)	Jarak Antar <i>Micropile</i> (cm)	Total Biaya
Sebelum Sungai	18	250	Rp 2,146,953,600.00
Setelah Sungai	15	400	Rp 2,684,592,000.00

## 5.2 Perencanaan Timbunan Oprit Trapesium

Sama seperti perhitungan timbunan jalan, pembagian tanah dasar dibagi setiap 1 meter.

### 5.2.1 Perhitungan Tinggi Awal ( $H_{\text{inisial}}$ ) Timbunan

Perhitungan  $H_{\text{inisial}}$  timbunan oprit trapesium sama dengan perhitungan  $H_{\text{inisial}}$  untuk timbunan jalan. Grafik hubungan  $H_{\text{final}}$  dengan  $H_{\text{inisial}}$  untuk kedua sisi sungai pun ditampilkan pada **Gambar 5.3**.

Dari grafik-grafik di atas dapat ditentukan  $H$  inisial dan *settlement* yang terjadi dengan  $H$  final 4,7 dan 4,8 meter, yaitu:

1. pada sisi sebelum sungai:

$$H \text{ inisial} = 6,93 \text{ m} \text{ dan } \text{settlement} = 1,7 \text{ m}$$

2. pada sisi setelah sungai:

$$H \text{ inisial} = 6,94 \text{ m, dan } \text{settlement} = 1,6 \text{ m}$$

### 5.2.2 Perhitungan Waktu Konsolidasi (t)

Waktu konsolidasi (t) dihitung dengan **Persamaan 2.10**.

Berdasarkan perhitungan yang sudah dihitung pada **sub-bab 5.1**, waktu yang dibutuhkan tanah dasar untuk berkonsolidasi 90% adalah:

1. sisi sebelum sungai = 215,9644 tahun

2. sisi setelah sungai = 397,216 tahun.

Karena waktu yang dibutuhkan untuk konsolidasi sebesar 90% sangat besar, maka diperlukan bantuan *vertical drain* untuk mempercepat waktu konsolidasi tersebut. Jenis *vertical drain* yang dipakai adalah *Prefabricated Vertical Drain* (PVD).

### 5.2.3 Perencanaan *Prefabricated Vertical Drain* (PVD)

Perhitungan kebutuhan PVD adalah sama seperti perhitungan yang ditampilkan pada **sub-bab 5.1**.

#### Perencanaan dengan PVD Pola Segiempat

Dari **Gambar 5.3** didapat jarak antar PVD pola segiempat yang dipakai adalah 1,3 m.

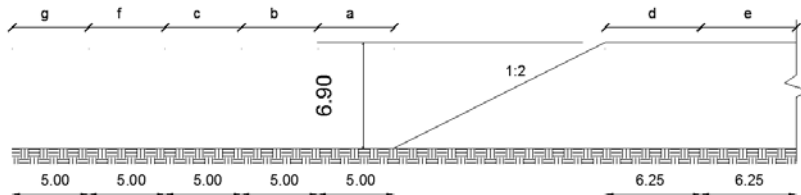
### **Perencanaan dengan PVD Pola Segiempat**

Dari **Gambar 5.4** didapat jarak antar PVD pola segitiga yang dipakai adalah 1,4 m.

Jadi, PVD yang dipakai adalah menggunakan pola segitiga karena jarak yang lebih besar menghasilkan kuantitas yang lebih sedikit, yang mengakibatkan biaya yang lebih sedikit pula.

#### **5.2.4 Perencanaan Perkuatan Timbunan**

Konsep perkuatan timbunan oprit trapesium adlah sama dengan perkuatan timbunan jalan yang sudah diterangkan pada **sub-bab 5.1**. Pembagian zona *initiation* dan *termination* pada analisis program bantu XSTABL ditampilkan pada **Gambar 5.9**.



Gambar 5.9 Pembagian Zona Simulasi Program XSTABL pada Oprit Trapesium

Kombinasi *inisation* dan *termination* dari analisis kelongsoran yang digunakan pun sama dengan kombinasi pada **sub-bab 5.1**, yang ditampilkan pada **Tabel 5.1**.

Hasil analisis dari seluruh kombinasi untuk timbunan oprit trapesium pada sisi sebelum sungai ditampilkan pada **Tabel 5.5**.

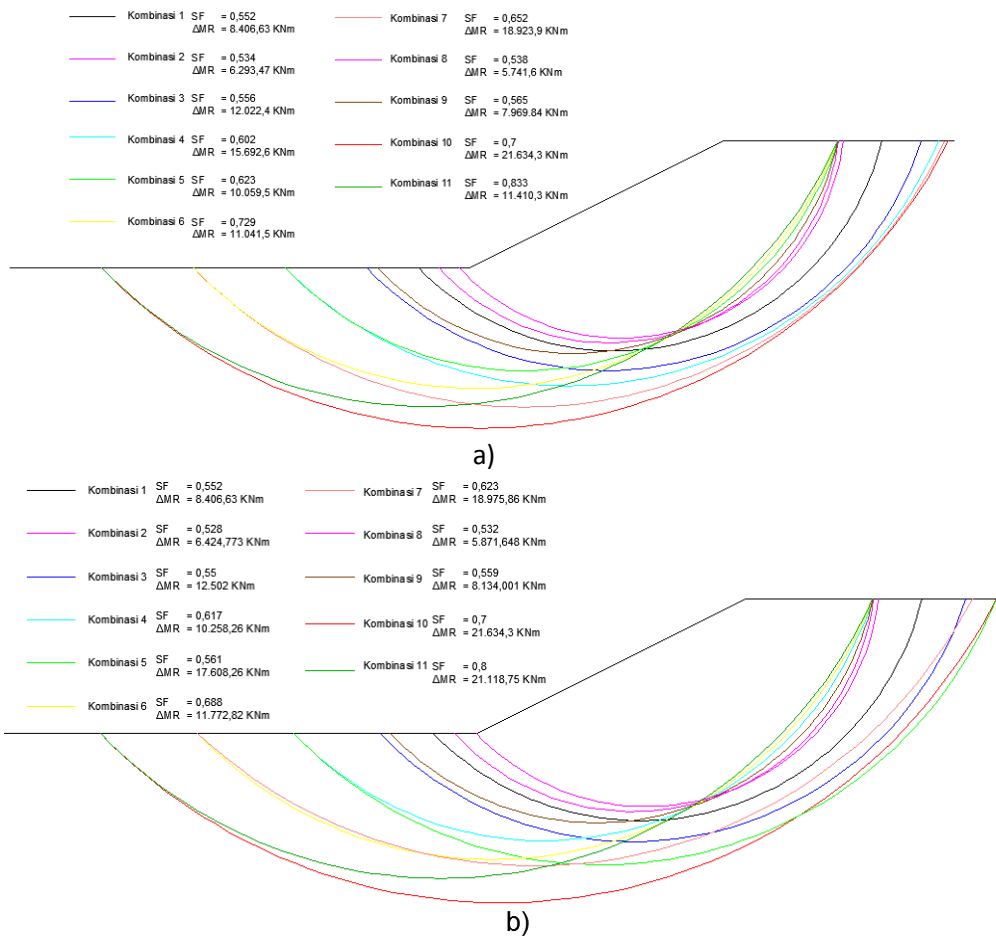
Tabel 5.5 Hasil Analisis Kelongsoran Seluruh Kombinasi

No	SF stabl	Hasil Stabl					Perhitungan		
		MR (kN.m)	MD (kN.m)	titik pusat		R m	SF rencana	MR rencana	Δ MR (kN.m)
1	0.552	4895	8867.754	32.88	40.43	14.91	1.5	13301.63	8406.63

Tabel 5.5 Hasil Analisis Kelongsoran Seluruh Kombinasi  
(Lanjutan)

No	SF stabl	Hasil Stabl					Perhitungan		
		MR (kN.m)	MD (kN.m)	titik pusat		R m	SF rencana	MR rencana	Δ MR (kN.m)
2	0.534	3479	6514.981	32.56	38.52	12.56	1.5	9772.472	6293.472
3	0.556	7081	12735.61	32.42	42.42	17.97	1.5	19103.42	12022.42
4	0.602	10520	17475.08	30.39	45.39	21.77	1.5	26212.62	15692.62
5	0.623	7146	11470.3	27.95	42.31	17.87	1.5	17205.46	10059.46
6	0.729	10440	14320.99	25.28	44.65	21.17	1.5	21481.48	11041.48
7	0.652	14550	22315.95	27.98	47.71	25.24	1.5	33473.93	18923.93
8	0.538	3211	5968.401	33.23	38.32	12.11	1.5	8952.602	5741.602
9	0.565	4816	8523.894	30.68	40.02	14.64	1.5	12785.84	7969.841
10	0.7	18930	27042.86	25.52	49.92	28.6	1.5	40564.29	21634.29
11	0.833	14250	17106.84	22.65	47.03	24.52	1.5	25660.26	11410.26

MD, MR<sub>rencana</sub>, dan ΔMR dihitung dengan **Persamaan 2.12**. Dari seluruh hasil analisis tersebut, diperoleh gambar kelongsoran untuk timbunan jalan pada kedua sisi sungai seperti yang ditampilkan pada **Gambar 5.10**.



Gambar 5.10 Gambar Hasil Analisis Kelongsoran untuk Timbunan Oprit Trapezium: a) Sisi Sebelum Sungai; b) Sisi Setelah Sungai

Karena SF terkritis dari kedua STA tersebut kurang dari 1,5 (beban tetap), maka diperlukan perkuatan timbunan.

Dari **Gambar 5.10** diperoleh kombinasi yang dipakai yaitu kombinasi 10 untuk kedua sisi sungai, karena membutuhkan ΔMR yang terbesar.

### 5.2.5 Perencanaan Perkuatan Timbunan Oprit Trapesium

#### 5.2.5.1 Perencanaan Perkuatan *Geotextile*

Dalam perencanaan ini, geotextile dipasang tiap 30 cm dengan pertimbangan jumlah layer pada *geotextile* di tiap lapisannya tidak lebih dari 3. Hal ini dilakukan untuk mencegah gagalnya *geotextile* akibat gesekan antar *geotextile*. Berikut adalah contoh perhitungan untuk perencanaan perkuatan *geotextile* timbunan jalan sebelum sungai.

Konsep perhitungan kebutuhan perkuatan *geotextile* adalah sama seperti pada **sub-bab 5.1**.

Dengan cara yang sama seperti di atas, maka perhitungan panjang *geotextile* untuk timbunan setelah sungai dapat dihitung.

Hasil perhitungan jumlah kebutuhan, jarak pemasangan, dan total biaya *geotextile* untuk timbunan jalan pada kedua sisi sungai ditampilkan pada **Tabel 5.6**.

Tabel 5.6 Tabel Hasil Perhitungan Jumlah Kebutuhan Total dan Total Biaya *Geotextile* Timbunan Jalan

Sisi	Jumlah Kebutuhan Total ( $m^2$ )	Total Biaya
Sebelum Sungai	67.728	Rp 747.416.000,00
Setelah Sungai	64.272	Rp 710.093.300,00

#### 5.1.5.2 Perencanaan Perkuatan *Micropile*

Konsep perhitungan *micropile* untuk perkuatan timbunan oprit trapesium adalah sama dengan *micropile* untuk perkuatan timbunan jalan. Gambar hasil perencanaan *micropile* ditampilkan pada **Lampiran VI**.

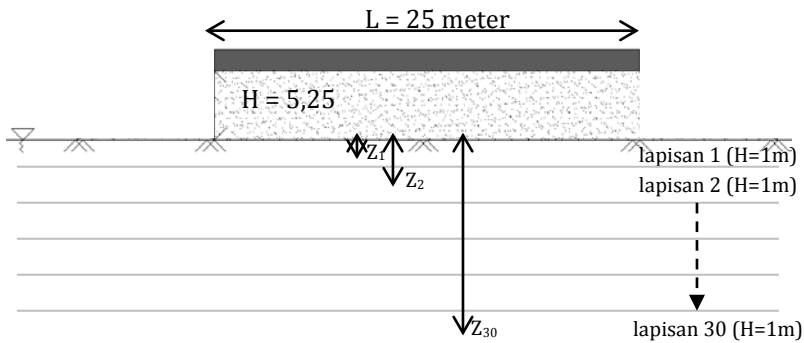
Hasil perhitungan jumlah kebutuhan, jarak pemasangan, dan total biaya *micropile* untuk timbunan oprit trapesium pada kedua sisi sungai ditampilkan pada **Tabel 5.7**.

Tabel 5.7 Tabel Hasil Perhitungan Jumlah Kebutuhan, Jarak Pemasangan, dan Total Biaya *Micropile* Timbunan Oprit Trapesium

Sisi	Jumlah Kebutuhan (buah)	Jarak Antar <i>Micropile</i> (cm)	Total Biaya
Sebelum Sungai	43	104	Rp 4.514.063.000,00
Setelah Sungai	49	400	Rp 4.676.213.472,00

### 5.3 Perencanaan Timbunan Tegak

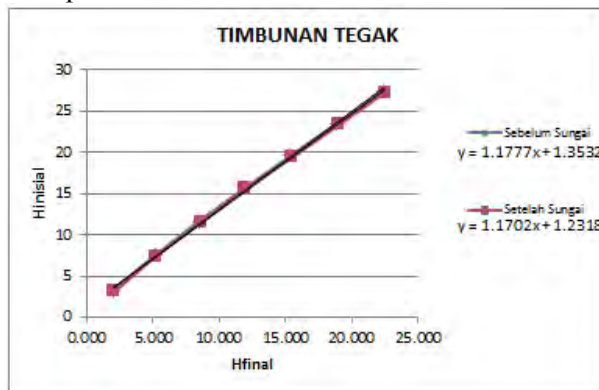
Perencanaan timbunan tegak dilakukan pada oprit sepanjang 6,5 meter sebelum abutment pada kedua sisi sungai. Sama seperti kasus sebelumnya, kedalaman tanah asli pada sisi sebelum sungai adalah 30 meter, sedangkan untuk sisi setelah sungai adalah 37 meter, yang masing-masing dibagi setiap kedalaman 1m. Maka, perhitungan besar settlement harus ditinjau sampai kedalaman 30 meter dan 37 meter (*compressible soil*). Potongan melintang oprit tegak sebelum sungai ditampilkan pada **Gambar 5.11**.



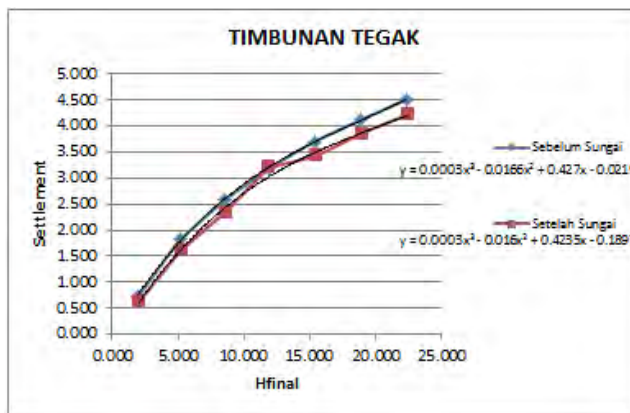
Gambar 5.11 Potongan Melintang Oprit Tegak Sebelum Sungai

### 5.3.1 Perhitungan Tinggi Awal ( $H_{\text{inisial}}$ ) Timbunan

Konsep perhitungan  $H_{\text{inisial}}$  timbunan oprit tegak sama dengan perhitungan  $H_{\text{inisial}}$  untuk timbunan jalan. Namun, timbunan oprit tegak tidak memiliki panjang kemiringan timbunan (slope), sehingga grafik hubungan  $H_{\text{final}}$  dengan  $H_{\text{inisial}}$  menjadi sedikit berbeda. Grafik hubungan  $H_{\text{final}}$  dengan  $H_{\text{inisial}}$  untuk kedua sisi sungai ditampilkan pada **Gambar 5.12**. Dan grafik hubungan  $H_{\text{final}}$  dengan *settlement* untuk kedua sisi sungai ditampilkan pada **Gambar 5.13**.



Gambar 5.12 Grafik hubungan  $H_{\text{final}}$  dengan  $H_{\text{inisial}}$  Timbunan Oprit Tegak



Gambar 5.13 Grafik hubungan  $H_{\text{final}}$  dengan *Settlement* Timbunan Oprit Tegak

Dari grafik-grafik di atas dapat ditentukan  $H$  inisial dan *settlement* yang terjadi dengan  $H$  final 5,25 dan 5,4 meter, yaitu:

1. pada sisi sebelum sungai:  
 $H$  inisial = 7,54 m dan *settlement*= 1,8 m
2. pada sisi setelah sungai:  
 $H$  inisial = 7,66 m, dan *settlement*= 1,77 m

### 5.3.2 Perhitungan Waktu Konsolidasi ( $t$ )

Waktu konsolidasi ( $t$ ) dihitung dengan **Persamaan 2.10**. Berdasarkan perhitungan yang sudah dihitung pada **sub-bab 5.1**, waktu yang dibutuhkan tanah dasar untuk berkonsolidasi 90% adalah:

1. sisi sebelum sungai      = 215,9644 tahun
2. sisi setelah sungai      = 397,216 tahun.

Karena waktu yang dibutuhkan untuk konsolidasi sebesar 90% sangat besar, maka diperlukan bantuan *vertical drain* untuk mempercepat waktu konsolidasi tersebut. Jenis *vertical drain* yang dipakai adalah *Prefabricated Vertical Drain* (PVD).

### **5.3.3 Perencanaan *Prefabricated Vertical Drain (PVD)***

Perhitungan kebutuhan PVD adalah sama seperti perhitungan yang ditampilkan pada **sub-bab 5.1**.

#### **Perencanaan dengan PVD Pola Segiempat**

Dari **Gambar 5.3** didapat jarak antar PVD pola segiempat yang dipakai adalah 1,3 m.

#### **Perencanaan dengan PVD Pola Segiempat**

Dari **Gambar 5.4** didapat jarak antar PVD pola segitiga yang dipakai adalah 1,4 m.

Jadi, PVD yang dipakai adalah menggunakan pola segitiga karena jarak yang lebih besar menghasilkan kuantitas yang lebih sedikit, yang mengakibatkan biaya yang lebih sedikit pula.

### **5.3.4 Perencanaan Perkuatan Timbunan**

#### **5.3.4.1 Perencanaan *Getotextile Wall***

Perkuatan timbunan tegak direncanakan menggunakan *geotextile wall* dengan spesifikasi bahan Unggul-Tex UW-250 yang tertera pada **Lampiran I**. Berikut adalah contoh perhitungan perencanaan *geotextile wall* untuk sisi sebelum sungai:

##### **a. Perhitungan tegangan tanah**

Dengan asumsi beban yang akan diterima oleh timbunan adalah beban  $q = 10 \text{ Kpa}$ , maka perhitungan tegangan tanah arah kesamping adalah sebagai berikut:

$$\begin{aligned} Ka &= \tan^2(45-\varnothing/2) \\ &= \tan^2(45-30/2) \\ &= 0,3333 \end{aligned}$$

$$\begin{aligned} \sigma_H &= \sigma_{HS} + \sigma_{Hq} \\ &= Ka \cdot \gamma \cdot z + Ka \cdot q \\ &= (0,3333) \cdot (1,85) \cdot (z) + (0,3333) \cdot (10) \\ &= 0,6167 z + 3,3333 \text{ kN/m}^2 \end{aligned}$$

Perhitungan  $T_{allow}$  menggunakan **Persamaan 2.15**

$$\begin{aligned}
 T_{\text{allow}} &= \frac{T_{\text{ult}}}{FS_{id} \times FS_{cr} \times FS_{cd} \times FS_{bd}} \\
 &= \frac{52}{1 \times 2,5 \times 1 \times 1} \\
 &= 20,8 \text{ kN/m}
 \end{aligned}$$

### b. Perhitungan jarak pemasangan (Sv)

Sv dihitung dengan **Persamaan 2.24**. Berikut adalah contoh perhitungan Sv untuk timbunan tegak sebelum sungai.

Untuk Z=1m:

- Menghitung Tekanan Tanah Akibat Tanah di Belakang ( $\sigma_{HS}$ )

$$\begin{aligned}
 \sigma_{HS} &= \gamma \times Z \times Ka \\
 &= 18,5 \text{ KN/m}^3 \times 1 \text{ m} \times 0,333 \\
 &= 6,17 \text{ kN/m}^3
 \end{aligned}$$

- Menghitung Tekanan Tanah Akibat *Surcharge* ( $\sigma_{HQ}$ )

$$\begin{aligned}
 \sigma_{HQ} &= q \times Ka \\
 &= 10 \text{ KN/m}^3 \times 0,333 \\
 &= 3,33 \text{ kN/m}^3
 \end{aligned}$$

Jadi,  $\sigma_{HQ} = \sigma_{HS} + \sigma_{HQ}$   
 $= 9,5 \text{ KN/m}^3$

- Menghitung Jarak Vertikal *Geotextile* (Sv)

Dengan **Persamaan 2.24**:

$$S_v = \frac{T_{ALL}}{SF \times \sigma_{HZ} \times 1}$$

$$Sv = \frac{20,8}{1,5 \times 9,5} = 1,46 \text{ m} \rightarrow \text{dipakai } Sv = 0,5 \text{ m}$$

- Menghitung Panjang *Geotextile* di *Anchore Zone* (Le)

Dengan **Persamaan 2.26**:

$$\text{Didapat Le} = \frac{1,46 \times 9,5 \times 1,5}{2[0 + 18,5 \times 1 \times tg(0,95 \times 30)]} = 0,355 \text{ m}$$

Panjang Le minimal adalah 1 m, maka dipakai Le = 1 m.

- Menghitung Panjang *Geotextile* di Depan *Anchore Zone* (L<sub>r</sub>) Dengan Persamaan 2.25:

$$\text{Didapat } L_R = (5,5 - 1)x (\tan(45) - \tan(30)/2) = 2,6 \text{ m}$$

Jadi, L<sub>total</sub> = L<sub>e</sub> + L<sub>R</sub> = 3,6 m → dipakai L = 4 m.

Hasil perhitungan panjang geotextile untuk internal stability dapat dilihat pada **Tabel 5.8** dan **Tabel 5.9**.

**Tabel 5.8 Hasil Perhitungan Kebutuhan Panjang Geotekstil untuk Sisi Sebelum Sungai**

Layer	Z	S <sub>v</sub>	L <sub>e</sub> (m)	L <sub>e</sub> pakai (m)	L <sub>r</sub> (m)	L <sub>total</sub> (m)	L <sub>pakai</sub> (m)
1	0,5	0,5	0,48	1	2,74	3,74	4
2	1	0,5	0,35	1	2,45	3,45	4
3	1,5	0,5	0,31	1	2,17	3,17	4
4	2	0,5	0,29	1	1,88	2,88	4
5	2,5	0,5	0,28	1	1,59	2,59	4
6	3	0,5	0,27	1	1,30	2,30	4
7	3,25	0,25	0,13	1	1,15	2,15	4
8	3,5	0,25	0,13	1	1,01	2,01	4
9	3,75	0,25	0,13	1	0,87	1,87	2
10	4	0,25	0,13	1	0,72	1,72	2
11	4,25	0,25	0,13	1	0,58	1,58	2
12	4,5	0,25	0,13	1	0,43	1,43	2
13	4,75	0,25	0,13	1	0,29	1,29	2
14	5	0,25	0,13	1	0,14	1,14	2
15	5,25	0,25	0,13	1	0,00	1,00	2

Tabel 5.9 Hasil Perhitungan Kebutuhan Panjang Geotekstil untuk Sisi Setelah Sungai

Layer	Z (m)	Sv (m)	Le (m)	Le pakai (m)	Lr (m)	Ltotal (m)	Lpakai (m)
1	0,5	0,5	0,48	1	2,83	3,83	4
2	1	0,5	0,35	1	2,54	3,54	4
3	1,5	0,5	0,31	1	2,25	3,25	4
4	2	0,5	0,29	1	1,96	2,96	4
5	2,5	0,5	0,28	1	1,67	2,67	4
6	3	0,5	0,27	1	1,39	2,39	4
7	3,4	0,4	0,21	1	1,15	2,15	4
8	3,8	0,4	0,21	1	0,92	1,92	2
9	4,2	0,4	0,21	1	0,69	1,69	2
10	4,6	0,4	0,21	1	0,46	1,46	2
11	5	0,4	0,20	1	0,23	1,23	2
12	5,4	0,4	0,20	1	0,00	1,00	2

Karena panjang lipatan ( $L_o$ ) minimal = 1m , maka digunakan  $L_o= 1$  m untuk tiap layer

### c. Kontrol eksternal stability

Setelah mengecek internal *stability*, perlu juga dilakukan cek eksternal *stability*.

Setelah mengecek internal *stability*, perlu juga dilakukan cek eksternal *stability*. Langkah pertama yaitu dengan mencari nilai  $P_a$ , yaitu tegangan pada titik berat diagram tegangan tanah.

$$\begin{aligned} P_a &= 0,5 \gamma H^2 K_a \\ &= 0,5 \cdot 1,85 \cdot (5,25)^2 \cdot K_a \\ &= 8,498 \text{ kN/m} \end{aligned}$$

$$P_a \cos 30^\circ = 7,360 \text{ kN/m}$$

$$P_a \sin 30^\circ = 4,249 \text{ kN/m}$$

$$FS_{OT} = \sum \frac{\text{resisting movements}}{\text{driving movements}}$$

$$= \frac{2 \cdot 5,25 \cdot 1,85 \cdot 1+2 \cdot 3,6 \cdot 1,85 \cdot 4+2 \cdot 1,2 \cdot 1,85 \cdot 5+4,249 \cdot 3,6}{7,360 \cdot 2,4} \\ = 4,78 > 3 \text{ (OK)}$$

Tabel 5.10 Hasil Perhitungan Kontrol Terhadap Guling

Kontrol	Sebelum Sungai	Setelah Sungai
Momen Dorong (ton.m)	17,11	18,49
Momen Penahan (ton.m)	81,81	80,18
SF	4,78	4,34

Selain menghitung faktor keamanan untuk *overturning*, perlu juga dilakukan perhitungan *safety factor* terhadap *Sliding* dimana FS tidak boleh kurang dari 1,5

$$\begin{aligned} \text{FS} &= \sum \frac{\text{resisting movements}}{\text{driving movements}} \\ &= \frac{[\text{Co} + \left( \frac{(\text{w}_1 + \text{w}_2 + \text{P}_a \sin \theta)}{x} \right) \tan \theta]x}{\text{P}_a \cos \theta} \\ &= 2,47 > 1,5 \text{ (OK)} \end{aligned}$$

Tabel 5.11 Hasil Perhitungan Kontrol Terhadap Guling

Kontrol	Sebelum Sungai	Setelah Sungai
Gaya Dorong (ton)	9,48	9,01
Gaya Penahan (ton)	21,76	22,23
SF	2,29	2,47

Keterangan : Co= 0,8 Cu

Setelah melakukan kontrol terhadap *overturning* dan *sliding*, dilakukan kontrol terhadap keruntuhan pondasi menggunakan bearing capacity pondasi dangkal.

$$\begin{aligned} q_{ult} &= c \cdot N_c + q \cdot N_q + 0,5 \cdot \gamma \cdot B \cdot N_y \\ &= 32,26 \cdot 4 + 10 \cdot 1 + 0 \\ &= 139,035 \text{ kN/m}^2 \\ q_{act} &= 34,713 \text{ kN/m}^2 \end{aligned}$$

$$SF = 3,72 > 3 \text{ (OK)}$$

Tabel 5.12 Hasil Perhitungan Kontrol Terhadap Daya Dukung Pondasi

Kontrol	Sebelum Sungai	Setelah Sungai
Beban Ultimate (kN/m <sup>2</sup> )	1044,87	1047,76
Beban Aktual (kN/m <sup>2</sup> )	203,41	194,12
SF	5,14	5,4

Dengan dilakukannya seluruh kontrol diatas, maka perencanaan *geotextile wall* telah selesai dilakukan dan hasil perhitungan diatas diyakini dapat diterapkan oprit dengan timbunan tegak setinggi 5,25 m tersebut.

### 5.3.4.2 Perencanaan *Gravity Wall*

#### a. Perhitungan tegangan tanah

Dengan asumsi beban yang akan diterima oleh timbunan adalah beban  $q= 10 \text{ Kpa}$ , maka perhitungan tegangan tanah arah kesamping didapat dari beban surcharge dan tekanan tanah aktif sebagai momen pendorong.

Hasil perhitungan momen pendorong pada timbunan tegak untuk kedua sisi sungai dapat dilihat pada **Tabel 5.13**.

Tabel 5.13 Hasil Perhitungan Tegangan Tanah

Kedalaman (m)	Sebelum Sungai			Kedalaman (m)	Setelah Sungai		
	$\sigma'va$ (t/m <sup>2</sup> )	$\sigma'vq$ (t/m <sup>2</sup> )	$\sigma'h$ (t/m <sup>2</sup> )		$\sigma'va$ (t/m <sup>2</sup> )	$\sigma'vq$ (t/m <sup>2</sup> )	$\sigma'h$ (t/m <sup>2</sup> )
0	0	1	3,33	0	0	1	3,33
5,25	4,4625	1	18,63	5,4	4,59	1	18,21

Dari hasil diagram tegangan yang diterima menghasilkan gaya dorong kesamping yang mengakibatkan momen guling akibat eksentrisitas gaya tersebut terhadap titik dasar *gravity wall* hasil perhitungan gaya dan momen dorong dapat dilihat pada **Tabel 5.14**

Tabel 5.14 Hasil Perhitungan Momen Dorong

Kode.	Sebelum Sungai			Setelah Sungai		
	Beban (t)	Lengan (m)	Momen (ton.m)	Beban (t)	Lengan (m)	Momen (ton.m)
M1	11,375	2,625	29,860	11,7	2,7	31,59
M2	25,381	1,75	44,416	26,852	1,8	48,333
TOTAL			79,923	TOTAL		48,337

### b. Perhitungan Momen Penahan

Momen penahan disebabkan oleh berat tanah dan berat sendiri *gravity wall* yang bekerja kearah berlawanan tegangan tanah. Hasil perhitungan momen akibat berat tanah dan berat sendiri *gravity wall* dapat dilihat pada **Tabel 5.15**.

Tabel 5.15 Hasil Perhitungan Momen Penahan

Kode.	Sebelum Sungai			Setelah Sungai		
	Gaya (t)	Lengan (m)	Momen (ton.m)	Gaya (t)	Lengan (m)	Momen (ton.m)
A	29,016	-0,2	-5,8032	29,952	-0,2	-5,9904
B	18,135	-0,56667	-10,2765	18,72	-0,5667	-10,608
C	28,08	0	0	28,08	0	0
Ta	83,87438	0,75	62,90578	86,58	0,75	64,935
TOTAL			46,856	TOTAL		48,337

### c. Kontrol Geser

Dari seluruh perhitungan diatas maka didapatkan rekap beban yang diterima tiap-tiap *gravity wall* sebagaimana tercantum pada **Tabel 5.16**.

Tabel 5.16 Rekap Beban *Gravity Wall*

Beban	Sebelum Sungai	Setelah Sungai
V (ton)	159,1054	163,332
H (ton)	36,75547	38,5515
M (ton.m)	-27,4491	-31,5861

Untuk melakukan kontrol geser maka harus dihitung gaya horizontal penahan geser. Hasil perhitungan kontrol geser dapat dilihat pada **Tabel 5.17**

Tabel 5.17 Hasil Kontrol Geser

Indikator	Sebelum Sungai	Setelah Sungai
Penahan, Rh (ton)	92,46	94,9
Pendorong, Ph (ton)	36,76	38,55
SF > 1,5	2,5	2,5

#### d. Perencanaan Tiang Pancang

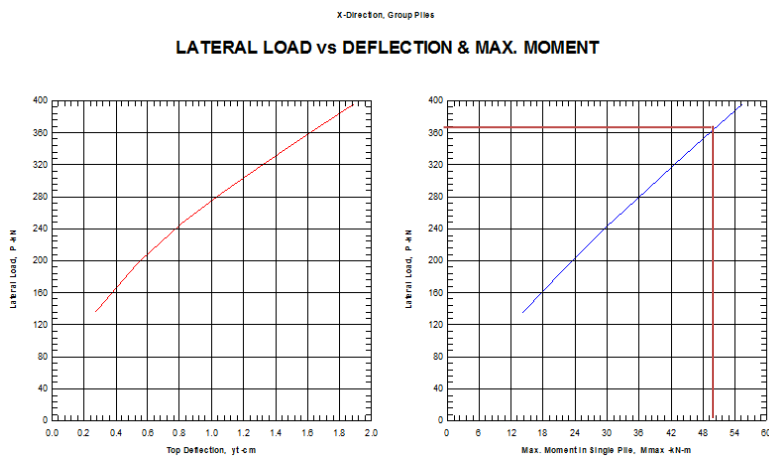
Berdasarkan rekap beban yang telah tercantum diatas didapatkan momen-momen dan gaya vertikal yang bekerja pada masing-masing *gravity wall* rencana. Dari beban-beban tersebut bisa didapatkan beban maksimum tiang pancang yang direncanakan dengan diameter 40, 50, dan 60 cm. Hasil perencanaan tiang pancang yang didapatkan pada tiap-tiap diameter rencana dapat dilihat pada **Tabel 5.18**.

Tabel 5.18 Hasil Perencanaan Tiang Pancang

Diameter (cm)	Sebelum Sungai		Setelah Sungai	
	Jumlah Tiang	Kedalaman (m)	Jumlah Tiang	Kedalaman (m)
40	18	30,5	18	29
50	15	31	15	30,5
60	8	30,50	12	30

Kontrol kekuatan tiang pancang dilakukan dengan menggunakan aplikasi Allpile dengan mencari momen

maksimum yang diterima tiang pancang kemudian dibandingkan dengan besar momen *crack* tiang pancang. Pada **Gambar 5.14** berikut dapat dilihat salah satu contoh hasil analisa aplikasi allpile pada *gravity wall* di sisi sebelum sungai dengan menerapkan tiang pancang dengan diameter 40 cm.



**Gambar 5.14** Hasil Analisa Momen Maksimum untuk Tiang Pancang D40 Sisi Sebelum Sungai

Sementara hasil analisa aplikasi Allpile untuk tiang pancang selengkapnya pada gravity wall Ssebelum dan setelah sungai dapat dilihat pada **Tabel 5.19**.

**Tabel 5.19** Hasil Perhitungan Momen Maksimum

Diameter Pancang (cm)	M <sub>pmax</sub> (ton.m)	Material yang Digunakan	Keterangan
<b>Sebelum Sungai</b>			
40	5,04	A1	OK
50	6,76	A1	OK
60	16,06	A1	OK

Tabel 5.19 Hasil Perhitungan Momen Maksimum (Lanjutan)

Diameter Pancang (cm)	Mpmax (ton.m)	Material yang Digunakan	Keterangan
<b>Setelah Sungai</b>			
40	5,28	A1	OK
50	7,6	A1	OK
60	17,2	A2	OK

### 5.3.5 Perhitungan Biaya Masing-Masing Perkuatan

Dengan menggunakan brosur harga geotextile dan tiang pancang pada **Lampiran I** dan berdasarkan jumlah perkuatan yang digunakan seperti pada **Sub-Bab 5.3.5**, maka didapat perhitungan masing-masing yang ditampilkan pada **Tabel 5.20** dan **Tabel 5.21**.

Tabel 5.20 Biaya Perkuatan *Geotextile*

Nama	Panjang Total Kebutuhan (m)	Panjang Jalan (m)	Harga/m <sup>2</sup> (Rp)	Total Harga
Sebelum Sungai	46	7	14.000	Rp 4.508.000,00
Setelah Sungai	38	7	14.000	Rp 3.724.000,00

Tabel 5.21 Biaya Perkuatan Tiang Pancang pada *Gravity Wall*

	Sebelum Sungai	Setelah Sungai
Diameter	Total Harga	Total Harga
40	Rp 205,200,000.00	Rp 205,200,000.00
50	Rp 165,000,000.00	Rp 165,000,000.00
60	Rp 160,800,000.00	Rp 160,800,000.00

Dari **Tabel 5.20** dan **Tabel 5.21** didapat kesimpulan perkuatan yang paling ekonomis adalah perkuatan *geotextile* dengan harga Rp 4.508.000,00 untuk timbunan tegak sebelum sungai, dan Rp 3.724.000,00 untuk timbunan tegak setelah sungai.

## **BAB VI**

### **PERENCANAAN ABUTMENT DAN PILAR**

#### **6.1 Perencanaan Abutment A-1**

Abutment jembatan sungai Wulan terletak pada kedua ujung jembatan, tepatnya pada STA 28+682 dan STA 28+782. Tiap-tiap sisi jembatan memiliki satu buah abutment. Jadi dalam perencanaan ini akan didapatkan dua hasil perhitungan abutment. Selanjutnya, abutment pada STA 28+682 dinamakan abutment A-1 dan abutment pada STA 28+782 dinamakan abutment A-2.

Adapun data tanah yang digunakan dalam perencanaan ini masing-masing adalah data tanah BH-1 untuk abutment A-1 dan data tanah BH-2 untuk abutment A-2. Untuk lebih lengkapnya, data tanah dapat dilihat pada **Lampiran I**.

#### **6.1.1 Data Perencanaan**

Perencanaan bangunan bawah (abutment) menggunakan perhitungan pondasi dalam. Perencanaan ini berdasarkan hasil analisa data tanah yang hanya memungkinkan untuk perencanaan pondasi dalam ( $D/B > 4$ ). Data perencanaan yang dibutuhkan adalah:

##### **A. Struktur Atas**

Panjang Bentang (L)	: 25 m
Lebar Jalan (b)	: 12 m
Tebal Plat Lantai Kendaraan ( $t_c$ )	: 0,2 m
Tebal Lapisan Aspal ( $t_a$ )	: 0,05 m

##### **B. Struktur Bawah**

Lebar Pondasi (B)	: 12 m
Tinggi Abutment A-1 ( $H_1$ )	: 7,25 m

#### **6.1.2 Pembebanan**

Perencanaan pembebanan berdasarkan pada RSNI T-02-2005 (Standar Pembebanan untuk Jembatan). Berikut ini adalah hasil perhitungan yang telah dilakukan.

a. Berat Sendiri Struktur Atas

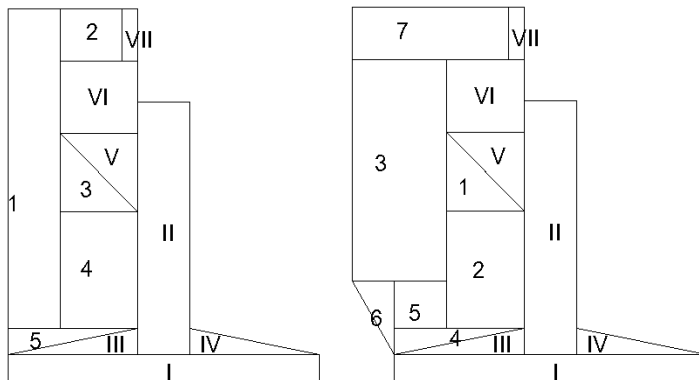
Beban akibat berat struktur atas diakibatkan oleh berat girder yang digunakan, plat beton, dan balok diagfragma. Hasil perhitungan pembebaan tersebut dapat dilihat pada tabel berikut.

Tabel 6.1 Beban Sendiri Struktur Atas

Beban	Parameter Volume				Berat	Satuan	Berat (kN)
	B (m)	t (m)	L (m)	n			
Plat Beton	12	0,20	12	1	24,00	kN/m <sup>3</sup>	720
Balok Memanjang				12	357	kN/m	1249,5
Balok melintang (diafragma)				6	9,02	kN	54,4
					P <sub>ms</sub> =		1995,9

b. Berat Sendiri Struktur Bawah

Beban struktur bawah diakibatkan oleh berat sendiri abutment, wingwall, dan tanah di belakang abutment. Hasil desain struktur bawah dan perhitungan pembebaan yang didapatkan dapat dilihat pada **Gambar 6.1** dan **Tabel 6.2**.



Gambar 6.1 Desain Beban Sendiri Abutment

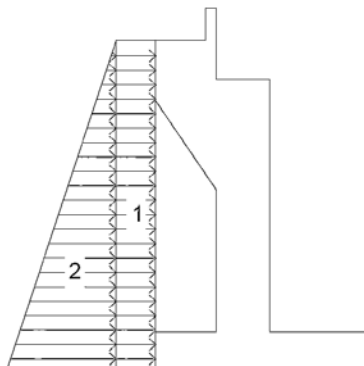
Berat Beton,  $\gamma_c = 24 \text{ kN/m}^3$   
 Berat Tanah,  $\gamma_t = 18,5 \text{ kN/m}^3$   
 Lebar Abutment,  $B = 12 \text{ m}$   
 Tebal Wingwall,  $b_w = 2 \times 0,4 \text{ m}$

Tabel 6.2. Perhitungan Beban Sendiri Abutmen

Kode	Lebar (m)	Tinggi (m)	shape	Berat (kg)	Lengan (m)	Momen (kNm)
Abutmen						
I	6,0	0,6	1	103680	0,00	0,00
II	1	4,85	1	139680	0,02	-26,54
III	2,5	0,5	0,5	18000	1,35	-243,42
IV	2,538	0,5	0,5	18273,6	1,31	239,02
V	1,3	1,5	0,5	28080	0,95	-267,42
VI	1,3	1,4	1	52416	1,17	-612,74
VII	0,6	1	1	17280	0,82	-141,52
Wingwall						
1	1,3	1,5	0,5	1872	1,39	-25,94
2	1,3	2,25	1	5616	1,17	-65,65
3	1,7	4,25	1	13872	2,67	-370,24
4	2,5	0,5	0,5	1200	2,19	-26,23
5	0,3	0,9	1	518,4	1,97	-10,21
6	1,4	1,4	1	3763,2	3,47	-130,46
7	3	1	1	5760	2,62	-150,85
Tanah						
1	1	6,15	1	136530	1,62	-2210,42
2	1,2	1	1	26640	2,42	-644,42
3	1,3	1,5	0,5	21645	1,39	-299,93
4	1,3	2,25	1	64935	1,17	-759,09
5	2,5	0,5	0,5	13875	2,19	-303,26
			P <sub>MS</sub>	673636,20	M <sub>MS</sub>	-6049,32

c. Tekanan Tanah

Tekanan tanah horizontal diakibatkan oleh beban lalulintas diatas oprit yang diasumsikan sebesar  $10 \text{ kN/m}^2$ . Sementara tekanan tanah lateral dihitung berdasarkan perhitungan tekanan tanah aktif.



Gambar 6.2 Diagram Tegangan Akibat Tekanan Tanah di Belakang Abutment

Tinggi Abutment, (H)	: 7,25 m
Lebar Abutement, (B)	: 12 m
Berat Jenis Tanah ( $\gamma_{SAT}$ )	: $18,5 \text{ kN/m}^3$
Sudut Geser ( $\phi$ )	: $30^\circ$
Koefisien Tanah Aktif ( $K_a$ )	: $\tan^2(45^\circ - 30/2) = 0,333$

Tabel 6.3 Perhitungan Tekanan Tanah

Jenis Beban	$T_{TA}$ (kN)	Eksentrisiras, thd titik O	$M_{TA}$ (kNm)
$T_{TA1}$	290,00	3,63	1051,25
$T_{TA2}$	1944,81	2,42	4699,96
$H_{TA} =$	2234,81	$M_{TA} =$	5751,21

d. Beban Lajur”D”

Beban kendaraan terdiri dari beban terbagi rata (BTR) dan beban garis terpusat (BGT). BGT memiliki intensitas  $q$  (Kpa) yang besarnya bergantung pada panjang total  $L$  yang dnyatakan dalam rumus berikut:

$$q = 9.0 \text{ kPa} \quad \text{untuk } L \leq 30 \text{ m}$$

$$q = 9.0 (0.5 + 15/L) \quad \text{untuk } L > 30 \text{ m}$$

Untuk jembatan kelas III, beban yang digunakan adalah sebesar 70% dari beban yang didapatkan. Besarnya beban pada abutmen akibat beban BTR.

$$P_{BTR} = 0.7 \times 0.5 \times q \times (5.5 + b) \times L / 2$$

$$P_{BTR} = 0.7 \times 0.5 \times 9 \times (5.5 + 12) \times 25 / 2$$

$$P_{BTR} = 689,0625 \text{ kN}$$

Untuk perhitungan beban garis terpusat digunakan intensitas sebesar 49 kN/m dengan faktor beban dinamis (DLA) sebesar 0,4. Besarnya BGT dapat dilihat pada perhitungan berikut.

$$P_{BGT} = 0.7 \times 0.5 \times P \times (1+DLA) \times (5.5 + 12)$$

$$P_{BGT} = 0.7 \times 0.5 \times 49 \times (1+0.4) \times (5.5 + 12)$$

$$P_{BGT} = 420,175 \text{ kN}$$

Maka besarnya beban lajur D pada abutment adalah sebesar:

$$P_{LD} = P_{BTR} + P_{BGT} = 689,0625 + 420,1750 = 1109,2375 \text{ kN}$$

e. Gaya Rem

Gaya rem dihitung sebesar 5% dari beban D yang telah dihitung, maka didapatkan :

$$\text{Gaya horizontal rem,} \quad : 55,46 \text{ kN}$$

$$\text{Lengan terhadap titik O} \quad : 7,3 \text{ m}$$

$$\text{Momen akibat gaya rem} \quad : 404,87 \text{ kNm}$$

f. Beban Angin

Perhitungan beban angin mengacu pada RSNI T-02-2005 ps. 7.6, yaitu pada dua kondisi yaitu:

1. Gaya angin yang meniup bidang jembatan

$$T_{ew1} = 0.0006 \cdot C_w \cdot V_w^2 \cdot A_b$$

$$T_{ew1} = 0.0006 \cdot 1.25 \cdot 35^2 \cdot 46,25$$

$$T_{ew1} = 42,49 \text{ kN}$$

2. Gaya angin yang meniup kendaraan

$$T_{ew2} = 0.0012 \cdot C_w \cdot V_w^2 \cdot L / 2$$

$$T_{ew2} = 0.0012 \cdot 1.25 \cdot 35^2 \cdot 25 / 2$$

$$T_{ew2} = 45,94 \text{ kN}$$

Besarnya gaya angin pada abutmen:

$$T_{ew} = T_{ew1} + T_{ew2} = 88,43 \text{ kN}$$

$$M_{ew} = T_{ew1} \cdot y_1 + T_{ew2} \cdot y_2 = 641,12 \text{ kN}$$

g. Beban Temperatur

Perhitungan beban temperatur yang mengacu pada peraturan harus mengambil perbedaan temperatur maksimum dan minimum yang dapat diketahui dari tabel 20 RSNI T-02-2005. Berikut ini adalah perhitungan yang dilakukan untuk mendapatkan beban temperatur.

$$\text{Temperatur maksimum rata-rata}, \quad T_{\max} : 40^\circ\text{C}$$

$$\text{Temperatur minimum rata-rata}, \quad T_{\min} : 15^\circ\text{C}$$

Perbedaan Temperatur

$$\Delta T = (T_{\max} - T_{\min})/2$$

$$\Delta T = (40 - 15)/2$$

$$\Delta T = 12.5^\circ\text{C}$$

$$\text{Koefisien perpanjangan (beton)}, \quad \alpha : 1.0 \times 10^{-5}$$

$$\text{Panjang girder} \quad L : 25 \text{ meter}$$

$$\text{Jumlah tumpuan elastomer} \quad n : 7 \text{ buah}$$

Gaya pada abutmen akibat pengaruh temperature.

$$T_{ET} = \alpha \cdot \Delta T \cdot k \cdot L/2 \cdot n$$

$$T_{ET} = 1.0 \times 10^{-5} \times 12.5 \times 1500 \times 25/2 \times 7$$

$$T_{ET} = 16,41 \text{ kN}$$

Lengan terhadap titik O = 5,45 m

Momen pada fondasi,

$$M_{ET} = T_{ET} \cdot y_o = 16,41 \times 5,45 = 89,42 \text{ kNm}$$

#### h. Beban Gempa

Perhitungan beban gempa dilakukan dengan menggunakan rumus :

$$T_{EQ} = K_h \cdot W_t$$

dimana,

$K_h$  = C / R, koefisien beban gempa horisontal

$T_{eq}$  = Gaya geser dasar total arah yang ditinjau

$W_t$  =  $P_{ms} + P_{ma}$ , berat total jembatan

C = koefisien respons gempa

R = faktor modifikasi respons

Periode getar struktur dihitung menggunakan rumus:

$$T = 2 \cdot \pi \cdot \sqrt{\frac{W_{TP}}{g \cdot K_p}}$$

dimana,

$g$  = 9,8 m/det<sup>2</sup>, percepatan gravitasi

$K_p$  = kekakuan struktur terhadap gaya horizontal

$W_{TP}$  =  $P_{ms}$  (str atas) +  $\frac{1}{2} P_{ms}$  (str bawah)

#### Beban Gempa Arah Memanjang Jembatan

- o Dimensi Breast Wall

Tinggi, Lb = 4,85 m

lebar, b = 12 m

tebal, h = 1 m

- o Inersia Penampang Breast Wall,  $I_c$

$$I_c = 1/12 \cdot b \cdot h^3 = 1,00 \text{ m}^4$$

- Nilai Kekakuan,  $K_p$

$$K_p = \frac{3 \cdot E_c \cdot I_c}{L_b^3} = 872184,91 \text{ kN/m}$$

- Berat Mati Total Struktur,  $W_{tp}$

$$W_{TP} = P_{ms \text{ (str atas)}} + \frac{1}{2} P_{ms \text{ (str bawah)}}$$

$$W_{TP} = 1136.912 \text{ kN}$$

- Waktu Getar Alami Struktur,  $T$

$$T = 2 \cdot \pi \cdot \sqrt{\frac{W_{TP}}{g \cdot K_p}} = 0.157 \text{ det}$$

- Koefisien Beban Gempa Horisontal,  $K_h$

Berdasarkan pada peta respons spektra SNI 2833-2013 didapatkan besarnya  $S_S$ ,  $S_1$ , PGA,  $F_{PGA}$ ,  $F_a$ , dan  $F_1$  untuk tanah sedang kota Cirebon adalah.

$$S_S = 0,7 \text{ g} \quad F_a = 0,9$$

$$S_1 = 0,25 \text{ g} \quad F_V = 3$$

$$PGA = 0,1 \text{ g} \quad F_{PGA} = 0,9$$

$$S_{DS} = S_S \cdot F_a = 0,63$$

$$S_{D1} = S_1 \cdot F_V = 0,75$$

$$A_s = PGA \cdot F_{PGA} = 0,09$$

Periode Spektum Respons Gempa

$$T_s = S_{D1}/S_{DS} = 1,19 \text{ dtk}$$

$$T_0 = 0,2 \text{ } T_s = 0,24$$

Untuk  $T$  kurang dari  $T_0$  besarnya koefisien respons gempa,  $C$

$$C = (S_{DS} - A_s) \frac{T}{T_0} + A_s = 0,308$$

Faktor Modifikasi Respons,  $R = 1,5$

(Pilar tipe dinding, jembatan penting)

Koefisien gempa horizontal,  $K_h$

$$K_h = C / R = 0,308 / 1,5 = 0,205$$

- Gaya Gempa,  $T_{EQ}$

Gaya gempa rencana,  $T_{EQ}$ ,

$$T_{EQ} = K_h W_t$$

$$T_{EQ} = 0.,205 W_t$$

Tabel 6.4 Perhitungan Beban Gempa Arah Memanjang

Kode	Berat (kN)	Teq (kN)	Lengan (m)	Momen (kNm)
<b>Bangunan Atas</b>				
Pms	1995,132	409,71	5,45	2232,920
<b>Abutmen</b>				
1	1036,8	212,91	0,3	63,874
2	1396,8	286,84	3,025	867,690
3	180	36,96	0,767	28,339
4	182,736	37,53	0,767	28,770
5	280,8	57,66	4,85	279,669
6	524,16	107,64	6,05	651,215
7	172,8	35,49	6,75	239,526
<b>Wingwall</b>				
1	18,72	3,84	3,85	14,800
2	56,16	11,53	2,225	25,660
3	138,72	28,49	4,125	117,508
4	12	2,46	0,93	2,300
5	5,184	1,06	1,55	1,650
6	37,632	7,73	1,53	11,849
7	57,6	11,83	6,75	79,842
<b>Tanah</b>				
1	1365,3	280,37	4,675	1310,735
2	266,4	54,71	1,1	60,177
3	216,45	44,45	3,85	171,129
4	649,35	133,35	2,225	296,698
5	138,75	28,49	0,93	26,593
Teq		1383,34	Meq	4278,024

### Beban Gempa Arah Melintang Jembatan

Untuk perhitungan beban gempa arah melintang jembatan, dengan menggunakan cara pehitungan yang sama, didapatkan hasil:

$$T_{EQ} = 0,072 W_t$$

$$T_{EQ} = 485,78 \text{ kN}$$

$$M_{EQ} = 1189,486 \text{ kNm}$$

#### i. Tekanan Tanah Dinamis Akibat Gempa

Tekanan tanah dinamis akibat gempa dihitung dengan menggunakan koefisien tanah dinamis yang dapat dicari dengan menggunakan rumus berikut:

$$\theta = \tan^{-1}(K_h)$$

$$K_{aG} = \frac{\cos^2(\phi' - \theta)}{\left[ \cos^2\theta \cdot \left\{ 1 + \frac{\sqrt{\sin\phi' \cdot \sin(\phi' - \theta)}}{\cos\theta} \right\} \right]}$$

dimana:

Tinggi abutmen, H	= 7,25 m
Lebar abutmen, B	= 12 m
Koefisien gempa lateral, $K_h$	= 0,205
Sudut geser tanah timbunan, $\phi'$	= 30°
Koefisien tanah aktif timbunan, $K_a$	= 0,333
Berat volume timbunan, $w_s$	= 18,5 kN/m³

$$K_{aG} = 0,668$$

$$\Delta K_{aG} = K_{aG} - K_a = 0,334$$

Besarnya gaya lateral akibat tekanan tanah dinamis,

$$T_{EQ} = \frac{1}{2} \cdot H^2 \cdot w_s \cdot \Delta K_{aG} \cdot B_y$$

$$T_{EQ} = 2032,08 \text{ kN}$$

$$y_{EQ} = 4,93 \text{ m}$$

$$M_{EQ} = 10024,91 \text{ kNm}$$

j. Kombinasi Beban Kerja

Beban-beban yang telah didapatkan diatas selanjutnya perlu dikombinasikan untuk menghasilkan nilai-nilai beban yang sesuai dengan kondisi kenyataan. Sementara itu, kombinasi beban-beban itu sendiri dapat dilihat pada **Tabel 6.5**.

Tabel 6.5 Kombinasi Pembebanan Bangunan Bawah Jembatan

Aksi	Kombinasi No.						
	1	2	3	4	5	6	7
Aksi tetap (bebani mati, Mti + beban tanah, Tan)	x	x	x	x	x	x	x
Beban lalu lintas (bebani hidup, Hdp)	x	x	x	x			x
Pengaruh temperatur (Tmp)		x		x			
Arus/hanyutan/hidro/daya apung (Hdp)	x	x	x	x	x		
Beban angin (Ang)			x	x			
Pengaruh gempa (Gmp)					x		
Beban tumbukan (Tmb)							x
Beban selama pelaksanaan (Pik)						x	
Tegangan berlebihan yang diperbolehkan	0%	25%	25%	40%	50%	30%	50%
Kenaikan daya dukung ijin yang dibolehkan	100%	125%	125%	140%	150%	130%	150%

Perincian masing-masing hasil kombinasi dapat dilihat pada **Lampiran IV**. Hasil perhitungan kombinasi pembebanan dapat dilihat pada tabel berikut.

Tabel 6.6 Hasil Perhitungan Kombinasi Pembebanan Abutment A-1

Kombinasi no.	Gaya (kN)			momen-x	momen-y
	Hx	Hy	V	(kN-m)	(kN-m)
1	2290,27	0,00	9840,73	0,00	47,78
2	2306,68	0,00	9840,73	0,00	137,19
3	2290,27	88,43	9840,73	641,12	47,78
4	2306,68	88,43	9840,73	641,12	137,19
5(x)	6059,94	0,00	8731,49	0,00	16199,83
5(y)	2234,81	629,65	8731,49	1973,60	-336,02

### 6.1.3 Kontrol Stabilitas Guling

Perhitungan stabilitas guling menggunakan SF minimal sebesar 2,2. Letak titik guling berada pada ujung pondasi sehingga lengan momen dari titik O adalah sebesar  $B/2 = 3$  m untuk arah x dan  $B/2 = 6$  m untuk arah y. Perhitungan kontrol guling menggunakan rumus sebagai berikut:

$$M_{py} = P \cdot B/2 \cdot (1+k), \quad \text{dengan } k = \text{persen kelebihan beban yang diijinkan (\%)} \\ SF = M_p/M > 2,2$$

Hasil perhitungan kontrol stabilitas guling arah x dan arah y dapat dilihat pada **Tabel 6.7** dan **Tabel 6.8**.

Tabel 6.7 Stabilitas Guling Arah X

Kombinasi	k	P (kN)	$M_y$ (kNm)	$M_{py}$ (kNm)	SF	Keterangan
Kombinasi 1	0%	9840,73	47,78	29522,195	617,91	>2,2 (OK)
Kombinasi 2	25%	9840,73	137,19	36902,743	268,98	>2,2 (OK)
Kombinasi 3	25%	9840,73	47,78	36902,743	772,39	>2,2 (OK)
Kombinasi 4	40%	9840,73	137,19	41331,072	301,26	>2,2 (OK)
Kombinasi 5 (x)	50%	8731,49	16199,83	39291,723	2,425	>2,2 (OK)
Kombinasi 5 (y)	50%	8731,49	-336,02	39291,723	116,93	>2,2 (OK)

Tabel 6.8 Stabilitas Guling Arah Y

Kombinasi	k	P (kN)	$M_x$ (kNm)	$M_{px}$ (kNm)	SF	Keterangan
Kombinasi 1	0	9840,7315	0,00	118088,78	$\infty$	>2,2 (OK)
Kombinasi 2	0,25	9840,7315	0,00	147610,97	$\infty$	>2,2 (OK)
Kombinasi 3	0,25	9840,7315	641,12	147610,97	230,2409	>2,2 (OK)
Kombinasi 4	0,4	9840,7315	641,12	165324,29	257,8698	>2,2 (OK)
Kombinasi 5 (x)	0,5	8731,494	0,00	157166,89	$\infty$	>2,2 (OK)
Kombinasi 5 (y)	0,5	8731,494	1973,60	157166,89	79,63447	>2,2 (OK)

### 6.1.4 Perencanaan Tiang Pancang

Setelah menghitung kombinasi pembebanan, tahap selanjutnya ialah merencanakan tiang pancang yang tepat dari segi jumlah maupun ukuran. Dalam perencanaan tiang pancang ini menggunakan tiang pancang berbentuk lingkaran berongga dengan diameter luar masing-masing sebesar 40, 50, dan 60 cm. Spesifikasi bahan dapat dilihat pada **Lampiran I**.

#### a. Menentukan Kombinasi Tiang

Penentuan jumlah dan jarak antar tiang dibatasi oleh ketentuan berikut;

- Jarak tiang terluar keujung *pilecap* sebesar  $d$
- Jarak antar tiang minimal  $2,5d \leq 3d$

Hasil perhitungan kombinasi tiang beserta jarak antar tiang sepanjang sumbu-x dan sumbu-y dapat dilihat pada tabel berikut.

Tabel 6.9 Hasil Perhitungan Kombinasi Tiang Pancang D40, D50, D60 pada Abutment A-1

DIAMETER (m)	Jarak Pancang ke Tepi	Kebutuhan dalam b	Kebutuhan dalam l	TOTAL	Jarak (m)	
					b	l
0,6	0,6	4	8	32	1,6	1,5
0,5	0,5	5	9	45	1,3	1,4
0,4	0,4	5	10	50	1,3	1,2

Sketsa pemasangan pile berdasarkan tabel diatas dapat dilihat pada **Lampiran IV**.

#### b. Mencari P<sub>max</sub> Tiang

Setelah menemukan kombinasi tiang pancang untuk tiap-tiap diameter tiang yang direncanakan, barulah dapat dihitung kuat maksimum ( $P_{max}$ ) untuk satu tiang pancang. Hasil perhitungan  $P_{max}$  tiang pancang untuk diameter 40,50,60 cm. Persamaan yang digunakan adalah;

$$P_{max} = \frac{\sum V}{n} + \frac{My \cdot x_1}{\sum xi^2} + \frac{Mx \cdot y_1}{\sum yi^2}$$

dimana:  $x_1/y_1 =$  jarak terjauh *pile* sepanjang sumbu. x/y  
 $\Sigma xi^2 / \Sigma yi^2 =$  jarak *pile* dikalikan jumlah pada jarak tersebut

Maka didapatkan hasil perhitungan untuk Pmax untuk satu tiang pada tiap-tiap ukuran tiang pancang yang dapat dilihat pada tabel berikut.

Tabel 6.10 Hasil perhitungan Pmax Tiang Pancang pada Abutment A-1

Kombinasi	P maksimum (ton)		
	D40	D50	D60
I	19,746	21,940	30,902
II	15,892	17,660	24,945
III	16,574	18,050	25,829
IV	14,883	16,212	23,262
V(x)	26,126	29,203	51,940
V(y)	13,335	13,874	20,333

### c. Kontrol Daya Dukung Tiang

Perhitungan daya dukung tanah menggunakan metode Meyerhoff dan Bazzara menghasilkan grafik hubungan antar kedalaman tiang dan daya dukung tanah yang dapat dilihat pada **Lampiran IV**. Melalui grafik tersebut dapat ditentukan kedalaman tiang pancang dengan syarat:  $P_{max} < (P_{ijin} \times Ef)$  dimana:

$Ef =$  efisiensi tiang berdasarkan rumusan Seiler-Keeney

$$Ef = \left[ 1 - \frac{36S}{(75s^2 - 7)} x \left( \frac{m+n-2}{m+n-1} \right) \right] + \frac{0,3}{m+n}$$

dimana: S = jarak antar tiang  
 m = jumlah baris tiang  
 n = jumlah kolom tiang

Hasil perhitungan kontrol daya dukung tiang pancang beserta kedalaman yang dibutuhkan untuk tiap-tiap ukuran tiang pancang pada masing-abutment dapat dilihat pada **Tabel 6.21**.

Tabel 6.11 Hasil Perhitungan Kedalaman Tiang Pancang Rencana untuk Abutment A-1

Diameter (m)	Kedalaman (m)
0,4	33
0,5	31
0,6	38,5

#### d. Kontrol Tiang Pancang

Kontrol tiang berfungsi untuk memasikan tiang pancang yang sdah direncanakan tidak mengalami geser lateral dan tidak mengalami *crack* akibat momen. Tahapan yang dilakukan dalam proses kontrol tiang pancang dapat dilihat pada perhitungan dibawah ini. Perhitungan berikut merupakan kontrol lateral untuk diameter 60 cm.

- Mencari Harga f

Harga f didapatkan melalu grafik dari NAVFAC DM-7 yang sebelumnya telah tercantum pada **Gambar 2.10**. Sebelmnya, perlu ditemukan nilai geser undrained (Cu).

$$N_{SPT} = 1 \rightarrow Cu = 0,5 \text{ KPa} \text{ (Korelasi } N_{SPT})$$

$$Q = 2 \times Cu = 1 \text{ Kpa} = 0,01 \text{ kg/cm}^2 = 0,0102 \text{ ton/ft}^2$$

dari grafik NAVFAC didapatkan nilai  $f = 3 \text{ ton/ft}^2$

$$f = 3 \times 0,032 = 0,096 \text{ kg/cm}^3$$

- Mencari Nilai T

$$T = (EI/f)$$

$$E = 4700 \times \sqrt{fc} = 332340,19 \text{ kg/cm}^2$$

$$I = 510508,2 \text{ cm}^4$$

$$\text{Maka, } T = 281,5 \text{ cm} = 2,815 \text{ cm}$$

- Mencari  $F_\delta$  dan  $F_M$

Untuk mencari nilai  $F_\delta$  dan  $F_M$  juga digunakan kurva NAVFAC ang sebelumnya telah tercantum pada **Gambar 2.11**. Namun sebelumnya harus ditentukan nilai L/T dan nilai z ditetapkan pada kedalaman 0 m ( $z = 0$ ). Dimana L = panjang tiang pancang ang digunakan.

$$L/T = 36,5/2,815 = 13$$

dari kurva NAVFAC didapatkan;

$$F_\delta = 0,95 \text{ dan } F_M = 0,86$$

- Perhitungan Geser Lateral

Geser lateral dihitung dengan menggunakan persamaan

$$\delta = F_\delta \left( \frac{PT^3}{EI} \right)$$

Dimana :  $P = H_{max}/n$

$H_{max}$  = gaya horizontal maksimum

$n$  = jumlah tiang pancang

$\delta \leq 1 \text{ inch (2,54 cm)}$

Didapatkan  $\delta = 1,58 \text{ cm} < 2,54 \text{ cm}$

Maka tiang pancang rencana aman dari geser lateral

- Perhitungan Momen Maksimum

Geser lateral dihitung dengan menggunakan persamaan

$$M_{pmax} = F_m \cdot P \cdot T$$

Dimana :  $P = H_{max}/n$

$H_{max}$  = gaya horizontal maksimum

$n$  = jumlah tiang pancang

$M_{pmax} < M_{crack}$  bahan

Didapatkan  $M_{pmax} = 30,56 \text{ ton.m} < M_{crack}$

Maka tiang pancang rencana aman dari retak akibat momen

Hasil kontrol ntuk diameter lainnya pada abutment A-1 dapat dilihat pada tabel berikut.

Tabel 6.12 Hasil Perhitungan Kontrol Tiang Pancang Rencana pada Abutment A-1

Diameter Pancang (cm)	Kontrol Lateral		Kontrol Momen crack	
	Geser Lateral (cm)	Keterangan	Mpmax (ton.m)	Keterangan
40	1,58	OK	15,64	OK
50	1,48	OK	18,91	OK
60	1,58	OK	30,56	OK

### 6.1.5 Penentuan Tiang Pancang yang Digunakan

Dengan menggunakan brosur harga tiang pancang pada **Lampiran I** dan berdasarkan jumlah perkuatan yang digunakan seperti pada **Sub-Bab 6.1.4**, maka didapat hasil biaya yang dibutuhkan untuk masing-masing diameter tiang, yang ditampilkan pada **Tabel 6.26**.

Tabel 6.13 Harga Masing-Masing Tiang Pancang yang Dipakai

Diameter (m)	Kedalaman (m)	Jumlah (buah)	Harga (Rp.)
0,4	33	50	Rp 632.700.000,00
0,5	31	45	Rp 495.000.000,00
0,6	38,5	32	Rp 514.560.000,00

Penentuan tiang pancang yang dipakai ditentukan berdasarkan biaya ang paling ekonomis. Oleh karena itu, untuk abutment A-1 digunakan tiang pancang dengan diameter 0,6 cm.

### 6.1.6 Perhitungan Penulangan Abutment

- *Breast Wall*

Direncanakan dimensi abutmen dengan diameter tulangan vertikal adalah 25 mm, dan diameter tulangan horizontal adalah 22 mm. Kekuatan leleh tulangan ( $f_y$ ) adalah 290 MPa, dan kekuatan tekan beton ( $f'_c$ ) adalah K-300. Tebal selimut beton adalah 7,5 cm. Berikut ini adalah beban ultimate yang terjadi pada breast wall;

1. Tekanan Tanah

$$H = 1330,416 \text{ kN}$$

$$M = 2346,859 \text{ kNm}$$

2. Beban Gempa

$$H = 897,338 \text{ kN}$$

$$M = 3641,094 \text{ kNm}$$

3. Tekanan Tanah Dinamis

$$H = 1539,741$$

$$M = 4978,497$$

Didapatkan momen ultimate,  $M_u = 10966,45 \text{ kNm}$

$$d = 925 \text{ mm} \rightarrow dx = d - 0,5\varnothing - D = 890,5 \text{ mm}$$

$$\rho_b = \frac{0,85 \cdot \beta_1 \cdot f_c}{f_y} \cdot \left( \frac{600}{600 + f_y} \right) = 0,05$$

$$\rho_{\max} = 0,75 \times \rho_b = 0,038$$

$$\rho_{\min} = 1,4/f_y = 0,0048$$

$$\rho_{\text{perlu}} = \frac{0,85 \cdot f_c}{f_y} \cdot \left( 1 - \sqrt{1 - \frac{2 \cdot R_n}{0,85 \cdot f_c}} \right) = 0,00512$$

$\rho_{\text{perlu}} > \rho_{\min}$  maka digunakan  $\rho_{\text{perlu}}$

$$\text{As perlu} = \rho \cdot b \cdot dx = 54672,16 \text{ mm}^2$$

Digunakan tulangan D25-100 ( $As = 58904 \text{ mm}^2$ )

Untuk tulangan bagi dipakai 20%  $As = 10934,432 \text{ mm}^2$

Digunakan tulangan D22-160 ( $As = 11403,98 \text{ mm}^2$ )

- **Back Wall**

Direncanakan dimensi abutmen dengan diameter tulangan vertikal adalah 16 mm, dan diameter tulangan horizontal adalah 13 mm. Kekuatan leleh tulangan ( $f_y$ ) adalah 290 MPa, dan kekuatan tekan beton ( $f'_c$ ) adalah K-300. Tebal selimut beton adalah 5 cm. Berikut ini adalah beban ultimate yang terjadi pada breast wall;

1. Tekanan Tanah  
 $H = 386,4 \text{ kN}$   
 $M = 357,12 \text{ kNm}$
2. Beban Gempa  
 $H = 143,12 \text{ kN}$   
 $M = 142,77 \text{ kNm}$
3. Tekanan Tanah Dinamis  
 $H = 377,04 \text{ kN}$   
 $M = 603,26 \text{ kNm}$

Didapatkan momen ultimate,  $M_u = 1103,152 \text{ kNm}$

$$d = 550 \text{ mm} \rightarrow dx = d - 0,5 \varnothing - D = 529 \text{ mm}$$

$$\rho_b = \frac{0,85 \cdot \beta_1 \cdot f_c}{f_y} \cdot \left( \frac{600}{600 + f_y} \right) = 0,05$$

$$\rho_{\max} = 0,75 \times \rho_b = 0,038$$

$$\rho_{\min} = 1,4/f_y = 0,0048$$

$$\rho_{\text{perlu}} = \frac{0,85 \cdot f_c}{f_y} \cdot \left( 1 - \sqrt{1 - \frac{2 \cdot R_n}{0,85 \cdot f_c}} \right) = 0,00143$$

$\rho_{\text{perlu}} < \rho_{\min}$  maka digunakan  $\rho_{\min}$

$$\text{As perlu} = \rho \cdot b \cdot dx = 30645,52 \text{ mm}^2$$

Digunakan tulangan D16-75 ( $\text{As} = 30762 \text{ mm}^2$ )

Untuk tulangan bagi dipakai 20%  $\text{As} = 6129,10 \text{ mm}^2$

Digunakan tulangan D13-50 ( $\text{As} = 6371,15 \text{ mm}^2$ )

- **Pilecap**

Direncanakan dimensi abutmen dengan diameter tulangan vertikal adalah 22 mm, dan diameter tulangan horizontal adalah 16 mm. Kekuatan leleh tulangan ( $f_y$ ) adalah 290 MPa, dan kekuatan tekan beton ( $f'_c$ ) adalah K-300. Tebal selimut beton adalah 7,5 cm. Berikut ini adalah beban ultimate yang terjadi pada breast wall;

1. Akibat Berat Pilecap  
 $W_s = 62130 \text{ kg}$   
 $M_s = 71113,54 \text{ kgm}$
2. Akibat Pmax Tiang Pancang  
 $W_p = 41522,1 \text{ kg}$   
 $M_p = 689766,7 \text{ kgm}$

Didapatkan momen ultimate,  $M_u/L = 67020,76 \text{ kgm}$   
 $d = 550 \text{ mm} \rightarrow dx = d - 0,5 \text{ } \varnothing - D = 512,5 \text{ mm}$

$$\rho_b = \frac{0,85 \cdot \beta_1 \cdot f_c}{f_y} \cdot \left( \frac{600}{600 + f_y} \right) = 0,05$$

$$\begin{aligned}\rho_{\max} &= 0,75 \times \rho_b = 0,038 \\ \rho_{\min} &= 1,4/f_y = 0,0048\end{aligned}$$

$$\rho_{perlu} = \frac{0,85 \cdot f_c}{f_y} \cdot \left( 1 - \sqrt{1 - \frac{2 \cdot R_n}{0,85 \cdot f_c}} \right) = 0,001$$

$\rho_{perlu} < \rho_{\min}$  maka digunakan  $\rho_{\min}$

As perlu =  $\rho \cdot b \cdot dx = 29689,66 \text{ mm}^2$

Digunakan tulangan D22-150 (As = 30246,54 mm<sup>2</sup>)

Untuk tulangan bagi dipakai 20%As = 5937,93 mm<sup>2</sup>  
 Digunakan tulangan D16-400 (As = 6124,79 mm<sup>2</sup>)

## 6.2 Perencanaan Abutment A-2

### 6.2.1 Data Perencanaan

Perencanaan bangunan bawah (abutment) menggunakan perhitungan pondasi dalam. Perencanaan ini berdasarkan hasil analisa data tanah yang hanya memungkinkan untuk perencanaan pondasi dalam ( $D/B > 4$ ). Data perencanaan yang dibutuhkan adalah:

#### A. Struktur Atas

Panjang Bentang (L)	: 25 m
Lebar Jalan (b)	: 12 m

Tebal Plat Lantai Kendaraan ( $t_c$ ) : 0,2 m  
 Tebal Lapisan Aspal ( $t_a$ ) : 0,05 m

#### B. Struktur Bawah

Lebar Pondasi (B) : 12 m  
 Tinggi Abutment A-2 ( $H_2$ ) : 7,40 m

### 6.2.2 Pembebanan

Hasil perhitungan pembebanan untuk abutment A-2 dapat dilihat pada tabel berikut.

Tabel 6.14 Hasil Perhitungan Kombinasi Pembebanan Abutment A-2

Kombinasi no.	Gaya (kN)			momen-x	momen-y
	Hx	Hy	V	(kN-m)	(kN-m)
1	2377,58	0,00	9883,93	0,00	397,02
2	2393,99	0,00	9883,93	0,00	488,90
3	2377,58	88,43	9883,93	641,12	397,02
4	2393,99	88,43	9883,93	641,12	488,90
5(x)	6258,74	0,00	8774,69	0,00	17079,07
5(y)	2322,12	637,96	8774,69	2028,91	4,91

### 6.2.3 Kontrol Stabilitas Guling

Perhitungan stabilitas guling menggunakan SF minimal sebesar 2,2. Letak titik guling berada pada ujung pondasi sehingga lengan momen dari titik O adalah sebesar  $B/2 = 3$  m untuk arah x dan  $B/2 = 6$  m untuk arah y. Perhitungan kontrol guling menggunakan rumus sebagai berikut:

$$M_{py} = P \cdot B/2 \cdot (1+k), \quad \text{dengan } k = \text{persen kelebihan beban yang diijinkan (\%)}$$

$$SF = M_p/M > 2,2$$

Hasil perhitungan kontrol stabilitas guling arah x dan arah y dapat dilihat pada **Tabel 6.15** dan **Tabel 6.16**.

Tabel 6.15 Stabilitas Guling Arah X untuk Abutment A-1

Komb. No.	k	P (kN)	My (kNm)	Mpy (kNm)	SF	Keterangan
1	0%	9883,93	397,02	29651,795	74,68497	>2,2 (OK)
2	25%	9883,93	488,90	37064,743	75,81254	>2,2 (OK)
3	25%	9883,93	397,02	37064,743	93,35621	>2,2 (OK)
4	40%	9883,93	488,90	41512,512	84,91004	>2,2 (OK)
5(x)	50%	8774,69	17079,07	39486,123	2,311959	>2,2 (OK)
5(y)	50%	8774,69	4,91	39486,123	8042,864	>2,2 (OK)

Tabel 6.16 Stabilitas Guling Arah Y untuk Abutment A-2

Komb. No.	k	P (kN)	Mx (kNm)	Mpx (kNm)	SF	Keterangan
1	0	9883,9315	0,00	118607,18	$\infty$	>2,2 (OK)
2	0,25	9883,9315	0,00	148258,97	$\infty$	>2,2 (OK)
3	0,25	9883,9315	641,12	148258,97	231,2517	>2,2 (OK)
4	0,4	9883,9315	641,12	166050,05	259,0019	>2,2 (OK)
5(x)	0,5	8774,694	0,00	157944,49	$\infty$	>2,2 (OK)
5(y)	0,5	8774,694	2028,91	157944,49	77,84693	>2,2 (OK)

#### 6.2.4 Perencanaan Tiang Pancang

Hasil perencanaan tiang pancang untuk abutment A-2 dapat dilihat pada **Tabel 6.17**.

Tabel 6.17 Kedalaman Tiang Pancang untuk Abutment A-2

Diameter (m)	Kedalaman (m)
0,4	34
0,5	30,5
0,6	32,5

Hasil kontrol lateral dan momen maksimum tiang pancang dapat dilihat pada **Tabel 6.18**

Tabel 6.18 Hasil Kontrol Tiang Pancang untuk Abutment A-2

Diameter Pancang (cm)	Kontrol Lateral		Kontrol Momen crack	
	Geser Lateral (cm)	Keterangan	Mpmax (ton.m)	Keterangan
40	1,58	OK	15,64	OK
50	1,48	OK	18,91	OK
60	1,58	OK	30,56	OK

### 6.2.5 Penentuan Tiang Pancang yang Digunakan

Hasil penentuan tiang pancang yang digunakan ditinjau dari yang paling ekonomis. Dapat dilihat pada **Tabel 6.19**

Tabel 6.19 Kebutuhan Biaya Tiang Pancang untuk Abutment A-2

Diameter (m)	Kedalaman (m)	Jumlah (buah)	Harga (Rp.)
0,4	34	50	Rp 475.000.000,00
0,5	30	45	Rp 537.075.000,00
0,6	32,5	32	Rp 428.800.000,00

### 6.2.6 Penulangan Abutment

Hasil penulangan abutment A-2 dapat dilihat pada **Tabel 6.20.**

Tabel 6.20 Penulangan Abutment A-2

Bagian.	Tulangan Utama	Tulangan Bagi
Breast Wall	D25-100	D22-150
Back Wall	D16-75	D13-50
Pilecap	D22-150	D16-400

### 6.3 Perencanaan Pilar

Pilar jembatan sungai Wulan terletak pada bagian sungai, tepatnya pada STA 28+707 dan STA 28+757. Karena pembebanan yang diterima sama (simetris) dan data tanah yang

dignakan pun sama, maka dalam perencanaan ini akan didapatkan satu hasil perhitungan untuk kedua pilar.

Adapun data tanah yang digunakan dalam perencanaan ini masing-masing adalah data tanah BH-3. Untuk lebih lengkapnya, data tanah dapat dilihat pada **Lampiran I**.

### 6.3.1 Data Perencanaaan

Perencanaan bangunan bawah (abutment) menggunakan perhitungan pondasi dalam. Perencanaan ini berdasarkan hasil analisa data tanah yang hanya memungkinkan untuk perencanaan pondasi dalam ( $D/B > 4$ ). Data perencanaan yang dibutuhkan adalah:

#### A. Struktur Atas

Panjang Bentang 1 ( $L_1$ )	: 25 m
Panjang Bentang 2 ( $L_2$ )	: 50 m
Lebar Jalan (b)	: 12 m
Tebal Plat Lantai Kendaraan ( $t_c$ )	: 0,2 m
Tebal Lapisan Aspal ( $t_a$ )	: 0,05 m

#### B. Struktur Bawah

Lebar Pondasi (B)	: 12 m
Tinggi pilar ( $H_2$ )	: 7,40 m

#### C. Data Sungai

Debit Sungai	: 2 $m^3/s$
--------------	-------------

### 6.3.2 Analisa Scouring

Perhitungan scouring dilakukan untuk dapat mengetahui dimensi tinggi taksiran pilar. Hasil perhitungan *scouring* adalah sebagai berikut.

$$d = 0,473 \times \left(\frac{Q}{f}\right)^{0,333}$$

Dimana :  $Q = 2 \text{ m}^3/\text{s}$   
 $f = 0,75 \sqrt{Q}$  (Lacey)

$$\text{maka, } d = 0,76$$

$$d_{\max} = 0,76 \times \sqrt{2} = 0,76 \times 1,57 = 1,195 \text{ m} \approx 1,2 \text{ m}$$

### 6.3.3 Pembebanan

Perencanaan pembebanan berdasarkan pada RSNI T-02-2005 (Standar Pembebanan untuk Jembatan). Berikut ini adalah hasil perhitungan yang telah dilakukan.

#### a. Berat Sendiri Struktur Atas

Beban akibat berat struktur atas diakibatkan oleh berat girder yang digunakan, plat beton, dan balok diagfragma. Hasil perhitungan pembebanan tersebut dapat dilihat pada tabel berikut.

Tabel 6.21 Beban Sendiri Struktur Atas (I-160)

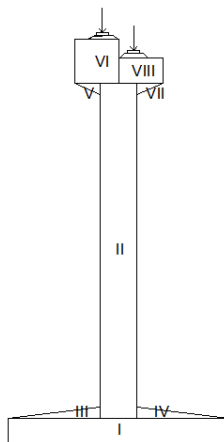
Beban	Parameter Volume				Berat	Satuan	Berat (kN)
	B (m)	t (m)	L (m)	n			
Plat Beton	12	0,20	12,5	1	24,00	kN/m <sup>3</sup>	720
Balok Memanjang		12,5	7	357	kN/m	1249,5	
Balok melintang (diafragma)		6	9,02	kN	54,4		
				P <sub>ms</sub> =	1995,9		

Tabel 6.22 Beban Sendiri Struktur Atas (I-210)

Beban	Parameter Volume				Berat	Satuan	Berat (kN)
	B (m)	t (m)	L (m)	n			
Plat Beton	12	0,20	25	1	24,00	kN/m <sup>3</sup>	1440
Balok Memanjang		25	9	756	kN/m	3402	
Balok melintang (diafragma)		8	9,02	kN	70,27		
				P <sub>ms</sub> =	4912,3		

#### b. Berat Sendiri Struktur Bawah

Beban struktur bawah diakibatkan oleh berat sendiri pilar. Hasil desain struktur bawah dan perhitungan pembebanan yang didapatkan dapat dilihat pada **Gambar 6.** dan **Tabel 5.2.**



Gambar 6.3 Desain Beban Sendiri Pilar

Berat Beton,  $\gamma_c = 24 \text{ kN/m}^3$ Berat Tanah,  $\gamma_t = 18,5 \text{ kN/m}^3$ Lebar Abutment,  $B = 12 \text{ m}$ Tebal Wingwall,  $b_w = 2 \times 0,4 \text{ m}$ 

Tabel 6.23. Perhitungan Beban Sendiri Abutmen

Kode	Lebar (m)	Tinggi (m)	shape	Berat (kg)	Lengan (m)	Momen (kNm)
Pilar						
I	6,0	0,7	1	120960	0,00	0,00
II	1	9,1	1	262080	0,00	0,00
III	2,5	0,3	0,5	10800	1,33	-144,00
IV	2,5	0,3	0,5	10800	1,33	144,00
V	0,7	0,3	0,5	3024	0,73	-22,18
VI	1,2	1,2	1	41472	0,60	-248,83
VII	0,7	0,3	0,5	3024	0,73	22,18
VII	1,2	0,7	1	24192	0,60	145,15

c. Beban Lajur”D”

Beban kendaraan terdiri dari beban terbagi rata (BTR) dan beban garis terpusat (BGT). BGT memiliki intensitas  $q$  (Kpa) yang besarnya bergantung pada panjang total  $L$  yang dnyatakan dalam rumus berikut:

$$q = 9.0 \text{ kPa} \quad \text{untuk } L \leq 30 \text{ m}$$

$$q = 9.0 (0.5 + 15/L) \quad \text{untuk } L > 30 \text{ m}$$

Untuk jembatan kelas III, beban yang digunakan adalah sebesar 70% dari beban yang didapatkan. Besarnya beban pada abutmen akibat beban BTR.

$$P_{BTR} = 0.7 \times 0.5 \times q \times (5.5 + b) \times L / 2$$

$$P_{BTR} = 0.7 \times 0.5 \times 7,2 \times (5.5 + 12) \times 50 / 2$$

$$P_{BTR} = 1378,125 \text{ kN}$$

Untuk perhitungan beban garis terpusat digunakan intensitas sebesar 49 kN/m dengan faktor beban dinamis (DLA) sebesar 0,4. Besarnya BGT dapat dilihat pada perhitungan berikut.

$$P_{BGT} = 0.7 \times 0.5 \times P \times (1+DLA) \times (5.5 + 12)$$

$$P_{BGT} = 0.7 \times 0.5 \times 49 \times (1+0.4) \times (5.5 + 12)$$

$$P_{BGT} = 420,175 \text{ kN}$$

Maka besarnya beban lajur D pada abutment adalah sebesar:

$$P_{LD} = P_{BTR} + P_{BGT} = 689,0625 + 420,1750 = 1798,3 \text{ kN}$$

d. Gaya Rem

Gaya rem dihitung sebesar 5% dari beban D yang telah dihitung, maka didapatkan :

$$\text{Gaya horizontal rem,} \quad : 89,92 \text{ kN}$$

$$\text{Lengan terhadap titik O} \quad : 11,2 \text{ m}$$

$$\text{Momen akibat gaya rem} \quad : 1007,05 \text{ kNm}$$

e. Beban Angin

Perhitungan beban angin mengacu pada RSNI T-02-2005 ps. 7.6, yaitu pada dua kondisi yaitu:

1. Gaya angin yang meniup bidang jembatan

$$T_{ew1} = 0.0006 \cdot C_w \cdot V_w^2 \cdot A_b$$

$$T_{ew1} = 0.0006 \cdot 1.25 \cdot 35^2 \cdot 92,5$$

$$T_{ew1} = 84,98 \text{ kN}$$

2. Gaya angin yang meniup kendaraan

$$T_{ew2} = 0.0012 \cdot C_w \cdot V_w^2 \cdot L / 2$$

$$T_{ew2} = 0.0012 \cdot 1.25 \cdot 35^2 \cdot 50 / 2$$

$$T_{ew2} = 45,94 \text{ kN}$$

Besarnya gaya angin pada abutmen:

$$T_{ew} = T_{ew1} + T_{ew2} = 130,92 \text{ kN}$$

$$M_{ew} = T_{ew1} \cdot y_1 + T_{ew2} \cdot y_2 = 949,18 \text{ kN}$$

#### f. Beban Temperatur

Perhitungan beban temperatur yang mengacu pada peraturan harus mengambil perbedaan temperatur maksimum dan minimum yang dapat diketahui dari tabel 20 RSNI T-02-2005. Berikut ini adalah perhitungan yang dilakukan untuk mendapatkan beban temperatur.

Temperatur maksimum rata-rata,  $T_{max} : 40^\circ\text{C}$

Temperatur minimum rata-rata,  $T_{min} : 15^\circ\text{C}$

Perbedaan Temperatur

$$\Delta T = (T_{max} - T_{min})/2$$

$$\Delta T = (40 - 15)/2$$

$$\Delta T = 12,5^\circ\text{C}$$

Koefisien perpanjangan (beton),  $\alpha : 1.0 \times 10^{-5}$

Panjang girder  $L : 25 \text{ meter}$

Jumlah tumpuan elastomer  $n : 9 \text{ buah}$

Gaya pada abutmen akibat pengaruh temperature.

$$T_{ET} = \alpha \cdot \Delta T \cdot k \cdot L/2 \cdot n$$

$$T_{ET} = 1.0 \times 10^{-5} \times 25 \times 1500 \times 25/2 \times 7$$

$$T_{ET} = 21,09 \text{ kN}$$

Lengan terhadap titik O = 9,80 m

Momen pada fondasi,

$$M_{ET} = T_{ET} \cdot y_o = 21,09 \times 9,80 = 206,72 \text{ kNm}$$

#### g. Beban Gempa

Perhitungan beban gempa dilakukan dengan menggunakan rumus :

$$T_{EQ} = K_h \cdot W_t$$

dimana,

$K_h$  = C / R, koefisien beban gempa horisontal

$T_{eq}$  = Gaya geser dasar total arah yang ditinjau

$W_t$  =  $P_{ms} + P_{ma}$ , berat total jembatan

C = koefisien respons gempa

R = faktor modifikasi respons

Periode getar struktur dihitung menggunakan rumus:

$$T = 2 \cdot \pi \cdot \sqrt{\frac{W_{TP}}{g \cdot K_p}}$$

dimana,

$g$  = 9,8 m/det<sup>2</sup>, percepatan gravitasi

$K_p$  = kekakuan struktur terhadap gaya horizontal

$W_{TP}$  =  $P_{ms}$  (str atas) + ½  $P_{ms}$  (str bawah)

#### Beban Gempa Arah Memanjang Jembatan

- Dimensi Breast Wall

Tinggi, Lb = 9,1 m

lebar, b = 12 m

tebal, h = 1 m

- Inersia Penampang Breast Wall,  $I_c$

$$I_c = 1/12 \cdot b \cdot h^3 = 1,00 \text{ m}^4$$

- Nilai Kekakuan,  $K_p$

$$K_p = \frac{3 \cdot E_c \cdot I_c}{L_b^3} = 132041,24 \text{ kN/m}$$

- Berat Mati Total Struktur,  $W_{tp}$

$$W_{TP} = P_{ms(\text{str atas})} + \frac{1}{2} P_{ms(\text{str bawah})}$$

$$W_{TP} = 4405,69 \text{ kN}$$

- Waktu Getar Alami Struktur, T

$$T = 2 \cdot \pi \cdot \sqrt{\frac{W_{TP}}{g \cdot K_p}} = 0,366 \text{ det}$$

- Koefisien Beban Gempa Horisontal,  $K_h$

Berdasarkan pada peta respons spektra SNI 2833-2013 didapatkan besarnya  $S_S$ ,  $S_1$ , PGA,  $F_{PGA}$ ,  $F_a$ , dan  $F_1$  untuk tanah sedang kota Cirebon adalah.

$$S_S = 0,7 \text{ g} \quad F_a = 0,9$$

$$S_1 = 0,25 \text{ g} \quad F_V = 3$$

$$PGA = 0,1 \text{ g} \quad F_{PGA} = 0,9$$

$$S_{DS} = S_S \cdot F_a = 0,63$$

$$S_{D1} = S_1 \cdot F_v = 0,75$$

$$A_s = PGA \cdot F_{PGA} = 0,09$$

Periode Spektrum Respons Gempa

$$T_s = S_{D1}/S_{DS} = 1,19 \text{ dtk}$$

$$T_0 = 0,2 \text{ } T_s = 0,24$$

Untuk T kurang dari  $T_0$  besarnya koefisien respons gempa, C

$$C = (S_{DS} - A_s) \frac{T}{T_0} + A_s = 0,6$$

Faktor Modifikasi Respons, R = 1,5

(Pilar tipe dinding, jembatan penting)

Koefisien gempa horizontal,  $K_h$

$$K_h = C / R = 0,308 / 1,5 = 0,399$$

- Gaya Gempa,  $T_{EQ}$   
 Gaya gempa rencana,  $T_{EQ}$ ,  
 $T_{EQ} = K_h W_t$   
 $T_{EQ} = 0,399 W_t$

Tabel 6.24 Perhitungan Beban Gempa Arah Memanjang

Kode	Berat (kN)	Teq (kN)	Lengan (m)	Momen (kNm)
<b>Bangunan Atas</b>				
Pms1	2023,932	806,71	11	8873,831
Pms2	4912,272	1957,97	10,5	20558,634
<b>Pilar</b>				
1	1209,6	482,13	0,35	168,746
2	2620,8	1044,62	5,25	5484,231
3	108	43,05	0,8	34,438
4	108	43,05	0,8	34,438
5	30,24	12,05	9,62	115,912
6	414,72	165,30	10,45	1727,404
7	30,24	12,05	9,62	115,912
8	241,92	96,43	10,2	983,546

### Beban Gempa Arah Melintang Jembatan

Untuk perhitungan beban gempa arah melintang jembatan, dengan menggunakan cara pehitungan yang sama, didapatkan hasil:

$$T_{EQ} = 0,088 W_t$$

$$T_{EQ} = 1032,10 \text{ kN}$$

$$M_{EQ} = 4507,76 \text{ kNm}$$

### h. Kombinasi Beban Kerja

Beban-beban yang telah didapatkan diatas selanjutnya perlu dikombinasikan untuk menghasilkan nilai-nilai beban yang

sesuai dengan kondisi kenyataan. Sementara itu, kombinasi beban-beban itu sendiri dapat dilihat pada **Tabel 6.5**.

Perincian masing-masing hasil kombinasi dapat dilihat pada **Lampiran V**. Hasil perhitungan kombinasi pembebanan dapat dilihat pada tabel berikut.

Tabel 6.25 Hasil Perhitungan Kombinasi Pembebanan Abutment  
A-1

Kombinasi no.	Gaya (kN)			momen-x	momen-y
	Hx	Hy	V	(kN·m)	(kN·m)
1	118,27	0,00	13498,02	0,00	2844,88
2	139,36	0,00	13498,02	0,00	3051,60
3	118,27	130,92	13498,02	949,18	2844,88
4	139,36	130,92	13498,02	949,18	3051,60
5(x)	4663,35	0,00	11699,72	0,00	21340,37
5(y)	0,00	1032,10	11699,72	4503,76	990,94

### 6.3.4 Kontrol Stabilitas Guling

Perhitungan stabilitas guling menggunakan SF minimal sebesar 2,2. Letak titik guling berada pada ujung pondasi sehingga lengan momen dari titik O adalah sebesar  $B/2 = 3$  m untuk arah x dan  $B/2 = 6$  m untuk arah y. Perhitungan kontrol guling menggunakan rumus sebagai berikut:

$$M_{py} = P \cdot B/2 \cdot (1+k), \quad \text{dengan } k = \text{persen kelebihan beban yang diijinkan (\%)}$$

$$SF = M_p/M > 2.2$$

Hasil perhitungan kontrol stabilitas guling arah x dan arah y dapat dilihat pada **Tabel 6.26** dan **Tabel 6.27**.

Tabel 6.26 Stabilitas Guling Arah X

Kombinasi	k	P (kN)	$M_y$ (kNm)	$M_{py}$ (kNm)	SF	Keterangan
Kombinasi 1	0%	13498,02	2844,88	40494,07	14,23401	>2,2 (OK)
Kombinasi 2	25%	13498,02	3051,60	50617,59	16,58723	>2,2 (OK)
Kombinasi 3	25%	13498,02	2844,88	50617,59	17,79252	>2,2 (OK)
Kombinasi 4	40%	13498,02	3051,60	56691,7	18,5777	>2,2 (OK)
Kombinasi 5 (x)	50%	11699,72	21340,37	52648,76	2,467097	>2,2 (OK)
Kombinasi 5 (y)	50%	11699,72	990,94	52648,76	53,13022	>2,2 (OK)

Tabel 6.27 Stabilitas Guling Arah Y

Kombinasi	k	P (kN)	$M_x$ (kNm)	$M_{px}$ (kNm)	SF	Keterangan
Kombinasi 1	0%	13498,024	0,00	161976,3	$\infty$	>2,2 (OK)
Kombinasi 2	25%	13498,024	0,00	202470,4	$\infty$	>2,2 (OK)
Kombinasi 3	25%	13498,024	949,18	202470,4	213,31	>2,2 (OK)
Kombinasi 4	40%	13498,024	949,18	226766,8	238,9072	>2,2 (OK)
Kombinasi 5 (x)	50%	11699,724	0,00	210595	$\infty$	>2,2 (OK)
Kombinasi 5 (y)	50%	11699,724	4503,76	210595	46,75988	>2,2 (OK)

### 6.3.5 Perencanaan Tiang Pancang

Setelah menghitung kombinasi pembebanan, tahap selanjutnya ialah merencanakan tiang pancang yang tepat dari segi jumlah maupun ukuran. Dalam perencanaan tiang pancang ini menggunakan tiang pancang berbentuk lingkaran berongga dengan diameter luar masing-masing sebesar 40, 50, dan 60 cm. Spesifikasi bahan dapat dilihat pada **Lampiran I**.

### a. Menentukan Kombinasi Tiang

Penentuan jumlah dan jarak antar tiang dibatasi oleh ketentuan berikut;

- Jarak tiang terluar keujung *pilecap* sebesar  $d$
- Jarak antar tiang minimal  $2,5d \leq 3d$

Hasil perhitungan kombinasi tiang beserta jarak antar tiang sepanjang sumbu-x dan sumbu-y dapat dilihat pada tabel berikut.

Tabel 6.28 Hasil Perhitungan Kombinasi Tiang Pancang D40, D50, D60 pada Pilar

DIAMETER (m)	Jarak Pancang ke Tepi	Kebutuhan dalam b	Kebutuhan dalam l	TOTAL	Jarak (m)	
					b	l
0,6	0,6	4	8	32	1,6	1,5
0,5	0,5	5	9	45	1,3	1,4
0,4	0,4	5	10	50	1,3	1,2

Sketsa pemasangan pile berdasarkan tabel diatas dapat dilihat pada **Lampiran IV**.

### b. Mencari $P_{max}$ Tiang

Setelah menemukan kombinasi tiang pancang untuk tiap-tiap diameter tiang yang direncanakan, barulah dapat dihitung kuat maksimum ( $P_{max}$ ) untuk satu tiang pancang. Hasil perhitungan  $P_{max}$  tiang pancang untuk diameter 40,50,60 cm. Persamaan yang digunakan adalah;

$$P_{max} = \frac{\sum V}{n} + \frac{My \cdot x_1}{\sum x_i^2} + \frac{Mx \cdot y_1}{\sum y_i^2}$$

dimana:  $x_1/y_1$  = jarak terjauh *pile* sepanjang sumbu. x/y  
 $\sum x_i^2 / \sum y_i^2$  = jarak *pile* dikalikan jumlah pada jarak tersebut

Maka didapatkan hasil perhitungan untuk Pmax untuk satu tiang pada tiap-tiap ukuran tiang pancang yang dapat dilihat pada tabel berikut.

Tabel 6.29 Hasil perhitungan Pmax Tiang Pancang pada Pilar

Kombinasi	P maksimum (ton)		
	D40	D50	D60
I	30,811	34,281	51,072
II	24,871	27,674	41,374
III	25,800	28,161	42,498
IV	23,233	25,366	38,406
V(x)	34,680	38,763	68,834
V(y)	21,035	21,240	32,926

### c. Kontrol Daya Dukung Tiang

Perhitungan daya dukung tanah menggunakan metode Meyerhoff dan Bazzara menghasilkan grafik hubungan antar kedalaman tiang dan daya dukung tanah yang dapat dilihat pada **Lampiran V**. Melalui grafik tersebut dapat ditentukan kedalaman tiang pancang dengan syarat:  $P_{\max} < (P_{ijin} \times Ef)$  dimana:

$Ef = \text{efisiensi tiang berdasarkan rumusan Seiler-Keeney}$

$$Ef = \left[ 1 - \frac{36S}{(75s^2 - 7)} x \left( \frac{m + n - 2}{m + n - 1} \right) \right] + \frac{0,3}{m + n}$$

dimana:  
 S = jarak antar tiang  
 m = jumlah baris tiang  
 n = jumlah kolom tiang

Hasil perhitungan kontrol daya dukung tiang pancang beserta kedalaman yang dibutuhkan untuk tiap-tiap ukuran tiang pancang pada masing-abutment dapat dilihat pada **Tabel 6.21**.

Tabel 6.30 Hasil Perhitungan Kedalaman Tiang Pancang Rencana untuk Pilar

Diameter (m)	Kedalaman (m)
0,4	30
0,5	28,5
0,6	40,5

#### d. Kontrol Tiang Pancang

Kontrol tiang berfungsi untuk memasikan tiang pancang yang sdah direncanakan tidak mengalami geser lateral dan tidak mengalami *crack* akibat momen. Tahapan yang dilakukan dalam proses kontrol tiang pancang dapat dilihat pada perhitungan dibawah ini. Perhitungan berikut merupakan kontrol lateral untuk diameter 60 cm.

- o Mencari Harga f

Harga f didapatkan melalu grafik dari NAVFAC DM-7 yang sebelumnya telah tercantum pada **Gambar 2.10**. Sebelumnya, perlu ditemukan nilai geser undrained (Cu).

$$N_{SPT} = 1 \rightarrow Cu = 0,5 \text{ KPa} \text{ (Korelasi } N_{SPT})$$

$$Q = 2 \times Cu = 1 \text{ Kpa} = 0,01 \text{ kg/cm}^2 = 0,0102 \text{ ton/ft}^2$$

dari grafik NAVFAC didapatkan nilai  $f = 3 \text{ ton/ft}^2$

$$f = 3 \times 0,032 = 0,096 \text{ kg/cm}^3$$

- o Mencari Nilai T

$$T = (EI/f)$$

$$E = 4700 \times \sqrt{fc} = 332340,19 \text{ kg/cm}^2$$

$$I = 510508,2 \text{ cm}^4$$

$$\text{Maka, } T = 281,5 \text{ cm} = 2,815 \text{ cm}$$

- o Mencari  $F_\delta$  dan  $F_M$

Untuk mencari nilai  $F_\delta$  dan  $F_M$  juga digunakan kurva NAVFAC ang sebelumnya telah tercantum pada **Gambar 2.11**. Namun sebelumnya harus ditentukan nilai L/T dan nilai z ditetapkan pada kedalaman 0 m ( $z = 0$ ). Dimana L = panjang tiang pancang ang digunakan.

$$L/T = 36,5/2,815 = 13$$

dari kurva NAVFAC didapatkan;

$$F_\delta = 0,95 \text{ dan } F_M = 0,86$$

- Perhitungan Geser Lateral

Geser lateral dihitung dengan menggunakan persamaan

$$\delta = F_\delta \left( \frac{PT^3}{EI} \right)$$

Dimana :

$$P = H_{max}/n$$

$H_{max}$  = gaya horizontal maksimum

$n$  = jumlah tiang pancang

$\delta \leq 1 \text{ inch (} 2,54 \text{ cm)}$

Didapatkan  $\delta = 1,2 \text{ cm} < 2,54 \text{ cm}$

Maka tiang pancang rencana aman dari geser lateral

- Perhitungan Momen Maksimum

Geser lateral dihitung dengan menggunakan persamaan

$$M_{pmax} = F_m \cdot P \cdot T$$

Dimana :

$$P = H_{max}/n$$

$H_{max}$  = gaya horizontal maksimum

$n$  = jumlah tiang pancang

$M_{pmax} < \text{Momen crack bahan}$

Didapatkan  $M_{pmax} = 23,52 \text{ ton.m} < M_{crack}$

Maka tiang pancang rencana aman dari retak akibat momen

Hasil kontrol ntuk diameter lainnya pada abutment A-1 dapat dilihat pada tabel berikut.

Tabel 6.31 Hasil Perhitungan Kontrol Tiang Pancang Rencana pada Abutment A-1

Diameter Pancang (cm)	Kontrol Lateral		Kontrol Momen crack	
	Geser Lateral (cm)	Keterangan	M <sub>pmax</sub> (ton.m)	Keterangan
40	1,2	OK	12,03	OK
50	1,1	OK	14,56	OK
60	1,2	OK	30,56	OK

### 6.3.6 Penentuan Tiang Pancang yang Digunakan

Dengan menggunakan brosur harga tiang pancang pada **Lampiran I** dan berdasarkan jumlah perkuatan yang digunakan seperti pada **Sub-Bab 6.1.4**, maka didapat hasil biaya yang dibutuhkan untuk masing-masing diameter tiang, yang ditampilkan pada **Tabel 6.26**.

Tabel 6.32 Harga Masing-Masing Tiang Pancang yang Dipakai

Diameter (m)	Kedalaman (m)	Jumlah (buah)	Harga (Rp.)
0,4	30	50	Rp 570.000.000,00
0,5	28,5	45	Rp 495.000.000,00
0,6	40,5	32	Rp 536.000.000,00

Penentuan tiang pancang yang dipakai ditentukan berdasarkan biaya yang paling ekonomis. Oleh karena itu, untuk abutment A-1 digunakan tiang pancang dengan diameter 0,6 cm.

### 6.3.7 Perhitungan Penulangan Pilar

- *Breast Wall*

Direncanakan dimensi pilar dengan diameter tulangan vertikal adalah 22 mm, dan diameter tulangan horizontal adalah 13 mm. Kekuatan leleh tulangan ( $f_y$ ) adalah 290 MPa, dan kekuatan tekan beton ( $f'_c$ ) adalah K-300. Tebal selimut beton adalah 7,5 cm. Berikut ini adalah beban ultimate yang terjadi pada breast wall;

1. Beban Gempa  
 $H = 2052,79 \text{ kN}$   
 $M = 12833,03 \text{ kNm}$

Didapatkan momen ultimate,  $M_u = 12833,45 \text{ kNm}$   
 $d = 925 \text{ mm} \rightarrow dx = d - 0,5 \text{ } \emptyset - D = 890,5 \text{ mm}$

$$\rho_b = \frac{0.85 \cdot \beta_1 \cdot f'_c}{f_y} \cdot \left( \frac{600}{600 + f_y} \right) = 0,05$$

$$\begin{aligned}\rho_{\max} &= 0,75 \times \rho_b = 0,038 \\ \rho_{\min} &= 1,4/f_y = 0,0048\end{aligned}$$

$$\rho_{\text{perlu}} = \frac{0,85 \cdot f_c}{f_y} \cdot \left( 1 - \sqrt{1 - \frac{2 \cdot R_n}{0,85 \cdot f_c}} \right) = 0,0058$$

$\rho_{\text{perlu}} > \rho_{\min}$  maka digunakan  $\rho_{\text{perlu}}$

As perlu =  $\rho \cdot b \cdot dx = 63514,26 \text{ mm}^2$

Digunakan tulangan D22-70 (As = 63862,3  $\text{mm}^2$ )

Untuk tulangan bagi dipakai 20%As = 12702,85  $\text{mm}^2$

Digunakan tulangan D13-90 (As = 13273,23  $\text{mm}^2$ )

- **Pilecap**

Direncanakan dimensi abutmen dengan diameter tulangan vertikal adalah 22 mm, dan diameter tulangan horizontal adalah 13 mm. Kekuatan leleh tulangan ( $f_y$ ) adalah 290 MPa, dan kekuatan tekan beton ( $f'_c$ ) adalah K-300. Tebal selimut beton adalah 7,5 cm. Berikut ini adalah beban ultimate yang terjadi pada breast wall;

1. Akibat Berat Pilecap  
 $W_s = 61200 \text{ kg}$   
 $M_s = 72000 \text{ kgm}$
2. Akibat Pmax Tiang Pancang  
 $W_p = 348862,7 \text{ kg}$   
 $M_p = 697725,5 \text{ kgm}$

Didapatkan momen ultimate,  $M_u/L = 67786,92 \text{ kgm}$

$d = 550 \text{ mm} \rightarrow dx = d - 0,5 \varnothing - D = 612,5 \text{ mm}$

$$\rho_b = \frac{0,85 \cdot \beta_1 \cdot f_c}{f_y} \cdot \left( \frac{600}{600 + f_y} \right) = 0,05$$

$$\rho_{\max} = 0,75 \times \rho_b = 0,038$$

$$\rho_{\min} = 1,4/f_y = 0,0048$$

$$\rho_{\text{perlu}} = \frac{0.85 \cdot f_c}{f_y} \cdot \left( 1 - \sqrt{1 - \frac{2 \cdot R_n}{0.85 \cdot f_c}} \right) = 0,001$$

$\rho_{\text{perlu}} < \rho_{\min}$  maka digunakan  $\rho_{\min}$

As perlu =  $\rho \cdot b \cdot d_x = 35482,76 \text{ mm}^2$

Digunakan tulangan D22-120 (As = 37598,21  $\text{mm}^2$ )

Untuk tulangan bagi dipakai 20% As = 7096,55  $\text{mm}^2$

Digunakan tulangan D13-220 (As = 7243,91  $\text{mm}^2$ )

## BAB VII

### PERENCANAAN GEOMETRIK JALAN

Perencanaan geometrik yang dimaksud adalah perencanaan geometrik horizontal dan vertikal pada STA 28+513.

#### 7.1 Perencanaan Alinyemen Horizontal

Direncanakan sebuah alinemen horisontal, jika diketahui :

- Kecepatan rencana,  $V_d = 70 \text{ km/jam}$
- Jari-jari tikungan,  $R = 157 \text{ m}$
- Sudut tikungan,  $\Delta = 26^\circ$
- Superelevasi normal,  $e_n = 2\%$
- Superelevasi maksimum,  $e_{maks} = 10\%$
- Lebar jalan = 25 meter untuk dua arah
- Jalan luar kota

sehingga:

Dari Tabel 2.16 (Bina Marga jalan luar kota), didapat :

$$L_s = 60 \text{ m}$$

$$e = 0.10$$

$$> \theta_s = \frac{90 L_s}{\pi R}$$

$$\theta_s = \frac{90 * 60}{\pi * 157} = 12,08 \text{ derajat}$$

$$> L_c = \frac{(\Delta - 2 \theta_s) * \pi R}{180}$$

$$L_c = \frac{(26 - 2 * 12,08) * \pi * 157}{180} = 5,027 \text{ meter}$$

karena  $e=10\%$  lebih besar dari  $3\%$  dan  $L_c=5,027$  lebih kecil dari 25 meter, maka disarankan menggunakan lengkung ***spiral – Spiral***. Sehingga perhitungan parameter lengkung seperti yang disajikan dibawah ini.

$$\begin{aligned}
 &> \theta_s = \frac{1}{2} \Delta \\
 &\theta_s = \frac{1}{2} 26 = 13^\circ \\
 &> \theta_s = \frac{90 L_s}{\pi R} \rightarrow L_s = \frac{\pi R \theta_s}{90} \\
 &L_s = \frac{\pi * 157 * 13}{90} = 71,0274 \text{ meter} \rightarrow \text{cek terhadap :}
 \end{aligned}$$

Cara 1, berdasarkan waktu tempuh di lengkung peralihan

$$L_s = \frac{Vd * t}{3.6} ; t = 3 \text{ detik}$$

$$L_s = \frac{70 * 3}{3.6} = 58,3 \text{ meter}$$

Cara 2, berdasarkan landai relatif

$$L_s_{\min imum} = (e + e_n) * B * m_{maks}$$

$m_{maks} = 157 \text{ m}$  untuk kecepatan 70 km/jam (Tabel 2.16)

$$L_s_{\min imum} = (0.1 + 0.02) * 4 * 137,5 = 66 \text{ meter}$$

Cara 3, berdasarkan rumus Modifikasi Shortt

$$L_s = 0.022 \frac{V^3}{R C} - 2.727 \frac{V e}{C}$$

$$L_s = 0.022 \frac{70^3}{157 * 0.4} - 2.727 \frac{70 * 0.1}{0.4} = 56,9 \text{ meter}$$

**Cara 4**, berdasarkan tingkat pencapaian perubahan kelandaian

$$L_s = \frac{(e_{maks} - e_n) Vd}{3.6 * r_e}$$

$$e_{maks} = 10\%$$

$$r_e = 0.035 \text{ m/m/detik untuk } Vd \leq 70 \text{ km/jam}$$

$$L_s = \frac{(0.10 - 0.02) * 70}{3.6 * 0.035} = 44,44 \text{ meter}$$

Jadi, dari ke empat cara tersebut maka panjang lengkung peralihan Ls rencana adalah 66 meter.

$$> p = \frac{L_s^2}{6 R} - R(1 - \cos \theta s)$$

$$p = \frac{66^2}{6 * 157} - 157 * (1 - \cos 13) = 0,6267 \text{ meter}$$

$$> k = L_s - \frac{L_s^3}{40 R^2} - R * \sin \theta s$$

$$k = 66 - \frac{66^3}{40 * 157^2} - 157 * \sin 10 = 30,5 \text{ meter}$$

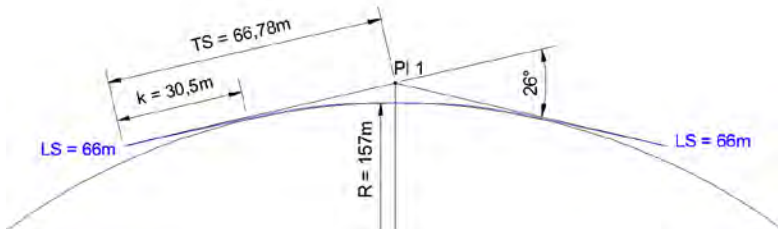
$$> Ts = (R + p) * \tan \left( \frac{1}{2} \Delta \right) + k$$

$$Ts = (157 + 0,627) * \tan \left( \frac{1}{2} * 26 \right) + 30,5 = 66,77 \text{ meter}$$

$$> E = \frac{(R + p)}{\cos \left( \frac{1}{2} \Delta \right)} - R$$

$$E = \frac{157 + 0,6267}{\cos \left( \frac{1}{2} * 26 \right)} - 157 = 4.76 \text{ meter}$$

Gambar hasil perhitungan ditampilkan pada **Gambar 7.1.**



Gambar 7.1 Hasil Alinyemen Horizontal STA 28+513

## 7.2 Perencanaan Alinyemen Vertikal

Direncanakan sebuah alinemen horisontal, jika diketahui :

- kecepatan rencana,  $V_d$  = 70 km/jam
- gradien jalan ( $g_1$ ) = 0%
- gradien oprit ( $g_2$ ) = 3,5%
- perbedaan aljabar kelandaian ( $A$ ) = 0% - 3,5%  
= -3,5% (lengkung vertikal)
- jarak penyinaran ( $S$ ) = 37,2 m

sehingga:

### a. Berdasarkan Jarak Penyinaran Lampu Depan ( $S < L$ )

$$L_v = \frac{AS^2}{120 + 3.50S}$$

$$L_v = \frac{3,5 \times 37,2^2}{120 + 3.50(37,2)}$$

$$L_v = 19,36 \text{ m}$$

### b. Berdasarkan Jarak Penyinaran Lampu Depan ( $S < L$ )

$$L_v = 2S - \frac{120 + 3.5S}{A}$$

$$Lv = 2 \times 37,2 - \frac{120 + 3,5(37,2)}{(3,5)}$$

$$Lv = 2,914 \text{ m}$$

**c. Berdasarkan Syarat Drainase**

$$Lv = 40 \times A$$

$$Lv = 40 \times 3,5$$

$$Lv = 140 \text{ m}$$

**d. Berdasarkan Bentuk Visual**

$$Lv = \frac{AV^2}{380}$$

$$Lv = \frac{3,5 \times 120^2}{380}$$

$$Lv = 45,1316 \text{ m}$$

Dari keempat syarat tersebut, maka diambil Lv terbesar yaitu  $Lv = 45,1316 \text{ m}$  (dengan Lv maksimal drainase = 140m). Kemudian, dimasukkan ke persamaan umum lengkung vertikal,

$$y = \frac{A}{200L} X^2.$$

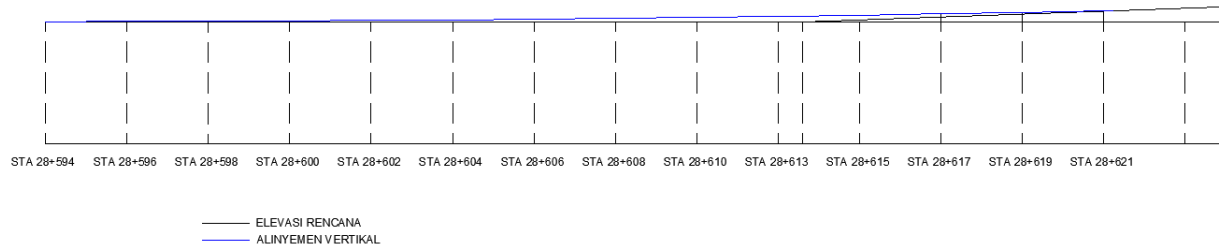
Maka:

$$y = \frac{3,5}{200(45,1316)} X^2$$

Sehingga didapat nilai y dari masing-masing x yang ditampilkan pada **Tabel 7.1** dan **Gambar 7.2**

Tabel 7.1 Hasil Persamaan Umum Lengkung Vertikal pada STA  
28+513

x	y
0	3
2	3.001551
4	3.006204
6	3.013959
8	3.024816
10	3.038776
12	3.055837
14	3.076
16	3.099265
18	3.125633
20	3.155102
22	3.187673
24	3.223347
26	3.262122
28	3.304
30	3.34898
32	3.397061
34	3.448245
36	3.502531
37.2	3.536591
38	3.559918



Gambar 7.2 Hasil Alinyemen Vertikal STA 28+513

*“halaman ini sengaja dikosongkan”*

## **DAFTAR PUSTAKA**

- Das, Braja M. 1988. *Mekanika Tanah: Prinsip-Prinsip Rekayasa Geoteknik jilid 1.* Diterjemahkan oleh Noor Endah dan Indrasurya B.M. Surabaya: Erlangga.
- Das, Braja M. 1988. *Mekanika Tanah: Prinsip-Prinsip Rekayasa Geoteknik jilid 2.* Diterjemahkan oleh Noor Endah dan Indrasurya B.M. Surabaya: Erlangga.
- Mochtar, Noor Endah. 2012. *Modul Ajar Metode Perbaikan Tanah.* Surabaya: Jurusan Teknik Sipil FTSP-ITS.
- Wahyudi, Herman. 1999. *Daya Dukung Pondasi Dalam.* Surabaya: ITS Press.
- Naval Facilities. 1971. *Design Manual: Foundations, and Earth Structures (NACFAC DM-7).* Alexandria: US Department of the Navy.
- Teknik Sipil ITS. 2012. *Modul Rekayasa Jalan Raya (PS-1364).* Surabaya: Teknik Sipil ITS.

*“halaman ini sengaja dikosongkan”*

## **BAB VIII**

### **PENUTUP**

#### **8.1 KESIMPULAN**

Berdasarkan keseluruhan hasil perencanaan yang telah dilakukan dalam penyusunan Tugas Akhir ini dapat ditarik beberapa kesimpulan, diantaranya sebagai berikut :

1. Untuk sisi sebelum sungai,  $H_{\text{inisial}}$  yang terjadi akibat beban yang bekerja di atas tanah dasar masing-masing adalah sebagai berikut:

- timbunan jalan : 4,92 meter
- timbunan oprit trapesium : 6,93 meter
- timbunan tegak : 7,54 meter

Untuk sisi setelah sungai,  $H_{\text{inisial}}$  yang terjadi akibat beban yang bekerja di atas tanah dasar masing-masing adalah sebagai berikut:

- timbunan jalan : 4,8 meter
- timbunan oprit trapesium : 6,94 meter
- timbunan tegak : 7,66 meter

2. Untuk sisi sebelum sungai, besar pemampatan yang terjadi akibat beban yang bekerja di atas tanah dasar masing-masing adalah sebagai berikut:

- timbunan jalan : 1,15 meter
- timbunan oprit trapesium : 1,7 meter
- timbunan tegak : 1,8 meter

Untuk sisi setelah sungai, besar pemampatan yang terjadi akibat beban yang bekerja di atas tanah dasar masing-masing adalah sebagai berikut:

- timbunan jalan : 1 meter
- timbunan oprit trapesium : 1,6 meter
- timbunan tegak : 1,77 meter

3. Hasil perencanaan perkuatan timbunan jalan dan oprit trapesium sisi sebelum sungai dengan menggunakan *geotextile*, adalah sebagai berikut:

- Timbunan jalan  
 jarak antar layer : 30 cm  
 Panjang total per meter : 404 meter  
 Total biaya : Rp 436.292.730,00
- Timbunan oprit trapesium  
 Jarak antar layer : 30 cm  
 Panjang total : 67.728 meter  
 Total biaya : Rp 747.415.684,00

Sedangkan hasil perencanaan perkuatan timbunan jalan dan oprit trapesium sisi setelah sungai dengan menggunakan *geotextile*, adalah sebagai berikut:

- Timbunan jalan  
 Jarak antar layer : 30 cm  
 Panjang total per meter : 429 meter  
 Total biaya : Rp 463.320.000,00
- Timbunan oprit trapesium  
 Jarak antar layer : 30 cm  
 Panjang total per meter : 64.272 meter  
 Total biaya : Rp 710.093.217,00

4. Hasil perencanaan perkuatan timbunan jalan dan oprit trapesium sisi sebelum sungai dengan menggunakan *micropile*, adalah sebagai berikut:

- Timbunan jalan  
 Jumlah per 1 meter : 18 buah  
 Kedalaman *micropile* : 9 meter  
 Jarak antar *micropile* : 2,5 meter  
 Total biaya : Rp 1.073.476.800,00
- Timbunan oprit trapesium  
 Jumlah per 1 meter : 43 buah  
 Kedalaman *micropile* : 11 meter  
 Jarak antar *micropile* : 1 meter  
 Total biaya : Rp 2.257.031.472,00

Sedangkan hasil perencanaan perkuatan timbunan jalan dan oprit trapesium sisi setelah sungai dengan menggunakan *micropile*, adalah sebagai berikut:

- Timbunan jalan

Jumlah per 1 meter	:	15 buah
Kedalaman <i>micropile</i>	:	11 meter
Jarak antar <i>micropile</i>	:	4 meter
Total biaya	:	Rp 1.342.296.000,00
  - Timbunan oprit trapesium

Jumlah per 1 meter	:	49 buah
Kedalaman <i>micropile</i>	:	11 meter
Jarak antar <i>micropile</i>	:	1,2 meter
Total biaya:		Rp 2.338.106.736,00
5. Hasil dimensi abutmen dan pilar ditampilkan pada **Lampiran 6**. Diameter tiang pancang dan harga material yang paling ekonomis adalah sebagai berikut:
- Abutmen 1
 

Diameter	:	50 cm
Kedalaman	:	31 meter
Jumlah	:	45 buah
Harga Total	:	Rp 495.000.000,00
  - Abutmen 2
 

Diameter	:	60 cm
Kedalaman	:	32,5 meter
Jumlah	:	32 buah
Harga Total	:	Rp 428.800.000,00
  - Pilar
 

Diameter	:	50 cm
Kedalaman	:	28,5 meter
Jumlah	:	45 buah
Harga Total	:	Rp 495.000.000,00
6. Perkuatan arah longitudinal diperlukan untuk mengurangi tekanan aktif tanah. Bentuk perkuatannya yaitu sama dengan perkuatan timbunan oprit tegak, namun dipasang

memanjang. Hasil gambar perencanaan ditampilkan pada **Lampiran 6**.

## 8.2 SARAN

Saran yang dapat diberikan berdasarkan hasil analisa dalam Tugas Akhir ini meliputi :

1. Sebaiknya perencanaan timbunan menggunakan timbunan *counterweight* untuk mengurangi penggunaan perkuatan timbunan.
2. Pada perencanaan abutment berikutnya sebaiknya direncanakan menggunakan *sub-drain* untuk mengurangi tegangan aktif air.
3. Perencanaan timbunan sebaiknya mempertimbangkan lokasi di sekitar.
4. Untuk perencanaan lebih lanjut, jenis jembatan yang lain dapat dipertimbangkan.

## LAMPIRAN 1

### DATA PERENCANAAN

Table 3.2 : Bor and SPT point B - 1

Bore No. : B - 1  
 Project : Dermaga Terminal Petikemas Semarang  
 Location : Pelabuhan Tanjung Emas Semarang  
 Elevation : -3.250 m L.W.S.  
 Sea Bed

Coordinates of GPS      X = 0436351  
 Y = 9233240  
 Diameter of Bore : 73 mm  
 Diameter of Casing : 89 mm

Elevation (m LWS)	DEPTH (m)	BORE LOG	Standard Penetration Test (SPT) N / 30 cm	DESCRIPTION	COLOUR	S P T Value Depth sample ( Blow / 30 cm )	Grain Size Analysis (%)				Physical Properties			
							Gravel (%)	Sand (%)	Silt (%)	Clay (%)	Water Content (%)	Specific Gravity GS	Dry Density ( yd ) (gr/cm³)	Porosity n
-3.250	0													
-4.250	1													
-5.250	2													
-6.250	3													
-7.250	4													
-8.250	5													
-9.250	6													
-10.250	7													
-11.250	8													
-12.250	9													
-13.250	10													
-14.250	11													
-15.250	12													
-16.250	13													
-17.250	14													
-18.250	15													
-19.250	16													
-20.250	17													
-21.250	18													
-22.250	19													
-23.250	20													
-24.250	21													
-25.250	22													
-26.250	23													
-27.250	24													
-28.250	25													
-29.250	26													
-30.250	27													
-31.250	28													
-32.250	29													
-33.250	30													
-34.250	31													
-35.250	32													
-36.250	33													
-37.250	34													
-38.250	35													
-39.250	36													
-40.250	37													

Gambar 1. Hasil Penyelidikan Tanah (Bore Log) Titik B-

Table 3.3 : Bor and SPT point B - 2

Bore No. : B - 2  
 Project : Dermaga Terminal Petikemas Semarang  
 Location : Pelabuhan Tanjung Emas Semarang  
 Elevation : -3.200 m L.W.S.  
 Sea Bed

Coordinates of GPS X = 0436331  
 Y = 9233292  
 Diameter of Bore : 73 mm  
 Diameter of Casing : 89 mm

**BORE LOG**

Elevation (m LWS)	DEPTH (m)	BORE LOG	Standard Penetration Test (SPT) N / 30 cm	DESCRIPTION	COLOUR	S P T Value Depth sample ( Blow / 30 cm )	Grain Size Analysis (%)				Physical Properties			
							Gravel (%)	Sand (%)	Silt (%)	Clay (%)	Water Content (%)	Specific Gravity GS	Dry Density (yd <sup>3</sup> ) (gr/cm <sup>3</sup> )	Porosity n
-3.200	0		0 20 40 60 80											
-4.200	1													
-5.200	2													
-6.200	3													
-7.200	4													
-8.200	5													
-9.200	6													
-10.200	7													
-11.200	8													
-12.200	9													
-13.200	10													
-14.200	11													
-15.200	12													
-16.200	13													
-17.200	14													
-18.200	15													
-19.200	16													
-20.200	17													
-21.200	18													
-22.200	19													
-23.200	20													
-24.200	21													
-25.200	22													
-26.200	23													
-27.200	24													
-28.200	25													
-29.200	26													
-30.200	27													
-31.200	28													
-32.200	29													
-33.200	30													
-34.200	31													
-35.200	32													
-36.200	33													
-37.200	34													
-38.200	35													
-39.200	36													
-40.200	37													
-41.200	38													
-42.200	39													
-43.200	40													
-44.200	41													
-45.200	42													
-46.200	43													
-47.200	44													

Gambar 2. Hasil Penyelidikan Tanah (Bore Log) Titik B-2

Bore No. : B - 3  
 Project : Reklamasi Terminal Petikemas Semarang  
 Location : Pelabuhan Tanjung Emas Semarang  
 Elevation : -3.150 m L.W.S.  
 Sea Bed

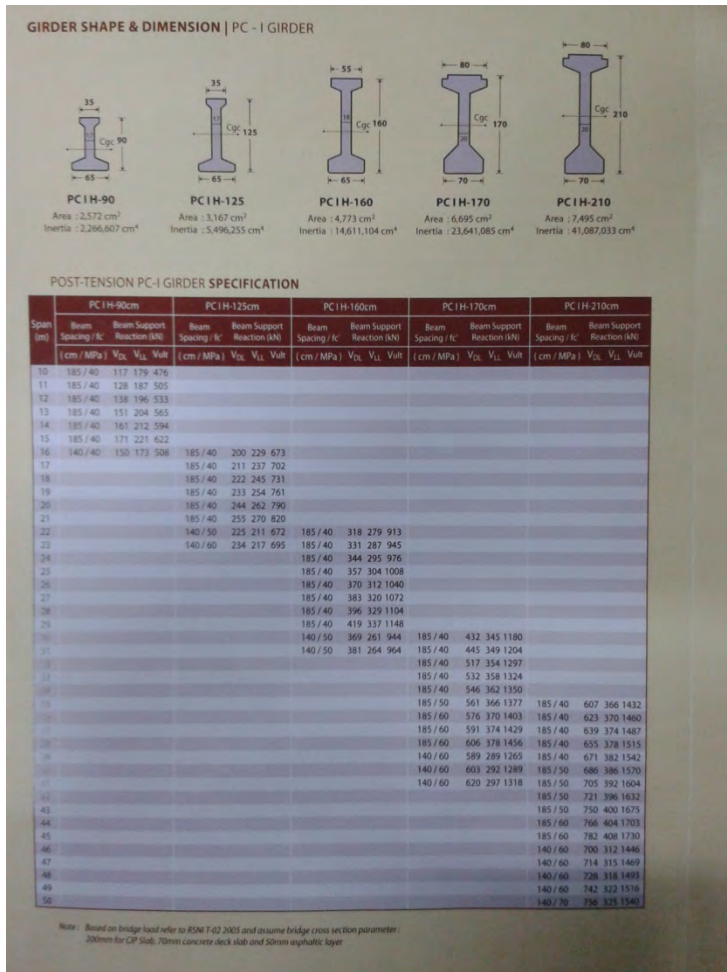
Coordinates of GPS X = 0436427  
 Y = 9233222  
 Diameter of Bore : 73 mm  
 Diameter of Casing : 89 mm

**BORE LOG**

Elevation (m LWS)	DEPTH (m)	BORE LOG	Standard Penetration Test (SPT) N / 30 cm	Vane Shear Test Cu (ton/m <sup>2</sup> )	DESCRIPTION	COLOUR	S P T Value Depth sample ( Blow / 30 cm )	Grain Size Analysis (%)				Physical Properties				Mechanical Properties					
								Gravel (%)	Sand (%)	Silt (%)	Clay (%)	Water Content (%)	Specific Gravity GS	Dry Density ( $\gamma_d$ ) (gr/cm <sup>3</sup> )	Porosity n	Void Ratio e	Atterberg Test		Consolidation Test		
																LL %	PL %	IP %	Cc cm <sup>2</sup> /detik		
-3.150	0			0 10 20 30 40	0 1 2 3			0.29	4.62	48.60	46.49	68.97	2.566	0.924	0.639	1.770	73.58	34.33	39.26	1.46	1.36E-03
-4.150	1			11				0.00	14.19	45.05	40.76	59.12	2.638	1.092	0.609	1.559	70.45	33.26	37.19	1.60	1.54E-03
-5.150	2			11				0.13	1.50	51.05	47.31	67.86	2.567	0.892	0.635	1.742	78.39	36.16	42.24	1.58	1.38E-03
-6.150	3			11				0 + 1 + 0 = 1													
-7.150	4			11				1.00 - 1.50 m													
-8.150	5			11				0 + 1 + 0 = 1													
-9.150	6			11				4.00 - 4.50 m													
-10.150	7			11				0 + 1 + 0 = 1													
-11.150	8			11				7.00 - 7.50 m													
-12.150	9			11				1.18	1.14	52.02	45.66	63.16	2.571	0.908	0.619	1.624	75.41	35.19	40.23	1.57	1.38E-03
-13.150	10			11				0 + 1 + 0 = 1													
-14.150	11			11				10.00 - 10.50 m													
-15.150	12			11				0.60	1.44	51.20	46.76	61.90	2.572	1.004	0.614	1.592	73.76	33.44	40.32	1.55	1.28E-03
-16.150	13			11				1 + 2 + 2 = 4													
-17.150	14			11				13.00 - 13.50 m													
-18.150	15			11				1.13	1.75	50.70	46.42	62.50	2.581	0.956	0.617	1.613	73.58	33.47	40.11	1.52	1.38E-03
-19.150	16			11				1 + 2 + 2 = 4													
-20.150	17			11				16.00 - 16.50 m													
-21.150	18			11				1.74	1.94	50.56	45.76	58.40	2.604	0.996	0.603	1.521	73.76	35.24	38.52	1.52	1.26E-03
-22.150	19			11				1 + 2 + 2 = 4													
-23.150	20			11				19.00 - 19.50 m													
-24.150	21			11				0.00	1.21	52.28	46.51	56.20	2.611	0.964	0.595	1.468	73.40	33.31	40.08	1.49	1.20E-03
-25.150	22			11				2 + 2 + 3 = 5													
-26.150	23			11				22.00 - 22.50 m													
-27.150	24			11				0.00	1.02	52.21	46.77	45.58	2.618	1.171	0.544	1.193	75.85	34.19	41.66	1.69	1.60E-03
-28.150	25			11				3 + 4 + 4 = 8													
-29.150	26			11				25.00 - 25.50 m													
-30.150	27			11				0.00	1.05	52.40	46.55	40.38	2.605	1.243	0.513	1.052	78.22	36.66	41.56	1.56	1.20E-03
-31.150	28			11				5 + 7 + 9 = 16													
-32.150	29			11				28.00 - 28.50 m													
-33.150	30			11				9.16	1.88	49.80	39.15	34.12	2.628	1.354	0.473	0.897	68.58	29.85	38.73	1.39	7.60E-04
-34.150	31			11				4 + 6 + 9 = 15													
								31.00 - 31.50 m													

Gambar 3. Hasil Penyelidikan Tanah (Bore Log) Titik B-3

## BROSUR GIRDER JEMBATAN



Gambar I.4 Brosur Girder Jembatan WIKA BETON

## BROSUR TIANG PANCANG

Specification of Material								
Item	Reference	Description			Specification			
Aggregate	ASTM C33 - 1999 NI 2 PBI - 1971	Standard Specification for Concrete Aggregates Indonesian Concrete Code						
Cement	SNI 15-2049 - 2004	Portland Cement				Standard product type I Special order : type II or V		
Admixture	ASTM C494 - 1985	Standard Specification for Chemical Admixture for Concrete				Type F : water reducing admixtures		
Concrete	SNI 03-2847-2002	Indonesian Concrete Code				Compressive Strength at: 28 days : 600 kgf/cm <sup>2</sup> (cube)		
PC Wire	JIS G 3536 - 1999	Uncoated Stress-Relieved Steel Wire and Strand for Prestressed Concrete				SWPD 1		
PC Bar	JIS G 3137 - 1994	Small Size Deformed Steel Bars for Prestressed Concrete				SBPDL 1275/1420		
Spiral Wire Joint Plate	JIS G 3532 - 2000 JIS G 3101 - 2004	Low Carbon Steel Wire Rolled Steel for General Structure				SWMA / SWMP SS-400		
Welding	ANSI / AWS D1.1 - 1990	Structural Welding Code-Steel				AWS A.S.1 / E 6013 NIKKO STEEL RB 26 / RD 260, LION 26, or equivalent		

Classification								
Outside Diameter (mm)	Wall Thickness (mm)	Class	Concrete Cross Section (cm <sup>2</sup> )	Unit Weight (Kg/m)	Length (m)	Bending Moment Crack (Ton.m)	Moment Ultimate (Ton.m)	Allowable Axial Load (Ton)
300	60	A1 A3 B C	452	113	6 - 13	2.50 3.00 3.50 4.00	3.75 4.50 6.30 8.00	72.60 70.75 67.50 65.40
350	65	A1 A3 B C	582	145	6 - 15	3.50 4.20 5.00 6.00	5.25 6.30 9.00 12.00	93.10 89.50 86.40 85.00
400	75	A2 A3 B C	766	191	6 - 16	5.50 6.50 7.50 9.00	8.25 9.75 13.50 18.00	121.10 117.60 114.40 111.50
450	80	A1 A2 A3 B C	930	232	6 - 16	7.50 8.50 10.00 11.00 12.50	11.25 12.75 15.00 19.80 25.00	149.50 145.80 143.80 139.10 134.90
500	90	A1 A2 A3 B C	1159	290	6 - 16	10.50 12.50 14.00 15.00 17.00	15.75 18.75 21.00 27.00 34.00	185.30 181.70 178.20 174.90 ↗ 169.00
600	100	A1 A2 A3 B C	1571	393	6 - 16	17.00 19.00 22.00 25.00 29.00	25.50 28.50 33.00 45.00 58.00	252.70 249.00 243.20 238.30 229.50

Gambar I.5 Brosur Tiang Pancang (*Spun Piles*) WIKA

## BROSUR PVD

Advanced Geosynthetic Solutions

### History

#### Prefabricated Vertical Drains (PVD)

The vertical drain system has been used since 1930, to accelerate the consolidation settlement process, induced by the pre-loading of normally consolidated low-permeability soil. By introducing the vertical drains the drainage paths are shortened and, therefore, the time required for excess pore water pressure, induced by the loading operation, to dissipate will be significantly reduced. The depth of drain installation and the applied loads are continuously increasing, which demands a continuous increase in the standards of the vertical drain quality. CeTeau drain is designed for application under the most severe conditions; it has been successfully used for projects where a high drain standard was required. The advantage of using CeTeau-Drain is that it will reduce the construction time and eliminate the risk of slopeplane failures.



PVD Installation Machine 1935

### PVD Installation Machine

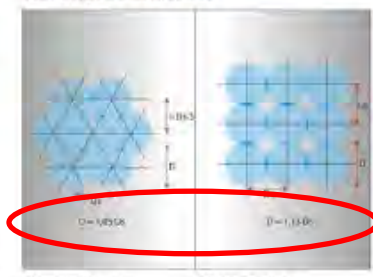
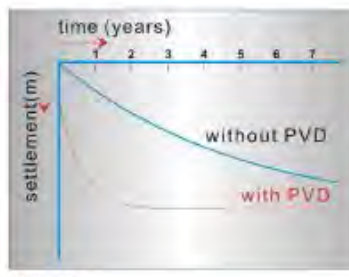
PVDs are relatively inexpensive, provide high water conductivity and can easily be installed at close spacing, thus shortening the path of the pore water in the impermeable soil and expediting the consolidation process. The graph below shows the effect of PVD in the consolidation process.

#### The advantages of PVD

- Limited disturbance to the substrata
- Capable of installation to a depth of 60m
- Monitoring of the installation process
- High installation speed 1500 m/hr<sup>-1</sup>
- Close spacing is possible
- Proven performance



Modern PVD installation Machines



Gambar I.6 Brosur PVD

**BROSUR GEOTEXTILE****Kalpesh Synthetics Pvt Ltd .****TEST CERTIFICATE**

Quality : Woven Polypropylene Multifilament Geotextile -500 GSM

## Test Results

Sr No:	Testing Properties	Testing Methods	Our Observed Values
1	Mechanical Tensile Strength Warp - KN/Mt ( Min ) Weft -KN/Mt ( Min )	IS - 1969	120 95
2	Elongation At Break ( Max ) Warp ( % ) Weft ( % )	IS-1969	25 25
3	Puncture Strength ( N )	ASTM D : 4833	1200
4	Trapizodial Tear - N ( Min ) Warp Weft	ASTM D: 4533	2000 1800
5	Water permeability ( Min ) Lt/m <sup>2</sup> /Sec	ASTM D : 4491	9
6	GSM ( Gram per Square Meter )	ASTM D :5261	500
7	AOS ( Apparent Opening Size ) ( MM )	ASTM D :4751	0.075
8	UV Resistance	ASTM D:4355	Above 80 % Strength Retention after 500 Hrs of Outdoor Weathering
10	Thickness		1.4

**Registered Office**

M/S Kalpesh Synthetics Pvt Ltd (Technical Textile Division) 8, Kuntal, Modi Industrial Estate,

L.B.S Marg, Ghatkopar (W), Mumbai -400086, India :Tel. No +91-022-32917516/17/18

**Factory Address**

Village: Dehri, Taluka: Umbergaon, Dist. Bulsar, Gujarat -396171, India :Tel No: 0260 - 2562469, 3290622, 3266968

**Gambar I.7 Brosur Geotextile Kalpesh Synthetics Pvt Ltd.**

**HARGA GEOTEXTILE**



# **UnggulTex**

POLYPROPYLENE WOVEN GEOTEXTILES

---

### TECHNICAL SPESIFICATIONS

PROPERTIES	UNIT	TEST METHOD	UW - 150	UW - 200	UW - 250
<b>Physical Properties</b>					
Mass	g/m <sup>2</sup>	ASTM D 5261-92	150	200	250
Thickness	mm	ASTM D 5199-91	0.5	0.6	0.7
Colour	-	-	Black	Black	Black
<b>Mechanical Properties</b>					
Strip Tensile Strength (Wrats/Weft)	kN/m	ASTM D 4595-94	37/35	42/39	52/52
Elongation at Max. Load (Wrab/Weft)	%	ASTM D 4595-94	19/18	20/20	20/20
Grip Tensile Strength (Wrats/Weft)	N	ASTM D 4632-91	1210/1200	1600/1600	1750/1750
Elongation at Max. Load (Wrab/Weft)	%	ASTM D 4632-91	14/13	22/22	23/23
Trapezoidal Tear Strength (Wrab/Weft)	N	ASTM D 4533-91	615/615	700/700	800/800
<b>Hydraulic Properties</b>					
Flow Rate Q <sub>0</sub>	μm	ASTM D 4751-95	320	275	250
Water Permeability	l/m <sup>2</sup> /sec	100 mm water head	28	16	7.5
<b>Environmental Properties</b>					
Effect of soil Alkalinity	-	-	nil	nil	nil
Effect of soil Acidity	-	-	nil	nil	nil
Effect of Bacteria	-	-	nil	nil	nil
Effect of U.V. Light	-	-	Stabilized	Stabilized	Stabilized
<b>Packaging</b>					
Roll Length	m	-	150 - 200	150 - 200	150 - 200
Roll Width	m	-	3 - 4	3 - 4	3 - 4
Roll Area	m <sup>2</sup>	-	640 - 760	640 - 760	640 - 760
Roll Diameter (Approx)	m	-	0.4 - 0.5	0.4 - 0.5	0.4 - 0.5
Roll Weight (Approx)	kg	-	90 - 114	128 - 152	160 - 180

All information, illustration and specification are based on the latest product information available at the time of printing.  
The right is reserved to make changes at any time without notice.

Distributed by :

**PT. TEKNINDO GEOSISTEM UNGGUL**  
   
 Wisma SGER Building, 1<sup>st</sup> Floor, Jl. Rungkut Industri Raya 10, Surabaya 62293  
 Tel. 031-8475062 Fax. 031-8475063  
 Website : [www.geosistem.co.id](http://www.geosistem.co.id) Email : [info@geosistem.co.id](mailto:info@geosistem.co.id)

Gambar I.8 Brosur *Geotextile Unggul-Tex UW-250*

**feedback@service.alibaba.com** Jun27 pada 9:22 AM  
Ke dedy\_manu@yahoo.com

Email ini berisi gambar yang diblokir. [Tampilkan Gambar](#) [Ubah pengaturan ini](#)

logo

The following message was generated before 26 Jun 2015 19:22(PST)

Dear Dedy Manudianto, you got a message:

Dona Xu RE: Price inquiry from Dedy Manudianto in Indonesia 26 Jun 2015 19:22

Hi Dedy,

OK, 1mx4040m=40400square meters. So one 40GP is no problem.  
The FOB price of 40400 square meters is US\$33936,US\$0.84/m2.

Dona Xu RE: Price inquiry from Dedy Manudianto in Indonesia 26 Jun 2015 20:03

Hi Dedy,

The following is the price:

42900 meters (1 meter width); FOB price total: US\$35949,about 0.838/m2, Need one 40GP.  
67728 meters (1 meter width);FOB price total:US\$56059.68,about 0.828/m2.Need one 40HQ.  
64272 meters (1 meter width);FOB price total: US\$53260.32,about 0.829/m2.Need one 40HQ.

The PI is a file for price and payment terms,but you don't have obligation to pay that.

Best regards,  
Dona

Gambar I.9 Harga *Geotextile Kalpesh Synthetics Pvt Ltd.*



Nomor : TEK/TRD-764/Stf.TRD/GEO/X/2013 Surabaya, 08 Oktober 2013  
Lampiran : Brosur dan Spesifikasi Teknik produk

Kepada Yth,  
Bapak Satrio Yudhawan  
Teknik Stipl UGM  
Yogyakarta

Perihal : Info Harga Material Geotextile Non Woven dan Geotextile Woven.

Dengan hormat,

Bersama ini kami mengajukan penawaran harga pengadaan material Geotextile Non Woven dan Geotextile Woven, sebagai berikut :

No.	URAIAN PEKERJAAN	SAT	VOLUME	HARGA SATUAN	HARGA SATUAN
1	PENGADAAN MATERIAL				
1	Geotextile Non Woven Merk / Tipe : Unigrid UWW-20 Tebal : 0,4mm Asli : Indonesia	M2	400.00	Rp. 12.500	Rp. 5.000.000
2	Geotextile Woven Merk / Tipe : Unigrid W / W-20 Tebal : 0,75mm Asli : Indonesia	M2	00.00	Rp. 14.000	Rp. 13.400.000

Kondisi penawaran harga :

1. Harga pekerjaan belum termasuk PPN 10%
2. Harga material franco Gudang PT. TGU, Jl. Raya Gilang No. 29A, Taman - Sidoarjo
3. Cara pembayaran dibicarakan saat negosiasi dan klarifikasi penawaran harga
4. Pesanan barang dalam satuan rol standart pabrik
5. Hal-hal lain diuraikan dalam PO/SPPK/Kontrak pekerjaan
6. Masa berlaku penawaran harga = 30 hari sejak tanggal surat penawaran ini

Demikian, terima kasih atas kesempatan dan kepercayaan yang diberikan kepada kami.

Hormat kami,

PT. TEKNINDO GEOSISTEM UNGGUL



Jilly Kriana Rulita  
Marketing Engineer  
HP : 083831290012  
E-mail : [jilly@geosistem.co.id](mailto:jilly@geosistem.co.id)

PPJ : JKR  
RP3 : CM-0499.10-2013  
FP2 : M-0499.10-2013

PT. TEKNINDO GEOSISTEM UNGGUL  
1<sup>st</sup> Floor, Wiara SIER Building,  
Jl. Rungkit Industri Raya No.10, Surabaya 60293  
Tel. +62-31-8475082 Fax. +62-31-8475083 Email : [info@geosistem.co.id](mailto:info@geosistem.co.id)  
Website : [www.geosistem.co.id](http://www.geosistem.co.id)



Gambar I.10 Harga Geotextile Kalpesh Synthetics Pvt Ltd.

## DATA MICROPILE



No	Type	Gbr	Mutu	Tulangan	Sengkang	Dimensi		Berat Beton	P ( beban )	Transportasi		Harga				Jasa pemancangan
			Beton	besi ø	besi ø	Sisi (cm)	Panjang (m)	kgr/m <sup>3</sup>	Vertikal (ton)	min 10 m <sup>3</sup>	per 1 m	per 2 m	per 3 m	per 6 m	n = 350 m <sup>3</sup>	
1	Segi Empat		K - 450	10	6	16	6	61.4 Kq	21	Rp 11.520 /M	Rp 99.429	Rp 198.859	Rp 298.288	Rp 596.576	Rp 28.285.71	
			K - 450	12	6	16	6	61.4 Kq	23	Rp 11.520 /M	Rp 109.291	Rp 218.582	Rp 327.873	Rp 655.746	Rp 30.000.00	
			K - 450	13	6	16	6	61.4 Kq	23	Rp 11.520 /M	Rp 114.894	Rp 229.788	Rp 344.683	Rp 689.365	Rp 30.000.00	

No	Type	Gbr	Mutu	Tulangan	Sengkang	Dimensi		Berat Beton	P ( beban )	Transportasi		Harga				Jasa pemancangan
			Beton	besi ø	besi ø	Sisi (cm)	Panjang (m)	kgr/m <sup>3</sup>	Vertikal (ton)	min 10 m <sup>3</sup>	per 1 m	per 2 m	per 3 m	per 6 m	n = 350 m <sup>3</sup>	
1	Segi Empat		K - 450	10	6	18	6	77.8 Kq	26	Rp 14.580 /M	Rp 116.353	Rp 232.726	Rp 349.089	Rp 698.178	Rp 28.285.71	
			K - 450	12	6	18	6	77.8 Kq	27	Rp 14.580 /M	Rp 126.225	Rp 252.449	Rp 378.674	Rp 757.348	Rp 30.000.00	
			K - 450	13	6	18	6	77.8 Kq	28	Rp 14.580 /M	Rp 131.828	Rp 263.656	Rp 395.483	Rp 790.967	Rp 30.000.00	

No	Type	Gbr	Mutu	Tulangan	Sengkang	Dimensi		Berat Beton	P ( beban )	Transportasi		Harga				Jasa pemancangan
			Beton	besi ø	besi ø	Sisi (cm)	Panjang (m)	kgr/m <sup>3</sup>	Vertikal (ton)	min 10 m <sup>3</sup>	per 1 m	per 2 m	per 3 m	per 6 m	n = 350 m <sup>3</sup>	
1	Segi Empat		K - 450	12	6	20	6	96.0 Kq	33	Rp 18.000 /M	Rp 145.050	Rp 290.100	Rp 435.149	Rp 870.299	Rp 28.285.71	
			K - 450	13	6	20	6	96.0 Kq	34	Rp 18.000 /M	Rp 150.653	Rp 301.306	Rp 451.959	Rp 903.918	Rp 30.000.00	
			K - 450	16	8	20	6	96.0 Kq	36	Rp 18.000 /M	Rp 184.655	Rp 369.310	Rp 553.968	Rp 1.107.931	Rp 30.000.00	

Gambar I.11 Brosur Spesifikasi dan Daftar Harga *Micropile* ATA BETON

# PT. KENCANA ABADI

Distributors segala keperluan proyek dan bangunan

## HARGA TIANG PANCANG BULAT / SPUN PILE



BBRP berdiri sejak tahun 1995 adalah perusahaan pembuat tiang pancang bulat pertama yang berdomisili di Jakarta. Membuat tiang pancang bulat / Spun Pile dan ukuran diameter 30cm, 35cm, 40cm, 45cm, 50cm & 60cm dengan Concrete Strength K-400, saat ini memiliki stock ratusan batang dengan berbagai ukuran & panjang berasingan. Kualitas terjamin Adapun variansi panjang tiang pancang adalah 12 m, 10 m, 9 m and 8 m.



### SPECIFIKASI DAN HARGA

#### 1. Spesifikasi Harga

- Diameter: 30cm
- Panjang : 6m/8m
- Harga : Rp 3.000.000 / Batang

#### 2. Spesifikasi Harga

- Diameter: 40cm
- Panjang : 8m/10m
- Harga : Rp 3.600.000 / Batang

#### 3. Spesifikasi harga

- Diameter: 50cm
- Panjang : 12m/14m
- Harga : Rp 5.500.000 / Batang

#### 4. Spesifikasi Harga

- Diameter: 60cm
- Panjang : 10m/16m
- Harga : Rp 6.700.000 / Batang

*Our product Pre-stressed Spun Concrete Piles "TECKON" are manufacture in compliance with JIS A 5335-1987 and generally conforming to other specification (ACI543-1979& BS.8004-1988/BS.8110-1985) PC Bar and Spiral Wires comply with JIS G 3137-1994 and BS4482*

Gambar I.12 Daftar Harga Tiang Pancang yang Dipakai

*“halaman ini sengaja dikosongkan”*

**LAMPIRAN 2**  
**TABEL PERHITUNGAN TIMBUNAN TRAPESIUM SEBELUM SUNGAI**

Tabel 1 . Tabel q total yang digunakan

H beban timb (m)	q lalu lintas (t/m <sup>2</sup> )	H traffic (m)	H total (m)	a (m)	b (m)	q total (t/m <sup>2</sup> )
1	1	0.541	1.541	3.081	12.5	2.85
3	1	0.541	3.541	7.081	12.5	6.55
5	1	0.541	5.541	11.081	12.5	10.25
7	1	0.541	7.541	15.081	12.5	13.95
9	1	0.541	9.541	19.081	12.5	17.65
11	1	0.541	11.541	23.081	12.5	21.35
13	1	0.541	13.541	27.081	12.5	25.05

Tabel 2. Tabel Perhitungan Tegangan Overburden Efektif

kedalaman (m)	$\sigma'$ (t/m <sup>2</sup> )
0-1	0.278
1-2	0.833
2-3	1.388
3-4	1.944
4-5	2.506
5-6	3.076
6-7	3.657
7-8	4.250
8-9	4.844
9-10	5.437
10-11	6.034
11-12	6.634
12-13	7.234
13-14	7.833
14-15	8.432
15-16	9.030
16-17	9.631
17-18	10.235
18-19	10.880
19-20	11.509
20-21	12.157
21-22	12.805
22-23	13.437
23-24	14.051
24-25	14.666
25-26	15.331
26-27	16.048
27-28	16.805
28-29	17.604
29-30	18.403
30-31	19.225
31-32	20.071
32-33	20.918
33-34	21.764

Tabel 3 Tabel Hasil Perhitungan Distribusi Tegangan Akibat Tanah Timbunan

akibat timbunan kedalaman (m)	Q = $\frac{z}{(m)}$	6.55	t/m (t/m <sup>2</sup> )	a (m)	b (m)	$\sigma'$ (t/m <sup>2</sup> )	akibat timbunan kedalaman (m)	Q = $\frac{z}{(m)}$	10.25	t/m (t/m <sup>2</sup> )	a (m)	b (m)	$\sigma'$ (t/m <sup>2</sup> )	akibat timbunan kedalaman (m)	Q = $\frac{z}{(m)}$	13.95	t/m (t/m <sup>2</sup> )	a (m)	b (m)	$\sigma'$ (t/m <sup>2</sup> )
0-1	0.5	7.081	12.500	0.83	87.71	6.5439	0-1	0.5	11.081	12.500	1.08	87.71	10.25	0-1	0.5	15.081	12.500	1.25	87.71	13.95
1-2	1.1	7.081	12.5	1.81	84.37	6.549	1-2	1.1	11.081	12.5	2.36	84.37	10.249	1-2	1.1	15.081	12.5	2.75	84.37	13.945
2-3	1.7	7.081	12.5	2.78	82.26	6.5464	2-3	1.7	11.081	12.5	3.62	82.26	10.246	2-3	1.7	15.081	12.5	4.22	82.26	13.945
3-4	2.3	7.081	12.5	3.73	79.57	6.5412	3-4	2.3	11.081	12.5	4.86	79.57	10.239	3-4	2.3	15.081	12.5	5.66	79.57	13.938
4-5	2.9	7.081	12.5	4.64	76.94	6.5326	4-5	2.9	11.081	12.5	6.05	76.94	10.229	4-5	2.9	15.081	12.5	7.06	76.94	13.927
5-6	3.5	7.081	12.5	5.51	74.36	6.5201	5-6	3.5	11.081	12.5	7.20	74.36	10.213	5-6	3.5	15.081	12.5	8.41	74.36	13.909
6-7	4.1	7.081	12.5	6.33	71.84	6.503	6-7	4.1	11.081	12.5	8.30	71.84	10.193	6-7	4.1	15.081	12.5	9.70	71.84	13.886
7-8	4.7	7.081	12.5	7.11	69.39	6.481	7-8	4.7	11.081	12.5	9.33	69.39	10.165	7-8	4.7	15.081	12.5	10.94	69.39	13.856
8-9	5.3	7.081	12.5	7.83	67.02	6.4539	8-9	5.3	11.081	12.5	10.31	67.02	10.132	8-9	5.3	15.081	12.5	12.10	67.02	13.818
9-10	5.9	7.081	12.5	8.50	64.73	6.4216	9-10	5.9	11.081	12.5	11.22	64.73	10.092	9-10	5.9	15.081	12.5	13.19	64.73	13.773
10-11	6.5	7.081	12.5	9.11	62.53	6.384	10-11	6.5	11.081	12.5	12.06	62.53	10.045	10-11	6.5	15.081	12.5	14.21	62.53	13.721
11-12	7.1	7.081	12.5	9.67	60.40	6.3413	11-12	7.1	11.081	12.5	12.84	60.40	9.9312	11-12	7.1	15.081	12.5	15.16	60.40	13.66
12-13	7.7	7.081	12.5	10.17	58.37	6.2938	12-13	7.7	11.081	12.5	13.55	58.37	9.9312	12-13	7.7	15.081	12.5	16.03	58.37	13.532
13-14	8.3	7.081	12.5	10.61	56.42	6.2417	13-14	8.3	11.081	12.5	14.19	56.42	9.865	13-14	8.3	15.081	12.5	16.84	56.42	13.517
14-15	8.9	7.081	12.5	11.01	54.55	6.1853	14-15	8.9	11.081	12.5	14.77	54.55	9.793	14-15	8.9	15.081	12.5	17.57	54.55	13.435
15-16	9.5	7.081	12.5	11.35	52.77	6.1251	15-16	9.5	11.081	12.5	15.29	52.77	9.7156	15-16	9.5	15.081	12.5	18.23	52.77	13.346
16-17	10.1	7.081	12.5	11.65	51.06	6.0614	16-17	10.1	11.081	12.5	15.75	51.06	9.6331	16-17	10.1	15.081	12.5	18.83	51.06	13.251
17-18	10.7	7.081	12.5	11.91	49.44	5.9546	17-18	10.7	11.081	12.5	16.16	49.44	9.5461	17-18	10.7	15.081	12.5	19.36	49.44	13.151
18-19	11.3	7.081	12.5	12.29	47.89	5.9252	18-19	11.3	11.081	12.5	16.51	47.89	9.4551	18-19	11.3	15.081	12.5	19.83	47.89	13.045
19-20	11.9	7.081	12.5	12.59	46.41	5.8835	19-20	11.9	11.081	12.5	16.81	46.41	9.3605	19-20	11.9	15.081	12.5	20.25	46.41	13.935
20-21	12.5	7.081	12.5	12.89	45.00	5.78	20-21	12.5	11.081	12.5	17.07	45.00	9.2627	20-21	12.5	15.081	12.5	20.62	45.00	13.82
21-22	13.1	7.081	12.5	13.16	43.66	5.7049	21-22	13.1	11.081	12.5	17.29	43.66	9.1623	21-22	13.1	15.081	12.5	20.94	43.66	13.702
22-23	13.7	7.081	12.5	13.44	42.38	5.6287	22-23	13.7	11.081	12.5	17.47	42.38	9.0596	22-23	13.7	15.081	12.5	21.21	42.38	12.58
23-24	14.3	7.081	12.5	13.74	39.99	5.474	23-24	14.3	11.081	12.5	17.61	41.16	8.9551	23-24	14.3	15.081	12.5	21.44	41.16	12.456
24-25	14.9	7.081	12.5	12.74	39.39	5.474	24-25	14.9	11.081	12.5	17.72	39.39	8.8492	24-25	14.9	15.081	12.5	21.63	39.39	13.33
25-26	15.5	7.081	12.5	12.75	38.68	5.3961	25-26	15.5	11.081	12.5	17.80	38.68	8.7421	25-26	15.5	15.081	12.5	21.78	38.68	12.201
26-27	16.1	7.081	12.5	12.75	37.93	5.3181	26-27	16.1	11.081	12.5	17.85	37.93	8.6343	26-27	16.1	15.081	12.5	21.90	37.93	12.071
27-28	16.7	7.081	12.5	12.73	36.81	5.2403	27-28	16.7	11.081	12.5	17.88	36.81	8.5256	27-28	16.7	15.081	12.5	21.99	36.81	11.94
28-29	17.3	7.081	12.5	12.69	35.85	5.1628	28-29	17.3	11.081	12.5	17.89	35.85	8.4175	28-29	17.3	15.081	12.5	22.05	35.85	11.808
29-30	17.9	7.081	12.5	12.64	34.93	5.0959	29-30	17.9	11.081	12.5	17.87	34.93	8.3091	29-30	17.9	15.081	12.5	22.09	34.93	11.675
30-31	18.5	7.081	12.5	12.58	34.05	5.0096	30-31	18.5	11.081	12.5	17.84	34.05	8.2009	30-31	18.5	15.081	12.5	22.10	34.05	11.543
31-32	19.1	7.081	12.5	12.51	33.20	4.934	31-32	19.1	11.081	12.5	17.79	33.20	8.0932	31-32	19.1	15.081	12.5	22.09	33.20	11.41
32-33	19.7	7.081	12.5	12.43	32.40	4.8594	32-33	19.7	11.081	12.5	17.73	32.40	7.9862	32-33	19.7	15.081	12.5	22.07	32.40	11.277
33-34	20.3	7.081	12.5	12.34	31.62	4.7857	33-34	20.3	11.081	12.5	17.65	31.62	7.8793	33-34	20.3	15.081	12.5	22.02	31.62	11.145

18.7

Tabel 3 Tabel Hasil Perhitungan Distribusi Tegangan Akibat Tanah Timbunan (Lanjutan)

akibat timbunan		Q =	2.85	t/m		
kedalaman	z	a	b	a1	a2	$\Delta\sigma'$
(m)	(m)	(m)	(m)			(t/m <sup>2</sup> )
0-1	0.5	3.081	12.500	0.45	87.71	2.8499
1-2	1.1	3.081	12.5	0.93	84.97	2.8494
2-3	1.7	3.081	12.5	1.52	82.26	2.8478
3-4	2.3	3.081	12.5	2.03	79.57	2.8447
4-5	2.9	3.081	12.5	2.52	76.84	2.8396
5-6	3.5	3.081	12.5	2.98	74.36	2.8322
6-7	4.1	3.081	12.5	3.42	71.84	2.8221
7-8	4.7	3.081	12.5	3.82	69.39	2.8093
8-9	5.3	3.081	12.5	4.19	67.02	2.7935
9-10	5.9	3.081	12.5	4.53	64.73	2.7749
10-11	6.5	3.081	12.5	4.83	62.53	2.7534
11-12	7.1	3.081	12.5	5.10	60.40	2.7293
12-13	7.7	3.081	12.5	5.33	58.37	2.7026
13-14	8.3	3.081	12.5	5.54	56.42	2.6737
14-15	8.9	3.081	12.5	5.72	54.55	2.6427
15-16	9.5	3.081	12.5	5.86	52.77	2.6099
16-17	10.1	3.081	12.5	5.99	51.06	2.5756
17-18	10.7	3.081	12.5	6.08	49.44	2.5399
18-19	11.3	3.081	12.5	6.16	47.89	2.5033
19-20	11.9	3.081	12.5	6.22	46.41	2.4658
20-21	12.5	3.081	12.5	6.26	45.00	2.4277
21-22	13.1	3.081	12.5	6.29	43.66	2.3892
22-23	13.7	3.081	12.5	6.30	42.38	2.3505
23-24	14.3	3.081	12.5	6.30	41.16	2.3118
24-25	14.9	3.081	12.5	6.29	39.99	2.2731
25-26	15.5	3.081	12.5	6.26	38.88	2.2346
26-27	16.1	3.081	12.5	6.24	37.83	2.1964
27-28	16.7	3.081	12.5	6.20	36.81	2.1586
28-29	17.3	3.081	12.5	6.16	35.85	2.1213
29-30	17.9	3.081	12.5	6.11	34.93	2.0846
30-31	18.5	3.081	12.5	6.06	34.05	2.0484
31-32	19.1	3.081	12.5	6.00	33.20	2.0128
32-33	19.7	3.081	12.5	5.95	32.40	1.9773
33-34	20.3	3.081	12.5	5.88	31.62	1.9437

Tabel 4 Tabel Hasil Perhitungan *Settlement* Untuk Tiap Q Total

q total	6.550	(t/m <sup>2</sup> )												
kedalaman	Hi	Cc	Cs	eo	$\sigma' o$	$\Delta\sigma'$	$\Delta\sigma' + \sigma' o$	Pfluktuasi	$\sigma' o$		OCR	rumus	SC	
(m)	(m)				(t/m <sup>2</sup> )	(t/m <sup>2</sup> )	(t/m <sup>2</sup> )	(t/m <sup>2</sup> )	(t/m <sup>2</sup> )			SC	(m)	
0-1	1	0.81484	0.17291392	1.986	0.278	6.550	6.828	1.5	1.778	6.402	OC	RUMUS 2	0.206	
1-2	1	0.81484	0.17291392	1.986	0.833	6.549	7.382	1.5	2.333	2.801	OC	RUMUS 2	0.162	
2-3	1	0.81484	0.17291392	1.986	1.388	6.546	7.935	1.5	2.888	2.080	OC	RUMUS 2	0.138	
3-4	1	0.81484	0.17291392	1.986	1.944	6.541	8.485	1.5	3.444	1.772	OC	RUMUS 2	0.121	
4-5	1	0.78527	0.17523	185	2.506	6.533	9.039	1.5	4.006	1.599	OC	RUMUS 2	0.110	
5-6	1	0.78527	0.17523	185	3.076	6.520	9.596	1.5	4.576	1.488	OC	RUMUS 2	0.099	
6-7	1	0.74006	0.16667058	1.773	3.657	6.503	10.160	1.5	5.157	1.410	OC	RUMUS 2	0.088	
7-8	1	0.74006	0.16667058	1.773	4.250	6.481	10.731	1.5	5.750	1.353	OC	RUMUS 2	0.080	
8-9	1	0.74006	0.16667058	1.773	4.844	6.454	11.298	1.5	6.344	1.310	OC	RUMUS 2	0.074	
9-10	1	0.74006	0.16667058	1.773	5.437	6.422	11.859	1.5	6.937	1.276	OC	RUMUS 2	0.069	
10-11	1	0.72122	0.16039058	1.773	6.034	6.384	12.418	1.5	7.534	1.249	OC	RUMUS 2	0.062	
11-12	1	0.72122	0.16039058	1.773	6.634	6.341	12.975	1.5	8.134	1.226	OC	RUMUS 2	0.058	
12-13	1	0.72122	0.16039058	1.773	7.234	6.294	13.528	1.5	8.734	1.207	OC	RUMUS 2	0.054	
13-14	1	0.70688	0.15799072	1.744	7.833	6.242	14.075	1.5	9.333	1.191	OC	RUMUS 2	0.050	
14-15	1	0.70688	0.15799072	1.744	8.432	6.185	14.617	1.5	9.932	1.178	OC	RUMUS 2	0.047	
15-16	1	0.70688	0.15799072	1.744	9.030	6.125	15.156	1.5	10.530	1.166	OC	RUMUS 2	0.045	
16-17	1	0.69447	0.15627592	1.714	9.631	6.061	15.693	1.5	11.131	1.156	OC	RUMUS 2	0.042	
17-18	1	0.69447	0.15627592	1.714	10.235	5.995	16.229	1.5	11.735	1.147	OC	RUMUS 2	0.039	
18-19	1	0.60957	0.14282578	1.517	10.860	5.925	16.785	1.5	12.360	1.138	OC	RUMUS 2	0.035	
19-20	1	0.60957	0.14282578	1.517	11.509	5.854	17.362	1.5	13.009	1.130	OC	RUMUS 2	0.033	
20-21	1	0.60957	0.14282578	1.517	12.157	5.780	17.937	1.5	13.657	1.123	OC	RUMUS 2	0.032	
21-22	1	0.60957	0.14282578	1.517	12.805	5.705	18.510	1.5	14.305	1.117	OC	RUMUS 2	0.030	
22-23	1	0.69245	0.15821522	1.681	13.437	5.629	19.065	1.5	14.937	1.112	OC	RUMUS 2	0.030	
23-24	1	0.69245	0.15821522	1.681	14.051	5.552	19.603	1.5	15.551	1.107	OC	RUMUS 2	0.029	
24-25	1	0.69245	0.15821522	1.681	14.666	5.474	20.140	1.5	16.166	1.102	OC	RUMUS 2	0.027	
25-26	1	0.56105	0.14055272	1.306	15.331	5.396	20.727	1.5	16.831	1.098	OC	RUMUS 2	0.024	
26-27	1	0.56105	0.14055272	1.306	16.048	5.318	21.366	1.5	17.548	1.093	OC	RUMUS 2	0.023	
27-28	1	0.41859	0.10825458	1.027	16.806	5.240	22.046	1.5	18.306	1.089	OC	RUMUS 2	0.019	
28-29	1	0.41859	0.10825458	1.027	17.604	5.163	22.767	1.5	19.104	1.085	OC	RUMUS 2	0.018	
29-30	1	0.41859	0.10825458	1.027	18.403	5.086	23.488	1.5	19.903	1.082	OC	RUMUS 2	0.017	

Tabel 4 Tabel Hasil Perhitungan Settlement Untuk Tiap Q Total  
(Lanjutan)

kedalaman (m)	Hi (m)	10.250 (t/m <sup>2</sup> )				eo	$\sigma' o$ (t/m <sup>2</sup> )	$\Delta\sigma'$ (t/m <sup>2</sup> )	$\Delta\sigma' + \sigma' o$ Pfluktus (t/m <sup>2</sup> )	$\sigma' c$ (t/m <sup>2</sup> )	OCR	rumus SC	SC (m)
		Hi (m)	Cc	Cs	eo								
0-1	1	0.8148	0.1729	1.986	0.278	10.250	10.528	15	1.778	6.402	OC	RUMUS 2	0.257
1-2	1	0.8148	0.1729	1.986	0.833	10.249	11.082	15	2.333	2.801	OC	RUMUS 2	0.211
2-3	1	0.8148	0.1729	1.986	1.388	10.246	11.634	15	2.888	2.080	OC	RUMUS 2	0.184
3-4	1	0.8148	0.1729	1.986	1.944	10.239	12.183	15	3.444	1.772	OC	RUMUS 2	0.164
4-5	1	0.7853	0.1752	1.85	2.506	10.229	12.735	15	4.006	1.599	OC	RUMUS 2	0.151
5-6	1	0.7853	0.1752	1.85	3.076	10.213	13.289	15	4.576	1.488	OC	RUMUS 2	0.138
6-7	1	0.7401	0.1667	1.773	3.657	10.193	13.850	15	5.157	1.410	OC	RUMUS 2	0.123
7-8	1	0.7401	0.1667	1.773	4.250	10.165	14.416	15	5.750	1.353	OC	RUMUS 2	0.114
8-9	1	0.7401	0.1667	1.773	4.844	10.132	14.976	15	6.344	1.310	OC	RUMUS 2	0.107
9-10	1	0.7401	0.1667	1.773	5.437	10.092	15.529	15	6.937	1.276	OC	RUMUS 2	0.100
10-11	1	0.7212	0.1604	1.773	6.034	10.045	16.078	15	7.534	1.249	OC	RUMUS 2	0.091
11-12	1	0.7212	0.1604	1.773	6.634	9.991	16.625	15	8.134	1.226	OC	RUMUS 2	0.086
12-13	1	0.7212	0.1604	1.773	7.234	9.931	17.185	15	8.734	1.207	OC	RUMUS 2	0.081
13-14	1	0.7069	0.158	1.744	7.833	9.865	17.698	15	9.333	1.191	OC	RUMUS 2	0.076
14-15	1	0.7069	0.158	1.744	8.432	9.793	18.225	15	9.932	1.178	OC	RUMUS 2	0.072
15-16	1	0.7069	0.158	1.744	9.030	9.716	18.746	15	10.530	1.166	OC	RUMUS 2	0.068
16-17	1	0.6945	0.1563	1.714	9.631	9.633	19.264	15	11.131	1.156	OC	RUMUS 2	0.065
17-18	1	0.6945	0.1563	1.714	10.235	9.546	19.781	15	11.735	1.147	OC	RUMUS 2	0.061
18-19	1	0.6096	0.1428	1.517	10.860	9.455	20.315	15	12.360	1.138	OC	RUMUS 2	0.055
19-20	1	0.6096	0.1428	1.517	11.509	9.360	20.889	15	13.009	1.130	OC	RUMUS 2	0.053
20-21	1	0.6096	0.1428	1.517	12.157	9.263	21.420	15	13.657	1.123	OC	RUMUS 2	0.050
21-22	1	0.6096	0.1428	1.517	12.805	9.162	21.968	15	14.305	1.117	OC	RUMUS 2	0.048
22-23	1	0.6924	0.1582	1.681	13.437	9.060	22.496	15	14.937	1.112	OC	RUMUS 2	0.043
23-24	1	0.6924	0.1582	1.681	14.051	8.955	23.006	15	15.551	1.107	OC	RUMUS 2	0.047
24-25	1	0.6924	0.1582	1.681	14.666	8.849	23.515	15	16.166	1.102	OC	RUMUS 2	0.045
25-26	1	0.5611	0.1406	1.306	15.331	8.742	24.073	15	16.831	1.098	OC	RUMUS 2	0.040
26-27	1	0.5611	0.1406	1.306	16.048	8.634	24.682	15	17.548	1.093	OC	RUMUS 2	0.038
27-28	1	0.4186	0.1083	1.027	16.806	8.526	25.332	15	18.306	1.089	OC	RUMUS 2	0.031
28-29	1	0.4186	0.1083	1.027	17.604	8.418	26.022	15	19.104	1.085	OC	RUMUS 2	0.030
29-30	1	0.4186	0.1083	1.027	18.403	8.309	26.712	15	19.903	1.082	OC	RUMUS 2	0.028
										2.663			
kedalaman (m)	Hi (m)	17.650 (t/m <sup>2</sup> )				eo	$\sigma' o$ (t/m <sup>2</sup> )	$\Delta\sigma'$ (t/m <sup>2</sup> )	$\Delta\sigma' + \sigma' o$ Pfluktus (t/m <sup>2</sup> )	$\sigma' c$ (t/m <sup>2</sup> )	OCR	rumus SC	SC (m)
		Hi (m)	Cc	Cs	eo								
0-1	1	0.8148	0.17291392	1.986	0.278	17.650	17.928	15	1.778	6.402	OC	RUMUS 2	0.321
1-2	1	0.8148	0.17291392	1.986	0.833	17.649	18.482	15	2.333	2.801	OC	RUMUS 2	0.271
2-3	1	0.8148	0.17291392	1.986	1.388	17.645	19.033	15	2.888	2.080	OC	RUMUS 2	0.242
3-4	1	0.8148	0.17291392	1.986	1.944	17.637	19.581	15	3.444	1.772	OC	RUMUS 2	0.220
4-5	1	0.78527	0.17523	1.85	2.506	17.625	20.131	15	4.006	1.599	OC	RUMUS 2	0.206
5-6	1	0.78527	0.17523	1.85	3.076	17.607	20.683	15	4.576	1.488	OC	RUMUS 2	0.191
6-7	1	0.74006	0.16687058	1.773	3.657	17.582	21.239	15	5.157	1.410	OC	RUMUS 2	0.173
7-8	1	0.74006	0.16687058	1.773	4.250	17.550	21.800	15	5.750	1.353	OC	RUMUS 2	0.162
8-9	1	0.74006	0.16687058	1.773	4.844	17.510	22.353	15	6.344	1.310	OC	RUMUS 2	0.153
9-10	1	0.74006	0.16687058	1.773	5.437	17.461	22.898	15	6.937	1.276	OC	RUMUS 2	0.145
10-11	1	0.72122	0.16039058	1.773	6.034	17.405	23.438	15	7.534	1.249	OC	RUMUS 2	0.134
11-12	1	0.72122	0.16039058	1.773	6.634	17.340	23.973	15	8.134	1.226	OC	RUMUS 2	0.127
12-13	1	0.72122	0.16039058	1.773	7.234	17.266	24.500	15	8.734	1.207	OC	RUMUS 2	0.121
13-14	1	0.70688	0.15799072	1.744	7.833	17.185	25.018	15	9.333	1.191	OC	RUMUS 2	0.115
14-15	1	0.70688	0.15799072	1.744	8.432	17.096	25.528	15	9.932	1.178	OC	RUMUS 2	0.110
15-16	1	0.70688	0.15799072	1.744	9.030	16.999	26.030	15	10.530	1.166	OC	RUMUS 2	0.105
16-17	1	0.69447	0.15627592	1.74	9.631	16.896	26.527	15	11.131	1.156	OC	RUMUS 2	0.100
17-18	1	0.69447	0.15627592	1.74	10.235	16.786	27.021	15	11.735	1.147	OC	RUMUS 2	0.096
18-19	1	0.60957	0.142282578	1.517	10.860	16.670	27.530	15	12.360	1.138	OC	RUMUS 2	0.087
19-20	1	0.60957	0.142282578	1.517	11.509	16.549	28.057	15	13.009	1.130	OC	RUMUS 2	0.084
20-21	1	0.60957	0.142282578	1.517	12.157	16.422	28.579	15	13.657	1.123	OC	RUMUS 2	0.081
21-22	1	0.60957	0.142282578	1.517	12.805	16.291	29.096	15	14.305	1.117	OC	RUMUS 2	0.077
22-23	1	0.69245	0.15821522	1.681	13.437	16.156	29.593	15	14.937	1.112	OC	RUMUS 2	0.079
23-24	1	0.69245	0.15821522	1.681	14.051	16.018	30.069	15	15.551	1.107	OC	RUMUS 2	0.077
24-25	1	0.69245	0.15821522	1.681	14.666	15.876	30.542	15	16.166	1.102	OC	RUMUS 2	0.074
25-26	1	0.56105	0.14055272	1.306	15.331	15.732	31.063	15	16.831	1.098	OC	RUMUS 2	0.067
26-27	1	0.56105	0.14055272	1.306	16.048	15.585	31.633	15	17.548	1.093	OC	RUMUS 2	0.065
27-28	1	0.41859	0.10825458	1.027	16.806	15.437	32.243	15	18.306	1.089	OC	RUMUS 2	0.053
28-29	1	0.41859	0.10825458	1.027	17.604	15.287	32.891	15	19.104	1.085	OC	RUMUS 2	0.051
29-30	1	0.41859	0.10825458	1.027	18.403	15.136	33.538	15	19.903	1.082	OC	RUMUS 2	0.049
										3.635			
kedalaman (m)	Hi (m)	21.350 (t/m <sup>2</sup> )				eo	$\sigma' o$ (t/m <sup>2</sup> )	$\Delta\sigma'$ (t/m <sup>2</sup> )	$\Delta\sigma' + \sigma' o$ Pfluktus (t/m <sup>2</sup> )	$\sigma' c$ (t/m <sup>2</sup> )	OCR	rumus SC	SC (m)
		Hi (m)	Cc	Cs	eo								
0-1	1	0.8148	0.1729	1.986	0.278	21.350	21.628	15	1.778	6.402	OC	RUMUS 2	0.343
1-2	1	0.8148	0.1729	1.986	0.833	21.349	22.182	15	2.333	2.801	OC	RUMUS 2	0.293
2-3	1	0.8148	0.1729	1.986	1.388	21.345	22.733	15	2.888	2.080	OC	RUMUS 2	0.263
3-4	1	0.8148	0.1729	1.986	1.944	21.337	23.281	15	3.444	1.772	OC	RUMUS 2	0.241
4-5	1	0.7853	0.1752	1.85	2.506	21.325	23.830	15	4.006	1.599	OC	RUMUS 2	0.226
5-6	1	0.7853	0.1752	1.85	3.076	21.305	24.381	15	4.576	1.488	OC	RUMUS 2	0.211
6-7	1	0.74006	0.16687058	1.773	3.657	21.282	24.936	15	5.157	1.410	OC	RUMUS 2	0.192
7-8	1	0.74006	0.16687058	1.773	4.250	21.250	25.496	15	5.750	1.353	OC	RUMUS 2	0.181
8-9	1	0.74006	0.16687058	1.773	4.844	21.210	26.047	15	6.344	1.310	OC	RUMUS 2	0.

Tabel 4 Tabel Hasil Perhitungan *Settlement* Untuk Tiap Q Total (Lanjutan)

q total	25.050 (t/m <sup>2</sup> )												
kedalaman	Hi	Co	Cs	eo	σ' o	Δσ'	Δσ' + σ'o	Pfluktus	σ' c	OCR	rumus	SC	
(m)	(m)				(t/m <sup>2</sup> )		SC	(m)					
0-1	1	0.8148	0.1723	1.986	0.278	25.050	25.328	1.5	1.778	6.402	OC	RUMUS 2	0.362
1-2	1	0.8148	0.1723	1.986	0.833	25.049	25.882	1.5	2.333	2.801	OC	RUMUS 2	0.311
2-3	1	0.8148	0.1723	1.986	1.388	25.045	26.433	1.5	2.888	2.080	OC	RUMUS 2	0.281
3-4	1	0.8148	0.1723	1.986	1.944	25.037	26.980	1.5	3.444	1.772	OC	RUMUS 2	0.258
4-5	1	0.7853	0.1752	1.85	2.506	25.023	27.530	1.5	4.006	1.593	OC	RUMUS 2	0.243
5-6	1	0.7853	0.1752	1.85	3.076	25.004	28.080	1.5	4.576	1.488	OC	RUMUS 2	0.228
6-7	1	0.7401	0.1667	1.773	3.657	24.977	28.634	1.5	5.157	1.410	OC	RUMUS 2	0.208
7-8	1	0.7401	0.1667	1.773	4.250	24.943	29.193	1.5	5.750	1.353	OC	RUMUS 2	0.196
8-9	1	0.7401	0.1667	1.773	4.844	24.899	29.743	1.5	6.344	1.310	OC	RUMUS 2	0.186
9-10	1	0.7401	0.1667	1.773	5.437	24.847	30.284	1.5	6.937	1.276	OC	RUMUS 2	0.177
10-11	1	0.7212	0.1604	1.773	6.034	24.786	30.820	1.5	7.534	1.249	OC	RUMUS 2	0.165
11-12	1	0.7212	0.1604	1.773	6.634	24.715	31.349	1.5	8.134	1.226	OC	RUMUS 2	0.158
12-13	1	0.7212	0.1604	1.773	7.234	24.636	31.869	1.5	8.734	1.207	OC	RUMUS 2	0.151
13-14	1	0.7069	0.158	1.744	7.833	24.547	32.380	1.5	9.333	1.191	OC	RUMUS 2	0.144
14-15	1	0.7069	0.158	1.744	8.432	24.449	32.881	1.5	9.932	1.178	OC	RUMUS 2	0.138
15-16	1	0.7069	0.158	1.744	9.030	24.343	33.374	1.5	10.530	1.166	OC	RUMUS 2	0.133
16-17	1	0.6945	0.1563	1.714	9.631	24.229	33.860	1.5	11.131	1.156	OC	RUMUS 2	0.127
17-18	1	0.6945	0.1563	1.714	10.235	24.107	34.342	1.5	11.735	1.147	OC	RUMUS 2	0.123
18-19	1	0.6096	0.1428	1.517	10.860	23.979	34.839	1.5	12.360	1.138	OC	RUMUS 2	0.112
19-20	1	0.6096	0.1428	1.517	11.509	23.843	35.352	1.5	13.009	1.130	OC	RUMUS 2	0.108
20-21	1	0.6096	0.1428	1.517	12.157	23.701	35.858	1.5	13.657	1.123	OC	RUMUS 2	0.104
21-22	1	0.6096	0.1428	1.517	12.805	23.554	36.359	1.5	14.305	1.117	OC	RUMUS 2	0.101
22-23	1	0.6924	0.1582	1.681	13.437	23.401	36.838	1.5	14.937	1.112	OC	RUMUS 2	0.104
23-24	1	0.6924	0.1582	1.681	14.051	23.244	37.235	1.5	15.551	1.107	OC	RUMUS 2	0.101
24-25	1	0.6924	0.1582	1.681	14.666	23.083	37.748	1.5	16.166	1.102	OC	RUMUS 2	0.098
25-26	1	0.5611	0.1406	1.306	15.331	22.917	38.249	1.5	16.831	1.098	OC	RUMUS 2	0.089
26-27	1	0.5611	0.1406	1.306	16.048	22.749	38.797	1.5	17.548	1.093	OC	RUMUS 2	0.086
27-28	1	0.4186	0.1083	1.027	16.806	22.577	39.383	1.5	18.306	1.089	OC	RUMUS 2	0.071
28-29	1	0.4186	0.1083	1.027	17.604	22.403	40.007	1.5	19.104	1.085	OC	RUMUS 2	0.068
29-30	1	0.4186	0.1083	1.027	18.403	22.226	40.629	1.5	19.903	1.082	OC	RUMUS 2	0.066

4.695

q total	2.850		(t/m <sup>2</sup> )											
kedalaman	Hi	Cc	Cs	eo	σ' o	Δσ'	Δσ' + σ'o	Pfluktuasi	σ'c		OCR	rumus	Sc	
(m)	(m)				(t/m <sup>2</sup> )			SC	(m)					
0-1	1	0.81484	0.17291392	1.986	0.278	2.850	3.128	1.5	1.778	6.402	OC	RUMUS 2	0.114	
1-2	1	0.81484	0.17291392	1.986	0.833	2.849	3.682	1.5	2.333	2.801	OC	RUMUS 2	0.080	
2-3	1	0.81484	0.17291392	1.986	1.388	2.848	4.236	1.5	2.888	2.080	OC	RUMUS 2	0.064	
3-4	1	0.81484	0.17291392	1.986	1.944	2.845	4.789	1.5	3.444	1.772	OC	RUMUS 2	0.053	
4-5	1	0.78527	0.17523	1.85	2.506	2.840	5.346	1.5	4.006	1.593	OC	RUMUS 2	0.047	
5-6	1	0.78527	0.17523	1.85	3.076	2.832	5.908	1.5	4.576	1.488	OC	RUMUS 2	0.041	
6-7	1	0.74006	0.16667058	1.773	3.657	2.822	6.479	1.5	5.157	1.410	OC	RUMUS 2	0.035	
7-8	1	0.74006	0.16667058	1.773	4.250	2.809	7.060	1.5	5.750	1.353	OC	RUMUS 2	0.032	
8-9	1	0.74006	0.16667058	1.773	4.844	2.794	7.637	1.5	6.344	1.310	OC	RUMUS 2	0.029	
9-10	1	0.74006	0.16667058	1.773	5.437	2.775	8.212	1.5	6.937	1.276	OC	RUMUS 2	0.026	
10-11	1	0.72122	0.16039058	1.773	6.034	2.753	8.787	1.5	7.534	1.249	OC	RUMUS 2	0.023	
11-12	1	0.72122	0.16039058	1.773	6.634	2.729	9.363	1.5	8.134	1.226	OC	RUMUS 2	0.021	
12-13	1	0.72122	0.16039058	1.773	7.234	2.703	9.936	1.5	8.734	1.207	OC	RUMUS 2	0.019	
13-14	1	0.70688	0.15799072	1.744	7.833	2.674	10.507	1.5	9.333	1.191	OC	RUMUS 2	0.018	
14-15	1	0.70688	0.15799072	1.744	8.432	2.643	11.074	1.5	9.932	1.178	OC	RUMUS 2	0.016	
15-16	1	0.70688	0.15799072	1.744	9.030	2.610	11.640	1.5	10.530	1.166	OC	RUMUS 2	0.015	
16-17	1	0.69447	0.15627592	1.714	9.631	2.576	12.207	1.5	11.131	1.156	OC	RUMUS 2	0.014	
17-18	1	0.69447	0.15627592	1.714	10.235	2.540	12.774	1.5	11.735	1.147	OC	RUMUS 2	0.013	
18-19	1	0.60957	0.14282578	1.517	10.860	2.503	13.364	1.5	12.360	1.138	OC	RUMUS 2	0.011	
19-20	1	0.60957	0.14282578	1.517	11.509	2.466	13.974	1.5	13.009	1.130	OC	RUMUS 2	0.011	
20-21	1	0.60957	0.14282578	1.517	12.157	2.428	14.585	1.5	13.657	1.123	OC	RUMUS 2	0.010	
21-22	1	0.60957	0.14282578	1.517	12.805	2.389	15.194	1.5	14.305	1.117	OC	RUMUS 2	0.009	
22-23	1	0.69245	0.15821522	1.681	13.437	2.351	15.787	1.5	14.937	1.112	OC	RUMUS 2	0.009	
23-24	1	0.69245	0.15821522	1.681	14.051	2.312	16.363	1.5	15.551	1.107	OC	RUMUS 2	0.008	
24-25	1	0.69245	0.15821522	1.681	14.666	2.273	16.939	1.5	16.166	1.102	OC	RUMUS 2	0.008	
25-26	1	0.56105	0.14055272	1.306	15.331	2.235	17.566	1.5	16.831	1.098	OC	RUMUS 2	0.007	
26-27	1	0.56105	0.14055272	1.306	16.048	2.196	18.245	1.5	17.548	1.093	OC	RUMUS 2	0.006	
27-28	1	0.41859	0.10825458	1.027	16.806	2.159	18.964	1.5	18.306	1.089	OC	RUMUS 2	0.005	
28-29	1	0.41859	0.10825458	1.027	17.604	2.121	19.726	1.5	19.104	1.085	OC	RUMUS 2	0.005	
29-30	1	0.41859	0.10825458	1.027	18.403	2.085	20.487	1.5	19.903	1.082	OC	RUMUS 2	0.004	

0.753

Tabel 5 Tabel Rekapitulasi *Settlement*

H timb (m)	Q total (t/m2)	Sc (m)	H inisial (m)	Htraffic (m)	H final
1.541	2.85	0.753	3.24753353	0.541	1.954
3.541	6.55	1.861	7.532418008	0.541	5.130
5.541	10.25	2.663	11.65553735	0.541	8.452
7.541	13.95	3.302	15.69256891	0.541	11.850
9.541	17.65	3.835	19.67394769	0.541	15.299
11.541	21.350	4.293	23.61585435	0.541	18.782
13.541	25.050	4.695	27.52814474	0.541	22.292

Tabel 6 Hasil Perhitungan Faktor Hambatan ( $F_n$ ) dengan PVD Pola Persegi

Jarak PVD (S) (m)	D (cm)	n	F(n)
0.8	90.4	14	1.8674
1	113	17	2.08665
1.1	124.3	19	2.18066
1.2	135.6	20	2.26664
1.4	158.2	24	2.41407
1.5	169.5	25	2.48306
1.6	180.8	27	2.5476
1.8	203.4	30	2.66538
2	226	34	2.77074

Tabel 7 Hasil Perhitungan Derajat Konsolidasi dengan PVD Pola Perseg

S= t (minggu)	0.8	m		Urata-rata (%)	S= t (minggu)	1	m		Uratarata (%)
	Tv	Uv	Uh			Tv	Uv (%)	Uh (%)	
1	0.0001	0.0102	0.3202	32.713	1	0.0001	0.0102	0.1983	20.651
2	0.0002	0.0144	0.5379	54.453	2	0.0002	0.0144	0.3573	36.660
3	0.0002	0.0177	0.6858	69.139	3	0.0002	0.0177	0.4848	49.389
4	0.0003	0.0204	0.7864	79.079	4	0.0003	0.0204	0.5870	59.539
5	0.0004	0.0228	0.8548	85.813	5	0.0004	0.0228	0.6689	67.644
6	0.0005	0.0250	0.9013	90.377	6	0.0005	0.0250	0.7345	74.118
7	0.0006	0.0270	0.9329	93.472	7	0.0006	0.0270	0.7872	79.294
8	0.0007	0.0289	0.9544	95.571	8	0.0007	0.0289	0.8294	83.432
9	0.0007	0.0306	0.9690	96.994	9	0.0007	0.0306	0.8632	86.742
10	0.0008	0.0323	0.9789	97.960	10	0.0008	0.0323	0.8904	89.390
11	0.0009	0.0338	0.9857	98.616	11	0.0009	0.0338	0.9121	91.508
12	0.0010	0.0354	0.9903	99.060	12	0.0010	0.0354	0.9295	93.203
13	0.0011	0.0368	0.9934	99.362	13	0.0011	0.0368	0.9435	94.559
14	0.0011	0.0382	0.9955	99.567	14	0.0011	0.0382	0.9547	95.644
15	0.0012	0.0395	0.9969	99.706	15	0.0012	0.0395	0.9637	96.513
16	0.0013	0.0408	0.9979	99.800	16	0.0013	0.0408	0.9709	97.208
17	0.0014	0.0421	0.9986	99.865	17	0.0014	0.0421	0.9767	97.765
18	0.0015	0.0433	0.9990	99.908	18	0.0015	0.0433	0.9813	98.211
19	0.0016	0.0445	0.9993	99.938	19	0.0016	0.0445	0.9850	98.567
20	0.0016	0.0456	0.9996	99.958	20	0.0016	0.0456	0.9880	98.853
21	0.0017	0.0468	0.9997	99.971	21	0.0017	0.0468	0.9904	99.081
22	0.0018	0.0479	0.9998	99.980	22	0.0018	0.0479	0.9923	99.264
23	0.0019	0.0489	0.9999	99.987	23	0.0019	0.0489	0.9938	99.411
24	0.0020	0.0500	0.9999	99.991	24	0.0020	0.0500	0.9950	99.528

Tabel 7 Hasil Perhitungan Derajat Konsolidasi  
dengan PVD Pola Persegi (Lanjutan)

S = t (minggu)	1.1	m				S = t (minggu)	1.2	m				S = t (minggu)	1.4	m				S = t (minggu)	1.5	m		
	Tv	Uv (%)	Uh (%)	Uratarata (%)			Tv	Uv (%)	Uh (%)	Uratarata (%)			Tv	Uv (%)	Uh (%)	Uratarata (%)		Tv	Uv (%)	Uh (%)	Uratarata (%)	
1	0.0001	0.0102	0.1604	16.896		1	0.0001	0.0102	0.1318	14.065			1	0.0001	0.0102	0.0929	10.214	1	0.0001	0.0102	0.0792	8.864
2	0.0002	0.0144	0.2950	30.522		2	0.0002	0.0144	0.2462	25.709			2	0.0002	0.0144	0.1771	18.902	2	0.0002	0.0144	0.1522	16.445
3	0.0002	0.0177	0.4081	41.858		3	0.0002	0.0177	0.3455	35.712			3	0.0002	0.0177	0.2536	26.677	3	0.0002	0.0177	0.2194	23.319
4	0.0003	0.0204	0.5030	51.319		4	0.0003	0.0204	0.4318	44.340			4	0.0003	0.0204	0.3229	33.673	4	0.0003	0.0204	0.2813	29.592
5	0.0004	0.0228	0.5827	59.227		5	0.0004	0.0228	0.5067	51.794			5	0.0004	0.0228	0.3858	39.981	5	0.0004	0.0228	0.3382	35.331
6	0.0005	0.0250	0.6497	65.843		6	0.0005	0.0250	0.5717	58.240			6	0.0005	0.0250	0.4428	45.678	6	0.0005	0.0250	0.3907	40.589
7	0.0006	0.0270	0.7059	71.380		7	0.0006	0.0270	0.6281	63.818			7	0.0006	0.0270	0.4946	50.825	7	0.0006	0.0270	0.4389	45.409
8	0.0007	0.0289	0.7530	76.016		8	0.0007	0.0289	0.6771	68.647			8	0.0007	0.0289	0.5415	55.478	8	0.0007	0.0289	0.4834	49.832
9	0.0007	0.0306	0.7926	79.899		9	0.0007	0.0306	0.7197	72.828			9	0.0007	0.0306	0.5841	59.686	9	0.0007	0.0306	0.5243	53.890
10	0.0008	0.0323	0.8259	83.152		10	0.0008	0.0323	0.7566	76.449			10	0.0008	0.0323	0.6228	63.493	10	0.0008	0.0323	0.5620	57.617
11	0.0009	0.0338	0.8538	85.877		11	0.0009	0.0338	0.7887	79.586			11	0.0009	0.0338	0.6578	66.938	11	0.0009	0.0338	0.5967	61.039
12	0.0010	0.0354	0.8773	88.161		12	0.0010	0.0354	0.8166	82.304			12	0.0010	0.0354	0.6896	70.056	12	0.0010	0.0354	0.6287	64.182
13	0.0011	0.0368	0.8970	90.075		13	0.0011	0.0368	0.8407	84.659			13	0.0011	0.0368	0.7184	72.878	13	0.0011	0.0368	0.6581	67.070
14	0.0011	0.0382	0.9135	91.678		14	0.0011	0.0382	0.8617	86.700			14	0.0011	0.0382	0.7446	75.432	14	0.0011	0.0382	0.6852	69.723
15	0.0012	0.0395	0.9274	93.023		15	0.0012	0.0395	0.8799	88.469			15	0.0012	0.0395	0.7683	77.745	15	0.0012	0.0395	0.7102	72.162
16	0.0013	0.0408	0.9390	94.150		16	0.0013	0.0408	0.8958	90.002			16	0.0013	0.0408	0.7898	79.840	16	0.0013	0.0408	0.7331	74.402
17	0.0014	0.0421	0.9488	95.095		17	0.0014	0.0421	0.9095	91.331			17	0.0014	0.0421	0.8093	81.736	17	0.0014	0.0421	0.7543	76.462
18	0.0015	0.0433	0.9570	95.887		18	0.0015	0.0433	0.9214	92.483			18	0.0015	0.0433	0.8270	83.454	18	0.0015	0.0433	0.7737	78.355
19	0.0016	0.0445	0.9639	96.551		19	0.0016	0.0445	0.9318	93.482			19	0.0016	0.0445	0.8431	85.009	19	0.0016	0.0445	0.7917	80.095
20	0.0016	0.0456	0.9697	97.107		20	0.0016	0.0456	0.9408	94.348			20	0.0016	0.0456	0.8577	86.418	20	0.0016	0.0456	0.8082	81.694
21	0.0017	0.0468	0.9746	97.574		21	0.0017	0.0468	0.9486	95.098			21	0.0017	0.0468	0.8709	87.694	21	0.0017	0.0468	0.8234	83.165
22	0.0018	0.0479	0.9786	97.966		22	0.0018	0.0479	0.9554	95.749			22	0.0018	0.0479	0.8829	88.850	22	0.0018	0.0479	0.8374	84.517
23	0.0019	0.0489	0.9821	98.294		23	0.0019	0.0489	0.9612	96.314			23	0.0019	0.0489	0.8938	89.897	23	0.0019	0.0489	0.8503	85.760
24	0.0020	0.0500	0.9849	98.569		24	0.0020	0.0500	0.9663	96.803			24	0.0020	0.0500	0.9036	90.846	24	0.0020	0.0500	0.8621	86.903

S = t (minggu)	1.6	m				S = t (minggu)	1.8	m				S = t (minggu)	2	m				
	Tv	Uv (%)	Uh (%)	Uratarata (%)			Tv	Uv (%)	Uh (%)	Uratarata (%)			Tv	Uv (%)	Uh (%)	Uratarata (%)		
1	0.0001	0.0102	0.0683	7.779		1	0.0001	0.0102	0.0520	6.169			1	0.0001	0.0102	0.0408	5.055	
2	0.0002	0.0144	0.1319	14.443		2	0.0002	0.0144	0.1013	11.429			2	0.0002	0.0144	0.0799	9.315	
3	0.0002	0.0177	0.1912	20.548		3	0.0002	0.0177	0.1481	16.312			3	0.0002	0.0177	0.1174	13.298	
4	0.0003	0.0204	0.2464	26.179		4	0.0003	0.0204	0.1924	20.885			4	0.0003	0.0204	0.1534	17.064	
5	0.0004	0.0228	0.2979	31.389		5	0.0004	0.0228	0.2344	25.185			5	0.0004	0.0228	0.1879	20.640	
6	0.0005	0.0250	0.3458	36.216		6	0.0005	0.0250	0.2742	29.234			6	0.0005	0.0250	0.2210	24.045	
7	0.0006	0.0270	0.3905	40.694		7	0.0006	0.0270	0.3119	33.052			7	0.0006	0.0270	0.2527	27.291	
8	0.0007	0.0289	0.4321	44.849		8	0.0007	0.0289	0.3477	36.656			8	0.0007	0.0289	0.2832	30.389	
9	0.0007	0.0306	0.4709	48.708		9	0.0007	0.0306	0.3817	40.059			9	0.0007	0.0306	0.3124	33.347	
10	0.0008	0.0323	0.5070	52.292		10	0.0008	0.0323	0.4138	43.274			10	0.0008	0.0323	0.3404	36.173	
11	0.0009	0.0338	0.5407	55.622		11	0.0009	0.0338	0.4443	46.312			11	0.0009	0.0338	0.3673	38.875	
12	0.0010	0.0354	0.5720	58.716		12	0.0010	0.0354	0.4732	49.183			12	0.0010	0.0354	0.3931	41.458	
13	0.0011	0.0368	0.6013	61.593		13	0.0011	0.0368	0.5006	51.898			13	0.0011	0.0368	0.4179	43.928	
14	0.0011	0.0382	0.6285	64.267		14	0.0011	0.0382	0.5266	54.466			14	0.0011	0.0382	0.4416	46.292	
15	0.0012	0.0395	0.6539	66.753		15	0.0012	0.0395	0.5512	56.894			15	0.0012	0.0395	0.4644	48.553	
16	0.0013	0.0408	0.6775	69.065		16	0.0013	0.0408	0.5745	59.192			16	0.0013	0.0408	0.4862	50.717	
17	0.0014	0.0421	0.6995	71.215		17	0.0014	0.0421	0.5967	61.365			17	0.0014	0.0421	0.5071	52.788	
18	0.0015	0.0433	0.7200	73.215		18	0.0015	0.0433	0.6177	63.421			18	0.0015	0.0433	0.5272	54.770	
19	0.0016	0.0445	0.7391	75.075		19	0.0016	0.0445	0.6375	65.366			19	0.0016	0.0445	0.5465	56.667	
20	0.0016	0.0456	0.7570	76.805		20	0.0016	0.0456	0.6564	67.207			20	0.0016	0.0456	0.5650	58.484	
21	0.0017	0.0468	0.7736	78.414		21	0.0017	0.0468	0.6743	68.950			21	0.0017	0.0468	0.5827	60.224	
22	0.0018	0.0479	0.7890	79.911		22	0.0018	0.0479	0.6912	70.599			22	0.0018	0.0479	0.5997	61.889	
23	0.0019	0.0489	0.8034	81.304		23	0.0019	0.0489	0.7073	72.159			23	0.0019	0.0489	0.6160	63.484	
24	0.0020	0.0500	0.8168	82.600		24	0.0020	0.0500	0.7225	73.637			24	0.0020	0.0500	0.6317	65.011	

Tabel 8 Hasil Perhitungan Faktor Hambatan ( $F_n$ ) dengan PVD Pola Persegi

Jarak PVD (S) (m)	D (cm)	n	$F(n)$
0.8	84	13	1.79557
1	105	16	2.01436
1.1	115.5	17	2.10822
1.2	126	19	2.19407
1.4	147	22	2.34064
1.5	157.5	24	2.40963
1.6	168	25	2.47417
1.8	189	28	2.59195
2	210	31	2.69731

Tabel 9 Hasil Perhitungan Derajat Konsolidasi dengan PVD Pola Segitiga

S = 0.8				S = 1				S = 1.1						
t (minggu)	Tv	m	Uh	t (minggu)	Tv	Uv (%)	Uh (%)	t (minggu)	Tv	Uv (%)	Uh (%)			
1	0.0001	0.0102	0.3718	37.820	1	0.0001	0.0102	0.2330	24.078	1	0.0001	0.0102	0.1889	19.723
2	0.0002	0.0144	0.6054	61.105	2	0.0002	0.0144	0.4116	42.013	2	0.0002	0.0144	0.3422	35.169
3	0.0002	0.0177	0.7521	75.646	3	0.0002	0.0177	0.5487	55.668	3	0.0002	0.0177	0.4665	47.592
4	0.0003	0.0204	0.8443	84.743	4	0.0003	0.0204	0.6538	66.090	4	0.0003	0.0204	0.5673	57.613
5	0.0004	0.0228	0.9022	90.439	5	0.0004	0.0228	0.7345	74.053	5	0.0004	0.0228	0.6491	65.706
6	0.0005	0.0250	0.9385	94.007	6	0.0005	0.0250	0.7963	80.142	6	0.0005	0.0250	0.7154	72.248
7	0.0006	0.0270	0.9614	96.243	7	0.0006	0.0270	0.8438	84.799	7	0.0006	0.0270	0.7691	77.538
8	0.0007	0.0289	0.9757	97.644	8	0.0007	0.0289	0.8802	88.363	8	0.0007	0.0289	0.8128	81.817
9	0.0007	0.0306	0.9848	98.523	9	0.0007	0.0306	0.9081	91.090	9	0.0007	0.0306	0.8481	85.279
10	0.0008	0.0323	0.9904	99.074	10	0.0008	0.0323	0.9295	93.177	10	0.0008	0.0323	0.8768	88.081
11	0.0009	0.0338	0.9940	99.419	11	0.0009	0.0338	0.9459	94.775	11	0.0009	0.0338	0.9001	90.349
12	0.0010	0.0354	0.9962	99.636	12	0.0010	0.0354	0.9585	95.999	12	0.0010	0.0354	0.9190	92.185
13	0.0011	0.0368	0.9976	99.771	13	0.0011	0.0368	0.9682	96.935	13	0.0011	0.0368	0.9343	93.671
14	0.0011	0.0382	0.9985	99.857	14	0.0011	0.0382	0.9756	97.653	14	0.0011	0.0382	0.9467	94.874
15	0.0012	0.0395	0.9991	99.910	15	0.0012	0.0395	0.9813	98.202	15	0.0012	0.0395	0.9568	95.848
16	0.0013	0.0408	0.9994	99.944	16	0.0013	0.0408	0.9856	98.623	16	0.0013	0.0408	0.9649	96.637
17	0.0014	0.0421	0.9996	99.965	17	0.0014	0.0421	0.9890	98.945	17	0.0014	0.0421	0.9716	97.276
18	0.0015	0.0433	0.9998	99.978	18	0.0015	0.0433	0.9916	99.192	18	0.0015	0.0433	0.9769	97.794
19	0.0016	0.0445	0.9999	99.986	19	0.0016	0.0445	0.9935	99.381	19	0.0016	0.0445	0.9813	98.213
20	0.0016	0.0456	0.9999	99.991	20	0.0016	0.0456	0.9950	99.526	20	0.0016	0.0456	0.9848	98.552
21	0.0017	0.0468	0.9999	99.995	21	0.0017	0.0468	0.9962	99.637	21	0.0017	0.0468	0.9877	98.827
22	0.0018	0.0479	1.0000	99.997	22	0.0018	0.0479	0.9971	99.722	22	0.0018	0.0479	0.9900	99.050
23	0.0019	0.0489	1.0000	99.998	23	0.0019	0.0489	0.9978	99.787	23	0.0019	0.0489	0.9919	99.230
24	0.0020	0.0500	1.0000	99.999	24	0.0020	0.0500	0.9983	99.837	24	0.0020	0.0500	0.9934	99.376
S = 1.2				S = 1.4				S = 1.5						
t (minggu)	Tv	m	Uh	t (minggu)	Tv	Uv (%)	Uh (%)	t (minggu)	Tv	Uv (%)	Uh (%)			
1	0.0001	0.0102	0.1556	16.418	1	0.0001	0.0102	0.1099	11.901	1	0.0001	0.0102	0.0938	10.308
2	0.0002	0.0144	0.2869	29.722	2	0.0002	0.0144	0.2078	21.920	2	0.0002	0.0144	0.1789	19.072
3	0.0002	0.0177	0.3979	40.850	3	0.0002	0.0177	0.2949	30.732	3	0.0002	0.0177	0.2559	26.907
4	0.0003	0.0204	0.4915	50.191	4	0.0003	0.0204	0.3724	38.518	4	0.0003	0.0204	0.3257	33.950
5	0.0004	0.0228	0.5706	58.043	5	0.0004	0.0228	0.4414	45.411	5	0.0004	0.0228	0.3890	40.296
6	0.0005	0.0250	0.6374	64.649	6	0.0005	0.0250	0.5028	51.520	6	0.0005	0.0250	0.4463	46.019
7	0.0006	0.0270	0.6938	70.210	7	0.0006	0.0270	0.5574	56.937	7	0.0006	0.0270	0.4983	51.184
8	0.0007	0.0289	0.7415	74.892	8	0.0007	0.0289	0.6061	61.744	8	0.0007	0.0289	0.5454	55.850
9	0.0007	0.0306	0.7817	78.836	9	0.0007	0.0306	0.6494	66.011	9	0.0007	0.0306	0.5880	60.065
10	0.0008	0.0323	0.8156	82.159	10	0.0008	0.0323	0.6879	69.799	10	0.0008	0.0323	0.6267	63.874
11	0.0009	0.0338	0.8443	84.959	11	0.0009	0.0338	0.7222	73.163	11	0.0009	0.0338	0.6617	67.317
12	0.0010	0.0354	0.8685	87.319	12	0.0010	0.0354	0.7528	76.150	12	0.0010	0.0354	0.6935	70.430
13	0.0011	0.0368	0.8890	89.308	13	0.0011	0.0368	0.7799	78.803	13	0.0011	0.0368	0.7222	73.245
14	0.0011	0.0382	0.9063	90.984	14	0.0011	0.0382	0.8041	81.161	14	0.0011	0.0382	0.7483	75.791
15	0.0012	0.0395	0.9208	92.397	15	0.0012	0.0395	0.8257	83.255	15	0.0012	0.0395	0.7719	78.093
16	0.0013	0.0408	0.9332	93.589	16	0.0013	0.0408	0.8448	85.116	16	0.0013	0.0408	0.7933	80.175
17	0.0014	0.0421	0.9436	94.593	17	0.0014	0.0421	0.8619	86.769	17	0.0014	0.0421	0.8127	82.059
18	0.0015	0.0433	0.9523	95.440	18	0.0015	0.0433	0.8771	88.239	18	0.0015	0.0433	0.8303	83.763
19	0.0016	0.0445	0.9598	96.154	19	0.0016	0.0445	0.8906	89.544	19	0.0016	0.0445	0.8462	85.305
20	0.0016	0.0456	0.9660	96.766	20	0.0016	0.0456	0.9026	90.705	20	0.0016	0.0456	0.8606	86.700
21	0.0017	0.0468	0.9713	97.264	21	0.0017	0.0468	0.9133	91.737	21	0.0017	0.0468	0.8737	87.963
22	0.0018	0.0479	0.9758	97.692	22	0.0018	0.0479	0.9228	92.653	22	0.0018	0.0479	0.8856	89.105
23	0.0019	0.0489	0.9795	98.054	23	0.0019	0.0489	0.9313	93.468	23	0.0019	0.0489	0.8963	90.138
24	0.0020	0.0500	0.9827	98.358	24	0.0020	0.0500	0.9389	94.193	24	0.0020	0.0500	0.9060	91.073

Tabel 9 Hasil Perhitungan Derajat Konsolidasi  
dengan PVD Pola Segitiga

S = t (minggu)	1.6	m			S = t (minggu)	1.8	m			S = t (minggu)	2	m		
	Tv	Uv (%)	Uh (%)	Uratarata (%)		Tv	Uv (%)	Uh (%)	Uratarata (%)		Tv	Uv (%)	Uh (%)	Uratarata (%)
1	0.0001	0.0102	0.0809	9.027	1	0.0001	0.0102	0.0616	7.121	1	0.0001	0.0102	0.0483	5.802
2	0.0002	0.0144	0.1552	16.742	2	0.0002	0.0144	0.1195	13.218	2	0.0002	0.0144	0.0943	10.736
3	0.0002	0.0177	0.2236	23.728	3	0.0002	0.0177	0.1737	18.834	3	0.0002	0.0177	0.1380	15.327
4	0.0003	0.0204	0.2864	30.093	4	0.0003	0.0204	0.2247	24.049	4	0.0003	0.0204	0.1797	19.642
5	0.0004	0.0228	0.3441	35.905	5	0.0004	0.0228	0.2724	28.905	5	0.0004	0.0228	0.2193	23.712
6	0.0005	0.0250	0.3971	41.221	6	0.0005	0.0250	0.3173	33.436	6	0.0005	0.0250	0.2570	27.560
7	0.0006	0.0270	0.4459	46.086	7	0.0006	0.0270	0.3594	37.667	7	0.0006	0.0270	0.2929	31.201
8	0.0007	0.0289	0.4907	50.542	8	0.0007	0.0289	0.3989	41.620	8	0.0007	0.0289	0.3271	34.650
9	0.0007	0.0306	0.5319	54.624	9	0.0007	0.0306	0.4359	45.317	9	0.0007	0.0306	0.3596	37.919
10	0.0008	0.0323	0.5698	58.366	10	0.0008	0.0323	0.4707	48.775	10	0.0008	0.0323	0.3905	41.019
11	0.0009	0.0338	0.6046	61.796	11	0.0009	0.0338	0.5033	52.011	11	0.0009	0.0338	0.4200	43.960
12	0.0010	0.0354	0.6366	64.941	12	0.0010	0.0354	0.5339	55.039	12	0.0010	0.0354	0.4480	46.750
13	0.0011	0.0368	0.6660	67.825	13	0.0011	0.0368	0.5626	57.873	13	0.0011	0.0368	0.4747	49.398
14	0.0011	0.0382	0.6930	70.470	14	0.0011	0.0382	0.5896	60.526	14	0.0011	0.0382	0.5000	51.912
15	0.0012	0.0395	0.7178	72.896	15	0.0012	0.0395	0.6149	63.011	15	0.0012	0.0395	0.5242	54.299
16	0.0013	0.0408	0.7406	75.122	16	0.0013	0.0408	0.6386	65.337	16	0.0013	0.0408	0.5472	56.565
17	0.0014	0.0421	0.7616	77.164	17	0.0014	0.0421	0.6609	67.516	17	0.0014	0.0421	0.5690	58.718
18	0.0015	0.0433	0.7809	79.038	18	0.0015	0.0433	0.6818	69.557	18	0.0015	0.0433	0.5899	60.762
19	0.0016	0.0445	0.7986	80.758	19	0.0016	0.0445	0.7014	71.469	19	0.0016	0.0445	0.6097	62.704
20	0.0016	0.0456	0.8149	82.335	20	0.0016	0.0456	0.7198	73.260	20	0.0016	0.0456	0.6285	64.549
21	0.0017	0.0468	0.8299	83.783	21	0.0017	0.0468	0.7371	74.937	21	0.0017	0.0468	0.6465	66.301
22	0.0018	0.0479	0.8436	85.112	22	0.0018	0.0479	0.7533	76.509	22	0.0018	0.0479	0.6636	67.966
23	0.0019	0.0489	0.8563	86.332	23	0.0019	0.0489	0.7685	77.982	23	0.0019	0.0489	0.6798	69.548
24	0.0020	0.0500	0.8679	87.451	24	0.0020	0.0500	0.7828	79.362	24	0.0020	0.0500	0.6953	71.051

Tabel 10 Hasil Perhitungan Tegangan Geser Tanah (Cu)

<b>Kedalaman (m)</b>	<b>PI</b>	<b>Cu Empiris</b>	
		<b>kg/cm<sup>2</sup></b>	<b>Kpa</b>
0-1	40	0.07718	7.71849
1-2	40	0.08415	8.41548
2-3	40	0.09112	9.11246
3-4	40	0.09809	9.80945
4-5	40	0.10515	10.51528
5-6	40	0.11230	11.22997
6-7	40	0.11960	11.95963
7-8	40	0.12704	12.70425
8-9	40	0.13449	13.44888
9-10	40	0.14193	14.19350
10-11	40	0.14942	14.94231
11-12	40	0.15695	15.69532
12-13	40	0.16448	16.44833
13-14	40	0.17201	17.20050
14-15	40	0.17952	17.95184
15-16	40	0.18703	18.70319
16-17	40	0.19457	19.45736
17-18	40	0.20214	20.21436
18-19	40	0.21000	20.99968
19-20	40	0.21813	21.81332
20-21	40	0.22627	22.62696
21-22	40	0.23441	23.44060
22-23	41	0.24017	24.01668
23-24	41	0.24778	24.77796
24-25	41	0.25539	25.53924
25-26	41	0.26364	26.36393
26-27	41	0.27252	27.25205
27-28	41	0.28191	28.19068
28-29	41	0.29180	29.17984
29-30	41	0.30169	30.16900
30-31	41	0.31188	31.18783
31-32	41	0.32236	32.23635
32-33	41	0.33285	33.28487
33-34	41	0.34333	34.33339

Tabel 11 Perhitungan Panjang Kebutuhan *Geotextile*

No	Hi m	Ti m	tan θ	Cu kN/m <sup>2</sup>	σv kN/m <sup>2</sup>	Ka	σh kN/m <sup>2</sup>	τ1 kN/m <sup>2</sup>	τ2 kN/m <sup>2</sup>	Le m	Le pakai m	Lo m	Lr m	L total m
1	4.9	15.09	0.577	0	88.2	0.577	50.922	50.922	8.764	0.699	1.000	1.000	16.4531	20.000
2	4.6	14.79	0.577	0	82.8	0.577	47.805	47.805	47.805	0.437	1.000	1.000	16.1355	19.000
3	4.3	14.49	0.577	0	77.4	0.577	44.687	44.687	44.687	0.467	1.000	1.000	15.8074	19.000
4	4	14.19	0.577	0	72	0.577	41.569	41.569	41.569	0.502	1.000	1.000	15.4694	18.000
5	3.7	13.89	0.577	0	66.6	0.577	38.452	38.452	38.452	0.543	1.000	1.000	15.122	18.000
6	3.4	13.59	0.577	0	61.2	0.577	35.334	35.334	35.334	0.591	1.000	1.000	14.7656	18.000
7	3.1	13.29	0.577	0	55.8	0.577	32.216	32.216	32.216	0.648	1.000	1.000	14.4005	18.000
8	2.8	12.99	0.577	0	50.4	0.577	29.098	29.098	29.098	0.717	1.000	1.000	14.0271	17.000
9	2.5	12.69	0.577	0	45	0.577	25.981	25.981	25.981	0.803	1.000	1.000	13.6458	17.000
10	2.2	12.39	0.577	0	39.6	0.577	22.863	22.863	22.863	0.913	1.000	1.000	13.2568	17.000
11	1.9	12.09	0.577	0	34.2	0.577	19.745	19.745	19.745	1.057	2.000	1.000	12.8603	17.000
12	1.6	11.79	0.577	0	28.8	0.577	16.628	16.628	16.628	1.255	2.000	1.000	12.4567	17.000
13	1.3	11.49	0.577	0	23.4	0.577	13.510	13.510	13.510	1.545	2.000	1.000	12.0462	17.000
14	1	11.19	0.577	0	18	0.577	10.392	10.392	10.392	2.008	3.000	1.000	11.6289	18.000
15	0.7	10.89	0.577	0	12.6	0.577	7.275	7.275	7.275	2.869	3.000	1.000	11.2051	19.000
16	0.4	10.59	0.577	0	7.2	0.577	4.157	4.157	4.157	5.020	6.000	1.000	10.775	23.000
													TOTAL	292.000

Tabel 12 Perhitungan Kebutuhan *Geotextile*

H (m)	Ti (m)	Jumlah lapis	ΔMR komulatif
0	15.09	2	671.833 671.83304 NO
0.3	14.79	2	658.4765 1330.3096 NO
0.6	14.49	2	645.12 1975.4296 NO
0.9	14.19	2	631.7635 2607.193 NO
1.2	13.89	2	618.407 3225.6 NO
1.5	13.59	2	605.0504 3830.6504 NO
1.8	13.29	1	295.847 4126.4974 NO
2.1	12.99	1	289.1687 4415.6661 NO
2.4	12.69	1	282.4904 4698.1565 NO
2.7	12.39	1	275.8122 4973.9687 NO
3	12.09	1	269.1339 5243.1026 NO
3.3	11.79	1	262.4557 5505.5583 NO
3.6	11.49	1	255.7774 5761.3357 NO
3.9	11.19	1	249.0991 6010.4348 NO
4.2	10.89	1	242.4209 6252.8557 NO
4.5	10.59	1	235.7426 6488.5983 OK
TOTAL LAYER =		22	
TOTAL	404.000		

*“halaman ini sengaja dikosongkan”*

## LAMPIRAN 3

### CONTOH PERHITUNGAN TIMBUNAN TEGAK SEBELUM SUNGAI

#### 3.1 Perhitungan *Geotextile Wall*

Perkuatan timbunan tegak direncanakan menggunakan *geotextile wall* dengan spesifikasi bahan yang tertera pada **Lampiran I**.

##### a. Perhitungan tegangan tanah

Dengan asumsi beban yang akan diterima oleh timbunan adalah beban  $q = 10 \text{ Kpa}$ , maka perhitungan tegangan tanah arah kesamping adalah sebagai berikut:

$$\begin{aligned}Ka &= \tan^2(45-\emptyset/2) \\&= \tan^2(45-30/2) \\&= 0,3333\end{aligned}$$

$$\begin{aligned}\sigma_H &= \sigma_{Hs} + \sigma_{Hq} \\&= Ka \cdot \gamma \cdot z + Ka \cdot q \\&= (0,3333) \cdot (1,85) \cdot (z) + (0,3333) \cdot (10) \\&= 0,6167 z + 3,3333 \text{ kN/m}^2\end{aligned}$$

Perhitungan  $T_{allow}$  menggunakan rumus

$$\begin{aligned}T_{allow} &= \frac{T_{ult}}{FS_{ld} \times FS_{cr} \times FS_{cd} \times FS_{bd}} \\&= \frac{52}{1,5 \times 2,5 \times 1,25 \times 1,15} \\&= 9,65 \text{ kN/m}\end{aligned}$$

##### b. Perhitungan jarak pemasangan (Sv)

Hasil perhitungan jarak pemasangan (Sv) tercantum dalam tabel berikut.

Tabel 1 Perhitungan Sv

<b>z (m)</b>	<b><math>\sigma H_s</math> (kN/m<sup>2</sup>)</b>	<b><math>\sigma H_q</math> (kN/m<sup>2</sup>)</b>	<b><math>\sigma H</math> (kN/m<sup>2</sup>)</b>	<b>Sv (m)</b>	<b>Sv pakai (m)</b>
5	30,83	3,33	34,17	0,41	0,25
4	24,67	3,33	28,00	0,50	0,25
3	18,50	3,33	21,83	0,64	0,5
2	12,33	3,33	15,67	0,89	0,5
1	6,17	3,33	9,50	1,46	0,5

**c. Perhitungan panjang geotextile (L)**

Hasil perhitungan panjang geotextile untuk interna *stability* dapat dilihat pada tabel berikut.

Tabel 2 Perhitungan Panjang *Geotextile Wall*

<b>Layear</b>	<b>Z (m)</b>	<b>Sv (m)</b>	<b><math>\sigma H_s</math> (kN/m<sup>2</sup>)</b>	<b><math>\sigma H_q</math> (kN/m<sup>2</sup>)</b>	<b><math>\sigma H</math> (kN/m<sup>2</sup>)</b>	<b><math>\sigma v</math> (kN/m<sup>2</sup>)</b>	<b>Le (m)</b>	<b>Le pakai (m)</b>	<b>Lr (m)</b>	<b>Ltota l (m)</b>	<b>Lpakai (m)</b>
1	0,5	0,5	3,08	3,33	6,42	9,25	0,48	1	2,74	3,74	4
2	1	0,5	6,17	3,33	9,50	18,50	0,35	1	2,45	3,45	4
3	1,5	0,5	9,25	3,33	12,58	27,75	0,31	1	2,17	3,17	4
4	2	0,5	12,33	3,33	15,67	37,00	0,29	1	1,88	2,88	4
5	2,5	0,5	15,42	3,33	18,75	46,25	0,28	1	1,59	2,59	4
6	3	0,5	18,50	3,33	21,83	55,50	0,27	1	1,30	2,30	4
7	3,25	0,25	20,04	3,33	23,38	60,13	0,13	1	1,15	2,15	4
8	3,5	0,25	21,58	3,33	24,92	64,75	0,13	1	1,01	2,01	4
9	3,75	0,25	23,13	3,33	26,46	69,38	0,13	1	0,87	1,87	2
10	4	0,25	24,67	3,33	28,00	74,00	0,13	1	0,72	1,72	2
11	4,25	0,25	26,21	3,33	29,54	78,63	0,13	1	0,58	1,58	2
12	4,5	0,25	27,75	3,33	31,08	83,25	0,13	1	0,43	1,43	2
13	4,75	0,25	29,29	3,33	32,63	87,88	0,13	1	0,29	1,29	2

Tabel 2 Perhitungan Panjang *Geotextile Wall* (Lanjutan)

Laye r	Z (m)	S <sub>v</sub> (m)	σH <sub>s</sub> (kN/m <sup>2</sup> )	σH <sub>q</sub> (kN/m <sup>2</sup> )	σH (kN/m <sup>2</sup> )	σv (kN/m <sup>2</sup> )	L <sub>e</sub> (m)	L <sub>e</sub> pakai (m)	L <sub>r</sub> (m)	L <sub>tota l</sub> (m)	L <sub>pakai</sub> (m)
14	5	0,25	30,83	3,33	34,17	92,50	0,13	1	0,14	1,14	2
15	5,25	0,25	32,38	3,33	35,71	97,13	0,13	1	0	1	2

Nilai maksimum terdapat pada lapisan teratas, maka panjang lipatan yang digunakan adalah.

$$\begin{aligned} L_o &= \frac{Sv \times \sigma h \times (FS)}{4(c + \gamma \cdot z \cdot \tan \varphi)} \\ &= \frac{0,5 \times 6,42 \times 1,5}{4(0 + 1,85 \cdot 1,2 \cdot \tan 24)} \\ &= 0,240 \text{ m} \end{aligned}$$

Karena  $L_o$  minimal = 1m , maka digunakan  $L_o = 1 \text{ m}$  untuk tiap layer

#### d. Kontrol eksternal stability

Setelah mengecek internal stability, perlu juga dilakukan cek eksternal stability. Langkah pertama yaitu dengan mencari nilai Pa, yaitu tegangan pada titik berat diagram tegangan tanah.

$$\begin{aligned} Pa &= 0,5 \gamma H^2 Ka \\ &= 0,5 \cdot 1,85 \cdot (5,25)^2 \cdot Ka \\ &= 8,498 \text{ kN/m} \end{aligned}$$

$$Pa \cos 30^\circ = 7,360 \text{ kN/m}$$

$$Pa \sin 30^\circ = 4,249 \text{ kN/m}$$

$$\begin{aligned} FS_{OT} &= \sum \frac{\text{resisting movements}}{\text{driving movements}} \\ &= \frac{2 \cdot 5,25 \cdot 1,85 \cdot 1 + 2 \cdot 3,6 \cdot 1,85 \cdot 4 + 2 \cdot 1,2 \cdot 1,85 \cdot 5 + 4,249 \cdot 3,6}{7,360 \cdot 2,4} \\ &= 4,78 > 3 \text{ (OK)} \end{aligned}$$

Selain menghitung faktor keselamatan untuk *overturning*, perlu juga dilakukan perhitungan *safety factor* terhadap *Sliding* dimana FS tidak boleh lebih dari 1,5

$$\begin{aligned}
 \text{FS} &= \sum \frac{\text{resisting movements}}{\text{driving movements}} \\
 &= \frac{[Co + \left( \frac{w_1 + w_2 + Pa \sin \theta}{x} \right) \tan \phi]x}{Pa \cos \phi} \\
 &= 2,47 > 1,5 \text{ (OK)}
 \end{aligned}$$

Keterangan : Co = 0,8 Cu

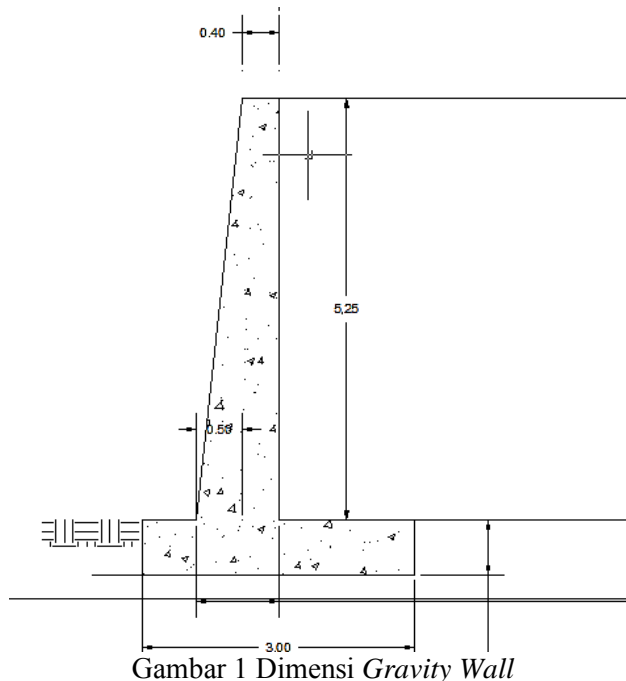
Setelah melakukan kontrol terhadap *overturning* dan *sliding*, dilakukan kontrol terhadap keruntuhan pondasi menggunakan bearing capacity pondasi dangkal.

$$\begin{aligned}
 q_{ult} &= c.Nc + q.Nq + 0,5 \cdot \gamma \cdot B \cdot N\gamma \\
 &= 32,26 \cdot 4 + 10 \cdot 1 + 0 \\
 &= 139,035 \text{ kN/m}^2 \\
 q_{act} &= 34,713 \text{ kN/m}^2 \\
 \text{SF} &= 3,72 > 3 \text{ (OK)}
 \end{aligned}$$

Dengan dilakukannya seluruh kontrol diatas, maka perencanaan *geotextile wall* telah selesai dilakukan dan hasil perhitungan diatas diyakini dapat diterapkan oprit dengan timbunan tegak setinggi 5,25 m tersebut.

### 3.2 Perhitungan *Gravity Wall*

Direncanakan gravity wall setinggi 5,25 m pada timbunan tegak sebelum sungai.



Perhitungan tekanan tanah aktif:

Tabel III.3 Perhitungan Tekanan Tanah Aktif

Kedalaman (m)	STA 28+671 s/d 28+678		
	$\sigma'v_a(t/m^2)$	$\sigma'v_q(t/m^2)$	$\sigma'h(t/m^2)$
0	0	1	0,333333
5,85	10,8225	1	3,940833

Perhitungan berat sendiri dan gravity akibat tanah:

WA=	0,4	$\times$	5,25	$\times$	2,4		$\square$	32,76	t
WB=	0,5	$\times$	5,25	$\times$	2,4	$\times$	$\square$	20,475	t
WC=	0,6	$\times$	3	$\times$	2,4		$\square$	28,08	t
JUMLAH BERAT=								81,315	t
<b>Berat Tanah:</b>									
Wt=	5,25	$\times$	1,5	$\times$	1,85		$\square$	94,69688	t
	0	$\times$	1,5	$\times$	0		$\square$	0	
JUMLAH BERAT=								94,69688	
<b>Berat Total:</b>									
								176,0119	t

Tabel 4 Perhitungan Momen Penahan

	Beban	Lengan	Momen	
MA=	32,76	-0,2	-6,552	tm
MB=	20,475	-0,56667	-11,6025	tm
MC=	28,08	0	0	tm
Mt=	94,69688	0,75	71,02266	tm
			52,86816	tm

Tabel 5 Hasil Perhitungan Gaya Dorong Akibat Tekanan Aktif

Gaya Aktif yang Bekerja:		
Ea1=	12,675	t
Ea2=	68,58759	t

Tabel 6 Hasil Perhitungan Momen Akibat Gaya Dorong Tekanan Aktif

Momen Dorong

	Beban	Lengan	Momen	
M1=	12,675	2,925	37,074375	tm
M2=	68,58759	1,95	133,74581	tm

Tabel 7 Rekap Gaya-Gaya Yang Bekerja pada *Gravity Wall*

Gaya Gaya yang Bekerja		
V=	176,0119	t
H=	81,26259	t
M=	117,952	tm

Dari beban beban tersebut dimasukkan kedalam rumus

$$P_1 \text{ tiang} = \frac{V}{n} \pm \frac{M_x \cdot y_i}{\sum y_i^2} \pm \frac{M_y \cdot x_i}{\sum x_i^2}$$

Dihitung untuk D40:

Jumlah m x n = 3 x 6 buah

P 1 tiang = 18,7142 ton

Syarat: Qult x Ce > P 1tiang

Ce = efisiensi tiang berdasarkan Converse-Labare

$$Ce = 1 - \frac{\arctan(\frac{\phi}{S})}{90^\circ} x \left(2 - \frac{1}{m} - \frac{1}{n}\right)$$

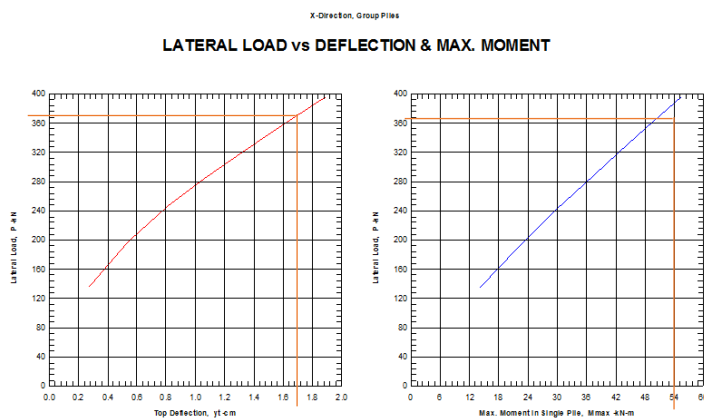
Didapatkan:

Ce= 0,667

Qult= 28,87 ton

Qult x Ce = 19,25 ton > P1 tiang (OK)

Selanjutnya kontrol defleksi tiang dan momen maksimum tiang di cek dengan menggunakan pemrograman Allpile.



Gambar 2 Kontrol Defleksi Tiang dengan Program AllPile

Didapatkan:

Defleksi sebesar  $1,85 \text{ cm} < 2 \text{ cm}$  (OK)

$M_{\max}$  sebesar  $5,4 \text{ ton.m} < 5,5 \text{ ton.m}$  (OK)

## LAMPIRAN 4

### TABEL PERHITUNGAN ABUTMENT

#### 4.1 Perencanaan Abutment 1

##### 1. Kombinasi Pembebatan

**Tabel 1 Kombinasi 1**

jenis beban (aksi)	Gaya (kN)			momen-x	momen-y
	Hx	Hy	V	(kN-m)	(kN-m)
<b>Aksi Tetap</b>					
Beban Struktur Atas	0,00	0	1995	0,000	-37,907508
Beban Struktur Bawah	0	0	6736,362	0	-6049,324898
Beban Oprit	2234,8125	0	0,00	0	5751,213542
<b>Beban Hidup</b>					
Beban Struktur Atas	55,46	0	1109	0,000	383,796175
Beban Struktur Bawah	0	0	0	0	0
Beban Oprit	0	0	0,00	0	0
<b>TOTAL</b>	<b>2290,27</b>	<b>0,00</b>	<b>9840,73</b>	<b>0,00</b>	<b>47,78</b>

**Tabel 2 Kombinasi 2**

jenis beban (aksi)	Gaya (kN)			momen-x	momen-y
	Hx	Hy	V	(kN-m)	(kN-m)
<b>Aksi Tetap</b>					
Beban Struktur Atas	0,00	0,00	1995,13	0,00	-37,91
Beban Struktur Bawah	0,00	0,00	6736,36	0,00	-6049,32
Beban Oprit	2234,81	0,00	0,00	0,00	5751,21
<b>Beban Hidup</b>					
Beban Struktur Atas	55,46	0,00	1109,24	0,00	383,80
Beban Struktur Bawah	0,00	0,00	0,00	0,00	0,00
Beban Oprit	0,00	0,00	0,00	0,00	0,00
<b>Temperatur</b>					
Beban Struktur Atas	16,41	0	0	0,000	89,4140625
Beban Struktur Bawah	0	0	0	0	0
Beban Oprit	0	0	0,00	0	0
<b>TOTAL</b>	<b>2306,68</b>	<b>0,00</b>	<b>9840,73</b>	<b>0,00</b>	<b>137,19</b>

**Tabel 3 Kombinasi 3**

jenis beban (aksi)	Gaya (kN)			momen-x	momen-y
	Hx	Hy	V	(kN-m)	(kN-m)
<b>Aksi Tetap</b>					
Beban Struktur Atas	0,00	0,00	1995,13	0,00	-37,91
Beban Struktur Bawah	0,00	0,00	6736,36	0,00	-6049,32
Beban Oprit	2234,81	0,00	0,00	0,00	5751,21
<b>Beban Hidup</b>					
Beban Struktur Atas	55,46	0,00	1109,24	0,00	383,80
Beban Struktur Bawah	0,00	0,00	0,00	0,00	0,00
Beban Oprit	0,00	0,00	0,00	0,00	0,00
<b>Angin</b>					
Beban Struktur Atas	0	88,43	0	641,115234	0
Beban Struktur Bawah	0	0	0	0	0
Beban Oprit	0	0	0,00	0	0
<b>TOTAL</b>	<b>2290,27</b>	<b>88,43</b>	<b>9840,73</b>	<b>641,12</b>	<b>47,78</b>

Tabel 4 Kombinasi 4

jenis beban (aksi)	Gaya (kN)			momen-x	momen-y
	Hx	Hy	V	(kN-m)	(kN-m)
Aksi Tetap					
Beban Struktur Atas	0,00	0,00	1995,13	0,00	-37,91
Beban Struktur Bawah	0,00	0,00	6736,36	0,00	-6049,32
Beban Oprit	2234,81	0,00	0,00	0,00	5751,21
Beban Hidup					
Beban Struktur Atas	55,46	0,00	1109,24	0,00	383,80
Beban Struktur Bawah	0,00	0,00	0,00	0,00	0,00
Beban Oprit	0,00	0,00	0,00	0,00	0,00
Temperatur					
Beban Struktur Atas	16,41	0,00	0,00	0,00	89,41
Beban Struktur Bawah	0,00	0,00	0,00	0,00	0,00
Beban Oprit	0,00	0,00	0,00	0,00	0,00
Angin					
Beban Struktur Atas	0	88,43	0,00	641,12	0
Beban Struktur Bawah	0,00	0,00	0,00	0,00	0,00
Beban Oprit	0,00	0,00	0,00	0,00	0,00
TOTAL	2306,68	88,43	9840,73	641,12	137,19

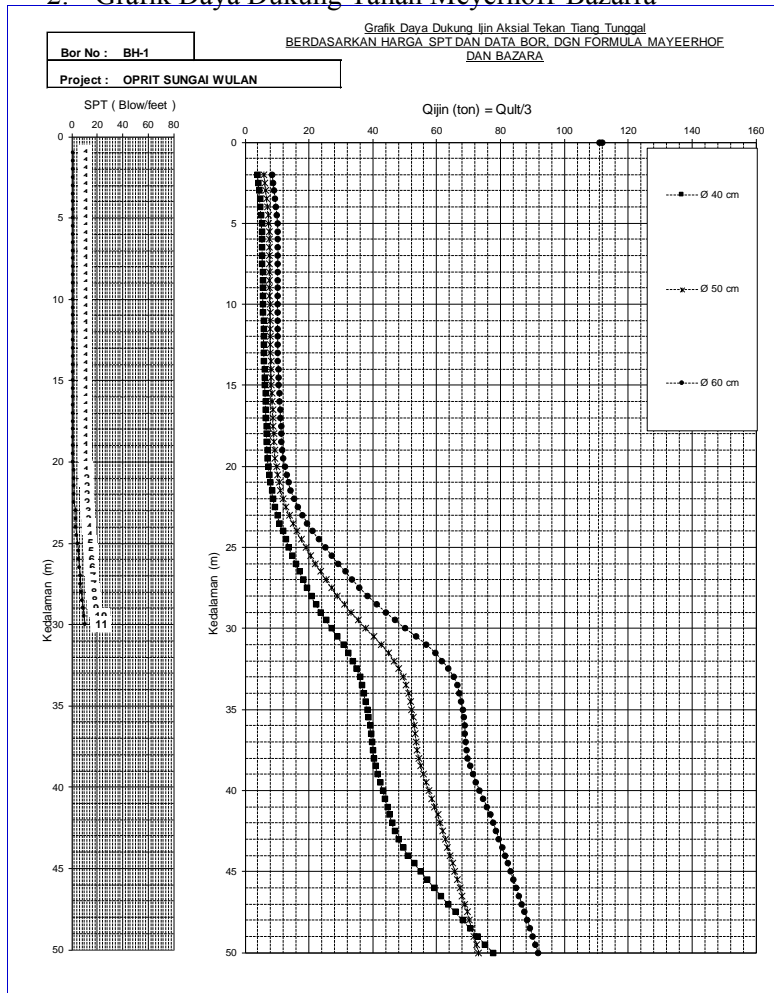
Tabel 5 Kombinasi 5(x)

jenis beban (aksi)	Gaya (kN)			momen-x	momen-y
	Hx	Hy	V	(kN-m)	(kN-m)
Aksi Tetap					
Beban Struktur Atas	0,00	0,00	1995,13	0,00	-37,91
Beban Struktur Bawah	0,00	0,00	6736,36	0,00	-6049,32
Beban Oprit	2234,81	0,00	0,00	0,00	5751,21
Beban Gempa (x)					
Beban Struktur Atas	409,71	0	0	0,000	2232,920
Beban Struktur Bawah	1383,34	0	0	0	4278,024
Beban Oprit	2032,08	0	0,00	0	10024,91
TOTAL	6059,94	0,00	8731,49	0,00	16199,83

Tabel 6 Kombinasi 5(y)

jenis beban (aksi)	Gaya (kN)			momen-x	momen-y
	Hx	Hy	V	(kN-m)	(kN-m)
Aksi Tetap					
Beban Struktur Atas	0,00	0,00	1995,13	0,00	-37,91
Beban Struktur Bawah	0,00	0,00	6736,36	0,00	-6049,32
Beban Oprit	2234,81	0,00	0,00	0,00	5751,21
Beban Gempa (y)					
Beban Struktur Atas	0,00	143,87	0	784,117	0,000
Beban Struktur Bawah	0	485,78	0	1189,486	0,000
Beban Oprit	0	0	0,00	0	0
TOTAL	2234,81	629,65	8731,49	1973,60	-336,02

## 2. Grafik Daya Dukung Tanah Meyerhoff-Bazara



Gambar 1 Grafik Daya Dukung Tanah BH-1

## 4.2 Perencanaan Abutment 2

### 1. Kombinasi Pembebatan

Tabel 7 Kombinasi 1

jenis beban (aksi)	Gaya (kN)			momen-x	momen-y
	Hx	Hy	V	(kN-m)	(kN-m)
Aksi Tetap					
Beban Struktur Atas	0,00	0	1995	0,000	-37,907508
Beban Struktur Bawah	0	0	6779,562	0	-6050,145698
Beban Oprit	2322,12	0	0,00	0	6092,962667
Beban Hidup					
Beban Struktur Atas	55,46	0	1109	0,000	392,1154563
Beban Struktur Bawah	0	0	0	0	0
Beban Oprit	0	0	0,00	0	0
TOTAL	2377,58	0,00	9883,93	0,00	397,02

Tabel 8 Kombinasi 2

jenis beban (aksi)	Gaya (kN)			momen-x	momen-y
	Hx	Hy	V	(kN-m)	(kN-m)
Aksi Tetap					
Beban Struktur Atas	0,00	0,00	1995,13	0,00	-37,91
Beban Struktur Bawah	0,00	0,00	6779,56	0,00	-6050,15
Beban Oprit	2322,12	0,00	0,00	0,00	6092,96
Beban Hidup					
Beban Struktur Atas	55,46	0,00	1109,24	0,00	392,12
Beban Struktur Bawah	0,00	0,00	0,00	0,00	0,00
Beban Oprit	0,00	0,00	0,00	0,00	0,00
Temperatur					
Beban Struktur Atas	16,41	0	0	0,000	91,875
Beban Struktur Bawah	0	0	0	0	0
Beban Oprit	0	0	0,00	0	0
TOTAL	2393,99	0,00	9883,93	0,00	488,90

Tabel 9 Kombinasi 3

jenis beban (aksi)	Gaya (kN)			momen-x	momen-y
	Hx	Hy	V	(kN-m)	(kN-m)
Aksi Tetap					
Beban Struktur Atas	0,00	0,00	1995,13	0,00	-37,91
Beban Struktur Bawah	0,00	0,00	6779,56	0,00	-6050,15
Beban Oprit	2322,12	0,00	0,00	0,00	6092,96
Beban Hidup					
Beban Struktur Atas	55,46	0,00	1109,24	0,00	392,12
Beban Struktur Bawah	0,00	0,00	0,00	0,00	0,00
Beban Oprit	0,00	0,00	0,00	0,00	0,00
Angin					
Beban Struktur Atas	0	88,43	0	641,115234	0
Beban Struktur Bawah	0	0	0	0	0
Beban Oprit	0	0	0,00	0	0
TOTAL	2377,58	88,43	9883,93	641,12	397,02

Tabel 10 Kombinasi 4

jenis beban (aksi)	Gaya (kN)			momen-x	momen-y
	Hx	Hy	V	(kN-m)	(kN-m)
<b>Aksi Tetap</b>					
Beban Struktur Atas	0,00	0,00	1995,13	0,00	-37,91
Beban Struktur Bawah	0,00	0,00	6779,56	0,00	-6050,15
Beban Oprit	2322,12	0,00	0,00	0,00	6092,96
<b>Beban Hidup</b>					
Beban Struktur Atas	55,46	0,00	1109,24	0,00	392,12
Beban Struktur Bawah	0,00	0,00	0,00	0,00	0,00
Beban Oprit	0,00	0,00	0,00	0,00	0,00
<b>Temperatur</b>					
Beban Struktur Atas	16,41	0,00	0,00	0,00	91,88
Beban Struktur Bawah	0,00	0,00	0,00	0,00	0,00
Beban Oprit	0,00	0,00	0,00	0,00	0,00
<b>Angin</b>					
Beban Struktur Atas	0	88,43	0,00	641,12	0
Beban Struktur Bawah	0,00	0,00	0,00	0,00	0,00
Beban Oprit	0,00	0,00	0,00	0,00	0,00
TOTAL	2393,99	88,43	9883,93	641,12	488,90

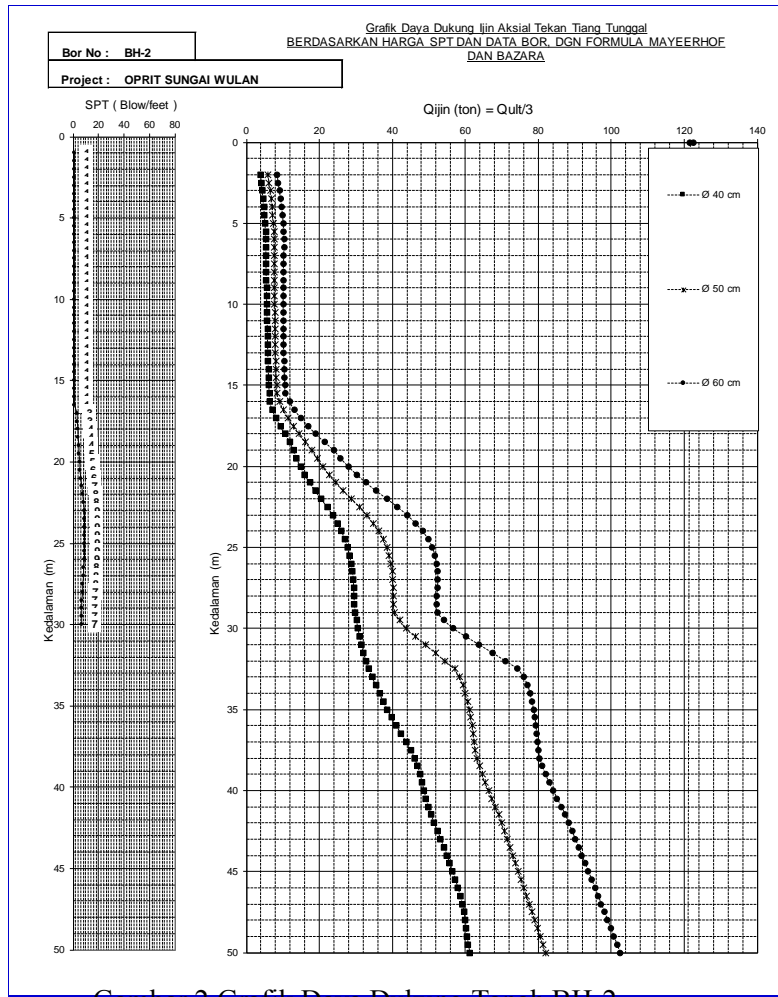
Tabel 11 Kombinasi 5(x)

jenis beban (aksi)	Gaya (kN)			momen-x	momen-y
	Hx	Hy	V	(kN-m)	(kN-m)
<b>Aksi Tetap</b>					
Beban Struktur Atas	0,00	0,00	1995,13	0,00	-37,91
Beban Struktur Bawah	0,00	0,00	6779,56	0,00	-6050,15
Beban Oprit	2322,12	0,00	0,00	0,00	6092,96
<b>Beban Gempa (x)</b>					
Beban Struktur Atas	423,88	0	0	0,000	2373,717
Beban Struktur Bawah	1440,36	0	0	0	4476,668
Beban Oprit	2072,39	0	0,00	0	10223,78
TOTAL	6258,74	0,00	8774,69	0,00	17079,07

Tabel 12 Kombinasi 5(y)

jenis beban (aksi)	Gaya (kN)			momen-x	momen-y
	Hx	Hy	V	(kN-m)	(kN-m)
<b>Aksi Tetap</b>					
Beban Struktur Atas	0,00	0,00	1995,13	0,00	-37,91
Beban Struktur Bawah	0,00	0,00	6779,56	0,00	-6050,15
Beban Oprit	2322,12	0,00	0,00	0,00	6092,96
<b>Beban Gempa (y)</b>					
Beban Struktur Atas	0,00	145,06	0	812,310	0,000
Beban Struktur Bawah	0	492,91	0	1216,601	0,000
Beban Oprit	0	0	0,00	0	0
TOTAL	2322,12	637,96	8774,69	2028,91	4,91

## 2. Grafik Daya Dukung Tanah Meyerhoff-Bazarra



Gambar 2 Grafik Daya Dukung Tanah BH-2

## LAMPIRAN 5

### TABEL PERHITUNGAN PILAR

#### 5.1 Perencanaan Pilar

##### 1. Kombinasi Pembebanan

Tabel 1 Kombinasi 1

jenis beban (aksi)	Gaya (kN)			momen-x	momen-y
	Hx	Hy	V	(kN-m)	(kN-m)
<b>Aksi Tetap</b>					
Beban Struktur Atas	0,00	0	6936	0,000	1094,61804
Beban Struktur Bawah	0	0	4763,52	0	-103,68
<b>Beban Aliran</b>					
Beban Struktur Atas	28,35	0	0	0	127,575
Beban Struktr Bawah	0	0	0	0	0
<b>Beban Hidup</b>					
Beban Struktur Atas	89,92	0	1798	0,000	1726,368
Beban Struktur Bawah	0	0	0	0	0
<b>TOTAL</b>	<b>118,27</b>	<b>0,00</b>	<b>13498,02</b>	<b>0,00</b>	<b>2844,88</b>

Tabel 2 Kombinasi 2

jenis beban (aksi)	Gaya (kN)			momen-x	momen-y
	Hx	Hy	V	(kN-m)	(kN-m)
<b>Aksi Tetap</b>					
Beban Struktur Atas	0,00	0,00	6936,20	0,00	1094,62
Beban Struktur Bawah	0,00	0,00	4763,52	0,00	-103,68
<b>Beban Hidup</b>					
Beban Struktur Atas	89,92	0,00	1798,30	0,00	1726,37
Beban Struktur Bawah	0,00	0,00	0,00	0,00	0,00
<b>Temperatur</b>					
Beban Struktur Atas	21,09	0	0	0,000	206,71875
Beban Struktur Bawah	0	0	0	0	0
<b>Beban Aliran</b>					
Beban Struktur Atas	28,35	0	0	0	127,575
Beban Struktr Bawah	0	0	0	0	0
<b>TOTAL</b>	<b>139,36</b>	<b>0,00</b>	<b>13498,02</b>	<b>0,00</b>	<b>3051,60</b>

Tabel 3 Kombinasi 3

jenis beban (aksi)	Gaya (kN)			momen-x	momen-y
	Hx	Hy	V	(kN-m)	(kN-m)
<b>Aksi Tetap</b>					
Beban Struktur Atas	0,00	0,00	6936,20	0,00	1094,62
Beban Struktur Bawah	0,00	0,00	4763,52	0,00	-103,68
<b>Beban Hidup</b>					
Beban Struktur Atas	89,92	0,00	1798,30	0,00	1726,37
Beban Struktur Bawah	0,00	0,00	0,00	0,00	0,00
<b>Angin</b>					
Beban Struktur Atas	0	130,92	0	949,183594	0
Beban Struktr Bawah	0	0	0	0	0
<b>Beban Aliran</b>					
Beban Struktur Atas	28,35	0	0	0	127,575
Beban Struktr Bawah	0	0	0	0	0
<b>TOTAL</b>	<b>118,27</b>	<b>130,92</b>	<b>13498,02</b>	<b>949,18</b>	<b>2844,88</b>

Tabel 4 Kombinasi 4

jenis beban (aksi)	Gaya (kN)			momen-x	momen-y
	Hx	Hy	V	(kN-m)	(kN-m)
Aksi Tetap					
Beban Struktur Atas	0,00	0,00	6936,20	0,00	1094,62
Beban Struktur Bawah	0,00	0,00	4763,52	0,00	-103,68
Beban Hidup					
Beban Struktur Atas	89,92	0,00	1798,30	0,00	1726,37
Beban Struktur Bawah	0,00	0,00	0,00	0,00	0,00
Temperatur					
Beban Struktur Atas	21,09	0,00	0,00	0,00	206,72
Beban Struktur Bawah	0,00	0,00	0,00	0,00	0,00
Angin					
Beban Struktur Atas	0	130,92	0,00	949,18	0
Beban Struktur Bawah	0,00	0,00	0,00	0,00	0,00
Beban Aliran					
Beban Struktur Atas	28,35	0	0	0	127,575
Beban Struktur Bawah	0	0	0	0	0
TOTAL	139,36	130,92	13498,02	949,18	3051,60

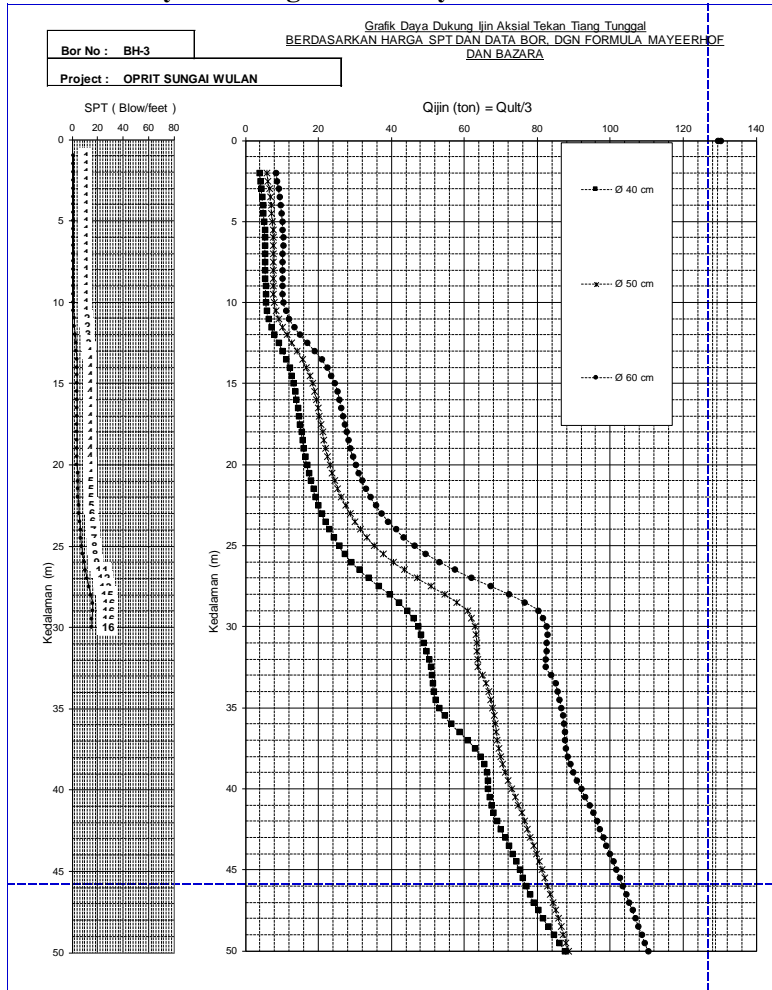
Tabel 5 Kombinasi 5(x)

jenis beban (aksi)	Gaya (kN)			momen-x	momen-y
	Hx	Hy	V	(kN-m)	(kN-m)
Aksi Tetap					
Beban Struktur Atas	0,00	0,00	6936,20	0,00	1094,62
Beban Struktur Bawah	0,00	0,00	4763,52	0,00	-103,68
Beban Gempa (x)					
Beban Struktur Atas	2764,68	0	0	0,000	11684,803
Beban Struktur Bawah	1898,67	0	0	0	8664,626
Beban Aliran					
Beban Struktur Bawah	28,35	0	0	0	127,575
Angin	0	0	0	0	0
TOTAL	4663,35	0,00	11699,72	0,00	21340,37

Tabel 6 Kombinasi 5(y)

jenis beban (aksi)	Gaya (kN)			momen-x	momen-y
	Hx	Hy	V	(kN-m)	(kN-m)
Aksi Tetap					
Beban Struktur Atas	0,00	0,00	6936,20	0,00	1094,62
Beban Struktur Bawah	0,00	0,00	4763,52	0,00	-103,68
Beban Gempa (y)					
Beban Struktur Atas	0,00	611,88	0	2586,092	0,000
Beban Struktur Bawah	0	420,22	0	1917,663	0,000
Beban Aliran					
Beban Struktur Bawah	28,35	0	0	0	127,575
Beban Gempa (x)	0	0	0	0	0
TOTAL	0,00	1032,10	11699,72	4503,76	990,94

## 2. Grafik Daya Dukung Tanah Meyerhoff-Bazara



Gambar 1 Grafik Daya Dukung Tanah BH-3

*“halaman ini sengaja dikosongkan”*



JURUSAN TEKNIK SIPIL  
FTSP - ITS  
SURABAYA

TUGAS AKHIR

PERENCANAAN OPRIT,  
TIMBUNAN, DAN PONDASI  
JEMBATAN BARU DI SUNGAI  
WULAN, JEPARA

DOSEN PEMBIMBING

Ir. SUWARNO, M.Eng  
Dr. YUDHI LASTIASIH, S.T., M.T.

MAHASISWA

DEDY MANUDIANTO 3111 100 001  
MUHAMMAD REZA PAHLEVI G. 3111 100 080

GAMBAR

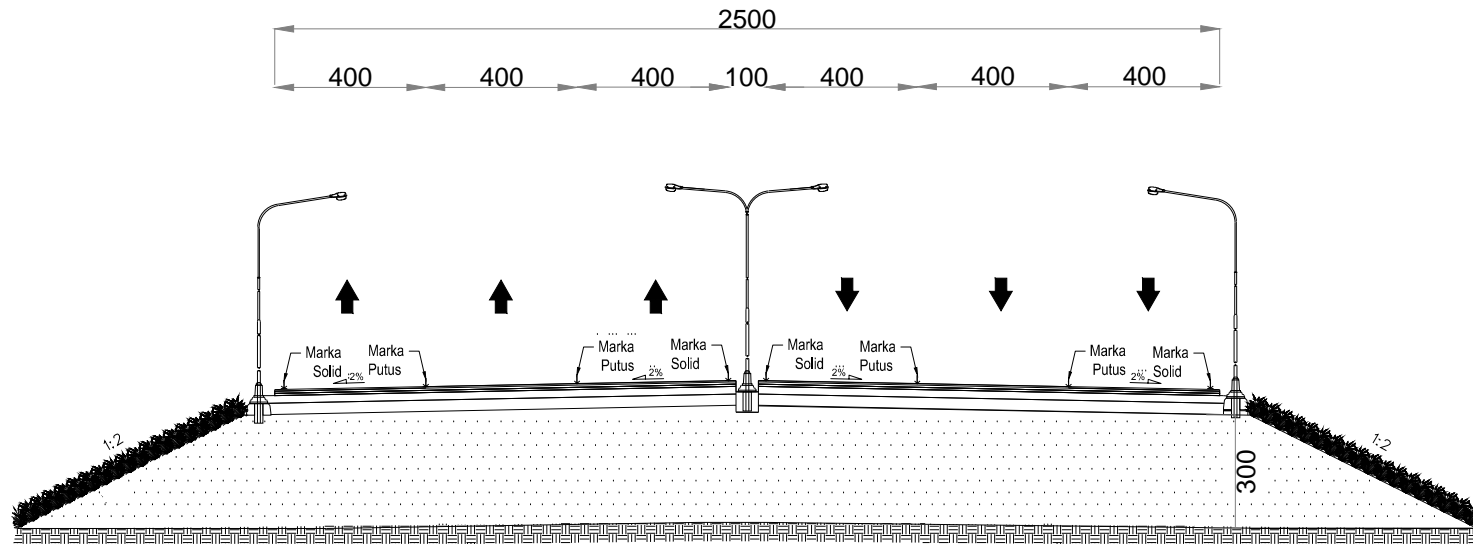
RENCANA POTONGAN  
MELINTANG TIMBUNAN  
JALAN

NO. GAMBAR

1

25

CATATAN



POTONGAN MELINTANG JALAN  
SKALA 1:200



JURUSAN TEKNIK SIPIL  
FTSP - ITS  
SURABAYA

TUGAS AKHIR

PERENCANAAN OPRIT,  
TIMBUNAN, DAN PONDASI  
JEMBATAN BARU DI SUNGAI  
WULAN, JEPARA

DOSEN PEMBIMBING

Ir. SUWARNO, M.Eng  
Dr. YUDHI LASTIASIH, S.T., M.T.

MAHASISWA

DEDY MANUDIANTO 3111 100 001  
MUHAMMAD REZA PAHLEVI G. 3111 100 080

GAMBAR

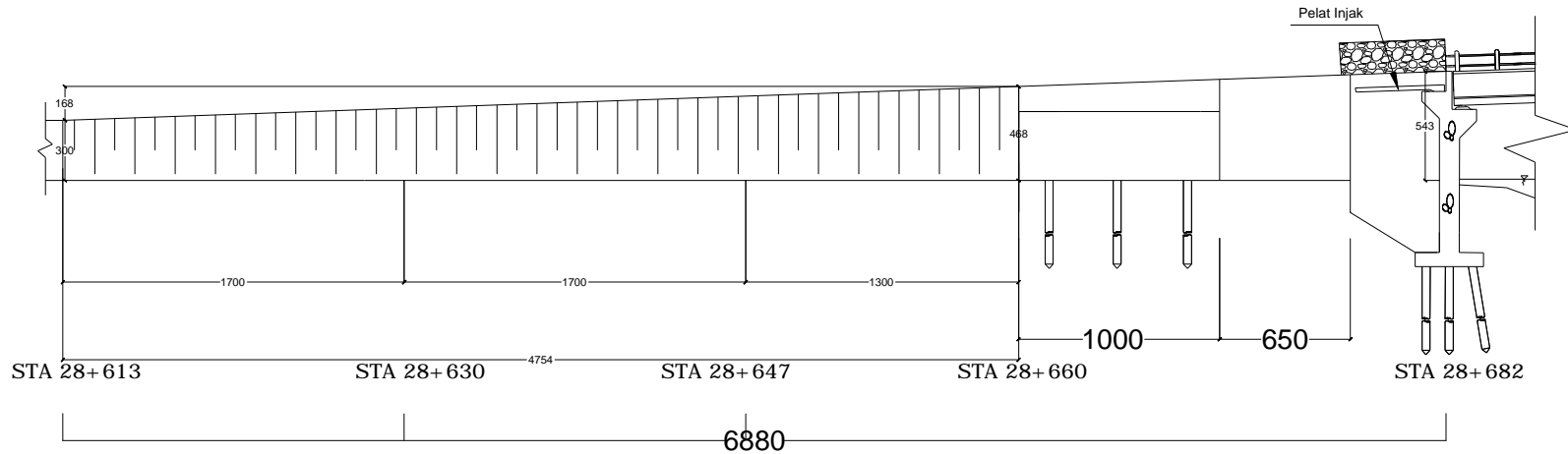
RENCANA POTONGAN  
MEMANJANG OPRIT 1

NO. GAMBAR

2

25

CATATAN



POTONGAN MEMANJANG OPRIT 1  
SKALA 1:370



JURUSAN TEKNIK SIPIL  
FTSP - ITS  
SURABAYA

TUGAS AKHIR

PERENCANAAN OPRIT,  
TIMBUNAN, DAN PONDASI  
JEMBATAN BARU DI SUNGAI  
WULAN, JEPARA

DOSEN PEMBIMBING

Ir. SUWARNO, M.Eng  
Dr. YUDHI LASTIASIH, S.T., M.T.

MAHASISWA

DEDY MANUDIANTO 3111 100 001  
MUHAMMAD REZA PAHLEVI G. 3111 100 080

GAMBAR

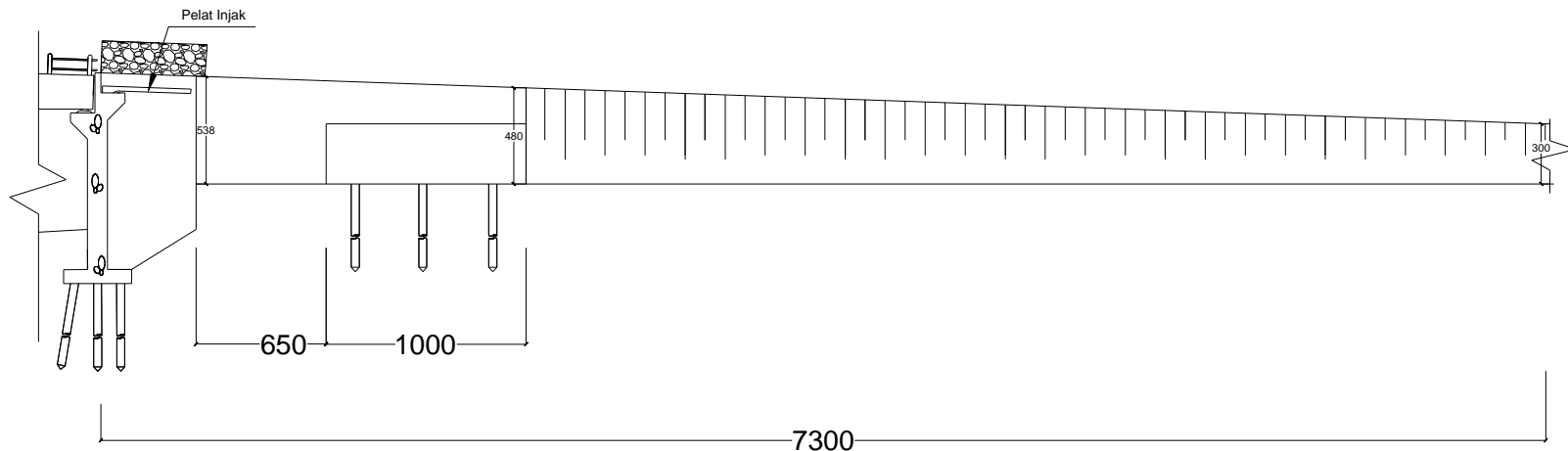
RENCANA POTONGAN  
MEMANJANG OPRIT 2

NO. GAMBAR

3

25

CATATAN



POTONGAN MEMANJANG OPRIT 2  
SKALA 1:370



JURUSAN TEKNIK SIPIL  
FTSP - ITS  
SURABAYA

TUGAS AKHIR

PERENCANAAN OPRIT,  
TIMBUNAN, DAN PONDASI  
JEMBATAN BARU DI SUNGAI  
WULAN, JEPARA

DOSEN PEMBIMBING

Ir. SUWARNO, M.Eng  
Dr. YUDHI LASTIASIH, S.T., M.T.

MAHASISWA

DEDY MANUDIANTO 3111 100 001  
MUHAMMAD REZA PAHLEVI G. 3111 100 080

GAMBAR

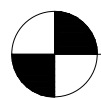
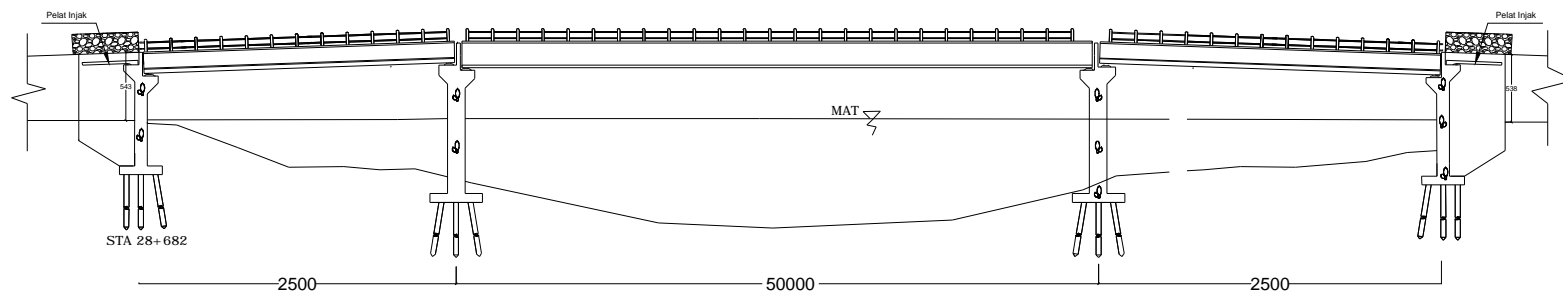
RENCANA POTONGAN  
MEMANJANG OPRIT 2

NO. GAMBAR

4

25

CATATAN



POTONGAN MEMANJANG JEMBATAN  
SKALA 1:600



JURUSAN TEKNIK SIPIL  
FTSP - ITS  
SURABAYA

TUGAS AKHIR

PERENCANAAN OPRIT,  
TIMBUNAN, DAN PONDASI  
JEMBATAN BARU DI SUNGAI  
WULAN, JEPARA

DOSEN PEMBIMBING

Ir. SUWARNO, M.Eng  
Dr. YUDHI LASTIASIH, S.T., M.T.

MAHASISWA

DEDY MANUDIANTO 3111 100 001  
MUHAMMAD REZA PAHLEVI G. 3111 100 080

GAMBAR

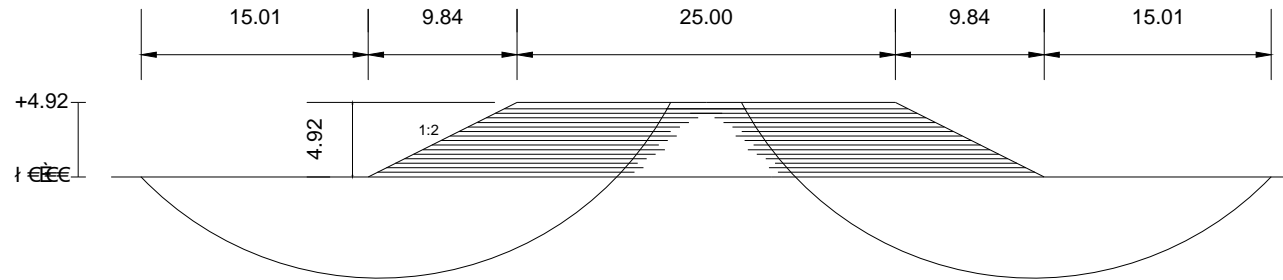
POTONGAN MELINTANG TIMBUNAN JALAN DENGAN  
GEOTEXTILE

NO. GAMBAR

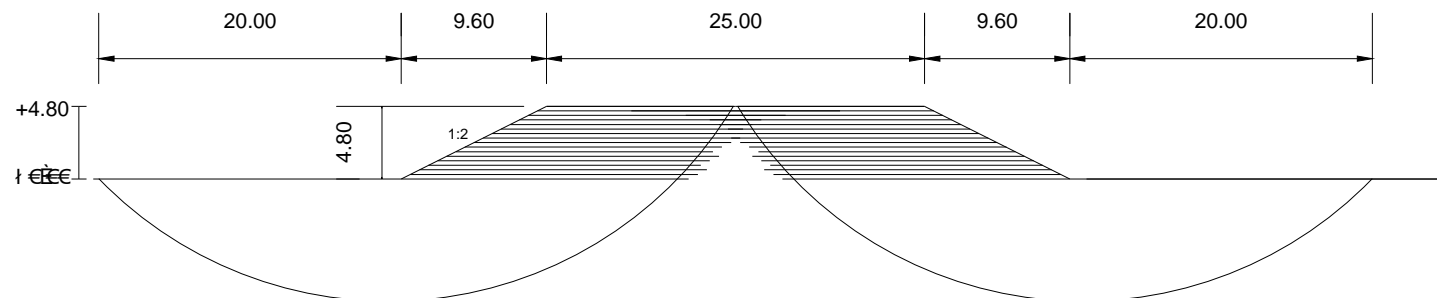
5

25

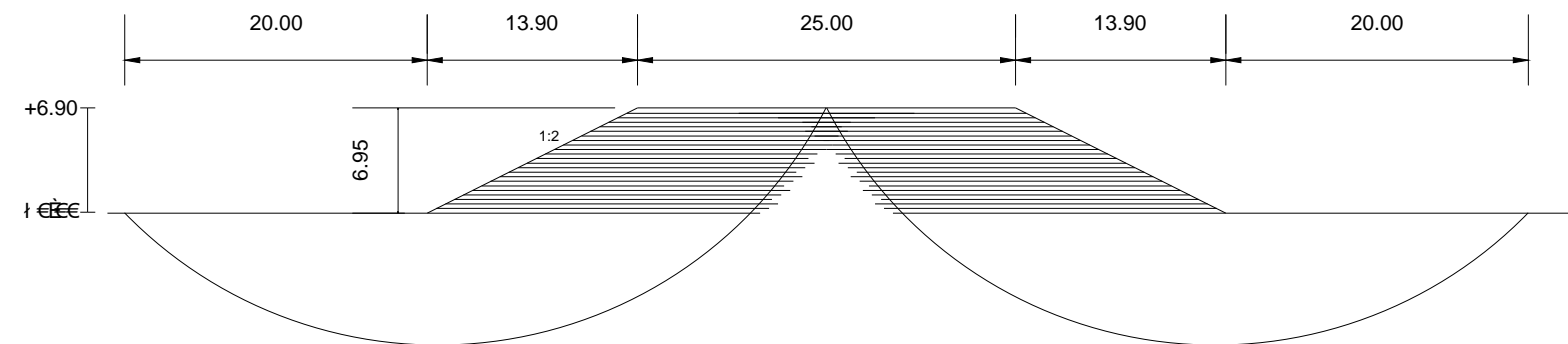
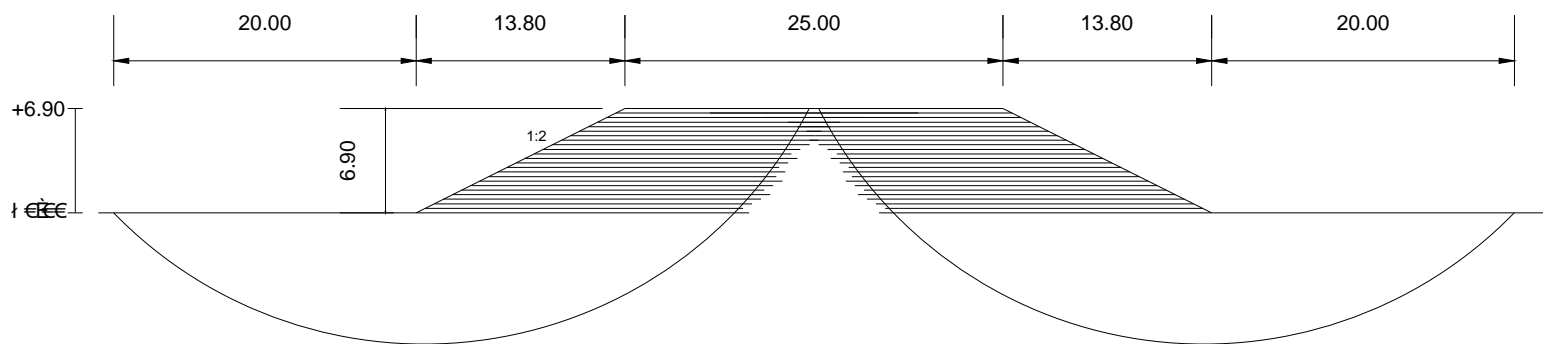
CATATAN



POTONGAN MELINTANG JALAN SEBELUM SUNGAI  
SKALA 1:500



POTONGAN MELINTANG JALAN SETELAH SUNGAI  
SKALA 1:500



JURUSAN TEKNIK SIPIL  
FTSP - ITS  
SURABAYA

TUGAS AKHIR

PERENCANAAN OPRIT,  
TIMBUNAN, DAN PONDASI  
JEMBATAN BARU DI SUNGAI  
WULAN, JEPARA

DOSEN PEMBIMBING

Ir. SUWARNO, M.Eng  
Dr. YUDHI LASTIASIH, S.T., M.T.

MAHASISWA

DEDY MANUDIANTO 3111 100 001  
MUHAMMAD REZA PAHLEVI G. 3111 100 080

GAMBAR

POTONGAN MELINTANG  
TIMBUNAN OPRIT DENGAN  
GEOTEXTILE

NO. GAMBAR

6

25

CATATAN



JURUSAN TEKNIK SIPIL  
FTSP - ITS  
SURABAYA

TUGAS AKHIR

PERENCANAAN OPRIT,  
TIMBUNAN, DAN PONDASI  
JEMBATAN BARU DI SUNGAI  
WULAN, JEPARA

DOSEN PEMBIMBING

Ir. SUWARNO, M.Eng  
Dr. YUDHI LASTIASIH, S.T., M.T.

MAHASISWA

DEDY MANUDIANTO 3111 100 001  
MUHAMMAD REZA PAHLEVI G. 3111 100 080

GAMBAR

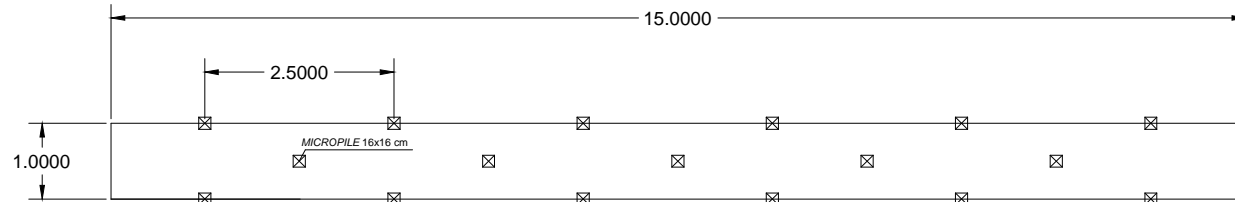
POTONGAN MELINTANG TIMBUNAN JALAN DENGAN  
*MICROPILE*

NO. GAMBAR

7

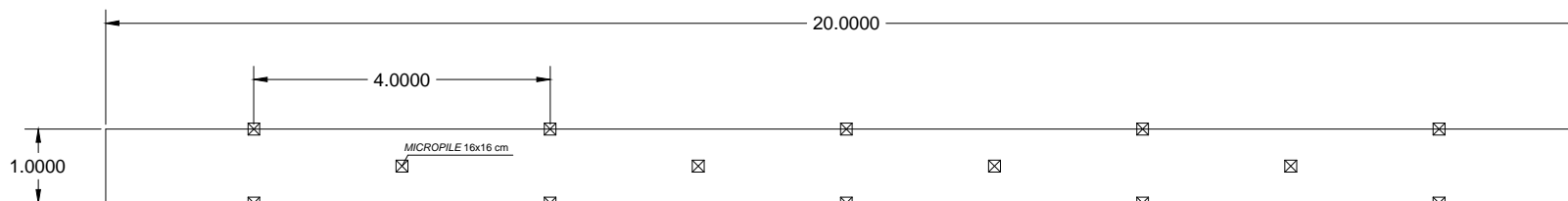
25

CATATAN



POTONGAN MELINTANG JALAN DENGAN *MICROPILE*  
SEBELUM SUNGAI

SKALA 1:100



POTONGAN MELINTANG JALAN DENGAN *MICROPILE*  
SETELAH SUNGAI

SKALA 1:100



JURUSAN TEKNIK SIPIL  
FTSP - ITS  
SURABAYA

TUGAS AKHIR

PERENCANAAN OPRIT,  
TIMBUNAN, DAN PONDASI  
JEMBATAN BARU DI SUNGAI  
WULAN, JEPARA

DOSEN PEMBIMBING

Ir. SUWARNO, M.Eng  
Dr. YUDHI LASTIASIH, S.T., M.T.

MAHASISWA

DEDY MANUDIANTO 3111 100 001  
MUHAMMAD REZA PAHLEVI G. 3111 100 080

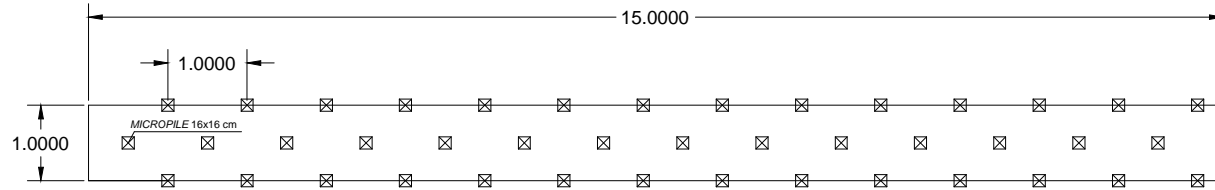
GAMBAR

POTONGAN MELINTANG  
SEBELUM SUNGAI

NO. GAMBAR

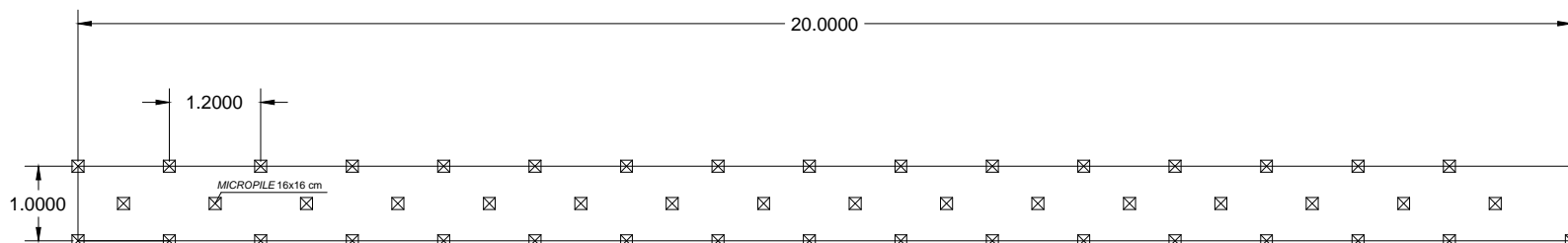
8      25

CATATAN



POTONGAN MELINTANG OPRIT DENGAN MICROPILE  
SEBELUM SUNGAI

SKALA 1:100



POTONGAN MELINTANG OPRIT DENGAN MICROPILE  
SETELAH SUNGAI

SKALA 1:100



JURUSAN TEKNIK SIPIL  
FTSP - ITS  
SURABAYA

TUGAS AKHIR

PERENCANAAN OPRIT,  
TIMBUNAN, DAN PONDASI  
JEMBATAN BARU DI SUNGAI  
WULAN, JEPARA

DOSEN PEMBIMBING

Ir. SUWARNO, M.Eng  
Dr. YUDHI LASTIASIH, S.T., M.T.

MAHASISWA

DEDY MANUDIANTO 3111 100 001  
MUHAMMAD REZA PAHLEVI G. 3111 100 080

GAMBAR

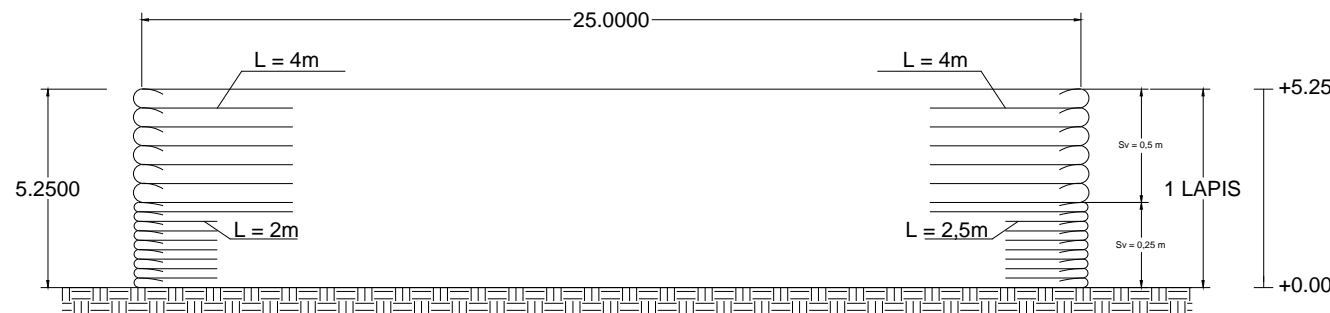
POTONGAN MELINTANG  
SEBELUM SUNGAI

NO. GAMBAR

9

25

CATATAN



POTONGAN MELINTANG TIMBUNAN TEGAK DENGAN GEOTEXTILE WALL  
SEBELUM SUNGAI

SKALA 1:200



JURUSAN TEKNIK SIPIL  
FTSP - ITS  
SURABAYA

TUGAS AKHIR

PERENCANAAN OPRIT,  
TIMBUNAN, DAN PONDASI  
JEMBATAN BARU DI SUNGAI  
WULAN, JEPARA

DOSEN PEMBIMBING

Ir. SUWARNO, M.Eng  
Dr. YUDHI LASTIASIH, S.T., M.T.

MAHASISWA

DEDY MANUDIANTO 3111 100 001  
MUHAMMAD REZA PAHLEVI G. 3111 100 080

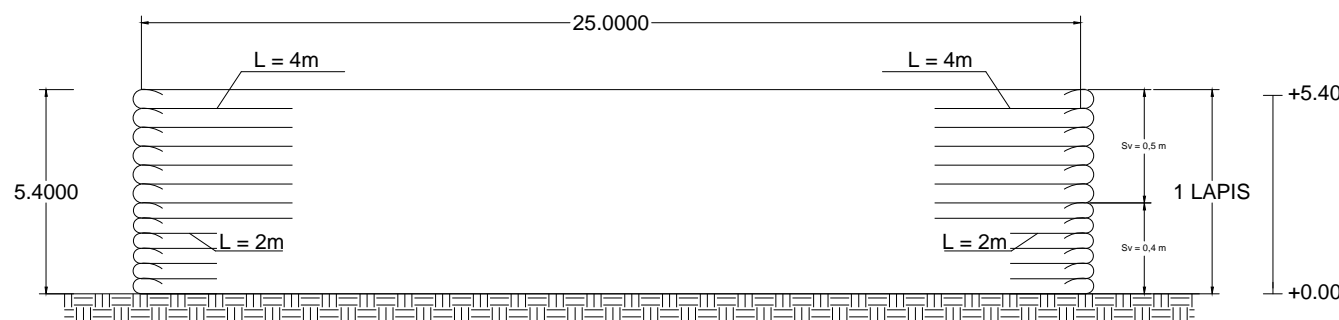
GAMBAR

POTONGAN MELINTANG  
SETELAH SUNGAI

NO. GAMBAR

10 25

CATATAN



POTONGAN MELINTANG TIMBUNAN TEGAK DENGAN GEOTEXTILE WALL  
SETELAH SUNGAI

SKALA 1:200



JURUSAN TEKNIK SIPIL  
FTSP - ITS  
SURABAYA

TUGAS AKHIR

PERENCANAAN OPRIT,  
TIMBUNAN, DAN PONDASI  
JEMBATAN BARU DI SUNGAI  
WULAN, JEPARA

DOSEN PEMBIMBING

Ir. SUWARNO, M.Eng  
Dr. YUDHI LASTIASIH, S.T., M.T.

MAHASISWA

DEDY MANUDIANTO 3111 100 001  
MUHAMMAD REZA PAHLEVI G. 3111 100 080

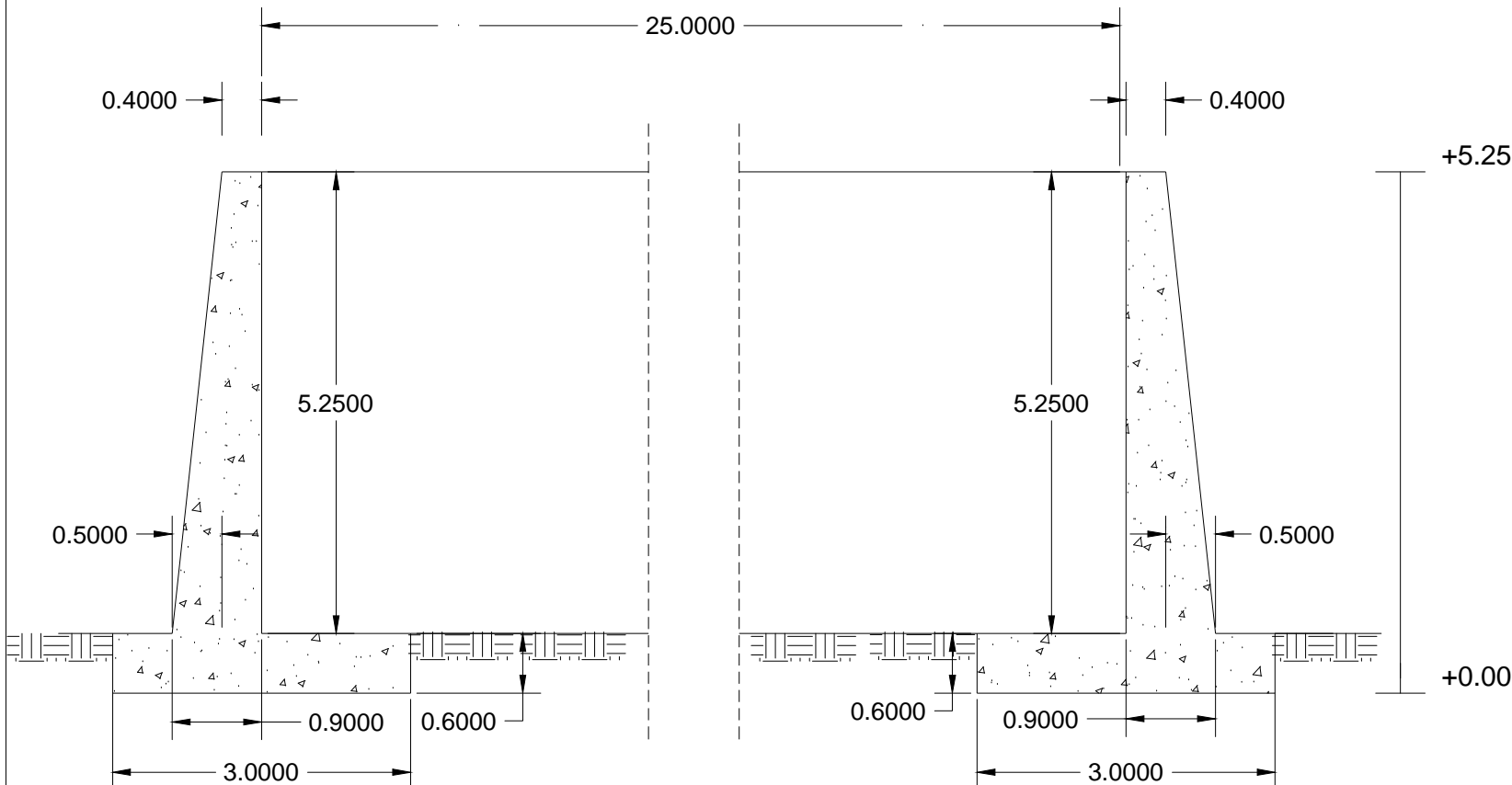
GAMBAR

POTONGAN MELINTANG  
SEBELUM SUNGAI

NO. GAMBAR

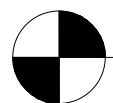
11 25

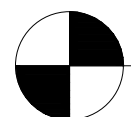
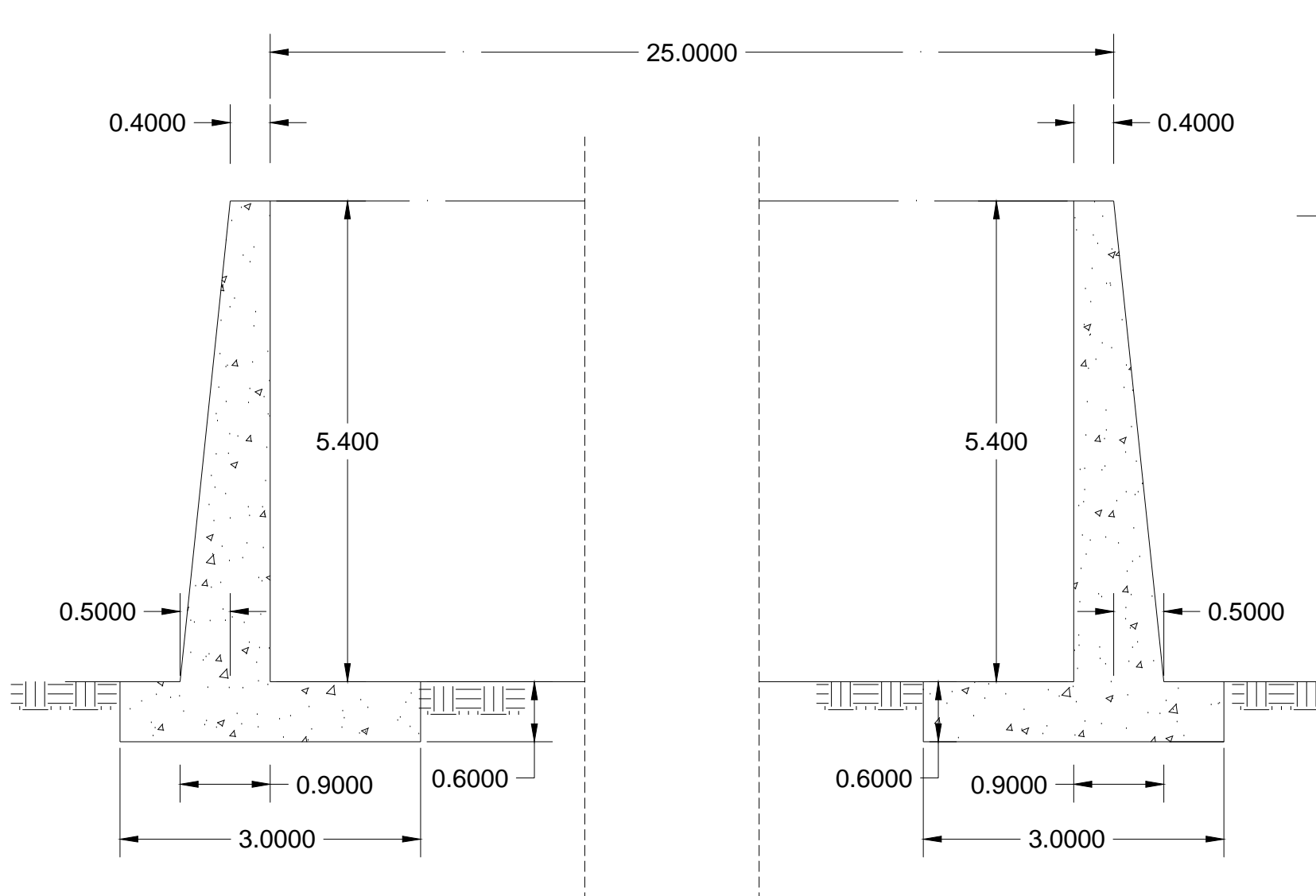
CATATAN



POTONGAN MELINTANG TIMBUNAN TEGAK DENGAN *GRAVITY WALL*  
SEBELUM SUNGAI

SKALA 1:70





POTONGAN MELINTANG TIMBUNAN TEGAK DENGAN *GRAVITY WALL*  
SETELAH SUNGAI

SKALA 1:60



JURUSAN TEKNIK SIPIL  
FTSP - ITS  
SURABAYA

TUGAS AKHIR

PERENCANAAN OPRIT,  
TIMBUNAN, DAN PONDASI  
JEMBATAN BARU DI SUNGAI  
WULAN, JEPARA

DOSEN PEMBIMBING

Ir. SUWARNO, M.Eng  
Dr. YUDHI LASTIASIH, S.T., M.T.

MAHASISWA

DEDY MANUDIANTO 3111 100 001  
MUHAMMAD REZA PAHLEVI G. 3111 100 080

GAMBAR

POTONGAN MELINTANG  
SETELAH SUNGAI

NO. GAMBAR

12

25

CATATAN



JURUSAN TEKNIK SIPIL  
FTSP - ITS  
SURABAYA

TUGAS AKHIR

PERENCANAAN OPRIT,  
TIMBUNAN, DAN PONDASI  
JEMBATAN BARU DI SUNGAI  
WULAN, JEPARA

DOSEN PEMBIMBING

Ir. SUWARNO, M.Eng  
Dr. YUDHI LASTIASIH, S.T., M.T.

MAHASISWA

DEDY MANUDIANTO 3111 100 001  
MUHAMMAD REZA PAHLEVI G. 3111 100 080

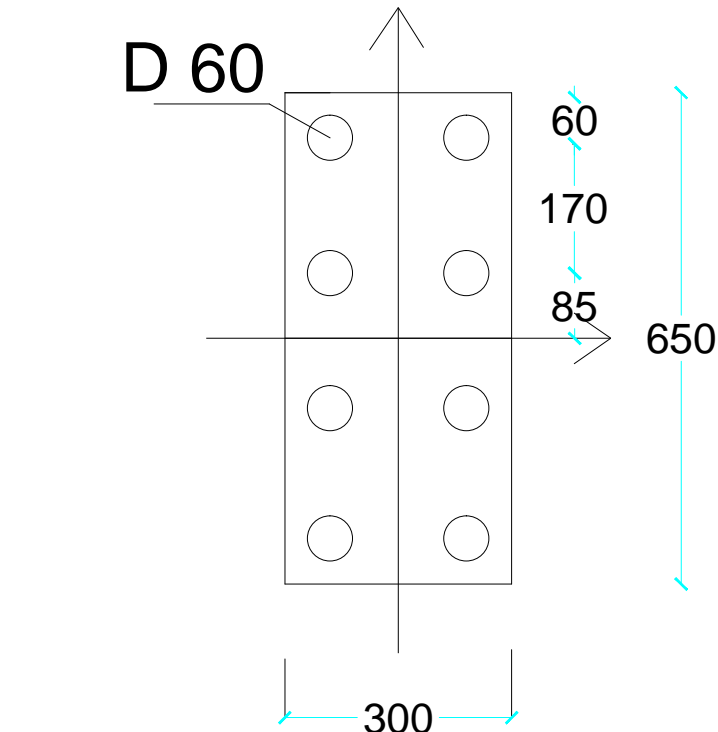
GAMBAR

DENAH TIANG PANCANG  
GRAVITY WALL SEBELUM  
SUNGAI

NO. GAMBAR

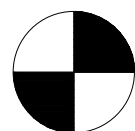
13 25

CATATAN



DENAH TIANG PANCANG *GRAVITY WALL*  
SETELAH SUNGAI

SKALA 1:100





JURUSAN TEKNIK SIPIL  
FTSP - ITS  
SURABAYA

TUGAS AKHIR

PERENCANAAN OPRIT,  
TIMBUNAN, DAN PONDASI  
JEMBATAN BARU DI SUNGAI  
WULAN, JEPARA

DOSEN PEMBIMBING

Ir. SUWARNO, M.Eng  
Dr. YUDHI LASTIASIH, S.T., M.T.

MAHASISWA

DEDY MANUDIANTO 3111 100 001  
MUHAMMAD REZA PAHLEVI G. 3111 100 080

GAMBAR

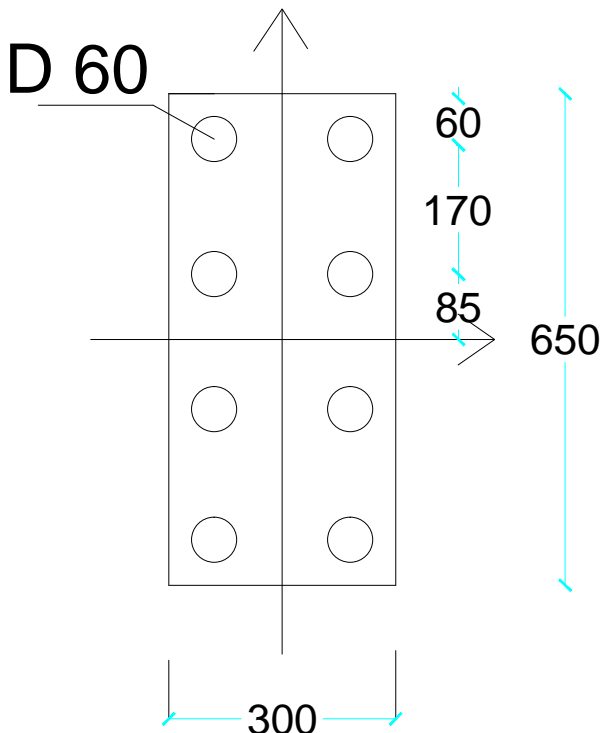
DENAH TIANG PANCANG  
GRAVITY WALL SETELAH  
SUNGAI

NO. GAMBAR

14

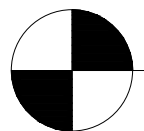
25

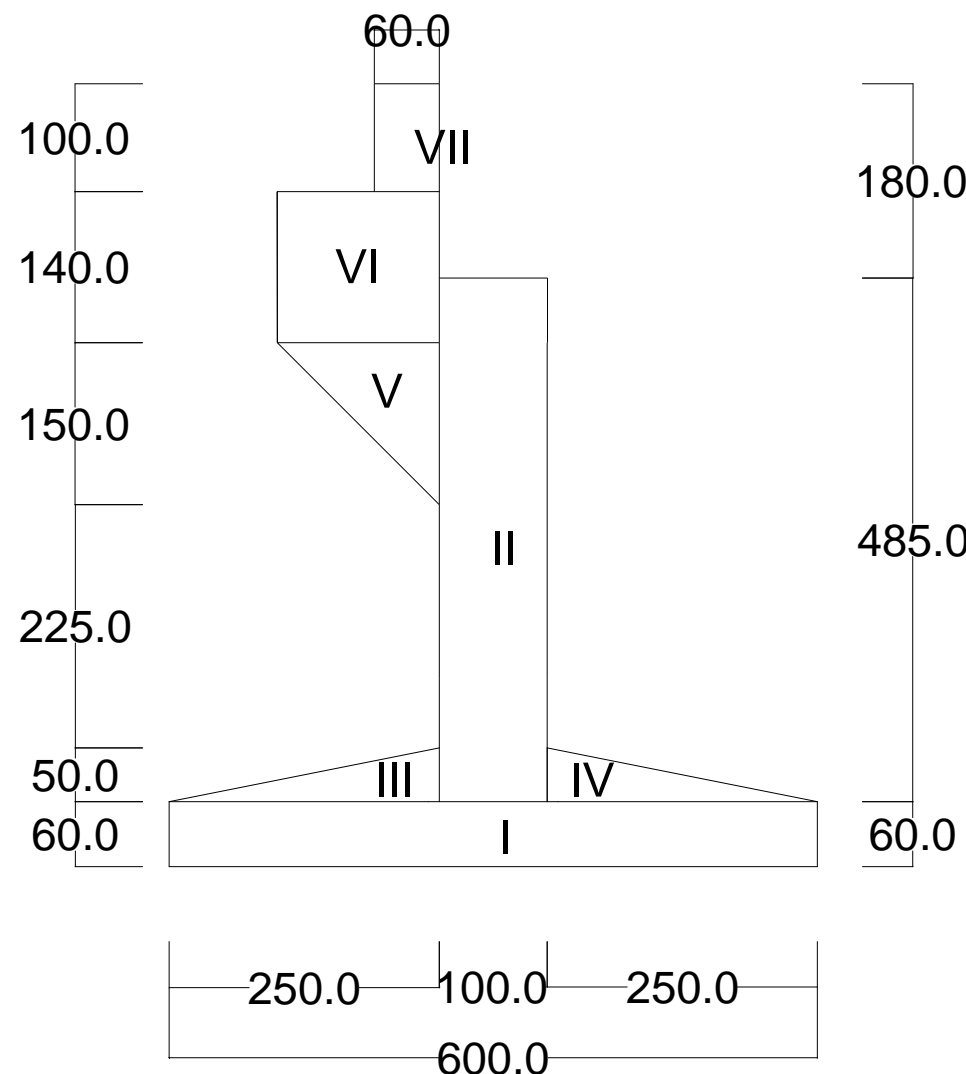
CATATAN



DENAH TIANG PANCANG *GRAVITY WALL*  
SETELAH SUNGAI

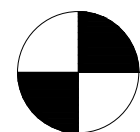
SKALA 1:100





DIMENSI ABUTMENT  
SEBELUM SUNGAI

SKALA 1:70



JURUSAN TEKNIK SIPIL  
FTSP - ITS  
SURABAYA

TUGAS AKHIR

PERENCANAAN OPRIT,  
TIMBUNAN, DAN PONDASI  
JEMBATAN BARU DI SUNGAI  
WULAN, JEPARA

DOSEN PEMBIMBING

Ir. SUWARNO, M.Eng  
Dr. YUDHI LASTIASIH, S.T., M.T.

MAHASISWA

DEDY MANUDIANTO 3111 100 001  
MUHAMMAD REZA PAHLEVI G. 3111 100 080

GAMBAR

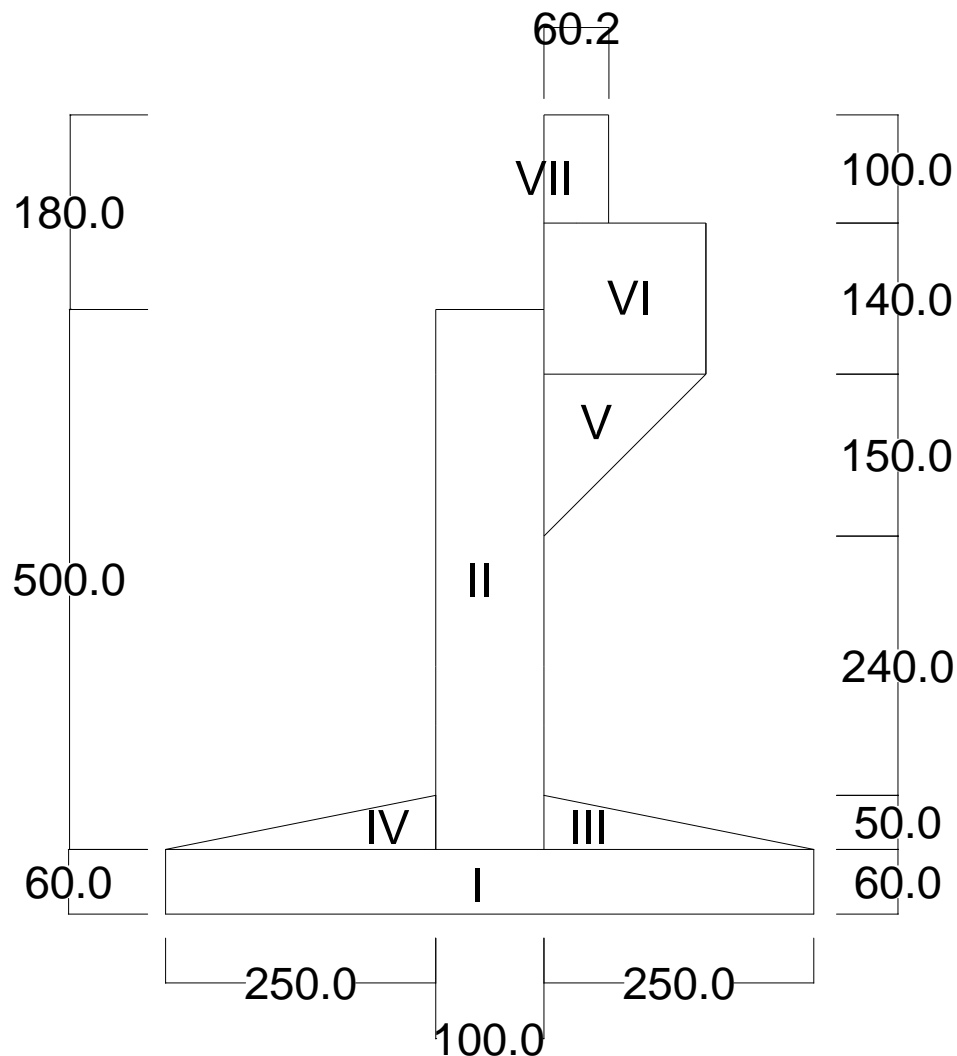
DIMENSI ABUTMENT  
SEBELUM SUNGAI

NO. GAMBAR

15

25

CATATAN



JURUSAN TEKNIK SIPIL  
FTSP - ITS  
SURABAYA

TUGAS AKHIR

PERENCANAAN OPRIT,  
TIMBUNAN, DAN PONDASI  
JEMBATAN BARU DI SUNGAI  
WULAN, JEPARA

DOSEN PEMBIMBING

Ir. SUWARNO, M.Eng  
Dr. YUDHI LASTIASIH, S.T., M.T.

MAHASISWA

DEDY MANUDIANTO 3111 100 001  
MUHAMMAD REZA PAHLEVI G. 3111 100 080

GAMBAR

DIMENSI ABUTMENT  
SETELAH SUNGAI

NO. GAMBAR

16      25

CATATAN



JURUSAN TEKNIK SIPIL  
FTSP - ITS  
SURABAYA

TUGAS AKHIR

PERENCANAAN OPRIT,  
TIMBUNAN, DAN PONDASI  
JEMBATAN BARU DI SUNGAI  
WULAN, JEPARA

DOSEN PEMBIMBING

Ir. SUWARNO, M.Eng  
Dr. YUDHI LASTIASIH, S.T., M.T.

MAHASISWA

DEDY MANUDIANTO 3111 100 001  
MUHAMMAD REZA PAHLEVI G. 3111 100 080

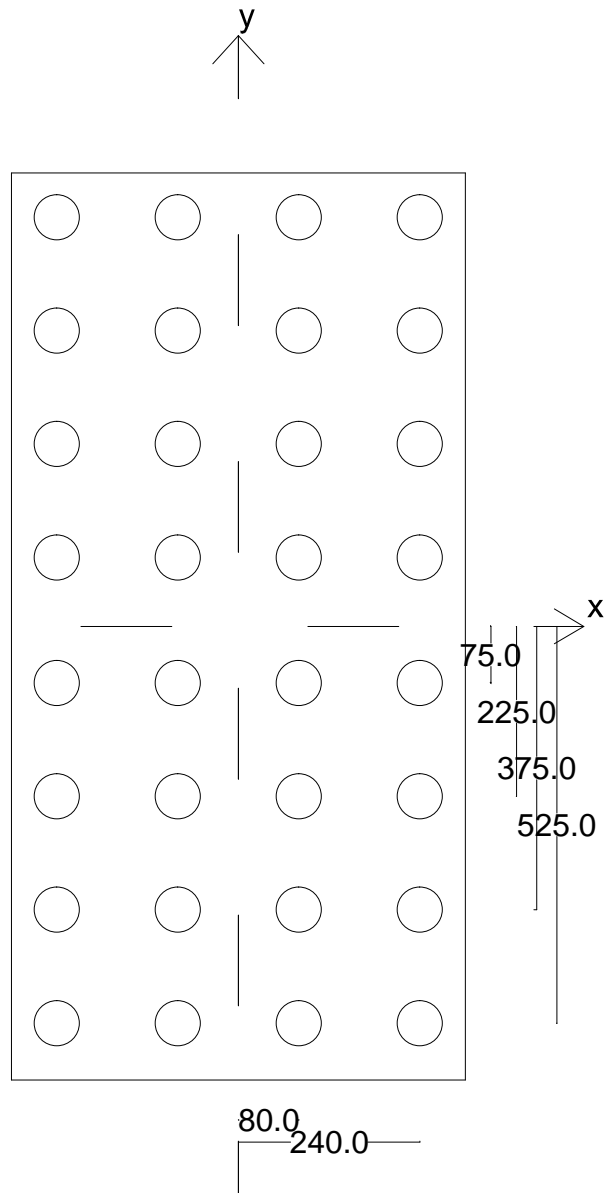
GAMBAR

DENAH TIANG PANCANG  
ABUTMENT  
SEBELUM SUNGAI

NO. GAMBAR

17 25

CATATAN



DENAH TIANG PANCANG ABUTMENT  
SEBELUM SUNGAI  
SKALA 1:100



JURUSAN TEKNIK SIPIL  
FTSP - ITS  
SURABAYA

TUGAS AKHIR

PERENCANAAN OPRIT,  
TIMBUNAN, DAN PONDASI  
JEMBATAN BARU DI SUNGAI  
WULAN, JEPARA

DOSEN PEMBIMBING

Ir. SUWARNO, M.Eng  
Dr. YUDHI LASTIASIH, S.T., M.T.

MAHASISWA

DEDY MANUDIANTO 3111 100 001  
MUHAMMAD REZA PAHLEVI G. 3111 100 080

GAMBAR

DENAH TIANG PANCANG ABUTMENT  
SETELAH SUNGAI

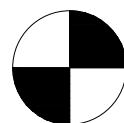
NO. GAMBAR

18      25

CATATAN

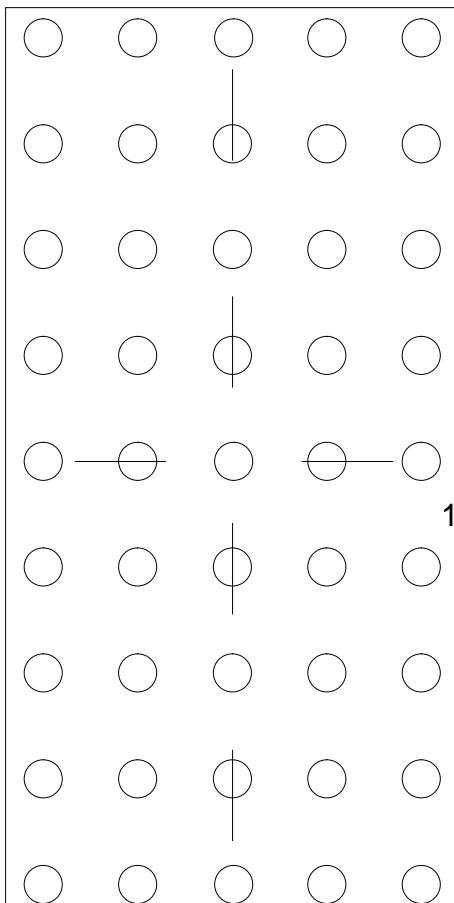
DENAH TIANG PANCANG ABUTMENT  
SETELAH SUNGAI

SKALA 1:100



140.0  
280.0  
420.0  
560.0

y





JURUSAN TEKNIK SIPIL  
FTSP - ITS  
SURABAYA

TUGAS AKHIR

PERENCANAAN OPRIT,  
TIMBUNAN, DAN PONDASI  
JEMBATAN BARU DI SUNGAI  
WULAN, JEPARA

DOSEN PEMBIMBING

Ir. SUWARNO, M.Eng  
Dr. YUDHI LASTIASIH, S.T., M.T.

MAHASISWA

DEDY MANUDIANTO 3111 100 001  
MUHAMMAD REZA PAHLEVI G. 3111 100 080

GAMBAR

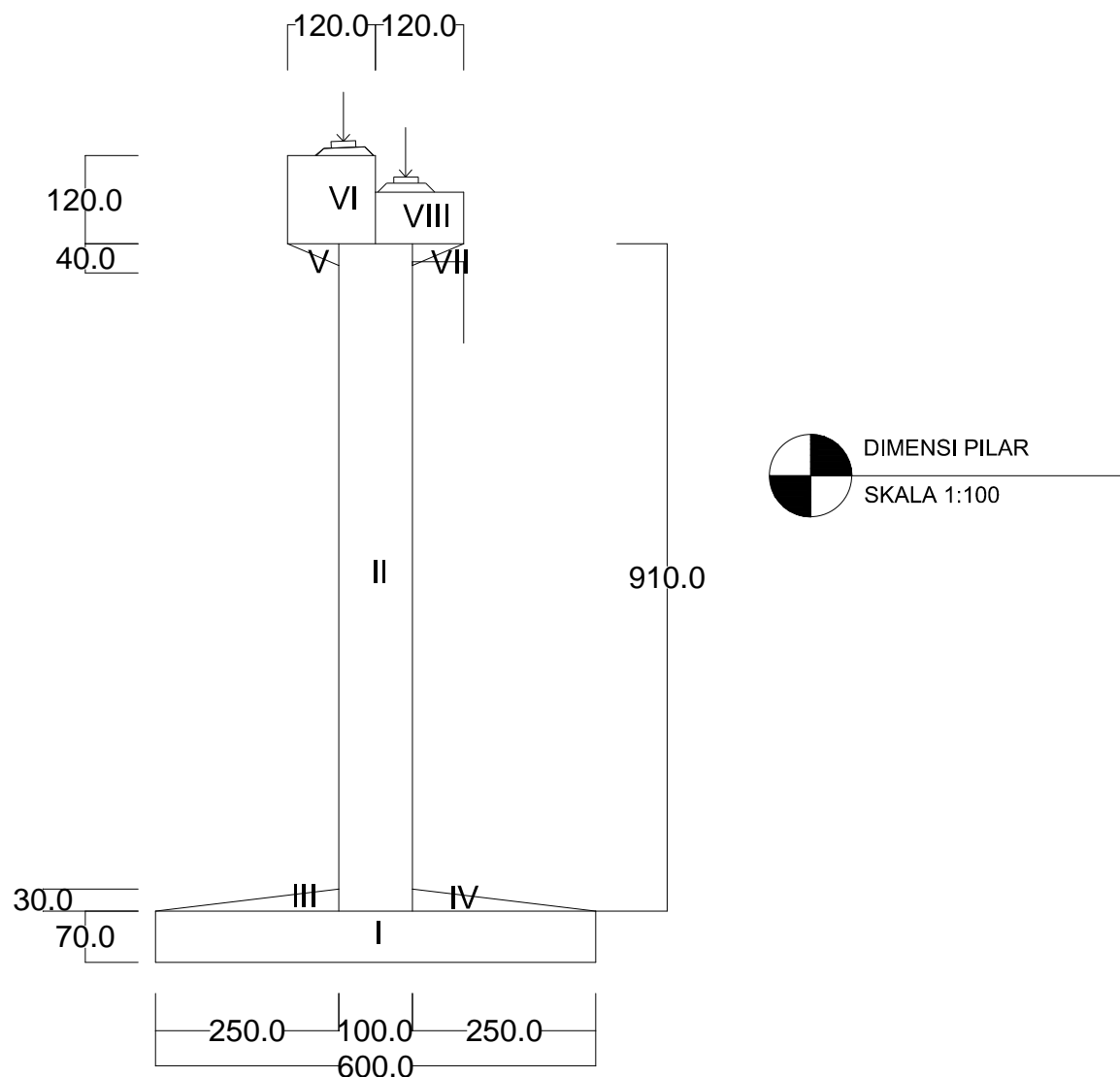
DIMENSI PILAR

NO. GAMBAR

19

25

CATATAN





JURUSAN TEKNIK SIPIL  
FTSP - ITS  
SURABAYA

TUGAS AKHIR

PERENCANAAN OPRIT,  
TIMBUNAN, DAN PONDASI  
JEMBATAN BARU DI SUNGAI  
WULAN, JEPARA

DOSEN PEMBIMBING

Ir. SUWARNO, M.Eng  
Dr. YUDHI LASTIASIH, S.T., M.T.

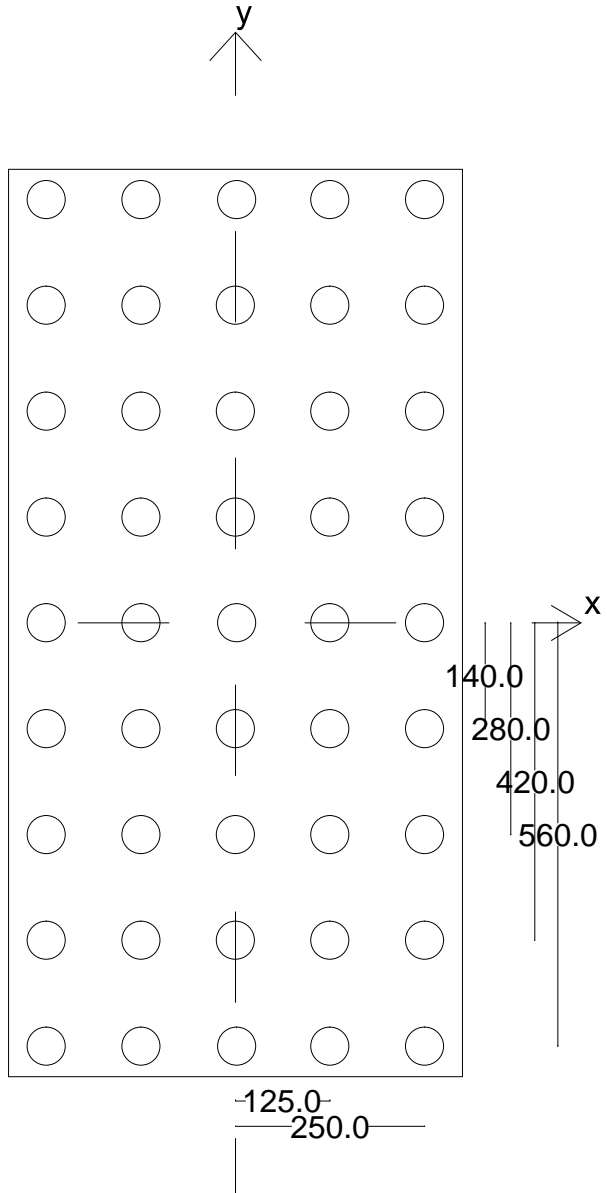
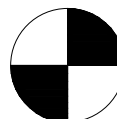
MAHASISWA

DEDY MANUDIANTO 3111 100 001  
MUHAMMAD REZA PAHLEVI G. 3111 100 080

GAMBAR

DENAH TIANG PANCANG PILAR

SKALA 1:100



20      25

CATATAN



JURUSAN TEKNIK SIPIL  
FTSP - ITS  
SURABAYA

TUGAS AKHIR

PERENCANAAN OPRIT,  
TIMBUNAN, DAN PONDASI  
JEMBATAN BARU DI SUNGAI  
WULAN, JEPARA

DOSEN PEMBIMBING

Ir. SUWARNO, M.Eng  
Dr. YUDHI LASTIASIH, S.T., M.T.

MAHASISWA

DEDY MANUDIANTO 3111 100 001  
MUHAMMAD REZA PAHLEVI G. 3111 100 080

GAMBAR

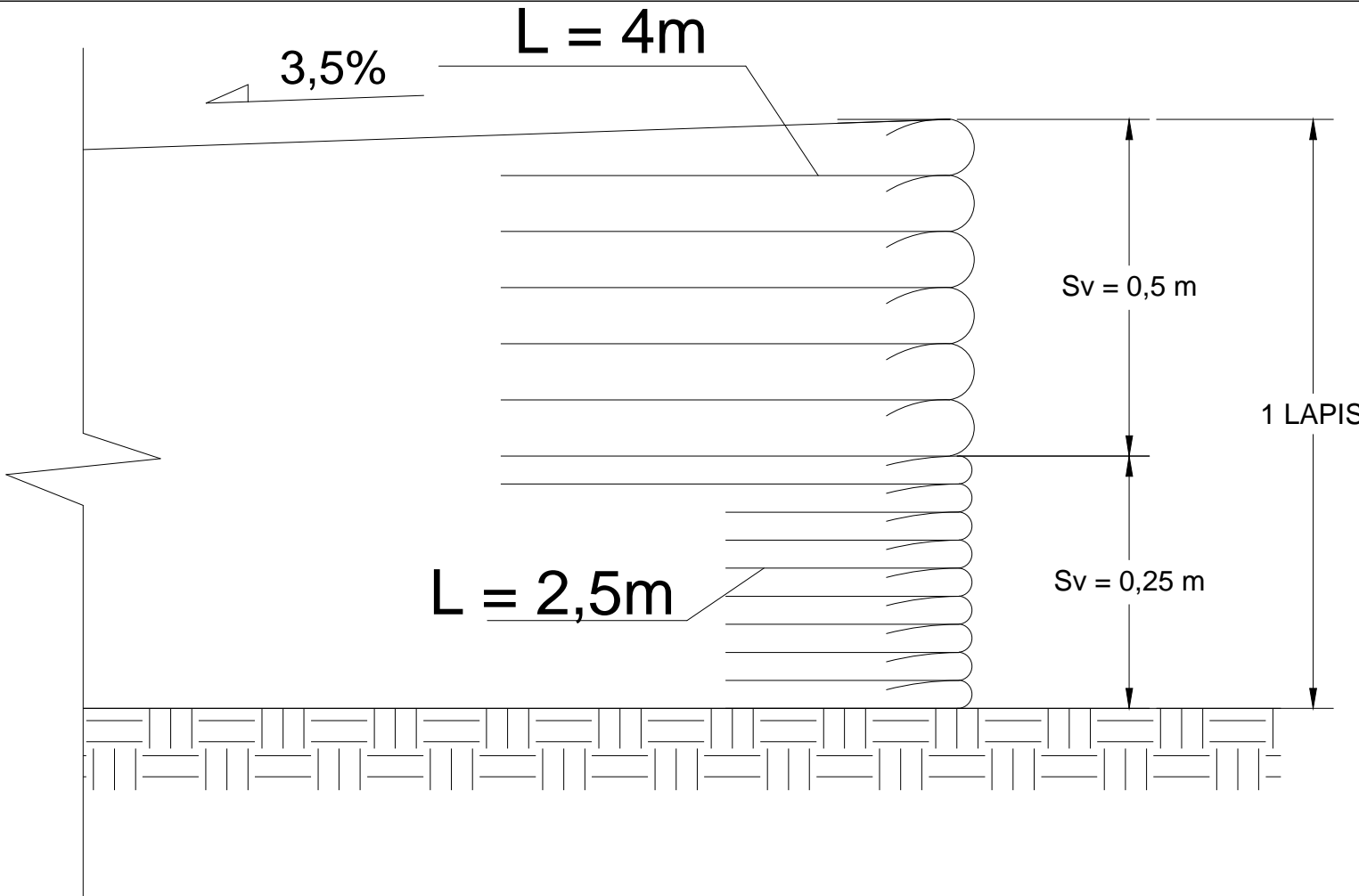
PERKUATAN LONGITUDINAL  
SEBELUM SUNGAI

NO. GAMBAR

21

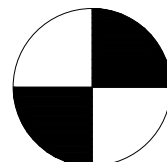
25

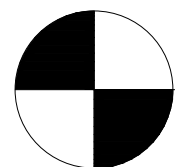
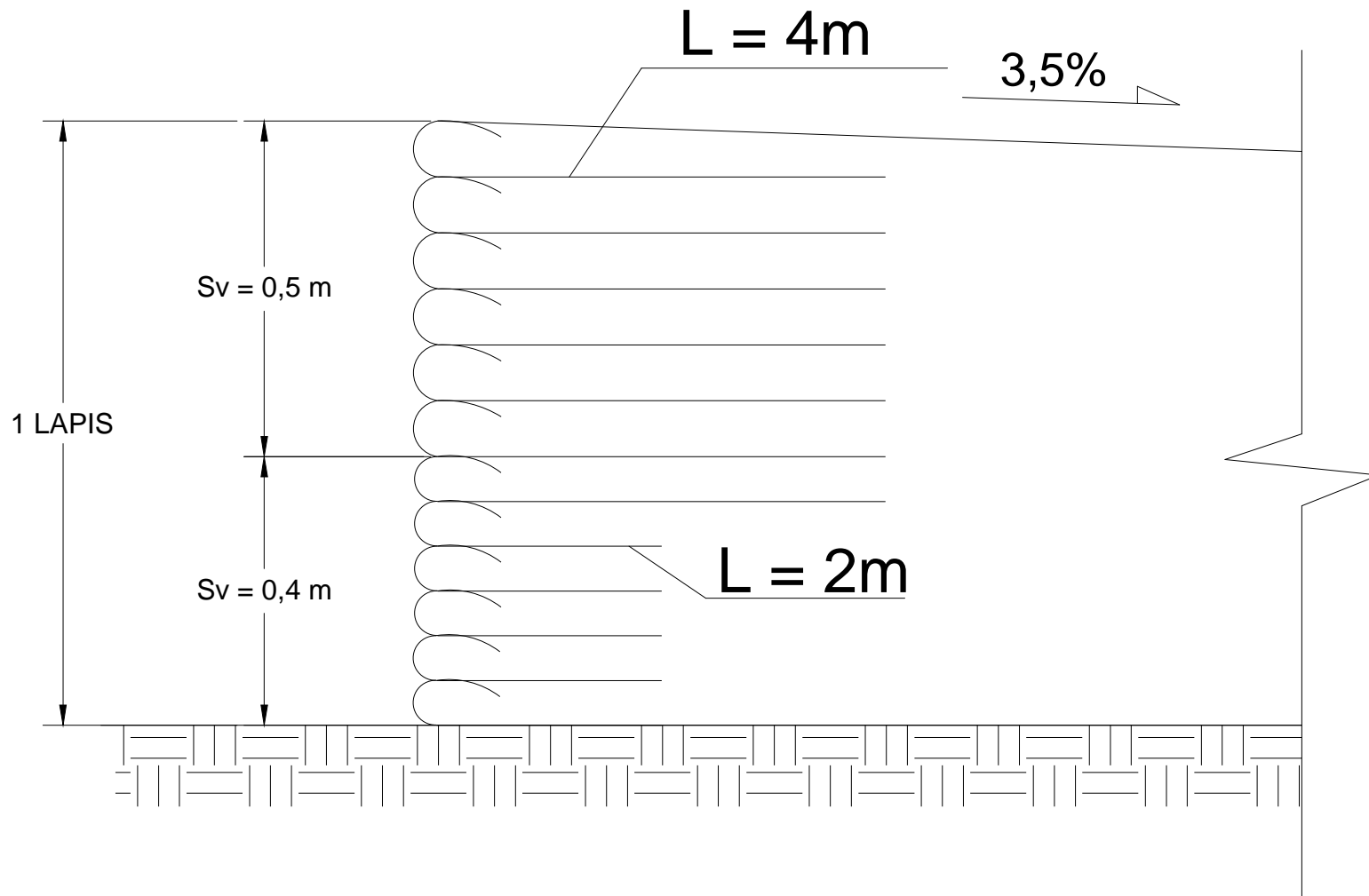
CATATAN



POTONGAN MEMANJANG PERKUATAN LONGITUDINAL  
SEBELUM SUNGAI

SKALA 1:60





POTONGAN MEMANJANG PERKUATAN LONGITUDINAL  
SETELAH SUNGAI



JURUSAN TEKNIK SIPIL  
FTSP - ITS  
SURABAYA

TUGAS AKHIR

PERENCANAAN OPRIT,  
TIMBUNAN, DAN PONDASI  
JEMBATAN BARU DI SUNGAI  
WULAN, JEPARA

DOSEN PEMBIMBING

Ir. SUWARNO, M.Eng  
Dr. YUDHI LASTIASIH, S.T., M.T.

MAHASISWA

DEDY MANUDIANTO 3111 100 001  
MUHAMMAD REZA PAHLEVI G. 3111 100 080

GAMBAR

PERKUATAN LONGITUDINAL  
SETELAH SUNGAI

NO. GAMBAR

22

25

CATATAN



JURUSAN TEKNIK SIPIL  
FTSP - ITS  
SURABAYA

TUGAS AKHIR

PERENCANAAN OPRIT,  
TIMBUNAN, DAN PONDASI  
JEMBATAN BARU DI SUNGAI  
WULAN, JEPARA

DOSEN PEMBIMBING

Ir. SUWARNO, M.Eng  
Dr. YUDHI LASTIASIH, S.T., M.T.

MAHASISWA

DEDY MANUDIANTO 3111 100 001  
MUHAMMAD REZA PAHLEVI G. 3111 100 080

GAMBAR

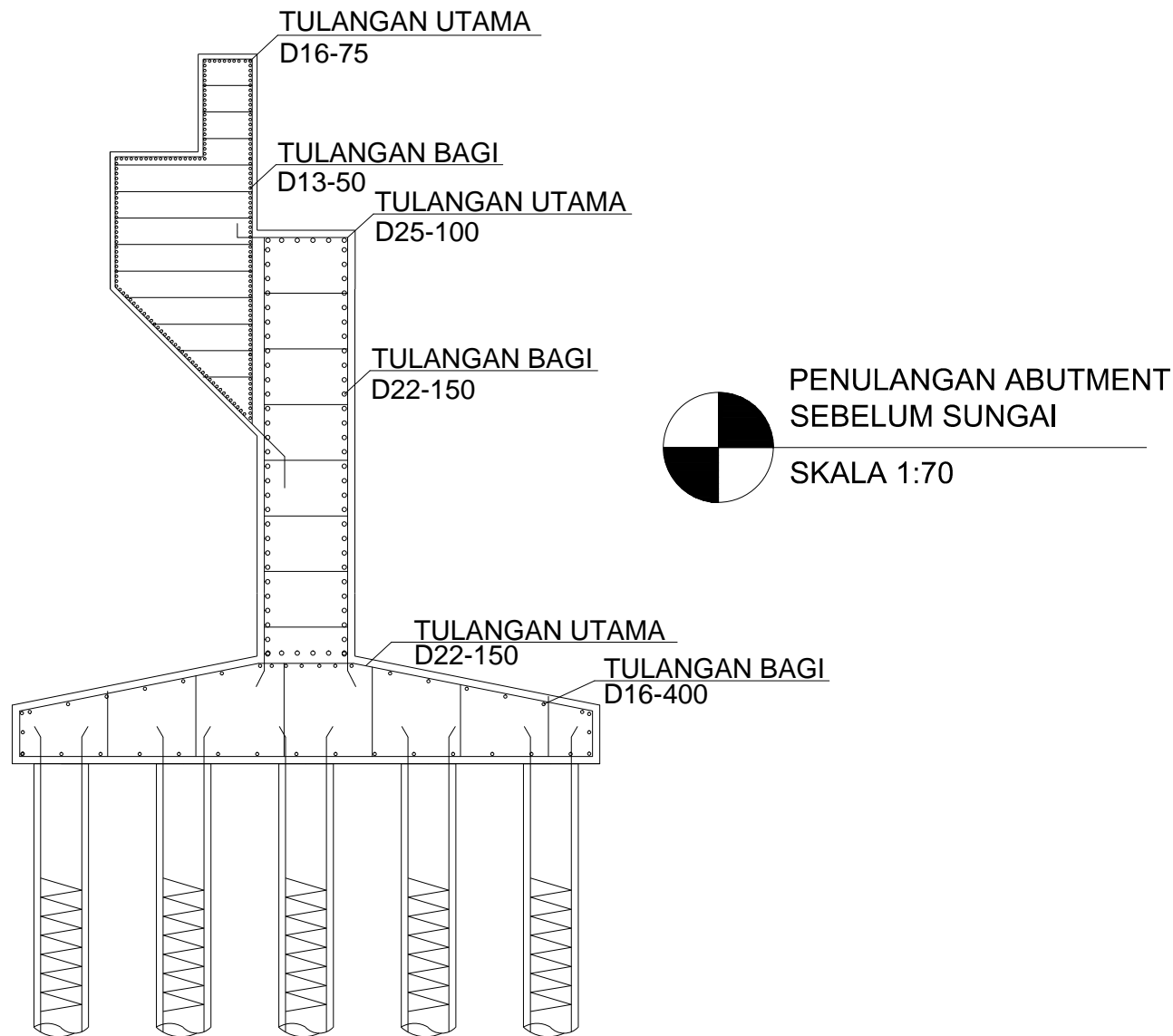
PENULANGAN ABUTMENT  
SEBELUM SUNGAI

NO. GAMBAR

23

25

CATATAN





JURUSAN TEKNIK SIPIL  
FTSP - ITS  
SURABAYA

TUGAS AKHIR

PERENCANAAN OPRIT,  
TIMBUNAN, DAN PONDASI  
JEMBATAN BARU DI SUNGAI  
WULAN, JEPARA

DOSEN PEMBIMBING

Ir. SUWARNO, M.Eng  
Dr. YUDHI LASTIASIH, S.T., M.T.

MAHASISWA

DEDY MANUDIANTO 3111 100 001  
MUHAMMAD REZA PAHLEVI G. 3111 100 080

GAMBAR

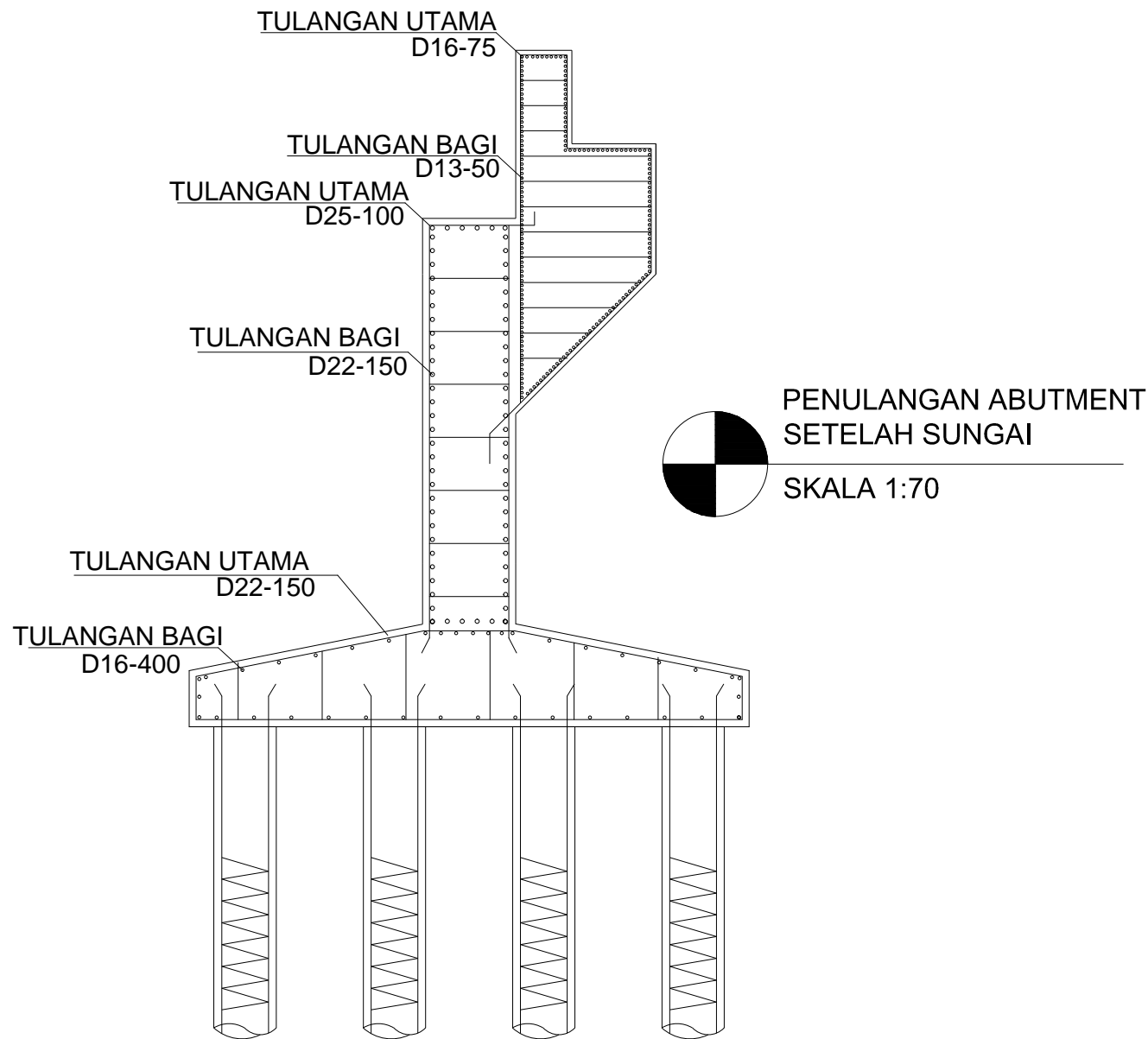
PENULANGAN ABUTMENT  
SETELAH SUNGAI

NO. GAMBAR

24

25

CATATAN





JURUSAN TEKNIK SIPIL  
FTSP - ITS  
SURABAYA

TUGAS AKHIR

PERENCANAAN OPRIT,  
TIMBUNAN, DAN PONDASI  
JEMBATAN BARU DI SUNGAI  
WULAN, JEPARA

DOSEN PEMBIMBING

Ir. SUWARNO, M.Eng  
Dr. YUDHI LASTIASIH, S.T., M.T.

MAHASISWA

DEDY MANUDIANTO 3111 100 001  
MUHAMMAD REZA PAHLEVI G. 3111 100 080

GAMBAR

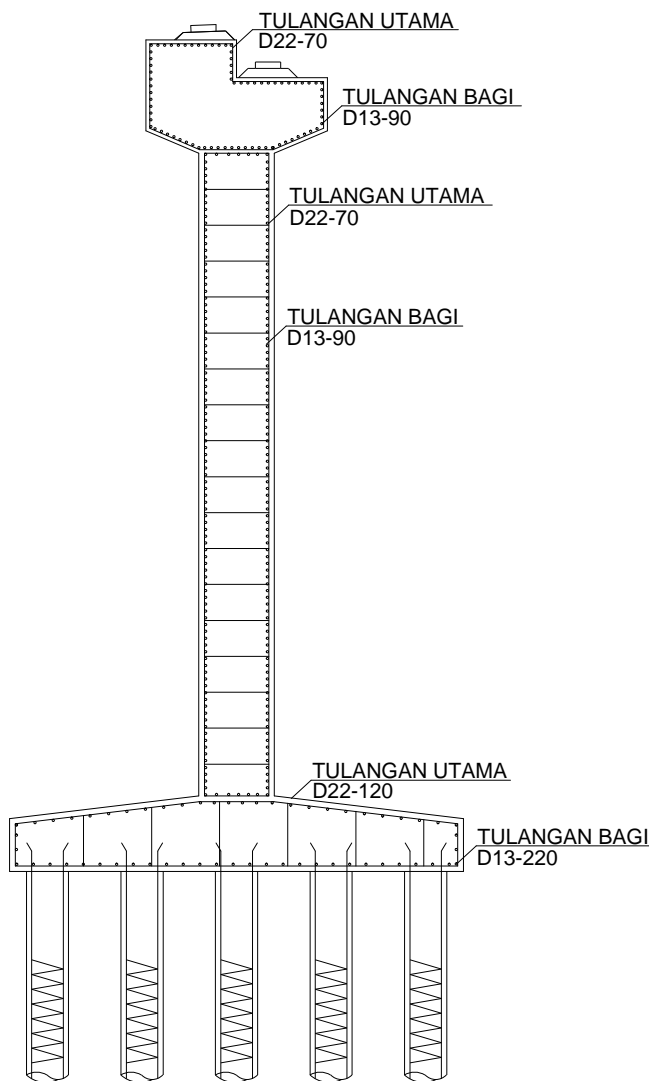
PENULANGAN PILAR

NO. GAMBAR

25

25

CATATAN



PENULANGAN PILAR  
SKALA 1:100

## **DAFTAR LAMPIRAN**

Lampiran 1	Data Perencanaan .....	173
Lampiran 2	Tabel Perhitungan Timbunan Trapesium Sebelum Sungai.....	187
Lampiran 3	Contoh Perhitungan Timbunan Tegak Sebelum Sungai.....	197
Lampiran 4	Tabel Perhitungan Abutment.....	205
Lampiran 5	Tabel Perhitungan Pilar .....	211
Lampiran 6	Hasil Gambar Perencanaan.....	215

## **BIODATA PENULIS I**



Penulis lahir di Tulung Agung, pada tanggal 30 Desember 1993 dengan nama lengkap Dedy Manudianto. Penulis merupakan anak pertama dari 3 bersaudara. Pendidikan formal yang telah ditempuh oleh penulis yaitu TK Aisyah Bustanul Atfal (ABA) I Denpasar, SD Muhammadiyah I Denpasar, SMP Negeri 2 Denpasar, SMA Negeri 4 Denpasar. Setelah lulus dari SMA Negeri 4 Denpasar, penulis mengikuti SNMPTN (Seleksi Nasional Masuk Perguruan Tinggi

Negeri) dan diterima di Jurusan Teknik Sipil FTSP ITS Surabaya pada tahun 2011 dan terdaftar dengan NRP. 3111100039.

Selama berkuliah di Jurusan Teknik Sipil ITS, penulis sangat tertarik pada Bidang Geoteknik, terutama pada perencanaan stabilitas. Penulis sempat aktif pada organisasi Himpunan Mahasiswa Sipil (HMS), kepanitiaan di lingkup institut, dan grader mata kuliah Mekanika Tanah dan Pondasi.

## BIODATA PENULIS II



Penulis dilahirkan di Jakarta pada tanggal 10 Desember 19993, merupakan anak kedua dari dua bersaudara. Penulis menempuh pendidikan formal di TK Jami'at Kheir – Jakarta, SD Islam Al-Azhar 8 Kembangan – Jakarta, SMP Islam Al-Azhar 10 Kembangan – Jakarta dan SMA Islam Al-Azhar 1 Kebayoran Lama – Jakarta. Pasca lulus dari SMA Islam Al-Azhar 1 Jakarta, penulis melanjutkan jenjang pendidikan di Jurusan Teknik Sipil FTSP-ITS pada tahun 2011 dan terdaftar dengan NRP 3111100080.

Di akhir masa perkuliahan di teknik sipil ini, penulis mengambil tugas akhir di bidang geoteknik. Penulis juga turut aktif di berbagai kegiatan yang diselenggarakan oleh jurusan, fakultas, maupun institut. Penulis dapat dihubungi melalui *email* reviguntur@gmail.com